



PROYEK AKHIR - VC 191845

**DESAIN ALTERNATIF STRUKTUR GEDUNG 4  
UNIVERSITAS CIPUTRA SURABAYA MENGGUNAKAN  
KONSTRUKSI BAJA DENGAN SISTEM  
*FLUID VISCOUS DAMPER (FVD)***

NYDOWAZA ADITYATAMA  
NRP. 10111710010106

DOSEN PEMBIMBING 1 :  
Ir. IBNU PUJI RAHARDJO, MS.  
NIP. 196001051986031003

DOSEN PEMBIMBING 2 :  
Dr. Eng. YUYUN TAJUNNISA, S.T., M.T.  
NIP. 197802012006042002

**PROGRAM STUDI SARJANA TERAPAN TEKNOLOGI REKAYASA  
PENGELOLAAN DAN PEMELIHARAAN BANGUNAN SIPIL  
DEPARTEMEN TEKNIK INFRASTRUKTUR SIPIL  
FAKULTAS VOKASI  
INSTITUT TEKNOLOGI SEPULUH NOPEMBER  
SURABAYA  
2021**





FINAL PROJECT - VC 191845

**ALTERNATIVE DESIGN BUILDING STRUCTURE 4  
UNIVERSITAS CIPUTRA SURABAYA USING STEEL  
CONSTRUCTION WITH *FLUID VISCOUS DAMPER*  
(FVD)**

NYDOWAZA ADITYATAMA  
NRP. 10111710010106

Supervisor 1 :  
**Ir. IBNU PUJI RAHARDJO, MS.**  
NIP. 196001051986031003

Supervisor 2 :  
**Dr. Eng. YUYUN TAJUNNISA, S.T., M.T.**  
NIP. 197802012006042002

PROGRAM STUDI SARJANA TERAPAN TEKNOLOGI REKAYASA  
PENGELOLAAN DAN PEMELIHARAAN BANGUNAN SIPIL  
DEPARTEMEN TEKNIK INFRASTRUKTUR SIPIL  
FAKULTAS VOKASI  
INSTITUT TEKNOLOGI SEPULUH NOPEMBER  
SURABAYA  
2021

*“Halaman ini sengaja dikosongkan”*

## LEMBAR PENGESAHAN

### “DESAIN ALTERNATIF GEDUNG 4 UNIVERSITAS CIPUTRA SURABAYA MENGGUNAKAN KONSTRUKSI BAJA DENGAN SISTEM *FLUID VISCOUS DAMPER (FVD)*”

#### PROPOSAL TUGAS AKHIR

Diajukan Untuk Memenuhi Salah Satu Syarat Memperoleh Gelar  
Sarjana Sains Terapan  
Pada Program Sarjana Terapan  
Departemen Teknik Infrastruktur Sipil  
Fakultas Vokasi  
Institut Teknologi Sepuluh Nopember  
Surabaya

Surabaya, 11 Februari 2021

Disusun Oleh:

#### MAHASISWA



Nydowaza Adityatama

NRP. 10111710010106



#### Dosen Pembimbing I



Ibnu Pudji Rahardjo, MS.

NIP. 19600105 198603 1 003



#### Dosen Pembimbing II

Dwi, Eng., Yuyun Tajammisa, ST., MT.

NIP. 19780201 200604 2 002



## Berita Acara Sidang Proyek Akhir

Departemen Teknik Infrastruktur Sipil Fakultas Vokasi ITS

Semester Genap 2020/2021

Nomor BA :

Nomor Jadwal : **62**

Program Studi : **D4 Teknik Sipil (TRPPBS)**

Diinisi oleh : **Dr. Eng. Yuyun Tajunnisa, ST., MT.**

Bahwa pada hari ini : **Kamis, 15 Juli 2021**

Pukul : **9:00** s/d **11:00**

Di tempat : **Online Meeting**

Telah dilaksanakan sidang Tugas Akhir dengan iudul:

**DESAIN ALTERNATIF GEDUNG 4 UNIVERSITAS CIPUTRA MENGGUNAKAN KONSTRUKSI BAJA DENGAN SISTEM FLUID VISCOUS DAMPER (FVD)**

Yang dihadiri dan diresentasikan oleh mahasiswa : ( Hadir / Tidak Hadir)

**10111710010106 NYDOWAZA ADITYATAMA** **Hadir**

Yang dihadiri oleh dosen Pembimbing: ( Hadir / Tidak Hadir)

**1 Ir. Ibnu Pudji Rahardjo, MS.** **Hadir**

**2 Dr. Eng. Yuyun Tajunnisa, ST., MT.** **Hadir**

Yang dihadiri oleh dosen Penguij: ( Hadir / Tidak Hadir)

**1 Dr. Ir. Dicky Imam Wahyudi, MS.** **Hadir**

**2 Nur Achmad Husin, ST., MT.** **Hadir**

**3**

Bahwasanya, musyawarah pembimbing dan penguij pada sidang proyek akhir ini memutuskan:

**10111710010106 NYDOWAZA ADITYATAMA**

**LULUS, DENGAN REVISI MINOR**

Catatan / revisi / masukan :

1. Dr. Ir. Dicky Imam Wahyudi, MS.
  - a Pertimbangan menggunakan FVD pada struktur baja yang direncanakan
  - b Hasil analisa sebelum menggunakan FVD ditunjukkan
  - c Kontrol terhadap struktur yang direncanakan ditunjukkan
  - d Massa ragam kombinasi harus 100% (kalimat diperbaiki)
  - e Detail perhitungan sambungan diperbaiki
  - f Diberikan alternatif metode penyambungan agar lebih mudah diaplikasikan

2. Nur Achmad Husin, ST., MT.
- a Pertimbangan menggunakan struktur baja, biaya konstruksi lebih murah ?
  - b Perhitungan scale factor ditunjukkan
  - c Narasi jumlah lantai diperbaiki, mutu bahan yang digunakan disebutkan
  - d Penempatan FVD ditunjukkan dengan jelas di gambar
  - e Arah pemasangan plat bondex digambarkan pada gambar denah balok
  - f Perencanaan pondasi diperbaiki, gambar perencanaan pondasi disesuaikan dengan perencanaan yang baru
  - g Perbaiki gambar sambungan, lengkapi dengan jarak dan notasi las
  - h Ditambahkan gambar alternatif sambungan

3.

- a
- b
- c
- d

### Tindak lanjut :

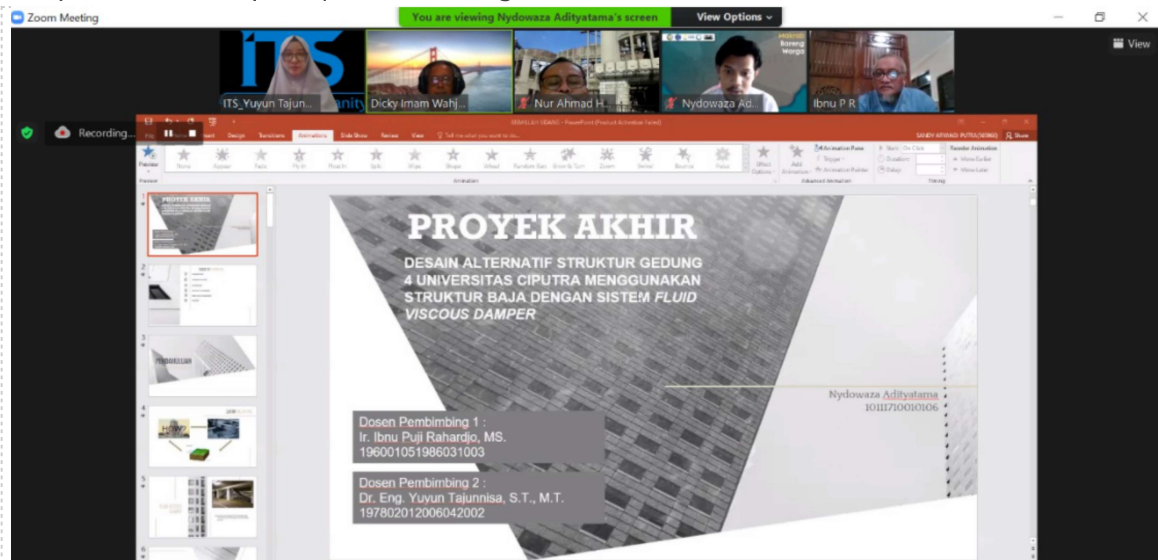
Mahasiswa memperbaiki/merevisi Proyek Akhir sesuai dengan masukan di atas.

### Penutup :

Demikian Berita Acara Sidang Proyek Akhir ini dibuat sebagai panduan revisi oleh Mahasiswa.

### Lampiran :

Tempelkan screen capture peserta meeting online disini.



*“Halaman ini sengaja dikosongkan”*

**“DESAIN ALTERNATIF STRUKTUR GEDUNG 4  
UNIVERSITAS CIPUTRA SURABAYA MENGGUNAKAN  
KONSTRUKSI BAJA DENGAN SISTEM *FLUID VISCOSUS  
DAMPER*”**

**Dosen Pembimbing 1 : Ir. Ibnu Puji Rahardjo, MS.**

**NIP : 196001051986031003**

**Dosen Pembimbing 2 : Dr. Eng. Yuyun Tajunnisa, S.T., M.T.**

**NIP : 197802012006042002**

**Mahasiswa : Nydowaza Adityatama**

**NRP : 10111710010106**

**Departemen : Diploma IV Teknik Infrastruktur Sipil  
Fakultas Vokasi – ITS**

## **ABSTRAK**

Gedung 4 Universitas Ciputra Surabaya merupakan bangunan yang terletak di Kota Surabaya, terdiri dari 24 lantai. Berdasarkan nilai SPT pada lokasi bangunan, gedung perkuliahan yang termasuk ke dalam kategori resiko IV ini dibangun diatas tanah lunak (SE) dan masuk ke dalam Kategori Desain Seismik (KDS) D. Oleh sebab itu, Gedung 4 Universitas Ciputra Surabaya direncanakan menggunakan Sistem Rangka Pemikul Momen Biasa (SRPMB). Selain menggunakan SRPMB, bangunan ini akan direncanakan menggunakan *Fluid Viscous Damper* (FVD) sebagai alat peredam gaya gempa. Tujuan dari penggunaan FVD adalah untuk mendispersi energi gempa dan meminimalisir kerusakan struktur yang terjadi akibat gempa.

Pada tugas akhir ini direncanakan alternatif desain pada Gedung 4 Universitas Ciputra Surabaya dengan memodifikasi sistem struktur yang tadinya menggunakan *shear wall* yang diganti menjadi *Fluid Viscous Damper* (FVD). Untuk struktur utamanya yang semula

merupakan gedung beton bertulang juga akan diganti menggunakan konstruksi baja pada balok dan kolomnya. Perancangan bangunan gedung ini berdasarkan Persyaratan Beton Struktural untuk Bangunan Gedung (SNI 2847-2019), untuk gempa berdasarkan pada Tata Cara Perencanaan Ketahanan Gempa untuk Struktur Bangunan Gedung dan Non Gedung (SNI 1726-2019), pembebaan berdasarkan Beban Minimum untuk Perancangan Bangunan Gedung dan Struktur Lain (SNI 1727-2020), untuk Spesifikasi Bangunan Gedung Baja Struktural (SNI 1729-2020), dan untuk menghitungan sambungan yang sudah terprakualifikasi dengan beban seismik terhadap bangunan baja (SNI 7972-2020), serta peraturan penunjang lainnya yang berlaku.

Perhitungan struktur meliputi permodelan struktur dengan program bantu ETABS, analisa gaya dalam, perhitungan penulangan, dan pengecekan syarat elemen struktur. Dimensi kolom yang digunakan adalah CFT 700x700x40, CFT 700x700x40, dan CFT 550x550x36. Dimensi balok utama yang digunakan adalah WF 700.300.13.24 dan WF 300.200.12.20. Pelat yang digunakan adalah pelat bondek dengan tebal 90 mm.

**Kata kunci:** Struktur baja, sistem rangka pemikul momen biasa, *fluid viscous damper*, bangunan tahan gempa.

**“DESAIN ALTERNATIF STRUKTUR GEDUNG 4  
UNIVERSITAS CIPUTRA SURABAYA MENGGUNAKAN  
KONSTRUKSI BAJA DENGAN SISTEM *FLUID VISCOUS  
DAMPER*”**

Supervisor 1 : Ir. Ibnu Puji Rahardjo, MS.  
NIP : 196001051986031003  
Supervisor 2 : Dr. Eng. Yuyun Tajunnisa, S.T., M.T.  
NIP : 197802012006042002  
Student : Nydowaza Adityatama  
NRP : 10111710010106  
Departemen : Diploma IV Teknik Infrastruktur Sipil  
Fakultas Vokasi – ITS

## **ABSTRACT**

*Building 4 of Ciputra University Surabaya was located in Surabaya, and consists of 24 floors with 97 meters high. Based on their SPT value from where the building was placed, this university building was included in the 4th risk category and built on the soft ground (SE) and also included in seismic design category D (KDS D). Therefore, this building was designed using The Ordinary Moment Resisting Frame (SRPMB). Beside the SRPMB structure, this building will be designed using Fluid Viscous Damper (FVD) as an earthquake damper. This FVD aims to disperse energy from earthquake and also decrease the number of structural damage caused by the earthquake.*

*In this study, alternative design for the Ciputra University building is planned by modifying their structural system using Fluid Viscous Damper (FVD). Their main structure that used reinforced concrete building structure at first will also be modified by using steel construction for their beams and columns. The design of this building will follow some specifications such as Persyaratan Beton Struktural*

*untuk Bangunan Gedung (SNI 2847-2019), Tata Cara Perencanaan Ketahanan Gempa untuk Struktur Bangunan Gedung dan Non Gedung (SNI 1726-2019) for the earthquake value, Beban Minimum untuk Perancangan Bangunan Gedung dan Struktur Lain (SNI 1727-2020) for the load value, Spesifikasi Bangunan Gedung Baja Struktural (SNI 1729-2020) for the steel structure, Sambungan yang Sudah Terprakualifikasi dengan Beban Seismik terhadap Bangunan Baja (SNI 7972-2020) for the connector, and other applicable spesifications.*

*Structure analysis includes structural modeling using ETABS, force anaylysis, reinforce calculation, and checking the structural element requirements. The column dimensions used in this study are CFT 700x700x40, CFT 700x700x40, dan CFT 550x550x36. The type that used in this study for the main beam are WF 700.300.13.24 dan WF 300.200.12.20. And last, floordesk with 90 mm thick also used in this study*

**Keyword :** *Steel structure strengthening, Ordinary Moment Resisting Frame, fluid viscous damper, Earthquake resistant building.*

## **KATA PENGANTAR**

Puji syukur kehadirat Allah SWT yang telah memberikan Rahmat serta hidayah-Nya sehingga penulis dapat menyelesaikan proposal tugas akhir, Departemen Teknik Infrastruktur Sipil, Institut Teknologi Sepuluh Nopember Surabaya.

Penyusunan karya tulis dari bantuan, dukungan dan perhatian berbagai pihak. Oleh karena itu, penulis menyampaikan terima kasih kepada :

1. Kedua orang tua, saudara – saudara tercinta, sebagai semangat, dan yang telah banyak memberi dukungan, terutama doa.
2. Bapak Ir. Ibnu Pudji Rahardjo, M.S. dan Ibu Dr. Eng. Yuyun Tajunnisa, ST., MT selaku dosen pembimbing yang telah memberikan masukan dan bimbingan selama proses pembuatan tugas akhir terapan.
3. Bapak Mohammad Khoiri, ST., MT., Ph.D., selaku ketua program studi Departemen Teknik Infrastruktur Sipil FV – ITS.
4. Teman-teman Teknik Infrastruktur Sipil yang selalu mendukung dan memberikan semangat dalam penyelesaian proposal tugas akhir terapan ini.

Penulis menyadari bahwa dalam proses penyusunan proposal tugas akhir terapan ini masih banyak terdapat kekurangan, Penulis juga memohon maaf atas segala kekurangan yang ada dalam proposal tugas akhir terapan ini.

Surabaya, 15 Juli 2021

Penulis

**DAFTAR ISI**

LEMBAR PENGESAHAN .....	v
ABSTRAK.....	vii
ABSTRACT .....	ix
KATA PENGANTAR .....	xi
DAFTAR ISI .....	xii
DAFTAR GAMBAR.....	xvi
DAFTAR TABEL .....	xviii
BAB I PENDAHULUAN.....	1
1.2    Rumusan Masalah .....	2
1.3    Batasan Masalah.....	2
1.4    Tujuan .....	3
1.5    Manfaat.....	3
BAB II TINJAUAN PUSTAKA .....	5
2.1    Umum.....	5
2.2    Studi Literatur.....	5
2.3 <i>Fluid Viscous Damper</i> .....	5
2.3.1    Komponen <i>Fluid Viscous Damper</i> .....	7
2.3.1.1    Kekakuan <i>Fluid Viscous Damper</i> .....	7
2.3.2    Pemasangan <i>Fluid Viscous Damper</i> .....	8
2.3.3    Kelebihan <i>Fluid Viscous Damper</i> .....	8
2.3.4    Kekurangan <i>Fluid Viscous Damper</i> .....	9
2.4    Sistem Struktur Gedung .....	9
2.5    Penetapan Beban .....	10
2.5.1    Beban Mati.....	10
2.5.2    Beban Hidup .....	11

2.5.3	Beban Gempa.....	12
2.5.4	Beban Angin .....	16
2.5.5	Beban Hujan .....	16
2.6	Balok Lentur.....	16
2.6.1	Perilaku Keruntuhan Elemen Struktur .....	17
2.6.2	Rasio Lebar-Tebal dan Klasifikasi Profil.....	18
2.6.3	Kuat Lentur Nominal.....	19
2.6.4	Tekuk Lateral ( <i>Lateral Buckling</i> ) .....	21
2.7	Kolom.....	24
2.7.1	Klasifikasi Penampang.....	25
2.7.2	Kuat Tekan Nominal.....	25
2.7.3	Penampang Simetri Terhadap Lentur dan Aksial.....	28
2.8	Sambungan .....	28
2.8.1	Sambungan Las.....	29
2.8.2	Sambungan Baut.....	30
BAB III METODOLOGI.....		35
3.1	Diagram Alir Penyelesaian Tugas Akhir .....	35
3.2	Data Perencanaan .....	38
3.2.1	Data Bangunan.....	38
3.2.2	Data Material .....	38
3.2.3	Data Tanah.....	38
3.3	Analisa Beban.....	38
3.4	Permodelan Struktur .....	39
3.5	Analisa Struktur Eksisting.....	40
BAB IV ANALISIS PEMBEBANAN .....		41
4.1	Beban Mati (DL) .....	41
4.1.1	Beban Struktur ( <i>Self Weight Dead</i> ).....	41

4.1.2	Beban Mati Tambahan.....	41
4.1.3	Beban Lift .....	41
4.2	Beban Hidup (LL) .....	43
4.3	Beban Air Hujan (R) .....	43
4.4	Beban Angin (W) .....	44
4.5	Beban Gempa (E) .....	46
4.6	Kombinasi Pembebatan .....	54
BAB V	HASIL DAN PEMBAHASAN.....	55
5.1	Kontrol Sistem Struktur.....	55
5.1.1	Kontrol Partisipasi Massa .....	55
5.1.2	Penentuan Periode Fundamental.....	57
5.1.3	Kontrol Geser Dasar Seismik.....	59
5.1.4	Kontrol Simpangan Antar Lantai .....	61
5.2	Perhitungan Struktur Sekunder.....	65
5.2.1	Perhitungan Pelat Lantai .....	65
5.2.2	Perhitungan Balok Anak .....	71
5.2.3	Perhitungan Struktur Tangga .....	79
5.2.4	Perhitungan Balok Penumpu Lift.....	92
5.3	Perhitungan Struktur Primer.....	96
5.3.1	Perhitungan Balok Induk .....	96
6.3.2	Perhitungan Kolom.....	104
5.3.3	Perhitungan Sambungan Balok Anak – Balok Induk.....	111
5.3.4	Perhitungan Sambungan Balok Tangga – Balok Penumpu Tangga .....	114
5.3.5	Perhitungan Sambungan Balok Penumpu Tangga – Kolom .....	116
5.3.6	Perhitungan Sambungan Balok Induk – Kolom.....	119

5.3.7	Perhitungan Sambungan Kolom – Kolom .....	123
5.3.8	Perhitungan Kapasitas Bracing .....	126
5.3.9	Perhitungan Sambungan <i>HSS Circle</i> ke Kolom.....	128
5.3.10	Perhitungan Baut Angkur .....	135
5.3.11	Perhitungan Base plate .....	139
5.4	Perhitungan Struktur Bawah.....	146
5.4.1	Data Perencanaan Tiang Pancang .....	146
5.4.2	Perhitungan Daya Dukung Tanah.....	147
5.4.3	Perhitungan Pondasi Tipe 1 .....	148
5.4.4	Perhitungan Pondasi Tipe 2 .....	157
5.4.5	Perhitungan Pondasi Tipe 3 .....	166
5.4.6	Perhitungan Pondasi Tipe 4 .....	176
BAB VI METODE PELAKSANAAN	.....	186
6.1	Umm.....	186
6.2	Perencanaan Alur Pekerjaan.....	186
6.3.1	Pekerjaan Pemasangan Kolom.....	186
6.3.2	Pekerjaan Pemasangan Balok .....	187
6.3.3	Pekerjaan Pelat Lantai.....	187
6.3.4	Pekerjaan Pemasangan FVD .....	188
BAB VII KESIMPULAN	.....	193
7.1	Hasil Kesimpulan .....	193
7.2	Saran.....	195
DAFTAR PUSTAKA	.....	197
BIODATA PENULIS	.....	198

## DAFTAR GAMBAR

Gambar 2. 1 Grafik Hubungan Antara Gaya Damping dan Kecepatan	6
Gambar 2. 2 Sketsa <i>Fluid Viscous Damper</i>	7
Gambar 2. 3 Desain Pemasangan FVD Pada Bangunan	8
Gambar 2. 4 Nilai S <sub>s</sub> dan S <sub>1</sub> Lokasi Gedung	10
Gambar 2. 5 Tipe – Tipe Penampang yang Digunakan Sebagai Balok	17
Gambar 2. 6 Perilaku Keruntuhan Tarik Baja Daktail	17
Gambar 2. 7 Hubungan Kapasitas Lentur Dengan Jarak Pengekangan Lateral, $L_p$	21
Gambar 2. 8 Balok Tertumpu Sederhana Dengan Pengaku Lateral	23
Gambar 2. 9 <i>Allignment Chart</i> – Rangka Tidak Bergoyang	27
Gambar 2. 10 <i>Allignment Chart</i> – Rangka Bergoyang	27
Gambar 2. 11 Simbol Las dan Aplikasinya	30
Gambar 3. 1 Permodelan Eksisting Bangun	39
Gambar 4. 1 Dimensi <i>Lift Hyundai</i>	42
Gambar 4. 2 Pembebanan balok penggantung lift	42
Gambar 4. 3 Katergori Resiko Bangunan	44
Gambar 4. 4 Nilai Percepatan Batuan Dasar Perioda Pendek (S <sub>s</sub> )	47
Gambar 4. 5 Nilai Percepatan Batuan Dasar Perioda 1 Detik (S <sub>1</sub> )	48
Gambar 4. 6 Grafik <i>Response Spectrum</i> Gempa Surabaya	53
Gambar 5. 1 Nilai parameter pendeketan	58
Gambar 5. 2 Penulangan Pelat Lantai S1	66
Gambar 5. 3 Penulangan Pelat Lantai S2	68
Gambar 5. 4 Penulangan Pelat Lantai S3	70
Gambar 5. 5 Penulangan Pelat Lantai Parkir	71
Gambar 5. 6 Potongan PenampangBalok Anak	72
Gambar 5. 7 Model beban pada balok anak	72
Gambar 5. 8 Potongan Penampang Balok Kantilever	76
Gambar 5. 9 Denah Tangga	81
Gambar 5. 10 Penulangan pelat anak tangga dan bordes	82
Gambar 5. 11 Potongan penampang balok utama tangga	83
Gambar 5. 12 Potongan balok utama tangga	84
Gambar 5. 13 Gambar mekanika teknik balok utama tangga	85
Gambar 5. 14 Potongan penampang balok penumpu bordes	89
Gambar 5. 15 Gambar mekanika balok bordes	90

Gambar 5. 16 Spesifikasi Lift.....	92
Gambar 5. 17 Gambar potongan penampang balok lift .....	93
Gambar 5. 18 Gambar mekanika balok penumpu lift.....	94
Gambar 5. 19 Diagram Momen Balok Induk B1 .....	96
Gambar 5. 19 Diagram Momen Balok Induk B1 .....	99
Gambar 5. 20 Diagram Momen Balok Induk B2 .....	102
Gambar 5. 21 Konfigurasi sambungan geser 2 baut.....	112
Gambar 5. 22 Jarak antar baut.....	113
Gambar 5. 23 Letak kuat geser balok yang ditinjau .....	113
Gambar 5. 24 Konfigurasi sambungan geser 2 baut.....	114
Gambar 5. 25 Jarak antar baut.....	115
Gambar 5. 26 Letak kuat geser balok yang ditinjau .....	116
Gambar 5. 27 Konfigurasi sambungan geser 2 baut.....	117
Gambar 5. 28 Jarak antar baut.....	118
Gambar 5. 29 Letak kuat geser balok yang ditinjau .....	118
Gambar 5. 30 Konfigurasi <i>Extended End-Plate</i> delapan baut + pengaku .....	119
Gambar 5. 32 Skema Gaya Dalam pada Sambungan .....	128
Gambar 5. 33 Penyebaran Beban dari Gaya Terpusat melalui Kepala Pelat.....	134
Gambar 5. 34 Jarak antau baut untuk sambungan <i>End-Plate</i> .....	136
Gambar 5. 35 Geometri Penampang Base Plate.....	139
Gambar 5. 36 Geometri Pemasangan Baut Angkur.....	143
Gambar 5. 38 Brosur Spesifikasi Tiang Pancang PT. Wika Beton .....	146
Gambar 5. 37 Jarak Tiang Pancang Pondasi Tipe 1 .....	149
Gambar 5. 38 Jarak Tiang Pancang Pondasi Tipe II.....	159
Gambar 5. 39 Jarak Tiang Pancang Pondasi Tipe III .....	168
Gambar 5. 40 Jarak Tiang Pancang Pondasi Tipe IV .....	177

## DAFTAR TABEL

Tabel 2. 1 Kategori Resiko Bangunan .....	12
Tabel 2. 2 Faktor Keutamaan Gempa .....	13
Tabel 2. 3 Klasifikasi Situs Tanah.....	13
Tabel 2. 4 Koefisien $F_a$ .....	14
Tabel 2. 5 Koefisien $F_V$ .....	15
Tabel 2. 6 Kategori Desain Seismik .....	15
Tabel 2. 7 Klasifikasi Elemen Penahan Tekan Aksial .....	18
Tabel 2. 8 Contoh Klasifikasi Elemen Penampang .....	25
Tabel 4. 1 Spesifikasi lift <i>Hyundai</i> .....	41
Tabel 4. 2 Spesifikasi lift <i>Hyundai</i> (lanjutan) .....	42
Tabel 4. 3 Hasil Uji SPT Tanah Surabaya .....	46
Tabel 4. 4 Nilai Percepatan Gempa Respons .....	49
Tabel 5. 1 Nilai Partisipasi Massa .....	55
Tabel 5. 2 Koefisien untuk Cu.....	57
Tabel 5. 3 Perbandingan Periode Fundamental .....	59
Tabel 5. 4 Geser Dasar Respons (Vt).....	60
Tabel 5. 5 Kontrol Simpangan Antar Lantai Sumbu X .....	61
Tabel 5. 6 Kontrol Simpangan Antar Lantai Sumbu Y .....	62
Tabel 5. 7 Kontrol Simpangan Antar Lantai Sumbu X .....	63
Tabel 5. 8 Kontrol Simpangan Antar Lantai Sumbu Y .....	64
Tabel 5. 9 Beban Berguna Pelat Lantai S1.....	65
Tabel 5. 10 Beban Berguna Pelat Lantai S2.....	67
Tabel 5. 11 Beban Berguna Pelat Lantai S3.....	68
Tabel 5. 12 Beban Berguna Pelat Lantai Parkir .....	70
Tabel 5. 13 Dimensi Balok Anak .....	71
Tabel 5. 14 Beban mati merata pada balok anak .....	73
Tabel 5. 15 Dimensi Balok Anak .....	75
Tabel 5. 16 Beban mati merata pada balok kantilever.....	76
Tabel 5. 17 Data Perencanaan Tangga.....	79
Tabel 5. 18 Beban Berguna Pelat Anak Tangga.....	80
Tabel 5. 19 Dimensi Balok Utama Tangga .....	82
Tabel 5. 20 Dimensi Balok Penumpu Bordes .....	89
Tabel 5. 21 Dimensi balok penumpu lift.....	93
Tabel 5. 25 Data untuk <i>extended end plate</i> .....	120

Tabel 5. 32 Data Perencanaan Baut Angkur .....	135
Tabel 5. 33 Rangkuman Kuat Batas Angkur.....	138
Tabel 5. 36 Data Perencanaan Tiang Pancang .....	146
Tabel 5. 36 Jarak Tiap Pancang Terhadap Titik Berat <i>Pilecap</i> .....	150
Tabel 5. 36 Jarak Tiap Pancang Terhadap Titik Berat <i>Pilecap</i> .....	159
Tabel 5. 36 Jarak Tiap Pancang Terhadap Titik Berat <i>Pilecap</i> .....	168
Tabel 5. 36 Jarak Tiap Pancang Terhadap Titik Berat <i>Pilecap</i> .....	178



## BAB I

### PENDAHULUAN

#### 1.1 Latar Belakang

Konstruksi baja untuk bangunan gedung tinggi terbukti lebih kokoh dan juga aman. Tak hanya itu, konstruksi baja juga lebih mudah dirangkai dan mempercepat proses pembangunan sehingga banyak digunakan. Dalam pembangunan gedung efisiensi waktu sangat penting karena dapat membantu menekan biaya konstruksi. Struktur baja pada gedung merupakan investasi jangka panjang yang menjanjikan, dan jika dibongkar maka nilai jualnya akan tetap tinggi. Tidak perlu diragukan lagi kualitasnya, terutama dari segi pengrajaannya.. Mutu baja juga dijamin tidak akan turun dibandingkan beton. dalam pengrajaannya mutu beton seringkali turun. Di sisi lain, pembongkaran baja lebih mudah karena hanya melepas bautnya. Dari segi lingkungan, baja dianggap lebih ramah. Seperti yang kita ketahui bersama, beton terbuat dari batu, pasir dan air.

Selain itu Indonesia terletak di antara dua benua dan dua samudera. Hal ini yang kemudian menjadi penyebab kenapa di Indonesia sering sekali terjadi gempa bumi, baik vulkanik maupun tektonik. Kondisi inilah yang menuntut agar bangunan yang terletak di daerah rawan gempa harus direncanakan untuk dapat menahan gaya gempa. Untuk mengurangi risiko kerusakan bangunan akibat gempa, sekarang ini telah dikembangkan suatu metode perencanaan bangunan tahan gempa. Metode ini bukan dengan cara meningkatkan kapasitas elemen struktur, sebaliknya gaya gempa yang bekerja diredam menggunakan alat damper. Sehingga, struktur bangunan menjadi lebih elastis dan mampu meredam guncangan gempa. Kondisi tersebut diharapkan tidak terjadi kerusakan struktur bangunan ketika gempa terjadi dan untuk sistem penahan gempanya akan diberikan suatu alat peredam gempa yaitu salah satunya dengan *Fluid Viscous Damper (FVD)*.

Pada tugas akhir ini digunakan *Fluid Viscous Damper (FVD)* sebagai alat peredam dan pendisipasi energi akibat gempa. FVD dipilih karena bangunan berada di atas tanah lunak, dan alat pendisipasi energi yang cocok digunakan yaitu FVD. Alat peredam ini diletakan diantara balok dan kolom gunanya sebagai pengaku dan mengurangi kerusakan pada struktur utama.

Sebelumnya gedung ini menggunakan sistem ganda (*dual system*) yakni Sistem Rangka Pemikul Momen (SRPM) dan Dinding Geser (*shearwall*). Bangunan ini memiliki jumlah lantai sebanyak 23 lantai, yang terdiri dari 7 lantai parkiran dan 16 lantai tower. Bangunan ini dapat digolongkan kedalam bangunan tinggi. Pada Gedung ini akan dimodifikasi dari kontruksi gedung beton menjadi konstuksi bangunan baja dan penambahan sistem menggunakan *fluid viscous damper* (FVD) dengan mengganti fungsi dari dinding geser. Setelah dinding geser dihilangkan dan dilakukan evaluasi, diketahui bahwa gedung tersebut mempunyai drift melebihi dari simpangan ijin. Dalam mengatasi masalah tersebut perlu dilakukan modifikasi sistem struktur dengan menggunakan *fluid viscous damper* (FVD) dan untuk mengetahui keefektifan pola penempatan FVD pada struktur gedung bertingkat tipe SPRMB menggunakan jenis FVD yang sama dengan mencermati kinerja struktur meliputi aspek waktu getar struktur, gaya geser dasar, simpangan antar tingkat, tingkat kinerja struktur, dan tingkat daktilitas..

## 1.2 Rumusan Masalah

Berdasarkan latar belakang diatas, perumusan masalah yang akan ditinjau dalam penyusunan Tugas Akhir Terapan adalah sebagai berikut :

1. Bagaimana mendesain struktur Gedung 4 Universitas Ciputra Surabaya menggunakan konstruksi baja dengan sistem *Fluid Viscous Damper* (FVD) ?
2. Bagaimana metode pelaksanaan pemasangan *Fluid Viscous Damper* (FVD) di lapangan ?

## 1.3 Batasan Masalah

Ruang lingkup pembatasan Tugas Akhir ini adalah sebagai berikut :

1. Metode pelaksanaan hanya difokuskan pada pemasangan sistem *Fluid Viscous Damper* (FVD) di lapangan, bukan metode pelaksanaan secara keseluruhan.
2. Beban gempa dihitung menggunakan metode *response spectrum*.
3. Pelat lantai diasumsikan menjadi beban pada struktur primer.
4. Untuk sistem struktur memakai SRPMB.

#### **1.4 Tujuan**

Adapun tujuan dari penulisan Tugas Akhir ini adalah sebagai berikut :

1. Mengetahui cara mendesain struktur Gedung 4 Universitas Ciputra Surabaya menggunakan konstruksi baja dengan sistem Fluid Viscous Damper (FVD).
2. Mengetahui perilaku sistem struktur yang terjadi akibat gempa yang disesuaikan terhadap SNI 1726:2019.
3. Mengetahui metode pelaksanaan pemasangan *Fluid Viscous Damper (FVD)* di lapangan.

#### **1.5 Manfaat**

Adapun manfaat dari penyusunan Tugas Akhir ini yaitu :

1. Menambah wawasan dan ilmu khususnya kepada penulis mengenai perencanaan bangunan menggunakan sistem *Fluid Viscous Damper (FVD)* yang memenuhi persyaratan kemanan dan kestabilan struktur
2. Sebagai bahan pembelajaran dan referensi dalam mengembangkan ilmu perencanaan bangunan gedung khususnya mengenai sistem *Fluid Viscous Damper (FVD)* sebagai perencanaan struktur bangunan tahan gempa.

*“Halaman ini sengaja dikosongkan”*

## **BAB II**

### **TINJAUAN PUSTAKA**

#### **2.1 Umum**

Konstruksi baja memiliki daya daktilitas yang tinggi. Keunggulan ini menjadikan struktur baja lebih elastis. Konstruksi baja juga lebih mudah dirangkai dan mempercepat proses pembangunan sehingga banyak digunakan. Dalam pembangunan gedung efisiensi waktu sangat penting karena dapat membantu menekan biaya konstruksi. Pada bangunan bertingkat tinggi beban lateral akibat gaya gempa dan angin menjadi lebih dominan karena beban yang diterima lebih besar dari bangunan yang bertingkat rendah. Gangguan akibat gaya lateral dapat menyebabkan terjadinya simpangan pada gedung.

*Fluid Viscous Damper* (FVD) merupakan *viscous damper* yang umum digunakan sebagai pelindung struktur yang dipasang pada *skeleton frame* bangunan, untuk meredam atau mendisipasi energi gempa yang masuk ke bangunan. Peredam FVD menghilangkan energi dengan mengubah energi kinetik menjadi energi panas, selanjutnya panas yang terjadi menghilang di udara. Bagian yang bekerja adalah piston pada FVD tertekan maupun tertarik yang akan mengalirkan fluida didalam FVD tersebut. Perbedaan tekanan yang besar di sepanjang *orifice* menciptakan gaya redaman.

#### **2.2 Studi Literatur**

Peraturan yang digunakan untuk perencanaan Gedung 4 Universitas Ciputra adalah

1. SNI 1726:2019 Tata cara perencanaan ketahanan gempa untuk struktur bangunan gedung dan non gedung
2. SNI 1727:2020 Beban desain minimum dan kriteria terkait untuk bangunan gedung dan struktur lain
3. SNI 2847:2020 Persyaratan beton struktural gedung
4. SNI 1729:2020 Spesifikasi untuk bangunan gedung baja struktural
5. AISC 360-16 *Specification for Structural Steel Buildings*

#### **2.3 *Fluid Viscous Damper***

*Fluid viscous damper* bekerja dengan cara memberikan gaya untuk meredam gerakan struktur saat terjadi gempa. *Fluid Viscous*

*Damper* mendisipasi energi berdasarkan kecepatan gerak piston dan kekentalan cairan yang mengalir melalui lubang di piston. Cairan pekat yang biasa digunakan yaitu minyak silikon (*silicone oil*). FVD dipasang pada skeleton frame bangunan, biasanya sejajar dengan bracing diagonal.

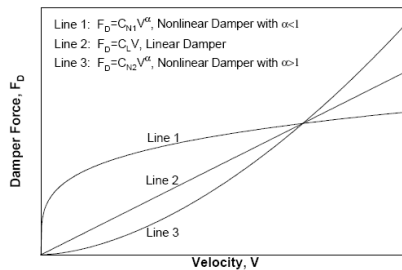
*Fluid viscous damper* bekerja layaknya pegas yang dapat mereduksi tegangan dan defleksi yang terjadi pada struktur bangunan secara bersamaan. Gaya redaman yang bekerja sebanding dengan perubahan kecepatan *stroke (stroking velocity)*. Cara kerja ini dianalogikan seperti suspensi atau shock absorber pada mobil. *Viscous damper* mendisipasi energi berdasarkan kecepatan gerak dari bagian damper. Bentuk umum dari gaya redaman atau damping dapat dituliskan:

$$F_D = CV^\alpha \quad \text{Pers. 2- 1}$$

Dimana :

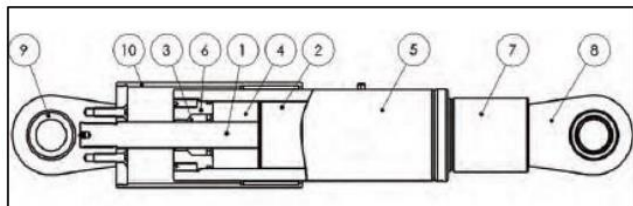
- $F_D$  = gaya damping
- $C$  = konstanta damping
- $V$  = kecepatan
- $\alpha$  = eksponen antara 0 dan 1

Koefisien  $\alpha$  mempengaruhi kelinieran dari damping, bila  $\alpha = 1$  gaya damping disebut *linear viscous damper*, sedangkan  $\alpha < 1$  maka gaya damping disebut *nonlinear viscous damper*. *Nonlinear viscous damper* lebih efektif dalam memperkecil goncangan dengan kecepatan tinggi.



**Gambar 2. 1** Grafik Hubungan Antara Gaya Damping dan Kecepatan  
 Sumber : Narkhede dan Sinha 2012

**Gambar 2. 2 Sketsa Fluid Viscous Damper**  
Sumber : Taylor Devices Inc. 2020



### 2.3.1 Komponen Fluid Viscous Damper

1. *Piston Rod*, berupa batang untuk piston yang terbuat dari *stainless steel*.
2. *Piston Head*, terbuat dari baja dan terdapat lubang untuk saluran cairan mengalir.
3. *Seal / Seal Bearings*, lapisan yang terbuat dari *acetyl resin* dan *Teflon*.
4. *Fluid*, cairan yang digunakan bersifat tidak mudah menyala dan tidak mudah terbakar.
5. *Cylinder*, sudah dilapisi dengan cat untuk mencegah korosi.
6. *End Cap*, penutup tabung yang tahan panas dan juga dilapisi cat untuk mencegah korosi.
7. *Extender*, sebagai penyambung yang dibuat dari baja karbon.
8. *End Clevis*, tahan panas dan dilapisi cat untuk mencegah korosi.
9. *Spherical Bearing*, ditempa dari baja campuran untuk pesawat.
10. *Outer Sleeve*, terbuat dari baja karbon dan dilapisi cat untuk mencegah korosi.

#### 2.3.1.1 Kekakuan Fluid Viscous Damper

Menurut Douglas P. Taylor, kekakuan dari *Fluid Viscous Damper* (FVD) yaitu

$$K = \frac{AE}{L}$$

Pers. 2- 2

Dimana:

K = kekakuan *Fluid Viscous Damper* (FVD) (kg/m)

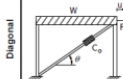
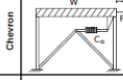
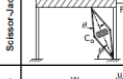
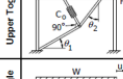
A = luas *Fluid Viscous Damper* (FVD) (m<sup>2</sup>)

E = modulus elastisitas (kg/m<sup>2</sup>)

L = panjang *Fluid Viscous Damper* (FVD) (m)

### 2.3.2 Pemasangan *Fluid Viscous Damper*

Sistem *Fluid viscous damper* dapat dipasang dengan beberapa cara. Diantaranya adalah dengan cara diagonal, *chevron*, *scissor-jack*, *upper toggle* dan *reverse toggle*.

Diagonal		$f = \cos \theta$	$\theta = 37^\circ$ $f = 0.80$ $\beta = 0.03$
Chevron		$f = 1.00$	$f = 1.00$ $\beta = 0.05$
Scissor-Jack		$f = \frac{\cos \psi}{\sin \theta}$	$\theta = 9^\circ, \psi = 70^\circ$ $f = 2.16$ $\beta = 0.23$
Upper Toggle		$f = \frac{\sin \theta_2}{\cos(\theta_1 + \theta_2)} + \sin \theta_1$	$\theta_1 = 31.9^\circ, \theta_2 = 43.2^\circ$ $f = 3.191$ $\beta = 0.509$
Reverse Toggle		$f = \frac{\alpha \cos \theta_1}{\cos(\theta_1 + \theta_2)} - \cos \theta_2$	$\theta_1 = 30^\circ, \theta_2 = 40^\circ$ $\alpha = 0.7$ $f = 2.521$ $\beta = 0.318$

Gambar 2. 3 Desain Pemasangan FVD Pada Bangunan

Sumber : Sigaher-Boyle and Constantinou 2004

Pada saat pemasangan *fluid viscous damper* umumnya disambung dengan bracing baja. Karena panjang dari *fluid viscous damper* hanya sekitar 1 meter.

### 2.3.3 Kelebihan *Fluid Viscous Damper*

Sistem Adapun kelebihan dari menggunakan *fluid viscous damper* adalah sebagai berikut :

1. Dapat mereduksi gerakan struktur akibat gempa, dengan mengubah energi kinetik menjadi energi panas,

- selanjutnya panas yang terjadi menghilang di udara (atmosfir).
2. Dapat mereduksi simpangan antar lantai.
  3. Dapat mereduksi periode fundamental struktur.
  4. Dapat mereduksi base shear.
  5. Dapat mereduksi tegangan dan defleksi struktur secara bersamaan saat gempa. Karena gaya yang dihasilkan FVD yang bekerja sebanding dengan perubahan kecepatan *stroking velocity*.
  6. Fleksibel dalam pemilihan lokasi penempatan, konfigurasi, dan ukuran.

#### **2.3.4 Kekurangan *Fluid Viscous Damper***

1. *Fluid Viscous Damper* pada umumnya dipasang pada struktur atas gedung. Sehingga, keberadaannya dapat mengurangi nilai arsitektural dan memakan ruang.
2. FVD yang tersedia di pasaran panjangnya hanya sekitar 1 meter. Sehingga, diperlukan *bracing* sebagai penyambung pada saat pemasangannya.

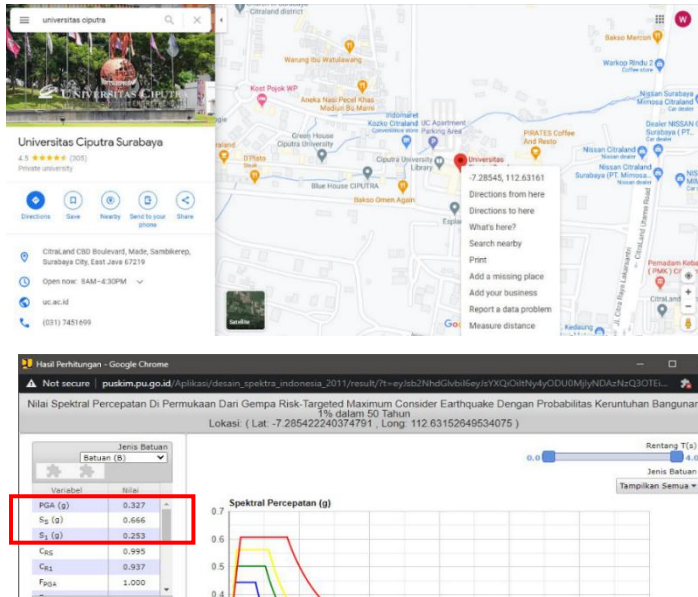
#### **2.4 Sistem Struktur Gedung**

Sistem Rangka Pemikul Momen (SRPM) digunakan untuk meminimalisir kegagalan konstruksi bangunan akibat beban, termasuk saat terjadi beban gempa. Ada 3 jenis Sistem Rangka Pemikul Momen (SRPM) yang didasarkan pada Kategori Desain Seismik (KDS) dari gedung. Antara lain sebagai berikut :

1. Sistem Rangka Pemikul Momen Biasa (SRPMB) jika KDS A atau B.
2. Sistem Rangka Pemikul Momen Menengah (SRPMM) jika KDS C
3. Sistem Rangka Pemikul Momen Khusus (SRPMK) jika KDS D, E, atau F.

Berdasarkan perhitungan percepatan spektral desain lokasi Gedung 4 Universitas Ciputra Surabaya, diperoleh KDS D, sehingga sistem yang yang tepat untuk Gedung 4 Universitas Ciputra Surabaya adalah Sistem Rangka Pemikul Momen Khusus (SRPMK). Tetapi dalam perencanaan *Fluid Viscous Damper* (FVD) menggunakan Sistem Rangka Pemikul Momen Biasa (SRPMB) dengan pertimbangan gaya gempa yang terjadi diredam

oleh *Fluid Viscous Damper* (FVD), dan setelah terjadi gempa struktur masih bisa digunakan kembali.



**Gambar 2. 4** Nilai S<sub>s</sub> dan S<sub>1</sub> Lokasi Gedung  
Sumber : PUSKIM

## 2.5 Penetapan Beban

Perencanaan pembebanan dihitung mengacu pada SNI 1727:2020 tentang Beban Minimum Untuk Perencanaan Bangunan Gedung dan Struktur Lain dan ASCE 7-16. Untuk beban gempa mengacu pada SNI 1726:2019 tentang Tata Cara Perencanaan 16 Ketahanan Gempa untuk Struktur Bangunan Gedung dan Non Gedung.

### 2.5.1 Beban Mati

Beban mati terdiri atas berat sendiri seluruh elemen struktur dan perlengkapan permanen pada gedung. Beban mati sendiri terdiri dari dua macam, antara lain:

1. Berat sendiri elemen struktur (*selfweight*, DL):  
Berat beton bertulang = **2360 kg/m<sup>3</sup>** (SNI 1727-2020 Tabel C3-1)
2. Berat sendiri tambahan (*superimposed dead load*, SDL):
  - Berat dinding bata ringan (4m) = **300 kg/m** (Brosur CITICON®)
  - Berat dinding bata ringan (5m) = **375 kg/m** (Brosur CITICON®)
  - Berat keramik dan spesi = **77 kg/m<sup>2</sup>** (SNI 1727-2020 Tabel C3-1 "Ceramic or quarry tile (19 mm) on 13-mm mortar bed")
  - Beban *Mechanical Electrical* = **19 kg/m<sup>2</sup>** (SNI 1727-2020 Tabel C3-1 "Mechanical Duct Allowance")
  - Beban Plafon (*Gypsum 9mm*) = **7,2 kg/m<sup>2</sup>** (SNI 1727-2020 Tabel C3-1 "Acoustical Fiberboard")
  - Beban penggantung langit-langit = **10 kg/m<sup>2</sup>** (SNI 1727-2020 Tabel C3-1 "Suspended Steel Channel System")
  - Beban Bondek = **10,1 kg/m<sup>2</sup>** (Brosur Lysaght Bondek)
  - Beban lapisan waterproofing = **5 kg/m<sup>2</sup>** (SNI 1727-2020 Tabel C3-1 "Waterproofing Membranes Liquid Applied")

### 2.5.2 Beban Hidup

Beban hidup mencakup semua beban yang terjadi akibat dari pemakaian dan penghunian suatu bangunan, termasuk dalam barang yang ada didalamnya walau tidak permanen. Beban hidup diperhitungkan sesuai dengan fungsi bangunan. Beban hidup dapat didefinisikan sesuai SNI 1727-2020 Tabel 4.3-1 sebagai berikut:

- Beban Lobby = **4,79 kN/m<sup>2</sup>**
- Beban Ruang Kelas = **3,83 kN/m<sup>2</sup>**
- Beban Koridor = **4,79 kN/m<sup>2</sup>**
- Beban Koridor diatas lantai pertama = **3,83 kN/m<sup>2</sup>**
- Beban Ruang Publik = **4,79 kN/m<sup>2</sup>**
- Beban Kantor = **2,40 kN/m<sup>2</sup>**
- Beban Panggung Pertemuan = **7,18 kN/m<sup>2</sup>**
- Beban Jalur untuk akses pemeliharaan = **1,92 kN/m<sup>2</sup>**
- Beban Ruang Laboratorium = **7,18 kN/m<sup>2</sup>**

### 2.5.3 Beban Gempa

Perencanaan beban gempa untuk struktur Gedung 4 Universitas Ciputra Surabaya menggunakan metode spektrum respons sesuai dengan ketentuan pada SNI 1726-2019.

#### a) Kategori Resiko Bangunan

Kategori risiko bangunan gedung dibedakan sesuai dengan fungsi dari bangunan tersebut. Banyak faktor yang mempengaruhi dari tingkat kategori risiko bangunan seperti: tingkat risiko terhadap jiwa manusia saat terjadi kegagalan, potensi menyebabkan dampak ekonomi dan/atau gangguan massal, serta keharusan untuk mempertahankan fungsi struktur bangunan sesuai Tabel 3 SNI 1726-2019

**Tabel 2. 1 Kategori Resiko Bangunan**

Sumber : SNI 1726:2019

Jenis pemanfaatan	Kategori risiko
Gedung dan nongedung yang memiliki risiko rendah terhadap jiwa manusia pada saat terjadi kegagalan, termasuk, tapi tidak dibatasi untuk, antara lain: <ul style="list-style-type: none"> <li>- Fasilitas pertanian, perkebunan, pertemakan, dan perikanan</li> <li>- Fasilitas sementara</li> <li>- Gudang penyimpanan</li> <li>- Rumah jaga dan struktur kecil lainnya</li> </ul>	I
Semua gedung dan struktur lain, kecuali yang termasuk dalam kategori risiko I,II,IV, termasuk, tapi tidak dibatasi untuk: <ul style="list-style-type: none"> <li>- Perumahan</li> <li>- Rumah toko dan rumah kantor</li> <li>- Pasar</li> <li>- Gedung perkantoran</li> <li>- Gedung apartemen/ rumah susun</li> <li>- Pusat perbelanjaan/ mall</li> <li>- Bangunan industri</li> <li>- Fasilitas manufaktur</li> <li>- Pabrik</li> </ul>	II
Gedung dan nongedung yang memiliki risiko tinggi terhadap jiwa manusia pada saat terjadi kegagalan, termasuk, tapi tidak dibatasi untuk: <ul style="list-style-type: none"> <li>- Bioskop</li> <li>- Gedung pertemuan</li> <li>- Stadion</li> <li>- Fasilitas kesehatan yang tidak memiliki unit bedah dan unit gawat darurat</li> <li>- Fasilitas penitipan anak</li> <li>- Penjara</li> <li>- Bangunan untuk orang jompo</li> </ul>	III
Gedung dan nongedung, tidak termasuk kedalam kategori risiko IV, yang memiliki potensi untuk menyebabkan dampak ekonomi yang besar dan/atau gangguan massal terhadap kehidupan masyarakat sehari-hari bila terjadi kegagalan, termasuk, tapi tidak dibatasi untuk: <ul style="list-style-type: none"> <li>- Pusat pembangkit listrik biasa</li> <li>- Fasilitas penanganan air</li> <li>- Fasilitas penanganan limbah</li> <li>- Pusat telekomunikasi</li> </ul>	III
Gedung dan nongedung yang tidak termasuk dalam kategori risiko IV, (termasuk, tetapi tidak dibatasi untuk fasilitas manufaktur, proses, penanganan, penyimpanan, penggunaan atau tempat pembuangan bahan bakar berbahaya, bahan kimia berbahaya, limbah berbahaya, atau bahan yang mudah meledak) yang mengandung bahan beracun atau pelekat di mana jumlah kandungan bahannya melebihi nilai batas yang disyaratkan oleh instansi yang berwenang dan cukup menimbulkan bahaya bagi masyarakat jika terjadi kebocoran.	

**b) Faktor Keutamaan Gempa**

Untuk berbagai kategori risiko struktur bangunan gedung dan non-gedung sesuai SNI 1726-2019 Tabel 4, pengaruh gempa rencana terhadapnya harus dikalikan dengan suatu faktor keutamaan (Ie).

**Tabel 2. 2 Faktor Keutamaan Gempa**

Sumber : SNI 1726:2019

Kategori risiko	Faktor keutamaan gempa, $I_e$
I atau II	1,0
III	1,25
IV	1,50

**c) Wilayah Gempa dan Struktur Respons**

**1. Parameter Percepatan**

Untuk Parameter SS (percepatan batuan dasar pada periode pendek) dan S1 (percepatan batuan dasar pada periode 1 detik) harus ditetapkan masing-masing dari respons spektral percepatan 0,2 detik dan 1 detik dalam peta gerak tanah seismik dengan kemungkinan 2 persen terlampaui dalam 50 tahun.

**2. Klasifikasi Situs**

Setelah menemukan titik yang sesuai berdasarkan daerah yang ditinjau (Surabaya), maka langkah selanjutnya adalah mengklarifikasi situs, dimana klasifikasi kelas situs tersebut terbagi menjadi: SA, SB, SC, SD, SR, dan SF.

**Tabel 2. 3 Klasifikasi Situs Tanah**

Sumber : SNI 1726:2019

Kelas situs	$\bar{V}_s$ (m/detik)	$\bar{N}$ atau $\bar{N}_{ch}$	$\bar{s}_u$ (kPa)
SA (batuan keras)	>1500	N/A	N/A
SB (batuan)	750 sampai 1500	N/A	N/A
SC (tanah keras, sangat padat dan batuan lunak)	350 sampai 750	>50	$\geq 100$
SD (tanah sedang)	175 sampai 350	15 sampai 50	50 sampai 100
SE (tanah lunak)	< 175	<15	< 50
	Atau setiap profil tanah yang mengandung lebih dari 3 m tanah dengan karakteristik sebagai berikut :		
	1. Indeks plastisitas, $PI > 20$ ,		
	2. Kadar air, $w \geq 40\%$ ,		
	3. Kuat geser niralir $s_u < 25$ kPa		
SF (tanah khusus yang membutuhkan investigasi geoteknik spesifik dan analisis respons spesifik-situs yang mengikuti 0)	Setiap profil lapisan tanah yang memiliki salah satu atau lebih dari karakteristik berikut:		
	- Rawan dan berpotensi gagal atau runtuh akibat beban gempa seperti mudah likuifaksi, lempung sangat sensitif, tanah tersementasi lemah		
	- Lempung sangat organik dan/atau gambut (ketebalan $H > 3$ m)		

Kelas situs nantinya untuk mengklasifikasi suatu situs untuk memberikan kriteria desain seismik berupa faktor-faktor amplifikasi pada bangunan. Nantinya profil tanah di situs harus di klasifikasikan sesuai dengan SNI 1726-2019 Tabel 5 dijelaskan beberapa macam kelas situs yang harus ditinjau.

### 3. Koefisien Situs dan Parameter Respon Percepatan Gempa Maksimum yang Dipertimbangkan Risiko Target (MCER)

**Tabel 2. 4** Koefisien  $F_a$

Sumber : SNI 1726:2016

Kelas situs	Parameter respons spektral percepatan gempa maksimum yang dipertimbangkan risiko-target (MCER) terpetakan pada periode 1 detik, $S_1$					
	$S_1 \leq 0,1$	$S_1 = 0,2$	$S_1 = 0,3$	$S_1 = 0,4$	$S_1 = 0,5$	$S_1 \geq 0,6$
SA	0,8	0,8	0,8	0,8	0,8	0,8
SB	0,8	0,8	0,8	0,8	0,8	0,8
SC	1,5	1,5	1,5	1,5	1,5	1,4
SD	2,4	2,2	2,0	1,9	1,8	1,7
SE	4,2	3,3	2,8	2,4	2,2	2,0
SF	SS <sup>(a)</sup>					

Setelah Percepatan respons spektrum MCE untuk periode singkat (SMS) dan pada periode 1 detik (SM1) dihitung berdasarkan SNI 1726:2019 pers. 7 dan pers. 8, yakni sebagai berikut:

$$SMS = Fa \times Ss \quad \text{Pers. 2- 3}$$

$$SM1 = Fv \times S1 \quad \text{Pers. 2- 4}$$

Keterangan:

SS = Parameter respons spektral percepatan gempa MCER terpetakan untuk periode pendek

S1 = Parameter respons spektral percepatan gempa MCER terpetakan untuk periode 0,1 detik

Koefisien situs Fa dan Fv mengikuti SNI 1726-2019 Tabel 6 dan 7

- (a) Untuk nilai-nilai antara SS dapat dilakukan interpolasi linier
- (b) SS = Situs yang memerlukan investigasi geoteknik spesifik dan analisis respons situs-spesifik lihat SNI 1726-2012 ps. 6.10.1

**Tabel 2. 5 Koefisien  $F_V$**   
Sumber : SNI 1726:2019

Kelas situs	<b>Parameter respons spektral percepatan gempa maksimum yang dipertimbangkan risiko-tertarget (MCE<sub>R</sub>) terpetakan pada periode pendek, T = 0,2 detik, S<sub>v</sub></b>					
	$S_v \leq 0,25$	$S_v = 0,5$	$S_v = 0,75$	$S_v = 1,0$	$S_v = 1,25$	$S_v \geq 1,5$
SA	0,8	0,8	0,8	0,8	0,8	0,8
SB	0,9	0,9	0,9	0,9	0,9	0,9
SC	1,3	1,3	1,2	1,2	1,2	1,2
SD	1,6	1,4	1,2	1,1	1,0	1,0
SE	2,4	1,7	1,3	1,1	0,9	0,8
SF	SS <sup>(a)</sup>					

- (a) Untuk nilai-nilai antara S1 dapat dilakukan interpolasi linier
- (b) S1 = Situs yang memerlukan investigasi geoteknik spesifik dan analisis respons situs-spesifik lihat SNI 1726-2019 Pasal 6.10.1

#### 4. Parameter Percepatan Spektral Desain

Parameter percepatan spektral desain untuk periode singkat (SDS) dan periode 1 detik (SD1) dihitung sesuai SNI 1726-2019 ps. 6 persamaan 9 dan 10.

$$SDS = 2/3 SMS$$

Pers. 2- 5

$$SD1 = 2/3 SM1$$

Pers. 2- 6

#### 5. Kategori Desain Seismik

Kategori desain seismik dari struktur yang ditinjau diambil berdasarkan SNI 1726-2019 Tabel 6, dimana diambil berdasarkan nilai SDS dan kategori risiko bangunan yang ditinjau.

**Tabel 2. 6 Kategori Desain Seismik**  
Sumber : SNI 1726:2019

Nilai SDS	<b>Kategori risiko</b>	
	I atau II atau III	IV
$S_{DS} < 0,167$	A	A
$0,167 \leq S_{DS} < 0,33$	B	C
$0,33 \leq S_{DS} < 0,50$	C	D
$0,50 \leq S_{DS}$	D	D

#### **2.5.4 Beban Angin**

Bangunan gedung dan struktur lain, termasuk Sistem Penahan Beban Angin Utama (SPBAU) dan seluruh komponen dan kladding gedung, harus dirancang dan dilaksanakan untuk menahan beban angin seperti yang ditetapkan menurut Pasal 26 sampai Pasal 31 pada SNI 1727-2020. Ketentuan dalam pasal ini mendefinisikan parameter angin dasar untuk digunakan dengan ketentuan lainnya yang terdapat dalam standar ini.

#### **2.5.5 Beban Hujan**

Menurut SNI 1727-2013 setiap bagian dari suatu atap harus dirancang mampu menahan beban dari semua air hujan yang terkumpul pada bagian tersebut tertutup ditambah dengan beban 34 merata yang disebabkan oleh kenaikan air diatas lubang masuk sistem drainase sekunder pada aliran rencananya.

$$R = 0,0098(d_s + d_h) \quad \text{Pers. 2- 7}$$

Dimana :

$R$  = Beban air hujan pada atap yang tidak melendut, dalam satuan  $\text{kN}/\text{m}^2$ . Apabila istilah atap yang tidak melendut digunakan, lendutan dari beban (termasuk beban mati) tidak perlu diperhitungkan ketika menentukan jumlah air hujan pada atap.

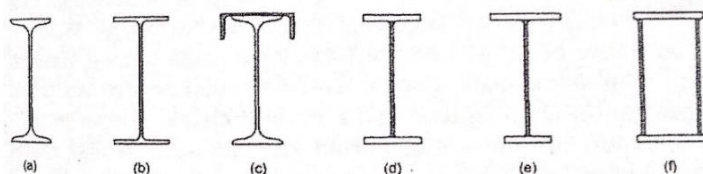
$d_s$  = Kedalaman air pada atap yang tidak melendut meningkat ke lubang masuk sistem drainase sekunder apabila sistem drainase primer tertutup (tinggi statis), dalam satuan mm.

$d_h$  = tambahan kedalaman air pada atap yang tidak melendut di atas lubang masuk sistem drainase sekunder pada aliran air rencana (tinggi hidrolik), dalam satuan meter.

#### **2.6 Balok Lentur**

Istilah balok lentur adalah struktur yang ditempatkan secara horizontal dengan bebannya tegak lurus terhadap penampang. Beban pada balok disalurkan ke kolom. Beban yang didistribusikan menghasilkan gaya internal pada balok dalam bentuk gaya lentur dan geser biasanya. Oleh karena itu, struktur balok baja harus dirancang untuk menahan gaya lentur dan geser, dan defleksi akibat gaya lentur ini harus dievaluasi. Gambar 2.5 di bawah ini

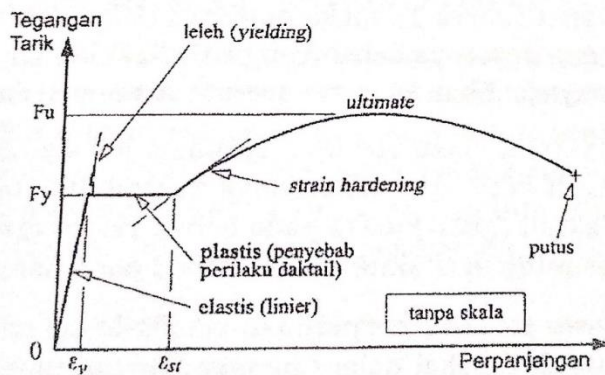
menunjukkan beberapa jenis penampang baja, yang umumnya digunakan sebagai elemen balok pada suatu struktur.



**Gambar 2.5** Tipe – Tipe Penampang yang Digunakan Sebagai Balok  
Sumber : Wiryanto Dewobroto, 2016

### 2.6.1 Perilaku Keruntuhan Elemen Struktur

Perilaku elemen balok relatif sederhana. Ketika momen lentur terjadi, terdapat serat tegangan yang tertarik dan serat tegangan yang tertekan. Seperti yang ditunjukkan pada gambar 2.7, kurva hubungan tegangan-regangan dijelaskan. Kuat tarik tergantung pada tegangan leleh ( $f_y$ ) baja, yaitu ketika deformasi besar terjadi pada kondisi beban konstan. Jika pada kondisi leleh dan beban tetap ditambahkan, material mengalami strain-hardening, terjadi peningkatan daya dukung tetapi disertai dengan fenomena necking atau penampang mengecil, dan jika dipaksa akhirnya mencapai kuat maksimum atau kuat ultimate ( $f_u$ ) (Wiryanto,2016).



**Gambar 2.6** Perilaku Keruntuhan Tarik Baja Daktail  
Sumber : Wiryanto Dewobroto, 2016

Kondisi batas atau kuat *ultimate* tidak digunakan pada perencanaan balok karena kuat *ultimate* hanya dipakai untuk antisipasi konsentrasi tegangan akibat sambungan pada elemen batang tarik. Perilaku elemen balok juga tergantung pada kelangsungan penampang yang digunakan, karakteristik baja, kelangsungan *member* 1penampang, pengekangan *lateral* dan *torsional*. Untuk bagian yang langsing, tekuk lokal sayap tekan terjadi sebelum baja mencapai tegangan lelehnya. Oleh karena itu perlu dilakukan evaluasi menentukan kemungkinan terjadinya tekuk lokal dengan melihat rasio lebar-tebal dan klasifikasi penampang baja yang ditentukan dalam SNI 1729: 2020 Tabel B4.1b.

### 2.6.2 Rasio Lebar-Tebal dan Klasifikasi Profil

Klasifikasi profil merupakan tahap awal dalam mendesain balok baja. Tahap ini berlaku untuk menghindari bahaya tekuk

**Tabel 2. 7 Klasifikasi Elemen Penahan Tekan Aksial**

Sumber : SNI 1729:2020

	<b>Kasus</b>	<b>Deskripsi Elemen</b>	<b>Rasio Lebar terhadap Tebal</b>	<b>Batas Rasio Lebar terhadap Tebal</b>		<b>Contoh</b>
				$\lambda_p$ (kompak/ (nonkompak)	$\lambda_r$ (nonkompak/ langsing)	
<b>Elemen tidak diperku</b>	10	Sayap profil I gilas panas, kanal, dan T	$b/t$	$0,38 \sqrt{\frac{E}{F_y}}$	$1,00 \sqrt{\frac{E}{F_y}}$	
	11	Sayap profil tersusun bentuk I simetris ganda dan tunggal	$b/t$	$0,38 \sqrt{\frac{E}{F_y}}$	$[a] [b]$ $0,95 \sqrt{\frac{k_c E}{F_L}}$	
	12	Kaki siku tunggal	$b/t$	$0,54 \sqrt{\frac{E}{F_y}}$	$0,91 \sqrt{\frac{E}{F_y}}$	
	13	Sayap semua profil I dan kanal yang mengalami lentur terhadap sumbu lemah	$b/t$	$0,38 \sqrt{\frac{E}{F_y}}$	$1,00 \sqrt{\frac{E}{F_y}}$	
	14	Badan T	$d/t$	$0,84 \sqrt{\frac{E}{F_y}}$	$1,52 \sqrt{\frac{E}{F_y}}$	

lokal (*local buckling*) pada elemen penyusun profil. Rasio lebar terhadap tebal ( $b/t$ ) menunjukkan kelangsungan elemen pelat sayap dan Kemudian dievaluasi kekangannya (*restraint*) (Wiryanto, 2016). Sebagai contoh beberapa klasifikasi dapat dilihat pada tabel 2.7 yang dipakai untuk menentukan klasifikasi elemen profil balok sebagai kompak, nonkompak atau langsing. Profil kompak dapat menahan momen ini sampai serat luar mencapai tegangan leleh, sementara pada saat yang sama tegangan didistribusikan ke serat dalam sampai semuanya dalam keadaan plastis (Mp).

Karena kemampuan profil kompak mencapai momen plastis, perilaku keruntuhannya bersifat daktail, dan itulah yang menjadi syarat penting untuk bangunan tahan gempa. Untuk profil non-kompak dapat menerima momen hingga serat terluarnya mencapai tegangan leleh. Namun sebelum penampang plastis penuh terbentuk, pada profil terjadi tekuk lokal terlebih dahulu ( $M_y < M_p$ ). Sedangkan profil langsing merupakan profil yang tidak efisien dari segi material, selain itu baja yang digunakan adalah baja bermutu tinggi. Setelah pemutaman, sebelum tegangan mencapai kondisi leleh, penampang mengalami tekuk lokal terlebih dahulu. Keruntuhannya ditentukan oleh tekuk dan sifatnya getas. Sehingga tidak disarankan sebagai elemen struktur utama tahan gempa ( $M < M_p$ ).

### 2.6.3 Kuat Lentur Nominal

Kuat lentur nominal harus direncanakan dan harus memenuhi persyaratan sebagai berikut :

$$M_{ult} \leq \phi_b M_n \quad \text{Pers. 2- 8}$$

Dimana :

$M_{ult}$  = Kuat lentur perlu atau momen maksimum hasil kombinasi beban sesuai ketentuan LRFD (SNI 1727:2013 Beban Minimum untuk perancangan bangunan gedung dan struktur lain)

$\phi_b$  = Faktor ketahanan lentur, 0.9

$M_n$  = Kekuatan lentur nominal

Rumus untuk kuat lentur nominal berbeda-beda tergantung klasifikasi penampang profil kompak, nonkompak, atau langsing.

Kuat lentur nominal untuk penampang kompak adalah sebagai berikut:

$$M_n = M_p = f_y Z_x \quad \text{Pers. 2- 9}$$

Dimana :

$M_p$  = Momen lentur penampang plastis (N.mm)

$f_y$  = Kuat leleh minimum, tergantung mutu baja (Mpa)

$Z_x$  = Modulus plastis penampang terhadap sumbu kuat ( $mm^3$ )

Kuat lentur nominal untuk penampang non-kompak adalah sebagai berikut:

$$M_n = M_p - (M_p - 0.7 f_y S_x) (\lambda - \lambda_{pf}) / (\lambda_{rf} - \lambda_{pf}) \quad \text{Pers. 2- 10}$$

Dimana :

$M_p$  = Momen lentur penampang plastis (N.mm)

$\lambda = 0.5 b_f / t_f$

$f_y$  = Kuat leleh minimum, tergantung mutu baja (Mpa)

$S_x$  = Modulus plastis penampang terhadap sumbu kuat ( $mm^3$ )

$\lambda_{pf} = \lambda_p$  = batas kelangsingan sayap kompak

$\lambda_{rf} = \lambda_r$  = batas kelangsingan sayap non-kompak

Kuat lentur nominal untuk penampang langsing adalah sebagai berikut:

$$M_n = 0.9 E K_c S_x / \lambda^2 \quad \text{Pers. 2- 11}$$

Dimana :

$S_x$  = Modulus plastis penampang terhadap sumbu kuat ( $mm^3$ )

$K_c = 4 / \sqrt{h/t_w}$  dan  $0.35 \leq K_c \leq 0.76$

$E$  = Modulus elastisitas baja (200000 Mpa)

$\lambda = 0.5 b_f / t_f$

$h$  = Jarak yang didefinisikan pada tabel 2.7 (mm)

#### 2.6.4 Tekuk Lateral (*Lateral Buckling*)

Tekuk lateral terjadi karena kekakuan lateral dari penampang baja relatif kecil dibandingkan dengan penjalaraan lateral yang tersedia. Perhitungan tekuk torsi lateral ini dipengaruhi oleh jarak pengekangan lateral,  $L_b$ . Kapasitas lentur nominal akibat tekuk torsi lateral dapat digambarkan pada gambar 2.7 di bawah ini.

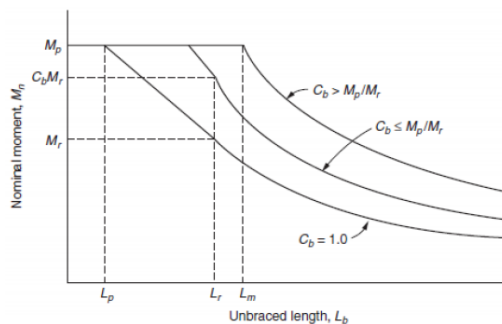
Kondisi pertama apabila  $L_b \leq L_p$ , maka kapasitas momen penampang dapat dihitung dengan karena masih dalam kondisi plastis. Adapun nilai dapat dihitung dengan rumus :

$$K_c = 1.76r_y \sqrt{E/fy} \quad \text{Pers. 2- 12}$$

Dimana :

$r_y$  = Radius girasi balok terhadap sumbu lemah

$E$  = Modulus elastisitas baja (200000 Mpa)



**Gambar 2. 7** Hubungan Kapasitas Lentur Dengan  
Jarak Pengekangan Lateral,  $L_p$   
Sumber : Williams, 2011

$f_y$  = Kuat leleh minimum, tergantung mutu baja (Mpa)

Kondisi kedua apabila jarak  $L_b$  bertambah sehingga kondisinya adalah  $L_p < L_b \leq L_r$ , maka yang terjadi kapasitas penampang berada

pada daerah inelastis LTB (*Lateral Torsion Buckling*). Nilai  $L_r$  dapat dihitung dengan rumus :

$$L_r = 1.95 r_{ls}^2 \frac{E}{0.7 f_y} \sqrt{\frac{Jc}{S_x h_o} + \sqrt{\left(\frac{Jc}{S_x h_o}\right)^2 + 6.76 \left(\frac{0.7 f_y}{E}\right)^2}}$$

Pers. 2- 13

Dimana :

$$r_{ls}^2 = \frac{\sqrt{I_y C_w}}{S_x}$$

$$C_w = \frac{1}{4} I_y h_o^2 \text{ (untuk profil WF)}$$

$I_y$  = Momen Inersia penampang terhadap sumbu lemah ( $mm^4$ )

$h_o$  = Jarak antara titik berat elemen sayap ( $mm$ )

$E$  = Modulus elastisitas baja (200000 Mpa)

$f_y$  = Kuat leleh minimum, tergantung mutu baja (Mpa)

$J$  = Konstanta torsi ( $mm^4$ )

$c = 1$  (untuk profil WF simetris ganda)

$S_x$  = Modulus elastis penampang terhadap sumbu kuat ( $mm^3$ )

Kuat lentur penampang apabila dalam kondisi inelastis LTB atau  $L_p < L_b \leq L_r$  adalah sebagai berikut :

$$M_n = C_b \left( M_p - (M_p - 0.7 f_y S_x) \cdot \left( \frac{L_b - L_p}{L_r - L_p} \right) \right) \leq M_p \quad \text{Pers. 2- 14}$$

Dimana :

$$C_b = \frac{12.5 |M_{max}|}{2.5 |M_{max}| + 3|M_A| + 4|M_B| + 3|M_C|}$$

$M_{max}$  = Nilai momen maksimum balok sepanjang L (N.mm)

$M_A$  = Nilai momen pada titik  $\frac{1}{4} L_b$  (N.mm)

$M_B$  = Nilai momen pada titik  $\frac{1}{2} L_b$  (N.mm)

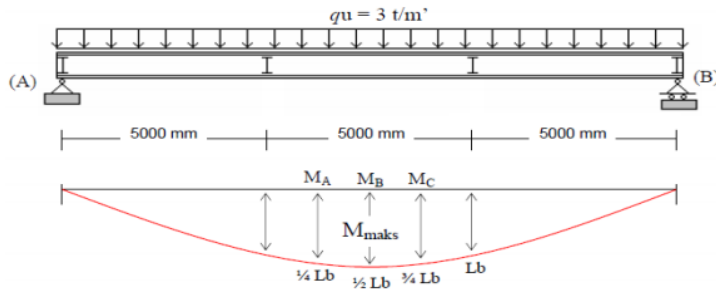
$M_C$  = Nilai momen pada titik  $\frac{3}{4} L_b$  (N.mm)

$M_p$  = Momen lentur penampang plastis (N.mm)

$f_y$  = Kuat leleh minimum, tergantung mutu baja (Mpa)

$S_x$  = Modulus elastis penampang terhadap sumbu kuat ( $mm^3$ )

$C_b$  merupakan faktor pengali momen untuk tekuk lateral yang besarnya tergantung pada letak pengaku lateral dan beban yang dipikul. Ilustrasi  $C_b$  dapat dilihat pada gambar 2.8 dibawah ini



**Gambar 2.8** Balok Tertumpu Sederhana Dengan Pengaku Lateral  
Sumber : Nasution, 2011

:

Nilai  $C_b$  pada tiap segmennya memiliki nilai yang berbedabeda karena nilai momennya juga berbeda-beda. AISC telah memberikan tabel harga-harga  $C_b$  dengan beragam beban dan pengaku lateral yang diterapkan.

Kondisi ketiga apabila  $L_b > L_r$  maka penampang dalam keadaan elastis dimana penampang akan mengalami tekuk terlebih dahulu sebelum mencapai kondisi leleh (Wiryanto, 2016). Kapasitas momen balok pada kondisi ini dapat dihitung dengan rumus sebagai berikut :

$$M_n = F_{cr} S_x \leq M_p$$

Pers. 2- 15

Dimana :

$$F_{cr} = \frac{C_b \pi^2 E}{\left(\frac{L_b}{r_{ts}}\right)^2} \sqrt{1 + 0.078 \frac{J_c}{S_x h_o} \left(\frac{L_b}{r_{ts}}\right)^2}$$

$$C_b = \frac{12.5 |M_{max}|}{2.5 |M_{max}| + 3|M_A| + 4|M_B| + 3|M_C|}$$

$E$  = Modulus elastisitas baja (200000 Mpa)

$$r_{ts}^2 = \frac{\sqrt{I_y C_w}}{S_x}$$

$J$  = Konstanta torsi ( $mm^4$ )

$c = 1$  (untuk profil WF simetris ganda)

$S_x$  = Modulus elastis penampang terhadap sumbu kuat ( $mm^3$ )

$h_o$  = Jarak antara titik berat elemen sayap ( $mm$ )

## 2.7 Kolom

Kolom merupakan elemen yang menopang balok-balok struktur. Fungsi dari kolom adalah menyalurkan gaya-gaya pada balok sampai ke struktur terbawah. Kegagalan kolom akan menyebabkan seluruh bangunan runtuh sepenuhnya di atas kolom yang runtuh. Oleh karena itu dalam perencanaan struktur gedung, terutama pada saat mendesain struktur gempa, kerusakan kolom harus dihindari.

Saat menghitung kapasitas tekan kolom, parameter yang menentukan kapasitas tekan kolom meliputi parameter material ( $f_y$ ), konfigurasi fisik (kekakuan penampang) dan geometri penampang (klasifikasi penampang). Parameter geometris penampang merupakan parameter terpenting, karena bentuk geometris penampang menentukan rasio kelangsungan penampang. Rasio kelangsungan terkait dengan perilaku tekuk yang akan terjadi pada kolom: tekuk lokal Atau pembengkokan global. Oleh karena itu, kapasitas tekan kolom tidak ditentukan oleh kualitas baja, tetapi oleh beban kritis yang menyebabkan terjadinya tekuk (Wiryanto, 2016).

### 2.7.1 Klasifikasi Penampang

Dalam SNI 1729:2020 mengatur mengenai klasifikasi dalam tabel B4.1a dengan tujuan meminimalisir resiko terjadinya tekuk lokal pada penampang. Beberapa contoh klasifikasi tersebut dapat dilihat pada tabel 2.8 dibawah ini. Apabila rasio lebar-tebal tersebut melebihi batasan yang diberikan, penampang dikatakan langsing dan beresiko terjadi tekuk lokal. Apabila rasio lebar-tebal tidak melebihi batasan yang diberikan maka penampang tidak dikategorikan langsing.

**Tabel 2. 8** Contoh Klasifikasi Elemen Penampang  
Menahan Tekan Aksial  
Sumber : SNI 1729:2020

	Kasus	Deskripsi Elemen	Rasio Lebar terhadap Tebal	Batas Rasio Lebar terhadap Tebal, (nonlangsing /langsing)	Contoh
Elemen tidak diperku	1	Sayap Profil I gilas panas, pelat yang diproyeksikan dari profil I gilas panas, kaki berdiri bebas dari sepasang siku disambung dengan kontak menerus, sayap kanal, dan sayap T	b/t	$0,56 \sqrt{\frac{E}{F_y}}$	
	2	Sayap profil I tersusun dan pelat atau kaki siku yang diproyeksikan dari profil I tersusun	b/t	$0,64 \sqrt{\frac{k_c E}{F_y}}$ [a]	
	3	Kaki siku tunggal, kaki siku ganda dengan pemisah, dan semua elemen tidak diperku lainnya	b/t	$0,45 \sqrt{\frac{E}{F_y}}$	
	4	Badan T	d/t	$0,75 \sqrt{\frac{E}{F_y}}$	

### 2.7.2 Kuat Tekan Nominal

Untuk perhitungan kuat tekan nominal kolom, terdapat tiga perilaku tekuk pada kolom yang terjadi : tekuk torsii, tekuk lentur, dan tekuk lentur-torsii. Kondisi pertama adalah saat kolom terjadi tekuk lentur, dimana tekuk ini termasuk tekuk global pada elemen kolom dengan klasifikasi penampang tidak langsing. Kuat tekan nominal apabila terjadi tekuk lentur dapat dirumuskan sebagai berikut :

$$P_n = F_{cr} A_g$$

Pers. 2- 16

Dimana :

$$A_g = \text{Luas penampang utuh}$$

$F_{cr}$  = Tegangan kritis akibat beban kritis yang menyebabkan kolom tertekuk lentur.

$F_{cr}$  dibagi dalam dua kondisi: kondisi tekuk inelastis dan kondisi tekuk elastis. Tekuk inelastis merupakan perilaku tekuk pada kolom pendek dan tekuk elastis adalah perilaku tekuk pada kolom panjang. Nilai  $F_{cr}$  dapat dihitung berdasarkan syarat sebagai berikut :

$$1) \frac{KL}{r} \leq 4.71 \sqrt{\frac{E}{f_y}} \text{ atau } \frac{f_y}{f_e} \leq 2.25 \text{ (tekuk inelastis), maka :}$$

$$F_{cr} = \left( 0.658 \frac{f_y}{f_e} \right) f_y \quad \text{Pers. 2- 17}$$

$$2) \frac{KL}{r} > 4.71 \sqrt{\frac{E}{f_y}} \text{ atau } \frac{f_y}{f_e} > 2.25 \text{ (tekuk elastis), maka :}$$

$$F_{cr} = 0.877 f_e \quad \text{Pers. 2- 18}$$

Dimana :

$$f_e = \frac{\pi^2 E}{(KL/r)^2}$$

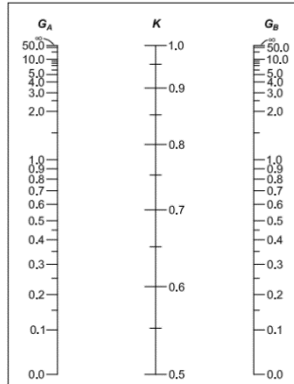
$E$  = Modulus elastisitas baja (200000 Mpa)

$K$  = Faktor konversi panjang efektif kolom, dapat dicari dengan *Alignment chart*

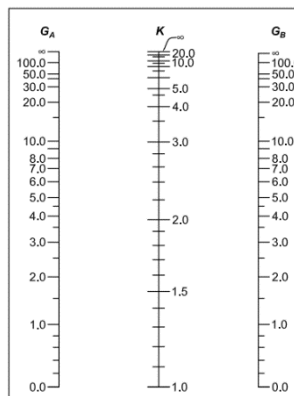
$L$  = Panjang *as to as* kolom (mm)

$r$  = Radius girasi penampang ( $\sqrt{\frac{E}{f_y}}$ ), tergantung sumbu penampang yang ditinjau (mm)

$f_y$  = Kuat leleh minimum, tergantung mutu baja (Mpa)



**Gambar 2. 9 Allignment Chart – Rangka Tidak Bergoyang**  
Sumber : AISC 2016



**Gambar 2. 10 Allignment Chart – Rangka Bergoyang**  
Sumber : AISC 2016

Kondisi kedua adalah saat kolom terjadi tekuk torsi atau terjadi tekuk torsi-lentur sekaligus. Kapasitas tekuk torsi dan tekuk torsi-lentur dapat dihitung dengan menggunakan persamaan 2-19 hingga persamaan 2-20, namun nilai dihitung dengan persamaan berikut :

$$f_e = \left( \frac{\pi^2 E C_w}{(K_2 L)^2} + GJ \right) \frac{1}{I_x + I_y} \quad \text{Pers. 2- 19}$$

Dimana :

$E$  = Modulus elastisitas baja (200000 Mpa)

$J$  = Konstanta torsi ( $mm^4$ )

$C_w$  = Konstanta warping ( $mm^4$ )

$K_2 L$  = Panjang tekuk efektif terhadap torsi (mm)

$G$  = Modulus geser (77200 Mpa)

$I_x I_y$  = Momen inersia terhadap sumbu utama ( $mm^4$ )

### 2.7.3 Penampang Simetri Terhadap Lentur dan Aksial

Interaksi momen lentur dan gaya aksial pada penampang simetri ganda atau simetri tunggal sebagai contoh adalah pada untuk profil *Hollow square* dengan  $0,1 < I_{yc}/I_y < 0,9$  yang momennya dipaksa melentur pada sumbu simetrinya, harus memenuhi persamaan H1-1a dan H1-1b (AISC 2010) atau juga ada di SNI 1729-2020 (Wiryanto, 2016). Untuk persamaan interaksinya sebagai berikut :

$$1) \frac{Pr}{P_c} \geq 0.2, \text{ maka :}$$

$$\frac{Pr}{P_c} + \frac{8}{9} \left( \frac{M_{rx}}{M_{rc}} + \frac{M_{ry}}{M_{cy}} \right) \leq 1.0$$

$$2) \frac{Pr}{P_c} < 0.2, \text{ maka :}$$

$$\frac{Pr}{2P_c} + \left( \frac{M_{rx}}{M_{rc}} + \frac{M_{ry}}{M_{cy}} \right) \leq 1.0$$

### 2.8 Sambungan

Sambungan merupakan elemen penyambung struktur utama. Sambungan yang sering dipakai hingga saat ini adalah sambungan las dan sambungan baut. Fungsi sambungan adalah untuk

meneruskan momen internal dari satu bagian struktur ke bagian lainnya sehingga beban dapat disampaikan sampai ke pondasi.

### **2.8.1 Sambungan Las**

Alat sambung untuk pabrikasi adalah las yang murah dan memiliki kekuatan tinggi namun sifatnya *rigid*. Umumnya pada konstruksi baja digunakan sambungan las tipe sudut untuk menyambungkan satu elemen dengan elemen yang lain. Kuat nominal untuk sambungan las dapat dihitung dengan rumus sebagai berikut :

$$R_n = F_{nw} A_{we} \quad \text{Pers. 2- 20}$$

Dimana :

$$F_{nw} = 0.6 F_{EXX}$$

$F_{EXX}$  = Kuat tarik kawat las (Mpa)

$$A_{we} = t_e \cdot L \text{ (mm}^2\text{)}$$

Keterangan	Penampang aktual	Gambar simbol
Las sudut 1-sisi saja		
Las sudut 2-sisi sama		
Las sudut 2-sisi berbeda		
Sekelling profil WF ditambal dengan las sudut ke pelat landasan		
Las tumpul alur-V ganda		
Las tumpul alur-V tunggal		
Las tumpul dan sudut sekaligus antara batang batang baja dan pelat landasan		

**Gambar 2. 11 Simbol Las dan Aplikasinya**

Sumber : AWS 2000

L = Panjang profil baja (mm)

### 2.8.2 Sambungan Baut

Bentuk sambungan dan tipe pembebanan sangat mempengaruhi sambungan tipe apa yang akan digunakan. Apabila baut dibebani arah transversal maka akan menerima geser dan disebut sambungan tipe geser. Apabila sambungan menerima momen positif pada daerah balok-kolom atau sambungan pada struktur portal, maka sambungan menerima gaya tarik disebut dengan sambungan tipe tarik atau sambungan Moment End-Plate.

#### a) Sambungan Baut Tipe Geser

Sambungan tipe geser memiliki dua tipe keruntuhan : slip kritis dan tumpu. Apabila saat dibebani baut tidak mengalami slip (tetap ditempat) maka saat itu mekanisme slip kritis sedang bekerja, sedangkan apabila baut mengalami slip maka mekanisme tumpu telah bekerja (Wiryanto, 2016). Mekanisme slip kritis dipilih untuk konstruksi yang di

dominasi beban dinamis atau beban bolak-balik. Tahanan slip kritis nominal dapat dihitung dengan rumus :

$$R_n = \mu D_u h_f T_b n_s \quad \text{Pers. 2- 21}$$

Dimana

$T_b$  = Gaya tarik baut prategang minimum

$\mu$  = Koefisiensi slip rata-rata, tergantung kondisi permukaan.  
Untuk mutu kelas A adalah  $\mu=0.3$ , untuk mutu kelas B adalah  $\mu=0.5$  (lebih ketat)

$D_u$  = 1.13, adalah faktor pengali yang mempresentasikan gaya prategang baut rata-rata terpasang dengan gaya tarik baut prategang minimum.

$h_f$  = Faktor terkait adanya pelat pengisi (*filler*). Jika tidak ada *filler* atau hanya 1 *filler* maka  $h_f= 1.0$ , sedangkan apabila ada 2 *filler* diantara pelat sambung maka  $h_f=0.85$

$n_s$  = Jumlah permukaan yang menimbulkan bidang kontak Kuat tumpu baut memperhitungkan deformasi yang terjadi. Jika besar deformasi yang terjadi mempengaruhi struktur, maka kekuatannya dihitung dengan rumus :

$$R_n = 1.2 l_c t f_u \leq 2.4 d t f_u \quad \text{Pers. 2- 22}$$

Apabila besar deformasi yang terjadi tidak mempengaruhi struktur, maka kekuatannya dihitung dengan rumus :

$$R_n = 1.5 l_c t f_u \leq 3 d t f_u \quad \text{Pers. 2- 23}$$

Dimana :

$l_c$  = Jarak bersih (mm) searah gaya, dihitung dari tepi lubang ke tepi pelat terluar (untuk baut pinggir) atau jarak bersih antar tepi lubang (untuk baut dalam).

$t$  = Tebal pelat tumpu (mm)

$f_u$  = Kuat tarik minimum pelat baja pelat yang ditinjau (Mpa)

$d$  = Diameter baut (mm)

Selanjutnya kuat geser baut merupakan fenomena tumpu dan geser pada baut tetapi karena ukuran baut sudah tertentu atau fabrikasi, maka kerusakan yang terjadi terlebih dahulu adalah geser baut. Rumus kuat geser baut per satu bidang geser dapat dihitung dengan rumus :

$$R_n = F_{nv}A_b \quad \text{Pers. 2- 24}$$

Dimana :

$F_{nv}$  = Tegangan geser nominal baut

$A_b$  = Luas penampang baut ( $mm^2$ )

Mekanisme keruntuhan yang terakhir pada baut adalah geser blok. Rumus kuat geser blok dapat dihitung sebagai berikut:

$$R_n = 0.6f_uA_{nv} + U_{bs}f_uA_{nt} \leq 0.6f_yA_{gv} + U_{bs}f_uA_{nt} \quad \text{Pers. 2- 25}$$

Dimana :

$f_u$  = Kuat tarik minimum pelat baja pelat yang ditinjau (Mpa)

$f_y$  = Kuat leleh minimum, tergantung mutu baja (Mpa)

$A_{nv}$  = Luas netto penampang yang mengalami gaya geser ( $mm^2$ )

$A_{gv}$  = Luas utuh penampang yang mengalami gaya geser ( $mm^2$ )

$A_{nt}$  = Luas netto penampang yang mengalami gaya tarik ( $mm^2$ )

$U_{bs}$  = Untuk tegangan tarik merata, nilai  $U_{bs} = 1$ . Untuk tegangan tarik tidak merata, nilai  $U_{bs} = 0.5$

b) Sambungan Baut Tipe Tarik

Sambungan tipe tarik merupakan sambungan yang fungsinya menahan gaya tarik akibat momen negatif pada balok daerah tumpuan. Terdapat tambahan pelat pada ujung penampang yang biasa disebut *end-plate*. Adanya pelat ujung pada ujung balok membuat gaya tekan yang bekerja pada baut diambil alih oleh pelat tersebut. Sehingga pada sambungan *end-plate*, yang bekerja hanya bagian tarik saja dan penempatan baut tidak merata.

Sambungan tipe tarik umumnya disebut dengan sambungan momen end-plate . Sambungan momen endplate memiliki dua tipe yang biasa digunakan : Tipe MBMA dan Tipe Lokal. Tipe MBMA dibagi lagi menjadi dua tipe, *flush end-plate* dan *extended-end plate*. Sedangkan tipe lokal, *end-plate* yang dipasang dibuat lebih tinggi dari profil yang disambungnya. Kapasitas momen sambungan dihitung berdasarkan terjadinya leleh pada pelat ujung, secara matematis dapat dituliskan sebagai berikut:

$$M_n = f_{py} t_p^2 Y_p \quad \text{Pers. 2- 26}$$

Dimana :

$f_{py}$  = Tegangan leleh dari material pelat ujung (Mpa)

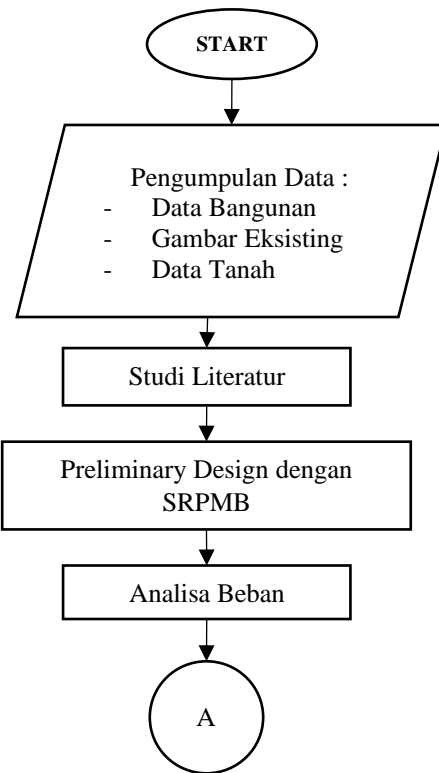
$t_p$  = Tebal pelat ujung (mm)

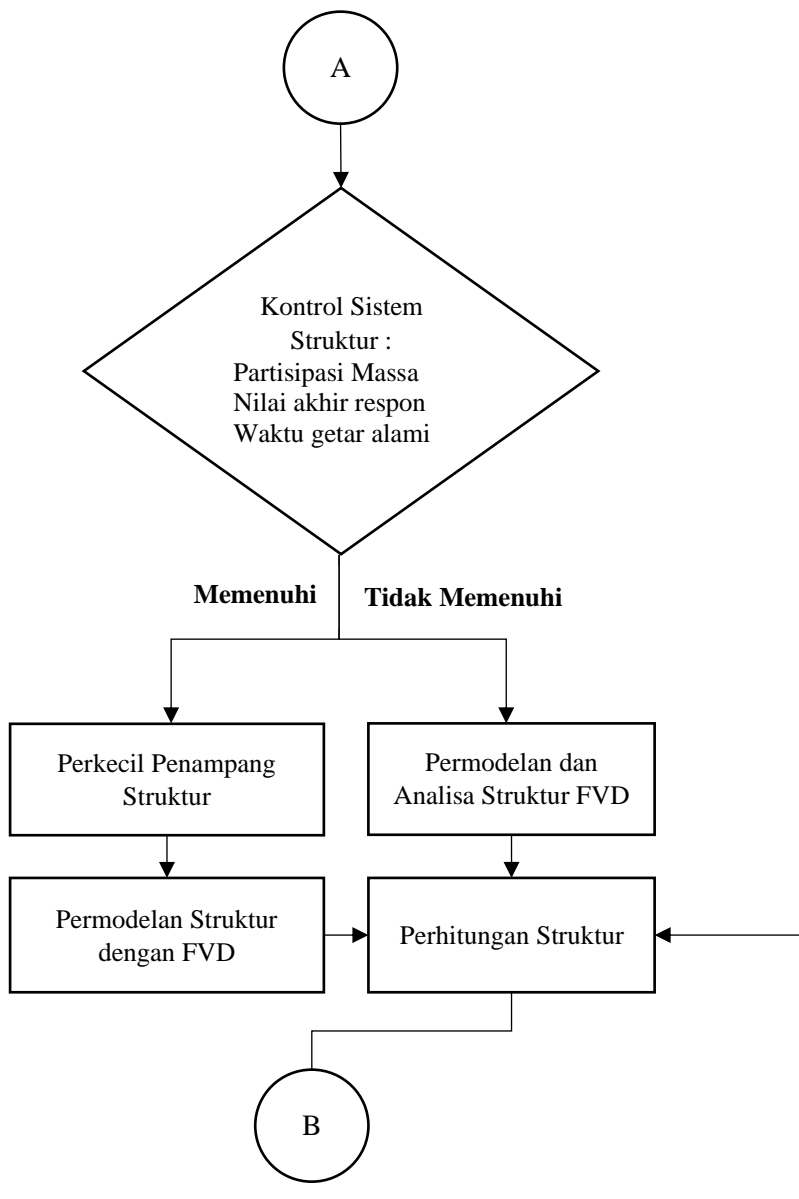
$Y_p$  = Parameter kuat batas pelat berdasarkan konfigurasi dan geometri sambungan baut yang berbeda-beda nilainya.

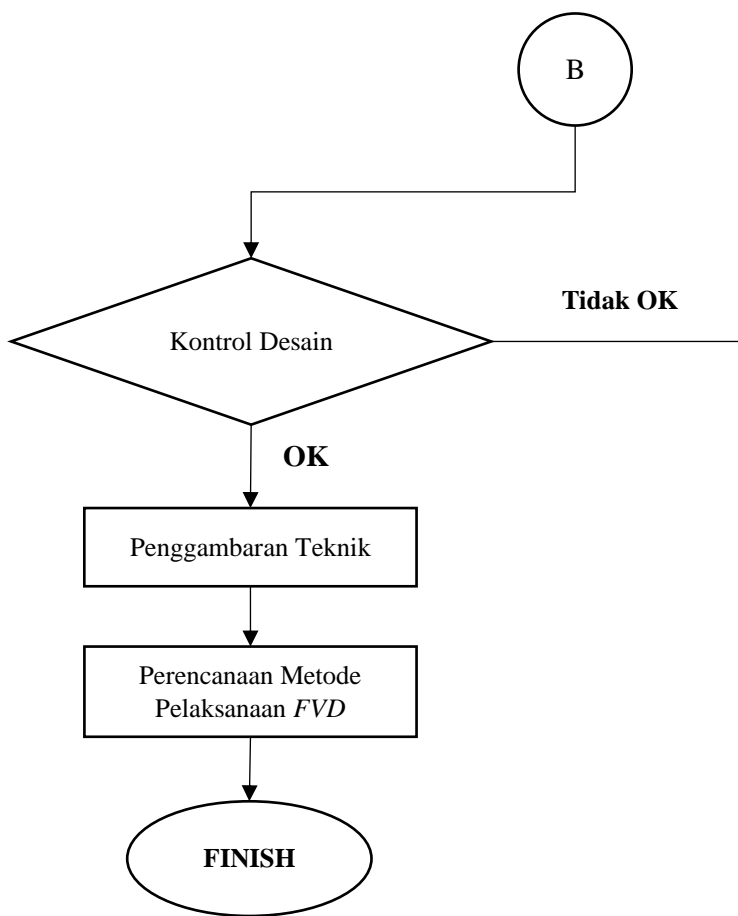
*“Halaman ini sengaja dikosongkan”*

## BAB III METODOLOGI

### 3.1 Diagram Alir Penyelesaian Tugas Akhir







Membuat alternatif desain struktur Gedung 4 Universitas Ciputra Surabaya yang awalnya memakai dinding geser dirubah menggunakan *fluid viscous damper* (FVD) diperlukan langkah-langkah yang sistematis, sehingga perlu dibuat sebuah diagram yang memperlihatkan secara umum mengenai tahap-tahapan pengerjaan dari awal mulai sampai dengan akhir.

### **3.2 Data Perencanaan**

#### **3.2.1 Data Bangunan**

Diketahui data umum awal bangunan gedung 4 Universitas Ciputra Surabaya adalah sebagai berikut :

- a. Lokasi : UC Town Citraland, Surabaya, Jawa Timur
- b. Fungsi Bangunan : Gedung administrasi dan perkuliahan
- c. Jumlah Lantai : 23 lantai
- d. Tinggi Gedung : 97 m
- e. Panjang Gedung : 64 m
- f. Lebar Gedung : 33,2 m
- g. Struktur Utama : Beton bertulang

Bangunan ini pada struktur utamanya dimodifikasi menjadi bangunan konstruksi baja.

#### **3.2.2 Data Material**

Spesifikasi dan mutu material yang digunakan dalam perencanaan sebagai berikut :

- a. Mutu Baja : BJ-41
- b.  $F_y$  : 250 Mpa
- c.  $F_u$  : 410 Mpa
- d. E : 200000 Mpa
- e. Mutu Beton :  $f_c$  35 Mpa

#### **3.2.3 Data Tanah**

Data tanah yang diperlukan adalah data tanah dari pengujian tanah SPT (*Standard Penetration Test*) dengan kedalaman minimal 30 meter sesuai dengan SNI 1726-2019 Pasal 5.4.2 agar dapat digunakan untuk perencanaan ketahanan gempa. Data tanah uji SPT terlampir pada lampiran.

### **3.3 Analisa Beban**

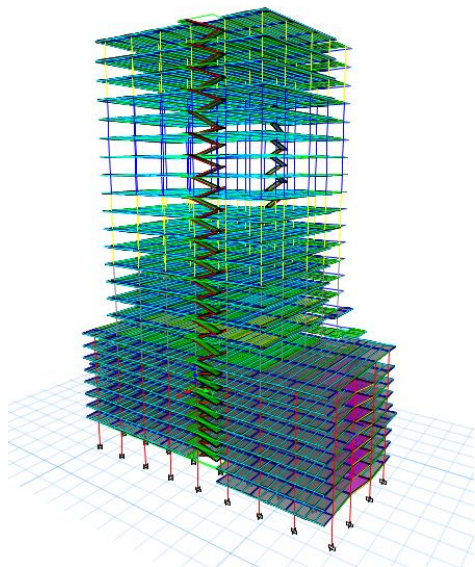
Untuk memperoleh gaya dalam diperlukan perencanaan pembebanan meliputi:

1. Beban mati (Bab 2 Pasal 2.5.1)
2. Beban hidup (Bab 2 Pasal 2.5.2)
3. Beban gempa (Bab 2 Pasal 2.5.3)
4. Beban angin (Bab 2 Pasal 2.5.4)

## 5. Beban Hujan (Bab 2 Pasal 2.5.5)

### 3.4 Permodelan Struktur

Struktur dimodelkan sesuai dengan data eksisting dengan menggunakan program bantu ETABS. Input pembebanan-pembebanan yang direncanakan bekerja pada struktur bangunan dilakukan setelah memodelkan struktur.



**Gambar 3. 1** Permodelan Eksisting Bangun

### 3.5 Analisa Struktur Eksisting

Dilakukan kontrol periode fundamental dan simpangan pada struktur eksisting yang dimodelkan. Menurut SNI 1726:2012, untuk kontrol *drift* dirumuskan sebagai berikut:

$$\delta_x = \frac{C_d \delta_{se}}{I_e} \quad \text{Pers. 3- 1}$$

Dimana:

- $C_d$  = faktor amplifikasi defleksi
- $\delta_{se}$  = defleksi pada lokasi yang disyaratkan pada pasal ini yang ditentukan dengan analisis elastis
- $I_e$  = faktor keutamaan gempa

Selain kontrol batas simpangan, dilakukan kontrol periode fundamental. Menurut SNI 1726:2012, nilai T (waktu getar alami struktur) dibatasi oleh waktu getar alami fundamental untuk mencegah penggunaan struktur yang terlalu fleksibel dengan perumusan berdasarkan SNI 1726-2012 Tabel 15 sebagai batas bawah.

$$T_a = C_t \cdot h_n^x \quad \text{Pers. 3- 2}$$

Dimana:

- $h_n$  = Ketinggian struktur
- $C_t$  = Parameter pendekatan tipe struktur
- $x$  = Parameter pendekatan tipe struktur

## BAB IV

### ANALISIS PEMBEBANAN

#### 4.1 Beban Mati (DL)

##### 4.1.1 Beban Struktur (*Self Weight Dead*)

Berat struktur merupakan hasil kali antara volume elemen struktur dengan berat jenis beton bertulang. Berat jenis beton bertulang adalah  $2360 \text{ kg/m}^3$

##### 4.1.2 Beban Mati Tambahan

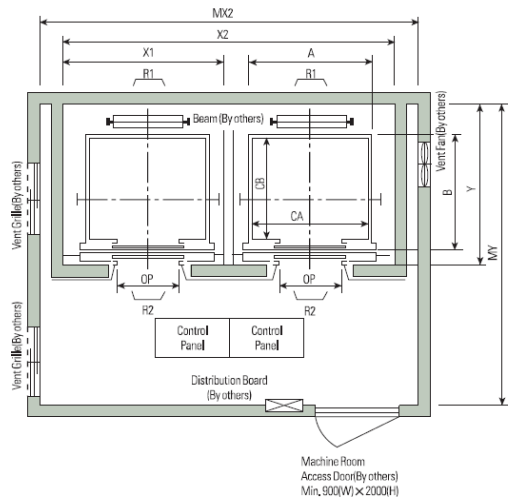
- Berat dinding bata ringan (4m) = **300 kg/m** (Brosur CITICON®)
- Berat dinding bata ringan (5m) = **375 kg/m** (Brosur CITICON®)
- Berat keramik dan spesi = **77 kg/m<sup>2</sup>** (SNI 1727-2020 Tabel C3-1 "Ceramic or quarry tile (19 mm) on 13-mm mortar bed")
- Beban *Mechanical Electrical* = **19 kg/m<sup>2</sup>** (SNI 1727-2020 Tabel C3-1 "Mechanical Duct Allowance")
- Beban Plafon (*Gypsum 9mm*) = **7,2 kg/m<sup>2</sup>** (SNI 1727-2020 Tabel C3-1 "Acoustical Fiberboard")
- Beban penggantung langit-langit = **10 kg/m<sup>2</sup>** (SNI 1727-2020 Tabel C3-1 "*Suspended Steel Channel System*")
- Beban Bondek = **10,1 kg/m<sup>2</sup>** (Brosur Lysaght Bondek)
- Beban lapisan waterproofing = **5 kg/m<sup>2</sup>** (SNI 1727-2020 Tabel C3-1 "*Waterproofing Membranes Liquid Applied*")

##### 4.1.3 Beban Lift

Direncanakan menggunakan lift dengan merk *Hyundai Luxen Manufacturer Standard* dengan spesifikasi sebagai berikut:

**Tabel 4. 1** Spesifikasi lift *Hyundai*

Speed (m/sec)	Capacity		M/C Room Reaction (kg)		Clear Opening (OP)
	persons	kg	R1	R2	
2.5	24	1600	15100	8100	1100

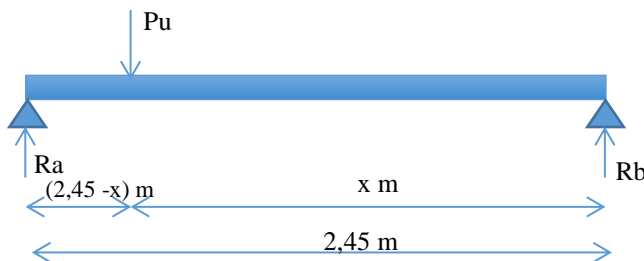


**Gambar 4. 1 Dimensi Lift Hyundai**

**Tabel 4. 2 Spesifikasi lift Hyundai (lanjutan)**

Inside Dimension					
Car		Hoistway		Machine Room	
A	B	X2	Y	MY	MX2
2250	1170	5700	2350	4800	5700

Berikut perhitungan pembebanan balok lift pada bangunan:  
Panjang balok penggantung lift = 2,45 m



**Gambar 4. 2 Pembebanan balok penggantung lift**

$$Ra = R1 \cdot KLL = R1 \times (1 + 50\%)$$

$$Ra = 15100 \times (1 + 50\%) = 22650 \text{ kg}$$

$$Rb = R2 \cdot KLL = R2 \times (1 + 50\%)$$

$$Rb = 8100 \times (1 + 50\%) = 12150 \text{ kg}$$

$$\Sigma M_B = 0$$

$$Ra \cdot L - P_u \cdot x = 0$$

$$22650 \cdot 2,45 - P_u \cdot x = 0$$

$$P_u = \frac{55492,5 \text{ kgm}}{x}$$

$$\Sigma M_A = 0$$

$$-Rb \cdot L + P_u \cdot (L - x) = 0$$

$$-12150 \cdot 2,45 + \frac{135957}{x} - 55492,5 = 0$$

$$x = 1,595 \text{ m}$$

#### 4.2 Beban Hidup (LL)

Beban hidup merupakan beban yang terjadi akibat penggunaan gedung yang tidak termasuk beban mati. Beban hidup dipengaruhi oleh fungsi ruang, SNI 03-1727-2020 menyebutkan:

- Beban Lobby = **4,79 kN/m<sup>2</sup>**
- Beban Ruang Kelas = **3,83 kN/m<sup>2</sup>**
- Beban Koridor = **4,79 kN/m<sup>2</sup>**
- Beban Koridor diatas lantai pertama = **3,83 kN/m<sup>2</sup>**
- Beban Ruang Publik = **4,79 kN/m<sup>2</sup>**
- Beban Kantor = **2,40 kN/m<sup>2</sup>**
- Beban Panggung Pertemuan = **7,18 kN/m<sup>2</sup>**
- Beban Jalur untuk akses pemeliharaan = **1,92 kN/m<sup>2</sup>**
- Beban Ruang Laboratorium = **7,18 kN/m<sup>2</sup>**

#### 4.3 Beban Air Hujan (R)

Berdasarkan SNI 03-1727-2020, beban hujan adalah sebagai berikut :

$$R = 0,0098 (ds + dh)$$

ds = tinggi statis

dh = tinggi hidraulik

Direncanakan :

$$ds = 30 \text{ mm}$$

$$dh = 50 \text{ mm}$$

maka :

$$R = 0,0098 (ds+dh)$$

$$R = 0,0098 (30+50)$$

$$R = 0,49 \text{ kN/m}^2$$

#### 4.4 Beban Angin (W)

Bangunan Gedung merupakan salah satu Sistem Penahan Beban Angin Utama (SPBAU) sehingga perlu direncanakan dan dilaksanakan mampu menahan beban angin yang terjadi sesuai dengan SNI 03-1727-2020. Beban angin akan didistribusikan pada kolom. Prosedur perhitungan beban angin adalah sebagai berikut :

- Langkah 1: menentukan kategori risiko bangunan. Sesuai tabel 1.5-1 SNI 1727-2020, Gedung Sekolah termasuk kategori risiko IV

Bangunan gedung dan struktur lain yang dianggap sebagai fasilitas penting.	IV
Bangunan gedung dan struktur lain, kegagalan yang dapat menimbulkan bahaya besar bagi masyarakat.	
Bangunan gedung dan struktur lain (termasuk, namun tidak terbatas pada, fasilitas yang memproduksi, memproses, menanganai, menyimpan, menggunakan, atau membuang zat-zat berbahaya seperti bahan bakar, bahan kimia berbahaya, atau limbah berbahaya) yang berisi jumlah yang cukup dari zat yang sangat beracun di mana kuantitas melebihi jumlah ambar batas yang ditetapkan oleh pihak yang berwenang dan cukup menimbulkan ancaman bagi masyarakat jika dirilis*.	
Bangunan gedung dan struktur lain yang diperlukan untuk mempertahankan fungsi dari Kategori Risiko IV struktur lainnya.	

**Gambar 4.3** Kategori Resiko Bangunan

- L Sumber : SNI 1727-2020
  - ngkah 2: menentukan kecepatan angin dasar (v). Sesuai lokasi bangunan di Surabaya,  $V = 15 \text{ knots} = 7,22 \text{ m/s}$
  - Langkah 3: menentukan parameter beban angin.
    - Faktor arah angin (Kd) = 0,85 (Tabel 26.6-1 SNI 1727-2020)
    - Faktor eksposur = B (Pasal 26.7.3 SNI 1727-2020)
    - Faktor topografi (Kzt) = 1,0 (Pasal 26.8.2 SNI 1727-2020)
    - Faktor tiupan angin (G) = 0,85 (Pasal 26.11.1 SNI 1727-2020)

- Faktor elevasi permukaan tanah ( $Ke$ ) = 1,0 (Tabel 26.9-1 SNI 1727-2020)
  - Klasifikasi ketertutupan = tertutup
  - Klasifikasi tekanan internal ( $Gcpi$ ) = +0,18 & -0,18 (Tabel 26.13-1 SNI 1727-2020)
4. Langkah 4: menentukan koefisien eksposur tekanan velositas ( $Kz$  atau  $Kh$ ), (Pasal 26.10.1 SNI 1727-2020)
- $$Z = 36 \text{ m}$$
- $$Kz = 1,036$$
- $$Kh = 1,035$$
5. Langkah 5: menentukan tekanan velositas ( $qz$  atau  $qh$ ), (Pasal 26.10.2 SNI 1727-2020)
- $$qz = 0,613 Kz Kzt Kd Ke V^2$$
- $$= 0,613 (1,036) (1,0) (0,85) (1,0) (7,72)^2$$
- $$= 32,18 \text{ N/m}^2$$
- $$qh = 0,613 Kh Kzt Kd Ke V^2$$
- $$= 0,613 (1,035) (1,0) (0,85) (1,0) (7,72)^2$$
- $$= 32,14 \text{ N/m}^2$$
6. Langkah 6: menentukan koefisien tekanan eksternal ( $Cp$  atau  $Cn$ ), (Gambar 27.3-1 SNI 1727-2020)
- Sisi angin pergi,  $Cp = -0,325$   
 Sisi angin datang,  $Cp = 0,8$   
 Sisi angin tepi,  $Cp = -0,7$
7. Langkah 7: menghitung tekanan angin ( $P$ ), (Pasal 28.3.1 SNI 1727-2020)
- $$P = q.[(G.Cp)-(Gcpi)]$$
- $$P = -0,003 \text{ kN/m}^2 \text{ (angin pergi)}$$
- $$P = 0,028 \text{ kN/m}^2 \text{ (angin datang)}$$
- $$P = -0,013 \text{ kN/m}^2 \text{ (angin tepi)}$$
- SNI 1727-2020 pasal 28.5.4 mengatur terkait beban angin minimum yang digunakan pada desain SPBAU untuk bangunan gedung tertutup atau tertutup sebagian tidak boleh lebih kecil dari  $0,77 \text{ kN/m}^2$ . Dengan demikian, beban angin untuk angin pergi, datang, dan tepi digunakan sebesar  $0,77 \text{ kN/m}^2$ .

#### 4.5 Beban Gempa (E)

Beban gempa dihitung berdasarkan metode analisis respons spektrum. Perhitungan beban gempa sesuai dengan SNI 1726-2019 dan peta Hazard Gempa Indonesia 2017.

1. Menentukan Kategori Risiko Bangunan Gedung, Berdasarkan *SNI 1726-2019 Tabel 3*, bangunan yang didesain untuk hotel termasuk dalam **Kategori Risiko Bangunan IV**.
2. Menentukan Faktor Keutamaan Gempa, Berdasarkan *SNI 1726-2019 Tabel 4* dan kategori risiko yang didapat maka dapat ditentukan faktor keutamaan gempa yakni  $I_e = 1,5$ .
3. Menentukan Kelas Situs dengan hasil SPT lokasi bangunan. Tahaman penetrasi standar lapangan rata – rata,  $\bar{N}$ , dihitung menggunakan persamaan pada Pasal 5.4.2 SNI 1726:2019

**Tabel 4. 3** Hasil Uji SPT Tanah Surabaya

Lapisan	Tebal Lapisan (m)	Deskripsi Tanah	N	Ni	Fi/Ni
1	-2	Lempung Berlanau Coklat (med)	1	1	2,00
2	-8	Lempung Berlanau Coklat (stiff)	1	1	8,00
			1		
			1		
3	-1	Lempung Berlanau Coklat (Very Stiff)	5	5	0,00
4	-5	Lempung Berlanau Abu – Abu (Very Stiff)	10	10	0,50
			10		
5	-3	Lempung Berlanau Hitam Coklat Tua	26	26	0,12

<b>6</b>	-4	Lempung Berlanau Hitam Coklat Tua	19 22	20,5	0,20
<b>7</b>	-7	Lempung Berlanau Abu-abu (hard)	50	53	0,13
			49		
			60		
30		<b>Jumlah</b>	<b>11,14</b>		

$$\bar{N} = \frac{\sum_{i=1}^n d_i}{\sum_{i=1}^n \frac{d_i}{N_i}}$$

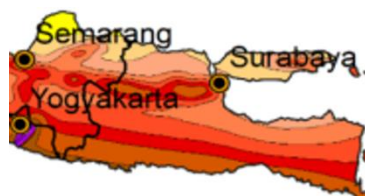
$$\bar{N} = \frac{30}{11,14} = 2,694$$

didapatkan  $\bar{N} = 2,694$ . Berdasarkan Tabel 5 SNI 1726: 2019 untuk  $\bar{N} < 15$  termasuk kedalam kelas situs SE, yaitu tanah lunak.

- Menentukan parameter percepatan gempa sesuai Gambar 15 dan Gambar 16 SNI 1726: 2019. Percepatan batuan dasar perioda pendek ( $S_s$ ) sesuai Gambar 15 pada kota Surabaya sebesar 0,4 g, dan percepatan batuan dasar perioda 1 detik ( $S_1$ ) sesuai Gambar 16 pada kota Surabaya sebesar 0,8 g.



**Gambar 4. 4** Nilai Percepatan Batuan Dasar Perioda Pendek ( $S_s$ )  
Sumber : Peta Hazard Indonesia 2017



**Gambar 4. 5 Nilai Percepatan Batuan Dasar  
Perioda 1 Detik (S1)**

Sumber : Peta Hazard Indonesia 2017

5. Parameter Percepatan Spektral Desain, Berdasarkan SNI 1726:2019 Pers. 7 dan Pers. 8 didapatkan:

$$S_{MS} = F_a S_S = 1,1 \times 0,8 = 0,91$$

$$S_{M1} = F_v S_1 = 2,4 \times 0,4 = 0,75$$

Berdasarkan SNI 1726:2019 Pers. 9 dan Pers. 10 didapatkan:

$$S_{DS} = \frac{2}{3} S_{MS} = \frac{2}{3} \times 0,91 = 0,607$$

$$S_{D1} = \frac{2}{3} S_{M1} = \frac{2}{3} \times 0,75 = 0,504$$

6. Menentukan Kategori Desain Seismik Berdasarkan SNI 1726:2019 Tabel 6 dan Tabel 7, untuk  $0,50 \leq SDS ; 0,20 \leq SD1$  dengan kategori resiko IV didapatkan Kategori Desain Seismik (KDS) D.
7. Gedung sekolah ini didesain menggunakan Sistem Rangka Pemikul Momen Biasa (SRPMB). Parameter SRPMB pada beton bertulang ditentukan berdasarkan tabel 12 SNI 1726 : 2019 dengan nilai sebagai berikut :

$$R = 3,5$$

$$\Omega = 3$$

$$Cd = 3$$

8. Perhitungan spektrum respon desain dapat menggambarkan spektrum gempa yang akan dimasukkan sebagai beban gempa. Ketentuan perhitungan spektrum respon desain sesuai dengan SNI 1726 : 2019 Pasal 6.4 seperti berikut :

- Untuk  $T < T_0$ , nilai Sa diperoleh sebagai berikut :

$$Sa = SDS (0,4 + 0,6 \frac{T}{T_0})$$

Dengan,

$$T_0 = 0,2 \frac{SD1}{SDS} = 0,2 \frac{0,64}{0,65} = 0,197 \text{ detik}$$

Sehingga untuk  $T = 0$

$$Sa = 0,65 (0,4 + 0,6 \frac{0}{0,197}) = 0,26$$

- Untuk  $T \geq T_0$  dan  $T \leq T_s$ , nilai  $S_a = S_{ds}$

Dengan,

$$T_s = \frac{SD1}{SDS} = \frac{0,64}{0,65} = 0,985 \text{ detik}$$

Sehingga,

Untuk  $T = T_0$ ,  $Sa = 0,65$

Untuk  $T = T_s$ ,  $Sa = 0,65$

- Untuk  $T > T_s$ , nilai  $Sa = \frac{SD1}{T}$

Sehingga,

Untuk  $T = T_s + 0,1 = 0,985 + 0,1 = 1,085$  detik

$$\text{Nilai } Sa = \frac{0,64}{1,085} = 0,59$$

Nilai percepatan  $T > T_s$  selengkapnya disajikan dalam tabel berikut :

**Tabel 4. 4** Nilai Percepatan Gempa Respons

T (detik)	T <sub>L</sub>	Sa (g)			
0	0	0,24	<b>Ts + 10.1</b>	10,93	0,05
$T_0$	0,17	0,61	<b>Ts + 10.2</b>	11,03	0,05
$T_s$	0,83	0,61	<b>Ts + 10.3</b>	11,13	0,05
$T_s + 0,1$	0,93	0,54	<b>Ts + 10.4</b>	11,23	0,04
$T_s + 0,2$	1,03	0,49	<b>Ts + 10.5</b>	11,33	0,04
$T_s + 0,3$	1,13	0,45	<b>Ts + 10.6</b>	11,43	0,04
$T_s + 0,4$	1,23	0,41	<b>Ts + 10.7</b>	11,53	0,04
$T_s + 0,5$	1,33	0,38	<b>Ts + 10.8</b>	11,63	0,04
$T_s + 0,6$	1,43	0,35	<b>Ts + 10.9</b>	11,73	0,04
$T_s + 0,7$	1,53	0,33	<b>Ts + 11.0</b>	11,83	0,04
$T_s + 0,8$	1,63	0,31	<b>Ts + 11.1</b>	11,93	0,04
$T_s + 0,9$	1,73	0,29	<b>Ts + 11.2</b>	12,03	0,04
$T_s + 1,0$	1,83	0,28	<b>Ts + 11.3</b>	12,13	0,04

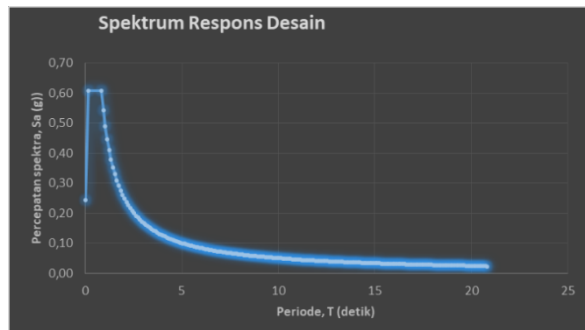
Ts + 1.1	1,93	0,26	<b>Ts + 11.4</b>	12,23	0,04
Ts + 1.2	2,03	0,25	<b>Ts + 11.5</b>	12,33	0,04
T s+ 1.3	2,13	0,24	<b>Ts + 11.6</b>	12,43	0,04
Ts + 1.4	2,23	0,23	<b>Ts + 11.7</b>	12,53	0,04
Ts + 1.5	2,33	0,22	<b>Ts + 11.8</b>	12,63	0,04
Ts + 1.6	2,43	0,21	<b>Ts + 11.9</b>	12,73	0,04
Ts + 1.7	2,53	0,20	<b>Ts + 12.0</b>	12,83	0,04
Ts + 1.8	2,63	0,19	<b>Ts + 12.1</b>	12,93	0,04
Ts + 1.9	2,73	0,18	<b>Ts + 12.2</b>	13,03	0,04
Ts + 2.0	2,83	0,18	<b>Ts + 12.3</b>	13,13	0,04
Ts + 2.1	2,93	0,17	<b>Ts + 12.4</b>	13,23	0,04
Ts + 2.2	3,03	0,17	<b>Ts + 12.5</b>	13,33	0,04
Ts + 2.3	3,13	0,16	<b>Ts + 12.6</b>	13,43	0,04
Ts + 2.4	3,23	0,16	<b>Ts + 12.7</b>	13,53	0,04
Ts + 2.5	3,33	0,15	<b>Ts + 12.8</b>	13,63	0,04
Ts + 2.6	3,43	0,15	<b>Ts + 12.9</b>	13,73	0,04
Ts + 2.7	3,53	0,14	<b>Ts + 13.0</b>	13,83	0,04
Ts + 2.8	3,63	0,14	<b>Ts + 13.1</b>	13,93	0,04
Ts + 2.9	3,73	0,14	<b>Ts + 13.2</b>	14,03	0,04
Ts + 3.0	3,83	0,13	<b>Ts + 13.3</b>	14,13	0,04
Ts + 3.1	3,93	0,13	<b>Ts + 13.4</b>	14,23	0,04
Ts + 3.2	4,03	0,13	<b>Ts + 13.5</b>	14,33	0,04
Ts + 3.3	4,13	0,12	<b>Ts + 13.6</b>	14,43	0,03
Ts + 3.4	4,23	0,12	<b>Ts + 13.7</b>	14,53	0,03
Ts + 3.5	4,33	0,12	<b>Ts + 13.8</b>	14,63	0,03
Ts + 3.6	4,43	0,11	<b>Ts + 13.9</b>	14,73	0,03
Ts + 3.7	4,53	0,11	<b>Ts + 14.0</b>	14,83	0,03
Ts + 3.8	4,63	0,11	<b>Ts + 14.1</b>	14,93	0,03

Ts + 3.9	4,73	0,11	<b>Ts + 14.2</b>	15,03	0,03
Ts + 4.0	4,83	0,10	<b>Ts + 14.3</b>	15,13	0,03
Ts + 4.1	4,93	0,10	<b>Ts + 14.4</b>	15,23	0,03
Ts + 4.2	5,03	0,10	<b>Ts + 14.5</b>	15,33	0,03
Ts + 4.3	5,13	0,10	<b>Ts + 14.6</b>	15,43	0,03
Ts + 4.4	5,23	0,10	<b>Ts + 14.7</b>	15,53	0,03
Ts + 4.5	5,33	0,09	<b>Ts + 14.8</b>	15,63	0,03
Ts + 4.6	5,43	0,09	<b>Ts + 14.9</b>	15,73	0,03
Ts + 4.7	5,53	0,09	<b>Ts + 15.0</b>	15,83	0,03
Ts + 4.8	5,63	0,09	<b>Ts + 15.1</b>	15,93	0,03
Ts + 4.9	5,73	0,09	<b>Ts + 15.2</b>	16,03	0,03
Ts + 5.0	5,83	0,09	<b>Ts + 15.3</b>	16,13	0,03
Ts + 5.1	5,93	0,09	<b>Ts + 15.4</b>	16,23	0,03
Ts + 5.2	6,03	0,08	<b>Ts + 15.5</b>	16,33	0,03
Ts + 5.3	6,13	0,08	<b>Ts + 15.6</b>	16,43	0,03
Ts + 5.4	6,23	0,08	<b>Ts + 15.7</b>	16,53	0,03
Ts + 5.5	6,33	0,08	<b>Ts + 15.8</b>	16,63	0,03
Ts + 5.6	6,43	0,08	<b>Ts + 15.9</b>	16,73	0,03
Ts + 5.7	6,53	0,08	<b>Ts + 16.0</b>	16,83	0,03
Ts + 5.8	6,63	0,08	<b>Ts + 16.1</b>	16,93	0,03
Ts + 5.9	6,73	0,07	<b>Ts + 16.2</b>	17,03	0,03
Ts + 6.0	6,83	0,07	<b>Ts + 16.3</b>	17,13	0,03
Ts + 6.1	6,93	0,07	<b>Ts + 16.4</b>	17,23	0,03
Ts + 6.2	7,03	0,07	<b>Ts + 16.5</b>	17,33	0,03
Ts + 6.3	7,13	0,07	<b>Ts + 16.6</b>	17,43	0,03
Ts + 6.4	7,23	0,07	<b>Ts + 16.7</b>	17,53	0,03
Ts + 6.5	7,33	0,07	<b>Ts + 16.8</b>	17,63	0,03
Ts + 6.6	7,43	0,07	<b>Ts + 16.9</b>	17,73	0,03

Ts + 6.7	7,53	0,07	<b>Ts + 17.0</b>	17,83	0,03
Ts + 6.8	7,63	0,07	<b>Ts + 17.1</b>	17,93	0,03
Ts + 6.9	7,73	0,07	<b>Ts + 17.2</b>	18,03	0,03
Ts + 7.0	7,83	0,06	<b>Ts + 17.3</b>	18,13	0,03
Ts + 7.1	7,93	0,06	<b>Ts + 17.4</b>	18,23	0,03
Ts + 7.2	8,03	0,06	<b>Ts + 17.5</b>	18,33	0,03
Ts + 7.3	8,13	0,06	<b>Ts + 17.6</b>	18,43	0,03
Ts + 7.4	8,23	0,06	<b>Ts + 17.7</b>	18,53	0,03
Ts + 7.5	8,33	0,06	<b>Ts + 17.8</b>	18,63	0,03
Ts + 7.6	8,43	0,06	<b>Ts + 17.9</b>	18,73	0,03
Ts + 7.7	8,53	0,06	<b>Ts + 18.0</b>	18,83	0,03
Ts + 7.8	8,63	0,06	<b>Ts + 18.1</b>	18,93	0,03
Ts + 7.9	8,73	0,06	<b>Ts + 18.2</b>	19,03	0,03
Ts + 8.0	8,83	0,06	<b>Ts + 18.3</b>	19,13	0,03
Ts + 8.1	8,93	0,06	<b>Ts + 18.4</b>	19,23	0,03
Ts + 8.2	9,03	0,06	<b>Ts + 18.5</b>	19,33	0,03
Ts + 8.3	9,13	0,06	<b>Ts + 18.6</b>	19,43	0,03
Ts + 8.4	9,23	0,05	<b>Ts + 18.7</b>	19,53	0,03
Ts + 8.5	9,33	0,05	<b>Ts + 18.8</b>	19,63	0,03
Ts + 8.6	9,43	0,05	<b>Ts + 18.9</b>	19,73	0,03
Ts + 8.7	9,53	0,05	<b>Ts + 19.0</b>	19,83	0,03
Ts + 8.8	9,63	0,05	<b>Ts + 19.1</b>	19,93	0,03
Ts + 8.9	9,73	0,05	<b>Ts + 19.2</b>	20,03	0,03
Ts + 9.0	9,83	0,05	<b>Ts + 19.3</b>	20,13	0,03
Ts + 9.1	9,93	0,05	<b>Ts + 19.4</b>	20,23	0,02
Ts + 9.2	10,03	0,05	<b>Ts + 19.5</b>	20,33	0,02
Ts + 9.3	10,13	0,05	<b>Ts + 19.6</b>	20,43	0,02
Ts + 9.4	10,23	0,05	<b>Ts + 19.7</b>	20,53	0,02

Ts + 9.5	10,33	0,05	<b>Ts + 19.8</b>	20,63	0,02
Ts + 9.6	10,43	0,05	<b>Ts + 19.9</b>	20,73	0,02
Ts + 9.7	10,53	0,05	<b>Ts + 20.0</b>	20,83	0,02
Ts + 9.8	10,63	0,05			
Ts + 9.9	10,73	0,05			
Ts + 10.0	10,83	0,05			

Dari tabel diatas dapat digambarkan grafik *Response spectrum* Surabaya sebagai berikut :



**Gambar 4. 6** Grafik *Response Spectrum* Gempa Surabaya

- Menentukan besar periode ( $T$ ) bangunan sesuai persamaan 26 SNI 1726:2019 Pasal 7.8.2.1

$$T_a = C_t h_n^x$$

dimana  $h_n$  adalah ketinggian struktur dan koefisien  $C_t$  dan  $x$  ditentukan dari Tabel 15.

$$T_a = C_t h_n^x$$

$$T_a = 0,0466 \times 51,4^{0,9}$$

$$T_a = 1,6 \text{ detik}$$

#### 4.6 Kombinasi Pembebanan

Kombinasi beban untuk perhitungan struktur atas menggunakan beban beban terfaktor menurut SNI 1726:2019 Pasal 4.2.2, sebagai berikut:

1. 1,4 D
2. 1,2 D + 1,6 L + 0,5 L<sub>r</sub>
3. 1,2 D + 1,6 L + 0,5 R
4. 1,2 D + 1,6 L<sub>r</sub> + L
5. 1,2 D + 1,6 L<sub>r</sub> + 0,5 W
6. 1,2 D + 1,6 R + L
7. 1,2 D + 1,6 R + 0,5 W
8. 1,2 D + 1,0 W + L + 0,5 L<sub>r</sub>
9. 1,2 D + 1,0 W + L + 0,5 R
10. 0,9 D + 1,0 W
11. 1,2 D + 1,0 L + E<sub>v</sub> + E<sub>y</sub>
12. 1,2 D + 1,0 L + E<sub>x</sub> + E<sub>v</sub>
13. 0,9 D - E<sub>v</sub> + E<sub>y</sub>
14. 0,9 D - E<sub>v</sub> + E<sub>x</sub>

Keterangan :

- D* : Beban Mati  
*L* : Beban Hidup  
*L<sub>r</sub>* : Beban Hidup Atap  
*W* : Beban Angin  
*E* : Beban Gempa

## **BAB V**

### **HASIL DAN PEMBAHASAN**

#### **5.1 Kontrol Sistem Struktur**

Sesuai dengan peraturan SNI 1726-2019 tentang perencanaan gedung tahan gempa, maka hasil analisis struktur harus dikontrol terhadap suatu batasan-batasan tertentu untuk menentukan kelayakan sistem struktur tersebut. Adapun hal-hal yang harus dikontrol adalah sebagai berikut :

##### **5.1.1 Kontrol Partisipasi Massa**

Berdasarkan SNI 1726-2019 pasal 7.9.1.1 analisis harus dilakukan untuk menentukan ragam getar alami untuk struktur. Analisis harus menyertakan jumlah ragam yang cukup untuk mendapatkan partisipasi massa ragam terkombinasi sebesar 100 % dari massa struktur. Tetapi adanya pengecualian sebagai alternatif, analisis diizinkan untuk memasukkan jumlah ragam yang minimum untuk mencapai massa ragam terkombinasi paling sedikit 90 % dari massa aktual dalam masing-masing arah horizontal ortogonal dari respons yang ditinjau oleh model. Dalam hal ini, digunakan output partisipasi massa dari program analisa struktur ETABS. Nilai partisipasi massa pada bangunan gedung yang direncanakan dapat dilihat pada Tabel 5.1 berikut :

**Tabel 5.1 Nilai Partisipasi Massa**

Mode	Periode (Detik)	Sum UX	Sum UY
1	4,016	0,56	0,00
2	3,431	0,56	0,61
3	3,141	0,56	0,62
4	1,414	0,76	0,62
5	1,284	0,76	0,85
6	1,125	0,77	0,85
7	0,932	0,91	0,85
8	0,835	0,91	0,93
9	0,808	0,92	0,94
10	0,658	0,95	0,94

11	0,565	0,95	0,95
12	0,562	0,95	0,95
13	0,471	0,96	0,95
14	0,413	0,96	0,96
15	0,398	0,96	0,96
16	0,361	0,97	0,96
17	0,329	0,97	0,98
18	0,305	0,97	0,98
19	0,299	0,98	0,98
20	0,277	0,98	0,98
21	0,271	0,98	0,98
22	0,263	0,98	0,98
23	0,256	0,98	0,98
24	0,252	0,99	0,98
25	0,240	0,99	0,98
26	0,228	0,99	0,99
27	0,221	0,99	0,99
28	0,209	0,99	0,99
29	0,191	0,99	0,99
30	0,186	0,99	0,99
31	0,182	0,99	0,99
32	0,176	0,99	0,99
33	0,167	0,99	0,99
34	0,166	0,99	0,99
36	0,156	0,99	0,99
37	0,154	0,99	0,99
38	0,152	0,99	0,99
39	0,150	0,99	0,99
40	0,148	0,99	0,99
41	0,142	0,99	0,99
42	0,140	0,99	0,99
43	0,136	0,99	0,99
44	0,129	0,99	0,99
45	0,125	0,99	0,99
46	0,123	0,99	0,99
47	0,122	0,99	0,99
48	0,119	0,99	0,99

49	0,113	0,99	0,99
50	0,107	0,99	0,99
51	0,107	1,00	0,99
52	0,106	1,00	0,99
53	0,106	1,00	0,99
54	0,104	1,00	1,00
55	0,099	1,00	1,00
56	0,096	1,00	1,00
57	0,095	1,00	1,00
58	0,094	1,00	1,00
59	0,091	1,00	1,00
60	0,090	1,00	1,00
61	0,088	1,00	1,00
62	0,088	1,00	1,00
63	0,083	1,00	1,00
64	0,082	1,00	1,00
65	0,080	1,00	1,00
66	0,080	1,00	1,00
67	0,079	1,00	1,00
68	0,077	1,00	1,00
69	0,077	1,00	1,00
70	0,077	1,00	1,00
71	0,076	1,00	1,00
72	0,074	1,00	1,00

Sehingga dari tabel di atas menunjukkan bahwa dengan 72 mode sudah mampu memenuhi syarat partisipasi massa.

### 5.1.2 Penentuan Periode Fundamental

Untuk mencegah penggunaan struktur gedung yang terlalu fleksibel, nilai waktu getar alami fundamental ( $T$ ) dari struktur gedung harus dibatasi.

**Tabel 5. 2** Koefisien untuk Cu

Parameter percepatan respons spektral desain pada 1 detik, SD1	Koefisien Cu
$\geq 0,4$	1.4

Kar ena $S_{DI} =$ 0,504 g	<b>0.3</b>	1.4
	<b>0.2</b>	1.5
	<b>0.15</b>	1.6
	<b><math>\leq 0,1</math></b>	1.7

maka didapatkan  $C_u = 1,4$ . Lalu untuk menentukan periode fundamental pendekatan ( $T_a$ ) yang ditentukan dari persamaan berikut :

$$T_a = C_t h_n^x$$

Dimana :

$h_n$  = ketinggian struktur (m), di atas dasar sampai tingkat tertinggi struktur

Untuk mendapat kan  $C_t$  dapat dilihat melalui SNI 1726 -2019

Tipe struktur	$C_t$	x
Sistem rangka pemikul momen di mana rangka memikul 100 persen gaya gempa yang disyaratkan dan tidak dilengkapi atau dihubungkan dengan komponen yang lebih kaku dan akan mencegah rangka dari defleksi jika dikenai gaya gempa.		
Rangka baja pemikul momen	0,0724 <sup>a</sup>	0,8
Rangka beton pemikul momen	0,0466 <sup>a</sup>	0,9
Rangka baja dengan bresing eksentris	0,0731 <sup>a</sup>	0,75
Rangka baja dengan bresing terkekang terhadap tekuk	0,0731 <sup>a</sup>	0,75
Seumua sistem struktur lainnya	0,0488 <sup>a</sup>	0,75

**Gambar 5. 1** Nilai parameter pendeketan

Sumber : SNI 1726-2019

Tabel 18.

$$T_a = C_t h_n^x$$

$$T_a = 0,0724 \times (97^{0,8})$$

$$T_a = 2,81 \text{ detik}$$

$$C_u \cdot T_a = 1,4 \times 2,81$$

$$C_u \cdot T_a = 3,94 \text{ detik}$$

Berdasarkan SNI 1726-2019 pasal 7.9.1.4.1 apabila periode gedung melebihi batasan :

- Jika  $T_c > C_u \times T_a$  maka digunakan  $T = C_u \times T_a$
- Jika  $T_a < T_c < C_u \times T_a$  maka digunakan  $T = T_c$

- Jika  $T_c < T_a$  maka digunakan  $T = T_a$

Keterangan :

$T_c$  : Periode fundamental struktur yang diperoleh dari program analisa struktur. Sehingga periode yang digunakan adalah sebagai berikut :

Nilai dari waktu getar pada bangunan gedung yang direncanakan didapatkan dari output ETABS. Maka :

$$T_1 = 3,06 \text{ detik}$$

$$T_1 < C_u \cdot T_a$$

Sehingga dipakai nilai waktu getar alami fundamental ( $T$ ) : 3,06 detik

**Tabel 5. 3** Perbandingan Periode Fundamental

Sistem SRPMB <i>Open Frame</i> (detik)	Sistem SRPMB dengan FVD (detik)
4,56	3,06

### 5.1.3 Kontrol Geser Dasar Seismik

Menurut SNI 1726-2019 pasal 7.9.1.4.1, kombinasi respon untuk geser dasar ragam ( $V_t$ ) lebih kecil 100% dari geser dasar yang dihitung ( $V$ ) menggunakan prosedur gaya lateral ekivalen, maka harus dikalikan  $V_t/V$ . Nilai geser dasar menggunakan prosedur gaya lateral ekivalen dipengaruhi dari nilai koefisien respon seismik ( $C_s$ ) dan berat seismik efektif ( $W$ ). Untuk koefisien seismik efektif didapatkan dari perhitungan dibawah ini :

$$\begin{aligned} C_s &= \frac{S_{DS}}{\left(\frac{R}{l_e}\right)} \\ &= \frac{0,607}{\left(\frac{3,5}{1,5}\right)} \\ &= 0,261 \\ C_{smax} &= \frac{S_{D1}}{T\left(\frac{R}{l_e}\right)} \\ &= \frac{0,504}{3,94 \left(\frac{3,5}{1,5}\right)} \end{aligned}$$

$$\begin{aligned}
 &= 0,07 \\
 C_{smin} &= 0,44 \cdot S_{DS} \cdot I_e \\
 &= 0,0401 > 0,01 \text{ (OK)}
 \end{aligned}$$

Dari hasil perhitungan didapatkan  $C_{smin} < C_s < C_{smax}$   
 Sehingga diambil nilai  $C_{smax} = 0,0700$ . Lalu untuk menentukan  
 gaya geser dasar seismik (V) sesuai dengan persamaan 30 SNI  
 1726-2019 Pasal 7.8.1

$$\begin{aligned}
 V &= C_s W \\
 V &= 0,0700 \times 21051980,87 \\
 V &= 1473925,175 \text{ kg}
 \end{aligned}$$

Untuk nilai geser dasar respons (Vt) didapatkan dari output  
*Base Shear* dengan program bantu ETABS. Nilai geser dasar  
 respons dapat dilihat dari tabel 5.3 berikut ini

**Tabel 5. 4** Geser Dasar Respons (Vt)

OutputCase	CaseType	StepType	GlobalFX	GlobalFY
Text	Text	Text	Kgf	Kgf
Ex	LinRespSpec	Max	1401358,07	432601,19
Ey	LinRespSpec	Max	2854694,08	9456259,76

- Untuk geser dasar sumbu x :
 

$V_{tx}$	$\geq 100\% V$
1401358,07 kg	$\geq 100\% 1473925,175$
1401358,07 kg	$> 1308930,38$ <b>(Memenuhi)</b>
Maka gaya $V_{tx} = 1,05$	
- Untuk geser dasar sumbu y :
 

$V_{ty}$	$\geq 100\% V$
9456259,76 kg	$\geq 100\% 1473925,175$
9456259,76 kg	$> 1308930,38$
Maka skala nilai $V_{ty} = 1$	<b>(Memenuhi)</b>

Dari skala pembesaran yang didapat tiap arah, maka dikalikan  
 nilai faktor pembesaran tiap arah.

$$\begin{aligned}
 \text{Arah X} &= I_e/R \times g \\
 &= 1,5/3,5 \times 9,8 \\
 &= 4,2
 \end{aligned}$$

$$\text{Arah Y} = 30\% \text{ arah x}$$

Perhitungan faktor pembesaran tiap arah menjadi :

- Arah x :
 

U1	= 4,42
----	--------

$$U_2 = 1,26$$

- Arah y :

$$U_1 = 1,26$$

$$U_2 = 4,2$$

#### 5.1.4 Kontrol Simpangan Antar Lantai

Menurut SNI 1726-2019 Pasal 7.12.1 dijelaskan bahwa nilai simpangan antar lantai tingkat desain ( $\Delta_i$ ) tidak boleh melebihi nilai simpangan antar lantai tingkat ijin ( $\Delta_a$ ). Nilai simpangan antar lantai tingkat desain didapatkan dari output Displacement dari program bantu ETABS. Hasil dari Kontrol simpangan antar lantai dapat dilihat pada Tabel 4.9 dan Tabel 4.10 berikut

**Tabel 5. 5 Kontrol Simpangan Antar Lantai Sumbu X**

Lantai	Tinggi per Lantai (m)	$\delta_{ei}$ (mm)	$\delta_i$ (mm)	$\frac{\delta_{ei}}{\delta_{ei(i-1)}}$ (mm)	$\Delta_i$ (mm)	$\Delta_a$ (mm)	Kontrol	
24	93	4	1029,34	2058,68	14,75	29,49	80	OK
23	89	4	1014,59	2029,18	21,60	43,19	80	OK
22	85	4	993,00	1985,99	28,92	57,85	80	OK
21	81	4	964,07	1928,15	34,88	69,75	80	OK
20	77	4	929,20	1858,39	41,06	82,12	80	NOT OK
19	73	4	888,14	1776,27	47,13	94,26	80	NOT OK
18	69	4	841,01	1682,01	52,19	104,38	80	NOT OK
17	65	4	788,81	1577,63	57,96	115,92	80	NOT OK
16	61	4	730,85	1461,71	58,96	117,92	80	NOT OK
15	57	4	671,89	1343,79	62,86	125,73	80	NOT OK
14	53	4	609,03	1218,06	66,95	133,90	80	NOT OK
13	49	4	542,08	1084,16	69,42	138,84	80	NOT OK
12	45	4	472,66	945,32	69,04	138,08	80	NOT OK
11	41	4	403,62	807,23	70,45	140,90	80	NOT OK
10	37	4	333,16	666,33	70,78	141,56	80	NOT OK
9	33	5	262,38	524,77	70,81	141,61	100	NOT OK
8	28	4,6	191,58	383,15	44,67	89,33	92	OK
7	23,4	3	146,91	293,82	15,00	29,99	60	OK
6	20,4	3	131,91	263,83	16,04	32,08	60	OK
5	17,4	3	115,87	231,74	14,88	29,76	60	OK
4	14,4	3	100,99	201,98	14,91	29,82	60	OK
3	11,4	3	86,08	172,17	15,24	30,49	60	OK

2	8,4	3	70,84	141,68	18,92	37,84	60	OK
1	5,4	3,5	51,92	103,83	29,35	58,70	70	OK
LG	1,9	1,9	22,57	45,13	22,57	45,13	38	NOT OK

**Tabel 5. 6** Kontrol Simpangan Antar Lantai Sumbu Y

Lantai	Tinggi (m)	Tinggi per Lantai (m)	$\delta_{ei}$ (mm)	$\delta_i$ (mm)	$\delta_{ei} - \delta_{e(i-1)}$ (mm)	$\Delta_i$ (mm)	$\Delta_a$ (mm)	Kontrol
24	93	4	1199,66	2399,32	14,74	29,48	80	OK
23	89	4	1184,92	2369,84	23,24	46,47	80	OK
22	85	4	1161,69	2323,37	32,25	64,49	80	OK
21	81	4	1129,44	2258,88	39,56	79,12	80	OK
20	77	4	1089,88	2179,76	47,27	94,54	80	NOT OK
19	73	4	1042,61	2085,22	54,85	109,70	80	NOT OK
18	69	4	987,76	1975,52	61,24	122,48	80	NOT OK
17	65	4	926,52	1853,04	67,97	135,94	80	NOT OK
16	61	4	858,55	1717,09	68,61	137,23	80	NOT OK
15	57	4	789,93	1579,87	73,18	146,36	80	NOT OK
14	53	4	716,75	1433,51	77,75	155,49	80	NOT OK
13	49	4	639,01	1278,01	80,49	160,98	80	NOT OK
12	45	4	558,52	1117,03	79,70	159,40	80	NOT OK
11	41	4	478,82	957,64	81,39	162,78	80	NOT OK
10	37	4	397,43	794,85	81,51	163,02	80	NOT OK
9	33	5	315,92	631,84	90,93	181,87	100	NOT OK
8	28	4,6	224,98	449,97	47,75	95,50	92	NOT OK
7	23,4	3	177,23	354,47	22,59	45,18	60	OK
6	20,4	3	154,64	309,28	21,61	43,22	60	OK
5	17,4	3	133,03	266,06	21,46	42,93	60	OK
4	14,4	3	111,57	223,13	21,54	43,07	60	OK
3	11,4	3	90,03	180,06	22,03	44,06	60	OK
2	8,4	3	68,00	136,00	22,39	44,78	60	OK
1	5,4	3,5	45,61	91,22	13,79	27,58	70	OK
LG	1,9	1,9	31,82	63,65	31,82	63,65	38	NOT OK

Untuk yang sudah dipasang *FVD* dengan spesifikasi *FVD-H-750-150*

**Tabel 5. 7** Kontrol Simpangan Antar Lantai Sumbu X

Lantai	Tinggi	Tinggi per Lantai	$\delta e_i$	$\delta i$	$\delta e_i - \delta e_{(i-1)}$	$\Delta_i$	$\Delta_a$	Kontrol
	(m)	(m)	(mm)	(mm)	(mm)	(mm)	(mm)	
24	93	4	344.39	688.77	9.48	18.97	80	OK
23	89	4	334.90	669.80	12.97	25.94	80	OK
22	85	4	321.93	643.86	16.26	32.53	80	OK
21	81	4	305.67	611.34	16.72	33.44	80	OK
20	77	4	288.95	577.89	15.36	30.73	80	OK
19	73	4	273.58	547.17	11.66	23.32	80	OK
18	69	4	261.93	523.85	13.70	27.41	80	OK
17	65	4	248.22	496.44	11.30	22.61	80	OK
16	61	4	236.92	473.84	14.04	28.07	80	OK
15	57	4	222.88	445.76	10.20	20.40	80	OK
14	53	4	212.68	425.36	13.23	26.46	80	OK
13	49	4	199.45	398.91	8.03	16.06	80	OK
12	45	4	191.42	382.85	11.34	22.68	80	OK
11	41	4	180.09	360.17	4.67	9.34	80	OK
10	37	4	175.41	350.83	10.65	21.30	80	OK
9	33	5	164.76	329.53	9.44	18.89	100	OK
8	28	4.6	155.32	310.64	21.44	42.88	92	OK
7	23.4	3	133.88	267.76	16.61	33.22	60	OK
6	20.4	3	117.27	234.54	17.29	34.58	60	OK
5	17.4	3	99.98	199.96	17.42	34.85	60	OK
4	14.4	3	82.56	165.12	17.30	34.60	60	OK
3	11.4	3	65.26	130.51	17.15	34.30	60	OK
2	8.4	3	48.11	96.22	16.10	32.19	60	OK
1	5.4	3.5	32.01	64.03	20.24	40.47	70	OK
LG	1.9	1.9	11.78	23.55	11.78	23.55	38	OK

**Tabel 5. 8** Kontrol Simpangan Antar Lantai Sumbu Y

Lantai	Tinggi (m)	Tinggi per Lantai (m)	$\delta_{ei}$	$\delta_i$	$\delta_{ei} - \delta_{e(i-1)}$	$\Delta_i$	$\Delta_a$	Kontrol
			(mm)	(mm)	(mm)	(mm)	(mm)	
24	93	4	34,00	67,99	-0,04	-0,07	80	OK
23	89	4	34,03	68,06	0,19	0,38	80	OK
22	85	4	33,84	67,68	0,52	1,04	80	OK
21	81	4	33,32	66,65	0,74	1,48	80	OK
20	77	4	32,59	65,17	0,99	1,98	80	OK
19	73	4	31,59	63,19	1,30	2,60	80	OK
18	69	4	30,29	60,59	1,44	2,87	80	OK
17	65	4	28,86	57,72	1,60	3,21	80	OK
16	61	4	27,26	54,51	1,72	3,43	80	OK
15	57	4	25,54	51,08	1,88	3,76	80	OK
14	53	4	23,66	47,32	1,91	3,82	80	OK
13	49	4	21,75	43,50	1,99	3,98	80	OK
12	45	4	19,76	39,52	1,69	3,37	80	OK
11	41	4	18,08	36,15	1,57	3,13	80	OK
10	37	4	16,51	33,02	0,78	1,56	80	OK
9	33	5	15,73	31,46	3,63	7,26	100	OK
8	28	4,6	12,10	24,20	-10,96	-21,92	92	OK
7	23,4	3	23,06	46,13	2,74	5,49	60	OK
6	20,4	3	20,32	40,64	2,11	4,21	60	OK
5	17,4	3	18,21	36,43	2,07	4,13	60	OK
4	14,4	3	16,15	32,30	1,32	2,64	60	OK
3	11,4	3	14,83	29,66	2,27	4,54	60	OK

2	8,4	3	12,56	25,12	4,60	9,20	60	OK
1	5,4	3,5	7,96	15,92	4,24	8,48	70	OK
LG	1,9	1,9	3,72	7,44	3,72	7,44	38	OK

dengan :

- $C_d = 3$  (sesuai Tabel 12 SNI 1726 – 2019, untuk rangka baja pemikul momen biasa)
- $I_e = 1,5$  (sesuai Tabel 4 pada Pasal 4.1.2 SNI 1726 – 2019, untuk bangunan dengan kategori resiko IV)
- $\rho = 1,3$  (sesuai SNI 1726:2019 Pasal 7.3.4.2)
- $\delta_e = \text{perpindahan (output ETABS)}$
- $\delta_{xe} = \text{selisih perpindahan antar lantai}$
- $\Delta a = 0,010 h_{sx}$  (tabel 20 SNI 1726:2012)

## 5.2 Perhitungan Struktur Sekunder

### 5.2.1 Perhitungan Pelat Lantai

Pelat lantai pada bangunan gedung yang ditinjau menggunakan bondek dengan perencanaan menggunakan tabel perencanaan praktis dari PT BRC LYSAGHT INDONESIA dengan tebal bondek 0,75 mm

#### a. Pelat Lantai (S1)

Data perencanaan dari pelat lantai atap pada bangunan gedung yang ditinjau sebagai berikut :

Panjang	: 8 m
Lebar	: 2 m
Penyangga	: Tanpa penyangga
Tipe Bentang	: Bentang ganda

Untuk beban berguna yang terjadi pada pelat lantai atap dapat dilihat pada Tabel 5.7 berikut ini:

**Tabel 5.9** Beban Berguna Pelat Lantai S1

Keterangan	Item Beban	Beban per Item	Beban Berguna
------------	------------	----------------	---------------

D e n g a n b a n t u	Pelat Lantai S1		(kg/m <sup>2</sup> )	(kg/m <sup>2</sup> )
Beban Mati	Penggantung langit - langit		10	700
	Mechanical Electrical		19	
	Plafond (Gypsum 9mm)		7,2	
	Bondek		10,1	
	Keramik dan spesi		77	
	Beban Hidup	Lobby	479	

an tabel perencanaan praktis maka didapatkan :

$$\text{Tebal pelat} = 9 \text{ cm}$$

$$A_s \text{ perlu U-24} = 3,04 \text{ cm}^2/\text{m}$$

$$A_s \text{ perlu U-50} = A_s \text{ perlu U-24} \cdot \frac{\text{Teg. leleh U-24}}{\text{Teg. leleh U-50}} \\ = 3,04 \text{ cm}^2/\text{m} \cdot \frac{2400 \text{ kg/cm}^2}{5000 \text{ kg/cm}^2} \\ = 1,459 \text{ cm}^2/\text{m}$$

Tulangan negatif direncanakan menggunakan wiremesh dengan spesifikasi sebagai berikut :

Merk = CV. Enka Sinergi

Dimensi = M6 – 150

Diameter = 6 mm

Spasi = 150 mm

Mutu = U-50

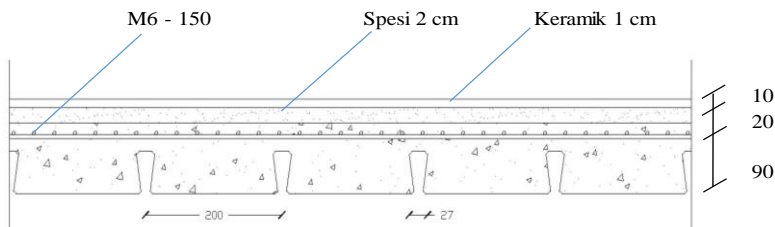
$A_s$  wiremesh = 1,885 cm<sup>2</sup>/m

Kontrol untuk tulangan negatif pelat lantai atap adalah:

$$A_s \text{ perlu U-50} \leq A_s \text{ wiremesh}$$

$$1,459 \text{ cm}^2/\text{m} < 1,885 \text{ cm}^2/\text{m} \quad (\text{memenuhi})$$

Maka pelat lantai atap didesain tebal 9 cm dengan wiremesh M6 – 150. Gambar penulangan pelat lantai atap dapat dilihat pada Gambar 5.2 berikut:



Gambar 5.2 Penulangan Pelat Lantai S1

b. Pelat Lantai (S2)

Data perencanaan dari pelat lantai atap pada bangunan gedung yang ditinjau sebagai berikut :

- Panjang : 8 m
- Lebar : 2 m
- Penyangga : Tanpa penyangga
- Tipe Bentang : Bentang ganda

Untuk beban berguna yang terjadi pada pelat lantai atap dapat dilihat pada Tabel 5.8 berikut ini:

**Tabel 5. 10** Beban Berguna Pelat Lantai S2

D e n g a n b a n t u a n	Keterangan	Item Beban	Beban per Item	Beban Berguna
			(kg/m <sup>2</sup> )	(kg/m <sup>2</sup> )
Pelat Lantai S2	Beban Mati	Penggantung langit - langit	10	400
		Mechanical Electrical	19	
		Plafond (Gypsum 9mm)	7,2	
		Bondek	10,1	
		Keramik dan spesi	77	
		Kantor	240	
	Beban Hidup			

tabel perencanaan praktis maka didapatkan :

$$\text{Tebal pelat} = 9 \text{ cm}$$

$$A_s \text{ perlu U-24} = 1,95 \text{ cm}^2/\text{m}$$

$$A_s \text{ perlu U-50} = A_s \text{ perlu U-24} \cdot \frac{\text{Teg. leleh U-24}}{\text{Teg. leleh U-50}}$$

$$= 1,95 \text{ cm}^2/\text{m} \cdot \frac{2400 \text{ kg/cm}^2}{5000 \text{ kg/cm}^2}$$

$$= 0,936 \text{ cm}^2/\text{m}$$

Tulangan negatif direncanakan menggunakan wiremesh dengan spesifikasi sebagai berikut :

Merk = CV. Enka Sinergi

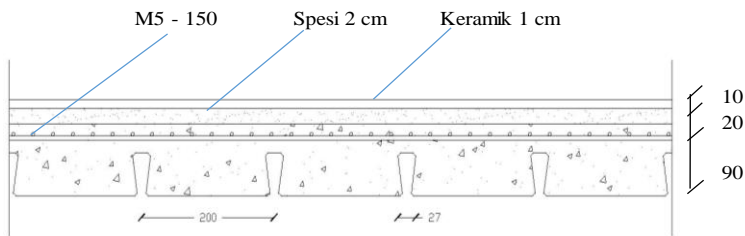
Dimensi = M5 – 150

$$\begin{aligned}
 \text{Diameter} &= 5 \text{ mm} \\
 \text{Spasi} &= 150 \text{ mm} \\
 \text{Mutu} &= \text{U-50} \\
 A_s \text{ wiremesh} &= 1,309 \text{ cm}^2/\text{m}
 \end{aligned}$$

Kontrol untuk tulangan negatif pelat lantai atap adalah:

$$\begin{aligned}
 A_s \text{ perlu U-50} &\leq A_s \text{ wiremesh} \\
 0,936 \text{ cm}^2/\text{m} &< 1,309 \text{ cm}^2/\text{m} \quad (\text{memenuhi})
 \end{aligned}$$

Maka pelat lantai atap didesain tebal 9 cm dengan wiremesh M5 – 150. Gambar penulangan pelat lantai atap dapat dilihat pada



**Gambar 5. 3** Penulangan Pelat Lantai S2

Gambar 5.3 berikut:

c. Pelat Lantai (S3)

Data perencanaan dari pelat lantai atap pada bangunan gedung yang ditinjau sebagai berikut :

- Panjang : 8 m
- Lebar : 2 m
- Penyangga : Tanpa penyangga
- Tipe Bentang : Bentang ganda

Untuk beban berguna yang terjadi pada pelat lantai atap dapat dilihat pada Tabel 5.9 berikut ini:

**Tabel 5. 11** Beban Berguna Pelat Lantai S3

Keterangan		Item Beban	Beban per Item	Beban Berguna
			(kg/m <sup>2</sup> )	(kg/m <sup>2</sup> )
Pelat Lantai S3	Beban Mati	Penggantung langit - langit	10	<b>900</b>
		Mechanical	19	

D e n g a n		Electrical		
		Plafond (Gypsum 9mm)	7,2	
		Bondek	10,1	
		Keramik dan spesi	77	
		Beban Hidup	Panggung Pertemuan	718

bantuan tabel perencanaan praktis maka didapatkan :

$$\text{Tebal pelat} = 10 \text{ cm}$$

$$A_s \text{ perlu U-24} = 3,35 \text{ cm}^2/\text{m}$$

$$A_s \text{ perlu U-50} = A_s \text{ perlu U-24} \cdot \frac{\text{Teg. leleh U-24}}{\text{Teg. leleh U-50}}$$

$$= 3,35 \text{ cm}^2/\text{m} \cdot \frac{2400 \text{ kg/cm}^2}{5000 \text{ kg/cm}^2}$$

$$= 1,608 \text{ cm}^2/\text{m}$$

Tulangan negatif direncanakan menggunakan wiremesh dengan spesifikasi sebagai berikut :

Merk = CV. Enka Sinergi

Dimensi = M6 – 150

Diameter = 6 mm

Spasi = 150 mm

Mutu = U-50

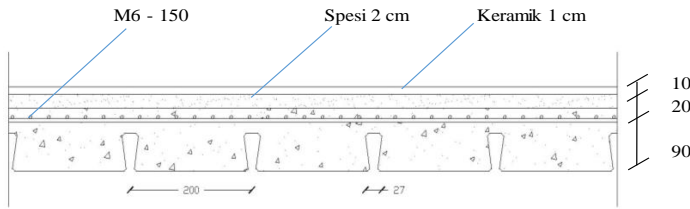
$A_s$  wiremesh = 1,885  $\text{cm}^2/\text{m}$

Kontrol untuk tulangan negatif pelat lantai atap adalah:

$$A_s \text{ perlu U-50} \leq A_s \text{ wiremesh}$$

$$1,608 \text{ cm}^2/\text{m} < 1,885 \text{ cm}^2/\text{m} \quad (\text{memenuhi})$$

Maka pelat lantai atap didesain tebal 10 cm dengan wiremesh M6 – 150. Gambar penulangan pelat lantai atap dapat dilihat pada Gambar 5.4 berikut:



**Gambar 5. 4** Penulangan Pelat Lantai S3

d. Pelat Lantai Parkir

Data perencanaan dari pelat lantai atap pada bangunan gedung yang ditinjau sebagai berikut :

Panjang : 8 m

Lebar : 2 m

Penyangga : Tanpa penyangga

Tipe Bentang : Bentang ganda

Untuk beban berguna yang terjadi pada pelat lantai atap dapat dilihat pada Tabel 5.10 berikut ini:

**Tabel 5. 12** Beban Berguna Pelat Lantai Parkir

D e n g a n b a n t u a n	Pelat Lantai S1	Beban Mati	Keterangan	Item Beban	Beban per Item	Beban Berguna
			(kg/m <sup>2</sup> )	(kg/m <sup>2</sup> )	(kg/m <sup>2</sup> )	(kg/m <sup>2</sup> )
			Penggantung langit - langit		10	400
			Mechanical Electrical		19	
			Plafond (Gypsum 9mm)		7,2	
			Bondek		10,1	
			Keramik dan spesi		77	
			Beban Hidup	Garasi/Parkir	192	

tabel perencanaan praktis maka didapatkan :

Tebal pelat = 9 cm

$A_s$  perlu U-24 = 1,95 cm<sup>2</sup>/m

$$\begin{aligned}
 A_s \text{ perlu U-50} &= A_s \text{ perlu U-24} \cdot \frac{\text{Teg. leleh U-24}}{\text{Teg. leleh U-50}} \\
 &= 1,95 \text{ cm}^2/\text{m} \cdot \frac{2400 \text{ kg/cm}^2}{5000 \text{ kg/cm}^2} \\
 &= 0,936 \text{ cm}^2/\text{m}
 \end{aligned}$$

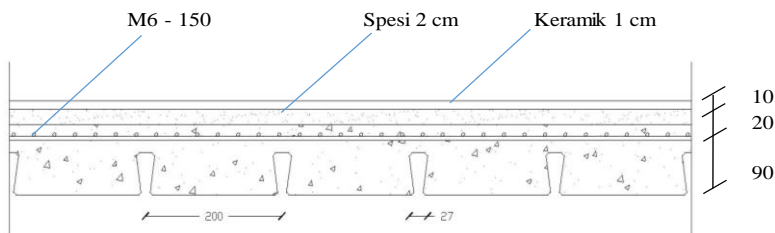
Tulangan negatif direncanakan menggunakan wiremesh dengan spesifikasi sebagai berikut :

Merk	= CV. Enka Sinergi
Dimensi	= M5 – 150
Diameter	= 5 mm
Spasi	= 150 mm
Mutu	= U-50
$A_s$ wiremesh	= 1,309 $\text{cm}^2/\text{m}$

Kontrol untuk tulangan negatif pelat lantai atap adalah:

$$\begin{aligned}
 A_s \text{ perlu U-50} &\leq A_s \text{ wiremesh} \\
 0,936 \text{ cm}^2/\text{m} &< 1,309 \text{ cm}^2/\text{m} \quad (\text{memenuhi})
 \end{aligned}$$

Maka pelat lantai atap didesain tebal 9 cm dengan wiremesh M6 – 150. Gambar penulangan pelat lantai atap dapat dilihat pada



**Gambar 5. 5 Penulangan Pelat Lantai Parkir**

Gambar 5.5 berikut:

### 5.2.2 Perhitungan Balok Anak

#### a. Balok Anak

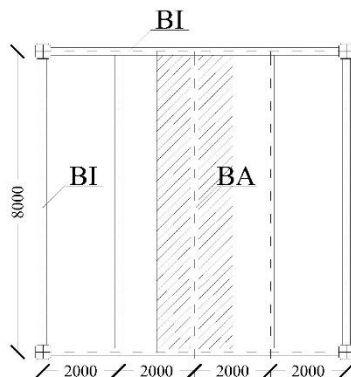
Balok anak lantai atap didesain menggunakan profil WF. Untuk dimensi dari balok anak atap dapat dilihat pada Tabel 5.11 berikut ini :

**Tabel 5. 13 Dimensi Balok Anak**

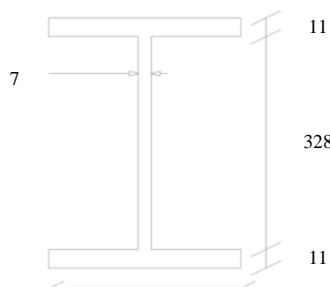
WF 350X175X7X11
-----------------

<b>W</b>	=	49,6	kg/m	<b>r<sub>x</sub></b>	=	14,7	cm
<b>d</b>	=	350	mm	<b>r<sub>y</sub></b>	=	3,95	cm
<b>b</b>	=	175	mm	<b>S<sub>x</sub></b>	=	775	cm <sup>3</sup>
<b>t<sub>w</sub></b>	=	7	mm	<b>S<sub>y</sub></b>	=	112	cm <sup>3</sup>
<b>t<sub>f</sub></b>	=	11	mm	<b>Z<sub>x</sub></b>	=	840,847	cm <sup>3</sup>
<b>r</b>	=	14	mm	<b>Z<sub>y</sub></b>	=	172,4555	cm <sup>3</sup>
<b>A</b>	=	63,14	cm <sup>2</sup>	<b>J</b>	=	19,28	cm <sup>4</sup>
<b>I<sub>x</sub></b>	=	13600	cm <sup>4</sup>	<b>I<sub>y</sub></b>	=	984	cm <sup>4</sup>

Gambar potongan penampang dan letak dari balok anak yang



**Gambar 5. 7** Model beban pada balok anak



**Gambar 5. 6** Potongan Penampang Balok Anak

ditinjau dapat dilihat pada Gambar 5.6 dan Gambar 5.7.

**Tabel 5. 14** Beban mati merata pada balok anak

Keterangan	Berat kg/m
Berat sendiri	49,6
Berat pelat lantai	424,8
Bondek	20,2
Keramik dan spesi	77
Penggantung langit - langit	20
Plafond (Gypsum 9mm)	14,4
Mechanical Electrical	38
$Q_D$	644

- Beban Mati
 

Pelat Lantai	$= 212,4 \text{ kg/m}^2 \times 2 \text{ m}$	$= 424,8 \text{ kg/m}$
Bondek	$= 10,1 \text{ kg/m}^2 \times 2 \text{ m}$	$= 20,2 \text{ kg/m}$
Berat sendiri	$= 49,6 \text{ kg/m}$	$= 49,6 \text{ kg/m}$
Keramik & spesi	$= 38,5 \text{ kg/m}^2 \times 2 \text{ m}$	$= 77 \text{ kg/m}$
Penggantung	$= 10 \text{ kg/m}^2 \times 2 \text{ m}$	$= 20 \text{ kg/m}$
Plafond	$= 7,2 \text{ kg/m}^2 \times 2 \text{ m}$	$= 14,4 \text{ kg/m}$
Mech. Electrical	$= 19 \text{ kg/m}^2 \times 2 \text{ m}$	$= 38 \text{ kg/m}$
<b>Total Beban Mati (<math>Q_D</math>)</b>		$= 644 \text{ kg/m}$
- Beban Hidup
 

Lobby	$= 479 \text{ kg/m}^2 \times 2 \text{ m}$	$= 958 \text{ kg/m}$
<b>Total Beban Mati (<math>Q_L</math>)</b>		$= 958 \text{ kg/m}$
- Kombinasi Pembebatan
 
$$\begin{aligned} Q_{U1} &= 1,2 Q_D + 1,6 Q_L \\ &= 1,2 \cdot 644 \text{ kg/m} + 1,6 \cdot 958 \text{ kg/m} \\ &= 2305,6 \text{ kg/m} \end{aligned}$$

$$\begin{aligned} Q_{U2} &= Q_D + Q_L \\ &= 644 \text{ kg/m} + 958 \text{ kg/m} \\ &= 1602 \text{ kg/m} \end{aligned}$$
- Gaya Dalam

$$\begin{aligned}
 V_U &= \frac{1}{2} \cdot Q_{U1} \cdot L \\
 &= \frac{1}{2} \cdot 2305,6 \text{ kg/m} \cdot 8 \text{ m} \\
 &= 9222,40 \text{ kg} \\
 M_U &= \frac{1}{8} \cdot Q_{U1} \cdot L^2 \\
 &= \frac{1}{8} \cdot 2305,6 \text{ kg/m} \cdot (8 \text{ m})^2 \\
 &= 18444,8 \text{ kg.m} \\
 f &= \frac{5 \cdot Q_{U2} \cdot L^2}{384 \cdot E \cdot I_x} \\
 &= 3,14 \text{ cm}
 \end{aligned}$$

Perhitungan kontrol desain penampang dijelaskan sebagai berikut:

- Tekuk Lokal

#### Pelat Sayap

$$\begin{aligned}
 \lambda &= \frac{b_f}{2 \cdot t_f} & \lambda_p &= 0,38 \cdot \sqrt{E/f_y} \\
 &= \frac{175}{2 \cdot 11} & &= 0,38 \cdot \sqrt{2000/250} \\
 &= 7,95 & &= 10,75
 \end{aligned}$$

#### Pelat Badan

$$\begin{aligned}
 \lambda &= \frac{d - 2t_f}{tw} & \lambda_p &= 3,76 \cdot \sqrt{E/f_y} \\
 &= \frac{350 - 2 \cdot 11}{7} & &= 3,76 \cdot \sqrt{2000/250} \\
 &= 46,86 & &= 106,5
 \end{aligned}$$

Karena  $\lambda < \lambda_p$  maka tergolong penampang kompak, sehingga  $M_n = M_p$ .

- Tekuk Lateral

$$\begin{aligned}
 L_b &= 0 \text{ cm (terdapat shear connector)} \\
 L_p &= 1.76 \cdot r_y \cdot \sqrt{E/f_y} \\
 &= 196,63 \text{ cm}
 \end{aligned}$$

Karena  $L_b < L_p$  maka tergolong bentang pendek, sehingga keadaan batas dari tekuk lateral tidak digunakan.

- Kontrol Elemen untuk Lentur

$$\frac{h}{t_w} = 46,86$$

$$1,10 \cdot \sqrt{k_v E / f_y} = 69,57$$

$$\text{Karena } \frac{h}{t_w} \leq 1,10 \cdot \sqrt{k_v E / f_y} \text{ maka } C_v = 1$$

$$M_{\text{ult}} \leq \phi_b M_n$$

$$18444,8 \text{ kg.m} \leq 0,9 \cdot F_y \cdot Z_x$$

$$18444,8 \text{ kg.m} \leq 0,9 \cdot 250 \cdot 840,847 \text{ cm}^3$$

$$18444,8 \text{ kg.m} < 18919,96 \text{ kg.m} \quad (\text{memenuhi})$$

- Kontrol Elemen untuk Geser

$$V_{\text{ult}} \leq \phi_v \cdot V_n$$

$$9222,4 \text{ kg.m} \leq 0,9 \cdot 0,6 \cdot F_y \cdot A_w \cdot C_v$$

$$9222,4 \text{ kg.m} \leq 0,9 \cdot 0,6 \cdot 2500 \text{ kg/cm}^2 \cdot 18,33 \text{ cm}^2 \cdot 1$$

$$9222,4 \text{ kg.m} < 30996 \text{ kg.m} \quad (\text{memenuhi})$$

- Kontrol Lendutan

$$f \leq f_{ijin}$$

$$3,14 \leq L/240$$

$$3,14 < 3,33 \quad (\text{memenuhi})$$

Karena kontrol desain penampang memenuhi, maka profil WF 350x150x7x11 dapat digunakan.

### b. Balok Kantilever

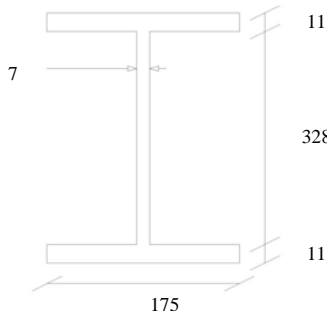
Balok kantilever didesain menggunakan profil WF. Untuk dimensi dari balok anak atap dapat dilihat pada Tabel 5.13 berikut ini :

**Tabel 5.15** Dimensi Balok Anak

WF 350X175X7X11							
W	=	49,6	kg/m	r <sub>x</sub>	=	14,7	cm
d	=	350	mm	r <sub>y</sub>	=	3,95	cm
b	=	175	mm	S <sub>x</sub>	=	775	cm <sup>3</sup>
t <sub>w</sub>	=	7	mm	S <sub>y</sub>	=	112	cm <sup>3</sup>
t <sub>f</sub>	=	11	mm	Z <sub>x</sub>	=	840,847	cm <sup>3</sup>

$r$	=	14	mm	$Z_y$	=	172,4555	$\text{cm}^3$
$A$	=	63,14	$\text{cm}^2$	$J$	=	19,28	$\text{cm}^4$
$I_x$	=	13600	$\text{cm}^4$	$I_y$	=	984	$\text{cm}^4$

Gambar potongan penampang dan letak dari balok anak yang



**Gambar 5.8** Potongan Penampang Balok Kantilever  
ditinjau dapat dilihat pada Gambar 5.9.

**Tabel 5.16** Beban mati merata pada balok kantilever

Keterangan	Berat
	<b>kg/m</b>
<b>Berat sendiri</b>	49,6
<b>Berat pelat lantai</b>	424,8
<b>Bondek</b>	20,2
<b>Keramik dan spesi</b>	77
<b>Penggantung langit - langit</b>	20
<b>Plafond (Gypsum 9mm)</b>	14,4
<b>Mechanical Electrical</b>	38
<b><math>Q_D</math></b>	<b>644</b>

- Beban Mati

$$\begin{array}{lll} \text{Pelat Lantai} & = 212,4 \text{ kg/m}^2 \times 2 \text{ m} & = 424,8 \text{ kg/m} \\ \text{Bondek} & = 10,1 \text{ kg/m}^2 \times 2 \text{ m} & = 20,2 \text{ kg/m} \end{array}$$

Berat sendiri	= 49,6 kg/m	= 49,6 kg/m
Keramik & spesi	= 38,5 kg/m <sup>2</sup> x 2 m	= 77 kg/m
Penggantung	= 10 kg/m <sup>2</sup> x 2 m	= 20 kg/m
Plafond	= 7,2 kg/m <sup>2</sup> x 2 m	= 14,4 kg/m
Mech. Electrical	= 19 kg/m <sup>2</sup> x 2 m	= 38 kg/m

**Total Beban Mati (Q<sub>D</sub>)** = 644 kg/m

- Beban Hidup

Lobby	= 479 kg/m <sup>2</sup> x 2 m	= 958 kg/m
-------	-------------------------------	------------

**Total Beban Mati (Q<sub>L</sub>)** = 958 kg/m

- Kombinasi Pembebatan

$$\begin{aligned} Q_{U1} &= 1,2 Q_D + 1,6 Q_L \\ &= 1,2 \cdot 644 \text{ kg/m} + 1,6 \cdot 958 \text{ kg/m} \\ &= 2305,6 \text{ kg/m} \end{aligned}$$

$$\begin{aligned} Q_{U2} &= Q_D + Q_{L_V} \\ &= 644 \text{ kg/m} + 958 \text{ kg/m} \\ &= 1602 \text{ kg/m} \end{aligned}$$

- Gaya Dalam

$$\begin{aligned} V_U &= \frac{1}{2} \cdot Q_{U1} \cdot L \\ &= \frac{1}{2} \cdot 2305,6 \text{ kg/m} \cdot 8 \text{ m} \\ &= 9222,40 \text{ kg} \end{aligned}$$

$$\begin{aligned} M_U &= \frac{1}{8} \cdot Q_{U1} \cdot L^2 \\ &= \frac{1}{8} \cdot 2305,6 \text{ kg/m} \cdot (8 \text{ m})^2 \\ &= 18444,8 \text{ kg.m} \end{aligned}$$

$$\begin{aligned} f &= \frac{5 \cdot Q_{U2} \cdot L^2}{384 \cdot E \cdot I_x} \\ &= 3,14 \text{ cm} \end{aligned}$$

Perhitungan kontrol desain penampang dijelaskan sebagai berikut:

- Tekuk Lokal

#### Pelat Sayap

$$\begin{aligned} \lambda &= \frac{b_f}{2 \cdot t_f} & \lambda_p &= 0,38 \cdot \sqrt{E/f_y} \\ &= \frac{175}{2 \cdot 11} & &= 0,38 \cdot \sqrt{2000/250} \end{aligned}$$

$$= 7,95$$

$$= 10,75$$

Pelat Badan

$$\begin{aligned} \lambda &= \frac{d - 2t_f}{t_w} & \lambda_p &= 3,76 \cdot \sqrt{E/f_y} \\ &= \frac{350 - 2 \cdot 11}{7} & &= 3,76 \cdot \sqrt{2000/250} \\ &= 46,86 & &= 106,5 \end{aligned}$$

Karena  $\lambda < \lambda_p$  maka tergolong penampang kompak, sehingga  $M_n = M_p$ .

- Tekuk Lateral

$$L_b = 0 \text{ cm (terdapat shear connector)}$$

$$\begin{aligned} L_p &= 1.76.r_y \cdot \sqrt{E/f_y} \\ &= 196,63 \text{ cm} \end{aligned}$$

Karena  $L_b < L_p$  maka tergolong bentang pendek, sehingga keadaan batas dari tekuk lateral tidak digunakan.

- Kontrol Elemen untuk Lentur

$$\frac{h}{t_w} = 46,86$$

$$1,10 \cdot \sqrt{k_v E/f_y} = 69,57$$

$$\text{Karena } \frac{h}{t_w} \leq 1,10 \cdot \sqrt{k_v E/f_y} \text{ maka } C_v = 1$$

$$M_{ult} \leq \emptyset_b M_n$$

$$18444,8 \text{ kg.m} \leq 0,9 \cdot F_y \cdot Z_x$$

$$18444,8 \text{ kg.m} \leq 0,9 \cdot 250 \cdot 840,847 \text{ cm}^3$$

$$18444,8 \text{ kg.m} < 18919,96 \text{ kg.m} \quad (\text{memenuhi})$$

- Kontrol Elemen untuk Geser

$$V_{ult} \leq \emptyset_v \cdot V_n$$

$$9222,4 \text{ kg.m} \leq 0,9 \cdot 0,6 \cdot F_y \cdot A_w \cdot C_v$$

$$9222,4 \text{ kg.m} \leq 0,9 \cdot 0,6 \cdot 2500 \text{ kg/cm}^2 \cdot 18,33 \text{ cm}^2 \cdot 1$$

$$9222,4 \text{ kg.m} < 30996 \text{ kg.m} \quad (\text{memenuhi})$$

- Kontrol Lentutan

$$f \leq f_{ijin}$$

$$3,14 \leq L/240$$

$$3,14 < 3,33 \quad (\text{memenuhi})$$

Karena kontrol desain penampang memenuhi, maka profil WF 350x150x7x11 dapat digunakan.

### 5.2.3 Perhitungan Struktur Tangga

Struktur tangga dimodelkan hanya sebagai beban untuk struktur primer. Dalam perencanaan ini, tangga didesain menjadi 1 tipe. Untuk data perencanaan dapat dilihat didalam tabel 5.15

**Tabel 5. 17** Data Perencanaan Tangga

Injakan, i	30	cm
Tanjakan, t	15	cm
Tinggi per lantai	4	m
Tinggi bordes	2	m
Lebar bordes	2,1	m
Panjang tangga	3,9	m
Lebar tangga	1,8	m
Panjang bordes	4	m

Untuk perhitungan perencanaan struktur tangga dijelaskan dibawah ini :

- Jumlah injakan`

$$\begin{aligned}
 n_t &= \frac{\text{tinggi bordes}}{t} \\
 &= \frac{200 \text{ cm}}{15 \text{ cm}} \\
 &= 13,33 \approx 13 \text{ buah}
 \end{aligned}$$

- Jumlah tanjakan

$$\begin{aligned}
 n_i &= n_t + 1 \\
 &= 13 + 1 \\
 &= 14 \text{ buah}
 \end{aligned}$$

- Sudut kemiringan tangga

$$\alpha = \arctan \frac{t}{i}$$

$$= \text{arc tan} \frac{30}{15} \\ = 31,30^\circ$$

- Kontrol dimensi tangga

Syarat injakan dan tanjakan

$$60 \leq 2t + i \leq 65 \\ 60 \leq 2.15 + 30 \leq 65 \quad (\text{memenuhi})$$

Syarat sudut kemiringan tangga

$$25^\circ \leq \alpha \leq 45^\circ \\ 25^\circ \leq 31,30^\circ \leq 45^\circ \quad (\text{memenuhi})$$

- a. Perencanaan pelat anak tangga dan bordes

Penentuan ketebalan dari pelat anak tangga dan bordes menggunakan bantuan tabel perencanaan praktis yang ada dari PT BRC LYSAGHT INDONESIA dengan tebal 0,75 mm.

Data perencanaan dari pelat lantai anak tangga dan bordes sebagai berikut:

Span : 2 meter

Penyangga : Tanpa penyangga

Tipe bentang : Bentang ganda

Untuk beban berguna yang terjadi pada pelat anak tangga dan bordes dapat dilihat pada Tabel 5.16 berikut ini

**Tabel 5. 18** Beban Berguna Pelat Anak Tangga dan Bordes

Keterangan	Beban Per item (kg/m <sup>2</sup> )
Keramik dan spesi	77
Sandaran Besi	20
Beban Hidup Tangga	300
Total	<b>400</b>

Dengan bantuan tabel perencanaan praktis maka didapatkan :

Tebal pelat = 9 cm

A<sub>s</sub> perlu U-24 = 1,95 cm<sup>2</sup>/m

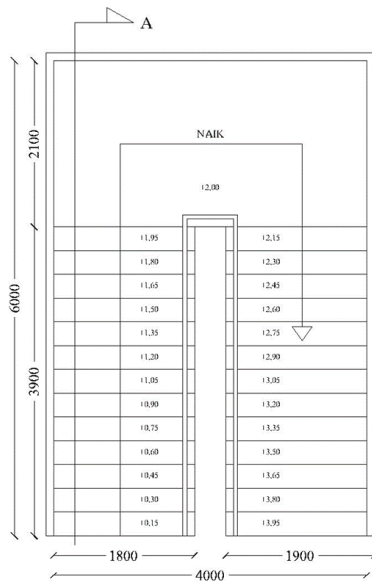
A<sub>s</sub> perlu U-50 = A<sub>s</sub> perlu U - 24.  $\frac{\text{Teg. leleh U-24}}{\text{Teg. leleh U-50}}$

$$= 1,95 \text{ cm}^2/\text{m} \cdot \frac{2400 \text{ kg/cm}^2}{5000 \text{ kg/cm}^2}$$

$$= 0,936 \text{ cm}^2/\text{m}$$

Tulangan negatif direncanakan menggunakan wiremesh dengan spesifikasi sebagai berikut :

Merk	= CV. Enka Sinergi
Dimensi	= M5 – 150
Diameter	= 5 mm
Spasi	= 150 mm
Mutu	= U-50
$A_s$ wiremesh	= 1,309 $\text{cm}^2/\text{m}$



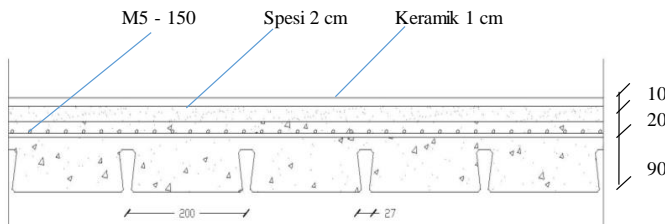
**Gambar 5. 9 Denah Tangga**

Kontrol untuk tulangan negatif pelat lantai atap adalah:

$$A_s \text{ perlu } U-50 \leq A_s \text{ wiremesh}$$

$$0,936 \text{ cm}^2/\text{m} < 1,309 \text{ cm}^2/\text{m} \text{ (memenuhi)}$$

Maka pelat lantai atap didesain tebal 9 cm dengan wiremesh M5 – 150. Gambar penulangan pelat lantai atap dapat dilihat pada Gambar 5.9 berikut:



**Gambar 5. 10** Penulangan pelat anak tangga dan bordes

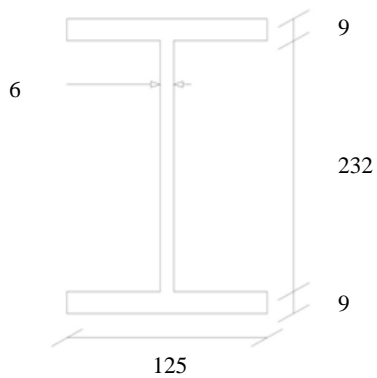
b. Perencanaan balok utama anak tangga

Balok utama tangga didesain menggunakan profil WF. Untuk dimensi dari balok utama tangga dapat dilihat pada Tabel 5.17 berikut ini :

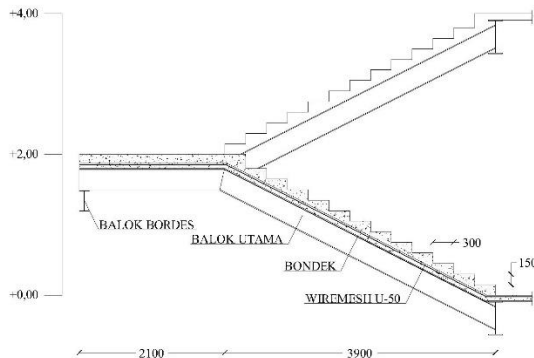
**Tabel 5. 19** Dimensi Balok Utama Tangga

WF 250X125X6X9							
W	=	29,6	kg/m	$r_x$	=	10,4	cm
d	=	250	mm	$r_y$	=	2,79	cm
b	=	125	mm	$S_x$	=	324	$\text{cm}^3$
$t_w$	=	6	mm	$S_y$	=	47	$\text{cm}^3$
$t_f$	=	9	mm	$Z_x$	=	351,9	$\text{cm}^3$
r	=	12	mm	$Z_y$	=	72,4	$\text{cm}^3$
A	=	37,66	$\text{cm}^2$	J	=	7,75	$\text{cm}^4$
$I_x$	=	4050	$\text{cm}^4$	$I_y$	=	294	$\text{cm}^4$

Gambar potongan penampang dari balok utama tangga dapat



**Gambar 5. 11** Potongan penampang balok utama tangga dilihat pada gambar 5.12.



**Gambar 5. 12** Potongan balok utama tangga

- Beban Pada Anak Tangga ( $Q_{U1}$ )

#### Beban Mati

$$\text{Pelat anak tangga} = 212,4 \text{ kg/m}^2 \times 0,9 \text{ m} / \cos 31,3^\circ = 422,6 \text{ kg/m}$$

$$\text{Bondek} = 10,1 \text{ kg/m}^2 \times 0,9 \text{ m} / \cos 31,3^\circ = 10,64 \text{ kg/m}$$

$$\text{Berat sendiri} = 29,6 \text{ kg/m} / \cos 31,3^\circ = 34,64 \text{ kg/m}$$

$$\text{Keramik & spesi} = 38,5 \text{ kg/m}^2 \times 0,9 \text{ m} \cdot \frac{0,3+0,15}{0,3} = 103,9 \text{ kg/m}$$

$$\text{Sambungan} = 572,4 \text{ kg/m} \times 10\% = 57,18 \text{ kg/m}$$

---


$$\textbf{Total Beban Mati (Q}_{D1}\textbf{)} = 629 \text{ kg/m}$$

#### Beban Hidup

$$\text{Tangga} = 300 \text{ kg/m}^2 \times 0,9 \text{ m} = 270 \text{ kg/m}$$


---

$$\textbf{Total Beban Mati (Q}_{L1}\textbf{)} = 270 \text{ kg/m}$$

#### Kombinasi pembebanan

$$Q_{U1} = 1,2 Q_{D1} + 1,6 Q_{L1}$$

$$= 1,2 Q_{D1} + 1,6 Q_{L1}$$

$$= 1186,80 \text{ kg/m}$$

- Beban Pada Bordes ( $Q_{U2}$ )

#### Beban Mati

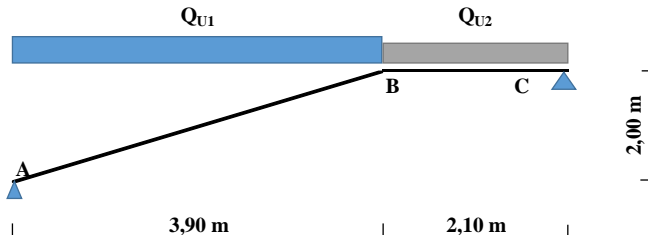
$$\text{Pelat bordes} = 212,4 \text{ kg/m}^2 \times 0,9 \text{ m} = 191,16 \text{ kg/m}$$

$$\text{Bondek} = 10,1 \text{ kg/m}^2 \times 0,9 \text{ m} = 9,09 \text{ kg/m}$$

$$\text{Berat sendiri} = 29,6 \text{ kg/m} = 29,6 \text{ kg/m}$$

$$\text{Keramik & spesi} = 38,5 \text{ kg/m}^2 \times 0,9 \text{ m} = 69,3 \text{ kg/m}$$

Sambungan	$= 299,15 \text{ kg/m} \times 10\% = 29,92 \text{ kg/m}$
<b>Total Beban Mati (Q<sub>D2</sub>)</b>	$= 329,07 \text{ kg/m}$
<b>Beban Hidup</b>	
Tangga	$= 300 \text{ kg/m}^2 \times 0,9 \text{ m} = 270 \text{ kg/m}$
<b>Total Beban Mati (Q<sub>L2</sub>)</b>	$= 270 \text{ kg/m}$
<b>Kombinasi pembebanan</b>	
$Q_{U2} = 1,2 Q_{D2} + 1,6 Q_{L2}$	
$= 1,2 Q_{D1} + 1,6 Q_{L1}$	



**Gambar 5. 13** Gambar mekanika teknik balok utama tangga  
— ozo, oo nge/iii

- Reaksi Perletakan

$$\Sigma MA = 0$$

$$0 = -RC \cdot 6m + Q_{U1} \cdot 3,9m \cdot 1,9m + Q_{U2} \cdot 2,1m \cdot 4,95m$$

$$RC = 2936,83 \text{ kg}$$

$$\Sigma MC = 0$$

$$0 = RA \cdot 6m - Q_{U1} \cdot 3,9m \cdot 4,05m - Q_{U2} \cdot 2,1m \cdot 1,05m$$

$$RA = 3428,13 \text{ kg}$$

Kontrol

$$\Sigma V = 0$$

$$0 = RA + RC - Q_{U1} \cdot 3,9m - Q_{U2} \cdot 2,1m$$

$$0 = 3428,13 + 2936,83 + 4631,72 - 1737,66$$

$$0 = 0 \quad (\text{memenuhi})$$

- Momen Ultimate

Momen maksimum terjadi bila  $dM_x/dx = 0$ . Maka untuk mencari letak momen maksimum sebagai berikut:

$$\begin{aligned}
 M_x &= RA.X - \frac{1}{2}Q_{U1}.X^2 \\
 &= 3428,13.X - 593,81.X^2 \\
 dM_x/dx &= 3428,13 - 2.(593,81).X \\
 &= 3428,13 - 1187,65.X \\
 X &= 2,89 \text{ m}
 \end{aligned}$$

Sehingga momen maksimum yang digunakan menjadi momen ultimate pada balok utama tangga adalah :

$$\begin{aligned}
 M_U &= 3430,5.(2,89 \text{ m}) - 593,81.(2,89 \text{ m})^2 \\
 &= 4951,15 \text{ kg.m}
 \end{aligned}$$

- Gaya Geser Ultimate

Untuk gaya geser pada titik A, maka :

$$\begin{aligned}
 X &= 0 \text{ m} \\
 V_A &= RA.\cos\alpha \\
 &= 3428,13 \text{ kg.} \cos 31,3^\circ \\
 &= 3405,4 \text{ kg}
 \end{aligned}$$

Untuk gaya geser pada titik B lihat kanan, maka :

$$\begin{aligned}
 X &= 3,9 \text{ m} \\
 V_{B\text{kanan}} &= RA.\cos\alpha - Q_{U1}.X. \cos\alpha \\
 &= 2931,33 \text{ kg} - 1187,62 \text{ kg/m.} 3,9 \text{ m.} \cos 31,3^\circ \\
 &= -1026,4 \text{ kg}
 \end{aligned}$$

Untuk gaya geser pada titik B lihat kiri, maka :

$$\begin{aligned}
 X &= 2,1 \text{ m} \\
 V_{B\text{kiri}} &= RC - Q_{U2}.X \\
 &= 2936,83 \text{ kg} - 827,46 \text{ kg/m.} 2,1 \text{ m} \\
 &= 1201,22 \text{ kg}
 \end{aligned}$$

Untuk gaya geser pada titik C, maka :

$$\begin{aligned}
 X &= 6 \text{ m} \\
 V_C &= RC \\
 &= 2936,83 \text{ kg}
 \end{aligned}$$

Sehingga nilai gaya geser ultimate yang dipakai :

$$V_U = 2936,83 \text{ kg}$$

- Gaya Normal Ultimate

Gaya normal yang terjadi pada bentang AB :

$$\begin{aligned}
 N_A &= -RA. \sin\alpha \\
 &= -3428,13 \text{ kg.} \sin 31,30^\circ
 \end{aligned}$$

$$= -1782,21 \text{ kg}$$

$$N_{Bkanan} = -RA \cdot \cos\alpha + Q_{U1} \cdot X \cdot \cos\alpha$$

$$= -1782,2 \text{ kg} + 1187,62 \text{ kg/m. } 3,9 \text{ m.} \cos 31,3^\circ$$

$$= 624,06 \text{ kg}$$

$$N_{Bkanan} = N_C = 0 \text{ kg}$$

Sehingga nilai gaya normal ultimate yang dipakai :

$$P_U = 1781,02 \text{ kg}$$

#### Kontrol desain penampang

- Tekuk Lokal

#### Pelat Sayap

$$\lambda = \frac{b_f}{2 \cdot t_f} \quad \lambda_p = 0,38 \cdot \sqrt{E/f_y}$$

$$= \frac{125}{2 \cdot 9} \quad = 0,38 \cdot \sqrt{2000/250}$$

$$= 6,94 \quad = 10,75$$

#### Pelat Badan

$$\lambda = \frac{d - 2t_f}{tw} \quad \lambda_p = 3,76 \cdot \sqrt{E/f_y}$$

$$= \frac{250 - 2 \cdot 9}{6} \quad = 3,76 \cdot \sqrt{2000/250}$$

$$= 38,67 \quad = 106,35$$

Karena  $\lambda < \lambda_p$  maka tergolong penampang kompak, sehingga  $M_n = M_p$ .

- Tekuk Lateral

$$L_b = 0 \text{ cm (terdapat shear connector)}$$

$$L_p = 1,76 \cdot r_y \cdot \sqrt{E/f_y}$$

$$= 138,89 \text{ cm}$$

Karena  $L_b < L_p$  maka tergolong bentang pendek, sehingga keadaan batas dari tekuk lateral tidak digunakan.

- Kontrol Elemen untuk Lentur

$$M_{ult} \leq \phi_b M_n$$

$$4951,15 \text{ kg.m} \leq 0,9 \cdot F_y \cdot Z_x$$

$$4951,15 \text{ kg.m} \leq 0,9 \cdot 250 \cdot 351,9 \text{ cm}^3$$

$$4951,15 \text{ kg.m} < 7916,87 \text{ kg.m} \quad (\text{memenuhi})$$

- Kontrol Elemen untuk Geser

$$\frac{h}{t_w} = 38,67$$

$$1,10 \cdot \sqrt{k_v E / f_y} = 69,57$$

Karena  $\frac{h}{t_w} \leq 1,10 \cdot \sqrt{k_v E / f_y}$  maka  $C_v = 1$

$$V_{ult} \leq \emptyset_v \cdot V_n$$

$$2936,83 \text{ kg.m} \leq 0,9 \cdot 0,6 \cdot F_y \cdot A_w \cdot C_v$$

$$2936,83 \text{ kg.m} \leq 0,9 \cdot 0,6 \cdot 2500 \text{ kg/cm}^2 \cdot 18,33 \text{ cm}^2 \cdot 1$$

$$2936,83 \text{ kg.m} < 18792 \text{ kg.m} \quad (\text{memenuhi})$$

- Kontrol Elemen Tekan

$$F_e = \frac{\pi^2 E}{(KL/r)^2}$$

$$= \frac{\pi^2 200000 \text{ Mpa}}{\left(\frac{1,2 \cdot 1 + 3,9 / \cos 31,30}{12,4 \text{ cm}}\right)^2}$$

$$= 683,38 \text{ Mpa}$$

$$F_y / F_e = 250 \text{ Mpa} / 683,38 \text{ Mpa} \\ = 0,37$$

Karena  $F_y / F_e < 2,25$  maka :

$$F_{cr} = \left(0.658 \frac{f_y}{f_e}\right) f_y \\ = (0.658^{0,37}) 250 \text{ Mpa} \\ = 214,51 \text{ Mpa}$$

Untuk kontrol elemen tekan sebagai berikut :

$$P_u \leq \emptyset_c P_n$$

$$1782,21 \text{ kg.m} \leq 0,9 \cdot F_{cr} \cdot A_g$$

$$1782,21 \text{ kg.m} \leq 0,9 \cdot 2145,1 \text{ kg/cm}^2 \cdot 37,66 \text{ cm}^2$$

$$1782,21 \text{ kg.m} < 68159,85 \text{ kg.m} \quad (\text{memenuhi})$$

- Kontrol Elemen Tekan - Lentur

$$\frac{P_u}{P_c} = \frac{1782,21 \text{ kg}}{68159,85 \text{ kg}} \\ = 0,03$$

Karena  $\frac{P_u}{P_c} < 0,2$  maka :

$$\frac{P_U}{2P_C} + \left( \frac{M_{rx}}{M_{cx}} + \frac{M_{ry}}{M_{cy}} \right) \leq 1$$

$$\frac{P_U}{2P_C} + \left( \frac{M_{rx}}{M_{cx}} + \frac{M_{ry}}{M_{cy}} \right) \leq 1$$

$$0,43 \leq 1 \quad (\text{memenuhi})$$

Maka profil WF 250x125x6x9 untuk balok utama tangga dapat digunakan.

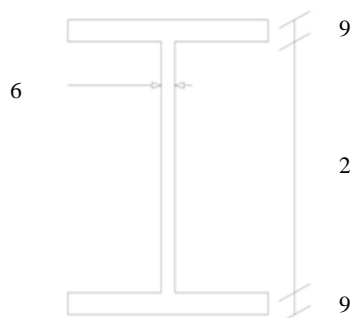
c. Perencanaan balok penumpu bordes

Balok utama tangga didesain menggunakan profil WF. Untuk dimensi dari balok utama tangga dapat dilihat pada Tabel 5.18 berikut ini :

**Tabel 5. 20** Dimensi Balok Penumpu Bordes

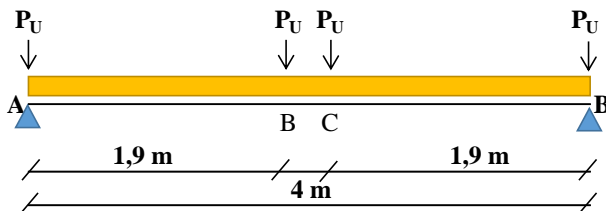
WF 250X125X6X9							
W	=	29,6	kg/m	r <sub>x</sub>	=	10,4	cm
d	=	250	mm	r <sub>y</sub>	=	2,79	cm
b	=	125	mm	S <sub>x</sub>	=	324	cm <sup>3</sup>
t <sub>w</sub>	=	6	mm	S <sub>y</sub>	=	47	cm <sup>3</sup>
t <sub>f</sub>	=	9	mm	Z <sub>x</sub>	=	351,9	cm <sup>3</sup>
r	=	12	mm	Z <sub>y</sub>	=	72,4	cm <sup>3</sup>
A	=	37,66	cm <sup>2</sup>	J	=	7,75	cm <sup>4</sup>
I <sub>x</sub>	=	4050	cm <sup>4</sup>	I <sub>y</sub>	=	294	cm <sup>4</sup>

Gambar potongan penampang dari balok penumpu bordes dapat



**Gambar 5. 14** Potongan penampang balok penumpu bordes

dilihat pada gambar 5.14.



**Gambar 5. 15** Gambar mekanika balok bordes

- Beban Merata pada balok penumpu lift

$$\text{Berat sendiri} = 29,6 \text{ kg/m} = 29,6 \text{ kg/m}$$

$$\text{Sambungan} = 29,6 \text{ kg/m}^2 \times 10\% = 2,96 \text{ kg/m}$$

$$\textbf{Total Beban Mati (Q}_D\textbf{)} = 32,56 \text{ kg/m}$$

$$\textbf{Beban Merata Ultimate (Q}_U\textbf{)} = 39,07 \text{ kg/m}$$

- Reaksi Perletakan

$$\Sigma MA = 0$$

$$0 = RD \cdot 4m - Q_U \cdot 4m \cdot 2m - P_U \cdot (1,8m + 2,2m + 4m)$$

$$RD = 5951,81 \text{ kg}$$

$$\Sigma MC = 0$$

$$0 = -RA \cdot 4m + Q_U \cdot 4m \cdot 2m - P_U \cdot (1,8m + 2,2m + 4m)$$

$$RA = 5951,81 \text{ kg}$$

Kontrol

$$\Sigma V = 0$$

$$0 = RA + RD - Q_U \cdot 4m - 4 \cdot P_{U2}$$

$$0 = 5951,81 + 5951,81 - 48,44 \cdot 4 + 4.2938,88$$

$$0 = 0 \quad (\text{memenuhi})$$

- Momen Ultimate

Karena simetris, maka momen maksimal terjadi pada tengah bentang, maka

$$M_{\text{maks}} = RA \cdot 4m - Q_U \cdot 2m \cdot 1m - P_U \cdot 2m - P_U \cdot 0,2m$$

$$= 5364,45 \text{ kg.m}$$

Sehingga momen maksimum yang digunakan menjadi momen ultimate adalah :

$$M_U = M_{\text{maks}}$$

$$= 5364,45 \text{ kg.m}$$

- Gaya Geser Ultimate  
 $V_U = 5951,81 \text{ kg}$

- Tekuk Lokal

Pelat Sayap

$$\begin{aligned} \lambda &= \frac{b_f}{2t_f} & \lambda_p &= 0,38 \cdot \sqrt{E/f_y} \\ &= \frac{125}{2,9} & &= 0,38 \cdot \sqrt{2000/250} \\ &= 6,94 & &= 10,75 \end{aligned}$$

Pelat Badan

$$\begin{aligned} \lambda &= \frac{d-2t_f}{tw} & \lambda_p &= 3,76 \cdot \sqrt{E/f_y} \\ &= \frac{250-2,9}{6} & &= 3,76 \cdot \sqrt{2000/250} \\ &= 38,67 & &= 106,35 \end{aligned}$$

Karena  $\lambda < \lambda_p$  maka tergolong penampang kompak, sehingga  $M_n=M_p$ .

- Tekuk Lateral

$$L_b = 0 \text{ cm (terdapat shear connector)}$$

$$\begin{aligned} L_p &= 1,76 \cdot r_y \cdot \sqrt{E/f_y} \\ &= 138,89 \text{ cm} \end{aligned}$$

Karena  $L_b < L_p$  maka tergolong bentang pendek, sehingga keadaan batas dari tekuk lateral tidak digunakan.

- Kontrol Elemen untuk Lentur

$$M_{ult} \leq \emptyset_b M_n$$

$$5364,45 \text{ kg.m} \leq 0,9 \cdot F_y \cdot Z_x$$

$$5364,45 \text{ kg.m} \leq 0,9 \cdot 250 \cdot 351,9 \text{ cm}^3$$

$$5364,45 \text{ kg.m} < 7916,87 \text{ kg.m} \quad (\text{memenuhi})$$

- Kontrol Elemen untuk Geser

$$\frac{h}{t_w} = 38,67$$

$$1,10 \cdot \sqrt{k_v E / f_y} = 69,57$$

$$\text{Karena } \frac{h}{t_w} \leq 1,10 \cdot \sqrt{k_v E / f_y} \text{ maka } C_v = 1$$

$$V_{ult} \leq \phi_v \cdot V_n$$

$$5951,81 \text{ kg.m} \leq 0,9 \cdot 0,6 \cdot F_y \cdot A_w \cdot C_v$$

$$5951,81 \text{ kg.m} \leq 0,9 \cdot 0,6 \cdot 2500 \text{ kg/cm}^2 \cdot 18,33 \text{ cm}^2 \cdot 1$$

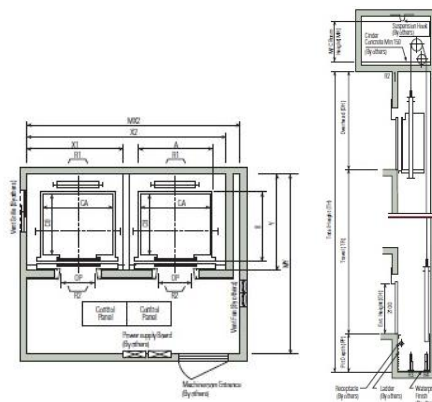
$$5951,81 \text{ kg.m} < 18792 \text{ kg.m} \quad (\text{memenuhi})$$

Maka profil WF 250x125x6x9 untuk balok penumpu bordes dapat digunakan.

#### 5.2.4 Perhitungan Balok Penumpu Lift

Pada Gedung 4 Universitas Ciputra ini direncanakan menggunakan lift penumpang dengan data sebagai berikut :

Tipe Lift	: Passenger
Merk	: Hyundai
Kapasitas	: 11 orang
Berat penumpang	: 750 kg
Dimensi ruang luncur	: 3700 mm x 1950 mm
Dimensi sangkar	
Inside	: 1400 mm x 1350 mm
Outside	: 1460 mm x 1505 mm
Dimensi ruang mesin	: 4000 mm x 3700 mm
Beban reaksi R <sub>1</sub>	: 15100 kg



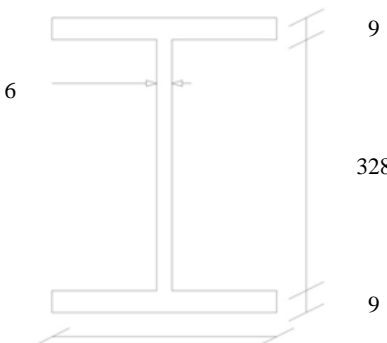
Gambar 5. 16 Spesifikasi Lift  
Beban reaksi R<sub>2</sub> : 8100 kg

Balok penumpu lift menggunakan profil WF. Untuk dimensi balok penumpu lift dapat dilihat pada Tabel 5.19 dibawah ini :

**Tabel 5. 21** Dimensi balok penumpu lift

WF 350X175X6X9						
W	=	41,4	kg/m	$r_x$	=	14,5 cm
d	=	346	mm	$r_y$	=	3,88 cm
b	=	174	mm	$S_x$	=	641 $\text{cm}^3$
$t_w$	=	6	mm	$S_y$	=	91 $\text{cm}^3$
$t_f$	=	9	mm	$Z_x$	=	689,1 $\text{cm}^3$
r	=	14	mm	$Z_y$	=	139,2 $\text{cm}^3$
A	=	52,8	$\text{cm}^2$	J	=	10,82 $\text{cm}^4$
$I_x$	=	11100	$\text{cm}^4$	$I_y$	=	792 $\text{cm}^4$

Gambar potongan penampang dari balok penumpu bordes



**Gambar 5. 17** Gambar potongan penampang balok lift dapat dilihat pada gambar 5.17

- Beban Merata pada balok penumpu lift  
 Berat sendiri = 41,4 kg/m = 41,4 kg/m  
 Sambungan =  $41,4 \text{ kg/m}^2 \times 10\% = 4,14 \text{ kg/m}$ 


---

**Total Beban Mati (Q<sub>D</sub>)** = 45,54 kg/m
- Beban Hidup  
 Beban pekerja = 100 kg/m = 100 kg/m
 

---

**Total Beban Mati (Q<sub>L</sub>)** = 100 kg/m

- Beban Terpusat Lift

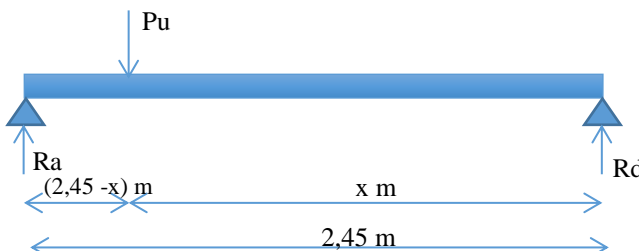
$$\begin{aligned} P_U &= R_1 + R_2 \\ &= 23200 \text{ kg/m} \end{aligned}$$

- Kombinasi Pembebatan

$$\begin{aligned} Q_{U1} &= 1,2 Q_D + 1,6 Q_L \\ &= 214,65 \text{ kg/m} \end{aligned}$$

- Kombinasi Pembebatan

$$X = 1,59 \text{ m}$$



**Gambar 5. 18** Gambar mekanika balok penumpu lift

- Reaksi perletakan

$$\Sigma MD = 0$$

$$0 = -RA \cdot 2,45m + P_U \cdot 1,59m + Q_U \cdot 2,45m \cdot 1,225$$

$$RA = 15319,27 \text{ kg}$$

$$\Sigma MA = 0$$

$$0 = RD \cdot 2,45m - Q_U \cdot 4m \cdot 2m - P_U \cdot 1,59m$$

$$RD = 8406,62 \text{ kg}$$

Kontrol

$$\Sigma V = 0$$

$$0 = RA + RD - Q_U \cdot 4m - P_U \cdot 2$$

$$0 = 15319,27 + 8406,62 - 41,4 \cdot 2,45 + 23200 \cdot 1,59$$

$$0 = 0 \quad (\text{memenuhi})$$

- Momen ultimate

$$\begin{aligned} M_A &= M_D \\ &= 0 \end{aligned}$$

$$M_C = RA \cdot (2,45 - X)m - \frac{1}{2} Q_{U1} \cdot (2,45 - X)^2$$

$$= 13095,196 \text{ kg.m}$$

Maka nilai momen ultimate :

$$\begin{aligned} M_U &= M_{\text{maks}} \\ &= 13095,196 \text{ kg.m} \end{aligned}$$

- Geser ultimate

$$V_A = 15319,27 \text{ kg}$$

$$V_B = 8406,62 \text{ kg}$$

Maka nilai geser ultimate :

$$\begin{aligned} V_U &= V_{\text{maks}} \\ &= 15319,27 \text{ kg} \end{aligned}$$

Perhitungan kontrol desain penampang dijelaskan sebagai berikut :

- Tekuk Lokal

#### Pelat Sayap

$$\begin{aligned} \lambda &= \frac{b_f}{2.t_f} & \lambda_p &= 0,38 \cdot \sqrt{E/f_y} \\ &= \frac{175}{2.9} & &= 0,38 \cdot \sqrt{2000/250} \\ &= 9,67 & &= 10,75 \end{aligned}$$

#### Pelat Badan

$$\begin{aligned} \lambda &= \frac{d-2t_f}{tw} & \lambda_p &= 3,76 \cdot \sqrt{E/f_y} \\ &= \frac{350-2.9}{6} & &= 3,76 \cdot \sqrt{2000/250} \\ &= 54,67 & &= 106,35 \end{aligned}$$

Karena  $\lambda < \lambda_p$  maka tergolong penampang kompak, sehingga  $M_n=M_p$ .

- Tekuk Lateral

$$L_b = 0 \text{ cm (terdapat shear connector)}$$

$$\begin{aligned} L_p &= 1.76.r_y \cdot \sqrt{E/f_y} \\ &= 193,15 \text{ cm} \end{aligned}$$

Karena  $L_b < L_p$  maka tergolong bentang pendek, sehingga keadaan batas dari tekuk lateral tidak digunakan.

- Kontrol Elemen untuk Lentur

$$M_{\text{ult}} \leq \phi_b M_n$$

$$13095,2 \text{ kg.m} \leq 0,9 \cdot F_y \cdot Z_x$$

$$13095,2 \text{ kg.m} \leq 0,9 \cdot 250 \cdot 689,1 \text{ cm}^3$$

13095,2 kg.m < 15505,155 kg.m **(memenuhi)**

- Kontrol Elemen untuk Geser

$$\frac{h}{t_w} = 38,67$$

$$1,10 \cdot \sqrt{k_v E / f_y} = 69,57$$

$$\text{Karena } \frac{h}{t_w} \leq 1,10 \cdot \sqrt{k_v E / f_y} \text{ maka } C_v = 1$$

$$V_{ult} \leq \emptyset_v \cdot V_n$$

$$15319,27 \text{ kg.m} \leq 0,9 \cdot 0,6 \cdot F_y \cdot A_w \cdot C_v$$

$$15319,27 \text{ kg.m} \leq 0,9 \cdot 0,6 \cdot 2500 \text{ kg/cm}^2 \cdot 19,68 \text{ cm}^2 \cdot 1$$

15319,27 kg.m < 26568 kg.m **(memenuhi)**

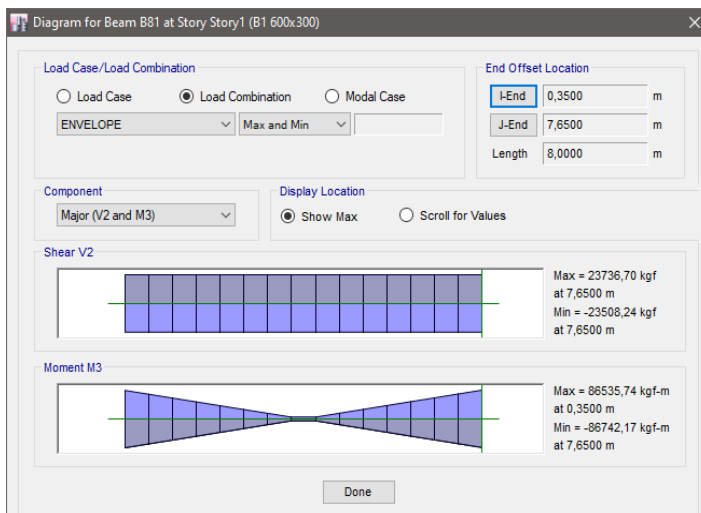
Maka profil WF 350x175x6x9 untuk balok penumpu lift dapat digunakan.

### 5.3 Perhitungan Struktur Primer

#### 5.3.1 Perhitungan Balok Induk

Pada Gedung 4 Universitas Ciputra ini terdapat 2 balok induk, balok induk memanjang dan melintang, dibutuhkan beberapa literasi perhitungan pada balok induk sampai dinyatakan profil tersebut kuat. Perhitungannya sebagai berikut :

- Perencanaan balok induk B1 (melintang) literasi 1  
Didapatkan gaya dalam akibat kombinasi Envelope :



Gambar 5.19 Diagram Momen Balok Induk B1

WF 600X300X12X20							
W	=	151	kg/m	rx	=	24.8	cm
d	=	588	mm	ry	=	6.85	cm
b	=	300	mm	Sx	=	4020	cm <sup>3</sup>
tw	=	12	mm	Sy	=	601	cm <sup>3</sup>
tf	=	20	mm	Zx	=	4308.912	cm <sup>3</sup>
r	=	28	mm	Zy	=	919.728	cm <sup>3</sup>
A	=	192.5	cm <sup>2</sup>	J	=	191.56	cm <sup>4</sup>
I <sub>x</sub>	=	118000	cm <sup>4</sup>	I <sub>y</sub>	=	9020	cm <sup>4</sup>

- Tekuk Lokal

Pelat Sayap

$$\begin{aligned}\lambda &= \frac{b_f}{2.t_f} & \lambda_p &= 0,38 \cdot \sqrt{E/f_y} \\ &= \frac{300}{2.20} & &= 0,38 \cdot \sqrt{2000/250} \\ &= 7,50 & &= 10,75\end{aligned}$$

Pelat Badan

$$\begin{aligned}\lambda &= \frac{d-2t_f}{tw} & \lambda_p &= 3,76 \cdot \sqrt{E/f_y} \\ &= \frac{600-2.20}{12} & &= 3,76 \cdot \sqrt{2000/250} \\ &= 45,67 & &= 106,35\end{aligned}$$

Karena  $\lambda < \lambda_p$  maka tergolong penampang kompak, sehingga  $M_n = M_p$ .

- Tekuk Lateral

$$\begin{aligned}L_b &= 10000 \text{ mm} \\ L_p &= 1.76.r_y \cdot \sqrt{E/f_y}\end{aligned}$$

$$= 3409,95 \text{ mm}$$

$$L_r = 1.95 r_{ls}^2 \frac{E}{0.7 f_y} \sqrt{\frac{Jc}{S_x h_o} + \sqrt{\left(\frac{Jc}{S_x h_o}\right)^2 + 6.76 \left(\frac{0.7 f_y}{E}\right)^2}}$$

$$= 10145,75 \text{ mm}$$

Karena  $L_b > L_r$  maka tergolong bentang panjang, Sehingga kuat lenturnya menjadi :

$$\begin{aligned} M_A &= 0,25 \cdot M_u \\ &= 21685,5 \text{ kg.m} \\ M_B &= 0,5 \cdot M_u \\ &= 43371,1 \text{ kg.m} \\ M_C &= 0,75 \cdot M_u \\ &= 65056,6 \text{ kg.m} \end{aligned}$$

$$C_b = \frac{12.5 |M_{max}|}{2.5 |M_{max}| + 3|M_A| + 4|M_B| + 3|M_C|}$$

$$= 1,67$$

$$\begin{aligned} M_n &= C_b \frac{\pi E}{L_b} \left( \sqrt{EI_y GJ} + \left( \frac{\pi E}{L_b} \right) I_y C_w \right) \\ &= 194,86 \text{ kN.m} \end{aligned}$$

$$M_{ult} \leq \emptyset M_n$$

$$867,42 \text{ kN.m} > 194,86 \text{ kN.m} \quad (\text{tidak memenuhi})$$

- Kontrol Elemen untuk Geser

$$\frac{h}{t_w} = 45,67$$

$$1,10 \cdot \sqrt{k_v E / f_y} = 69,57$$

$$\text{Karena } \frac{h}{t_w} \leq 1,10 \cdot \sqrt{k_v E / f_y} \text{ maka } C_v = 1$$

$$V_{ult} \leq \emptyset V_n$$

$$23736,10 \text{ kg.m} \leq 0,9 \cdot 0,6 \cdot F_y \cdot A_w \cdot C_v$$

$$23736,10 \text{ kg.m} < 40392 \text{ kg.m} \quad (\text{memenuhi})$$

- Kontrol Lentutan

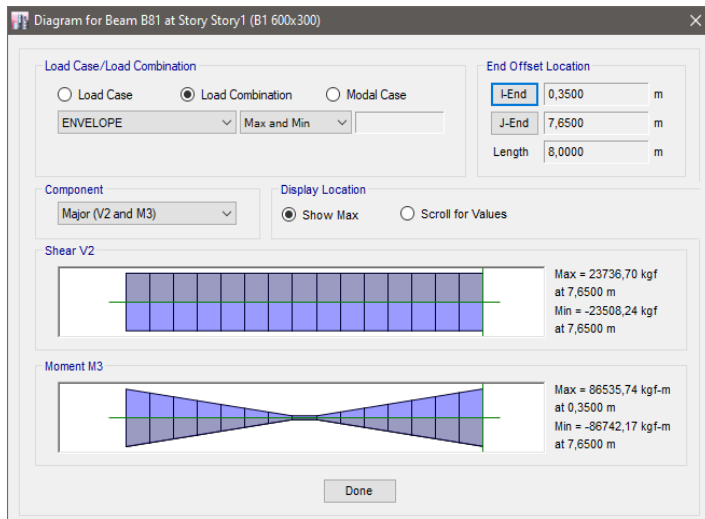
$$f \leq f_{ijin}$$

$$4,45 \leq L/240$$

$$4,45 < 3,33 \quad (\text{tidak memenuhi})$$

Karena kontrol desain penampang tidak memenuhi, maka profil WF 400x200x8x13 tidak dapat digunakan. Setelah dilakukan *trial and error*, maka didapatkan profil untuk Balok Induk B1 sebagai berikut :

b. Perencanaan balok induk B1 (melintang)



**Gambar 5. 20** Diagram Momen Balok Induk B1  
Didapatkan gaya dalam akibat kombinasi Envelope :

WF 600X300X12X20							
W	=	151	kg/m	rx	=	24.8	cm
d	=	588	mm	ry	=	6.85	cm
b	=	300	mm	Sx	=	4020	cm <sup>3</sup>
tw	=	12	mm	Sy	=	601	cm <sup>3</sup>

tf	=	20	mm	Zx	=	4308.912	cm3
r	=	28	mm	Zy	=	919.728	cm3
A	=	192.5	cm2	J	=	191.56	cm4
Ix	=	118000	cm4	Iy	=	9020	cm4

- Tekuk Lokal

Pelat Sayap

$$\begin{aligned}\lambda &= \frac{b_f}{2.t_f} & \lambda_p &= 0,38 \cdot \sqrt{E/f_y} \\ &= \frac{300}{2.20} & &= 0,38 \cdot \sqrt{2000/250} \\ &= 7,50 & &= 10,75\end{aligned}$$

Pelat Badan

$$\begin{aligned}\lambda &= \frac{d-2t_f}{tw} & \lambda_p &= 3,76 \cdot \sqrt{E/f_y} \\ &= \frac{600-2.20}{12} & &= 3,76 \cdot \sqrt{2000/250} \\ &= 45,67 & &= 106,35\end{aligned}$$

Karena  $\lambda < \lambda_p$  maka tergolong penampang kompak, sehingga  $M_n = M_p$ .

- Tekuk Lateral

$$\begin{aligned}L_b &= 10000 \text{ mm} \\ L_p &= 1.76.r_y \cdot \sqrt{E/f_y} \\ &= 3409,95 \text{ mm}\end{aligned}$$

$$L_r = 1.95 r_{ts}^2 \frac{E}{0.7 f_y} \sqrt{\frac{J_c}{S_x h_o} + \sqrt{\left(\frac{J_c}{S_x h_o}\right)^2 + 6.76 \left(\frac{0.7 f_y}{E}\right)^2}}$$

$$= 6644,34 \text{ mm}$$

Karena  $L_b > L_r$  maka tergolong bentang menengah, maka yang terjadi kapasitas penampang berada pada daerah inelastis LTB (*Lateral Torsion Buckling*). Sehingga kuat lenturnya menjadi :

$$\begin{aligned}M_A &= 0,25.M_u \\ &= 21685,5 \text{ kg.m}\end{aligned}$$

$$\begin{aligned} M_B &= 0,5 \cdot M_u \\ &= 43371,1 \text{ kg.m} \end{aligned}$$

$$\begin{aligned} M_C &= 0,75 \cdot M_u \\ &= 65056,6 \text{ kg.m} \end{aligned}$$

$$C_b = \frac{12.5 |M_{max}|}{2.5 |M_{max}| + 3|M_A| + 4|M_B| + 3|M_C|}$$

$$= 1,67$$

$$\begin{aligned} M_n &= C_b \left( M_p - (M_p - 0.7f_y S_x) \cdot \left( \frac{L_b - L_p}{L_r - L_p} \right) \right) \\ &= 1185,98 \text{ kN.m} \end{aligned}$$

$$\begin{aligned} M_{ult} &\leq \emptyset M_n \\ 867,42 \text{ kN.m} &< 1062,05 \text{ kN.m} \quad (\text{memenuhi}) \end{aligned}$$

- Kontrol Elemen untuk Geser

$$\frac{h}{t_w} = 45,67$$

$$1,10 \cdot \sqrt{k_v E / f_y} = 69,57$$

$$\text{Karena } \frac{h}{t_w} \leq 1,10 \cdot \sqrt{k_v E / f_y} \text{ maka } C_v = 1$$

$$V_{ult} \leq \emptyset v \cdot V_n$$

$$23736,10 \text{ kg.m} \leq 0,9 \cdot 0,6 \cdot F_y \cdot A_w \cdot C_v$$

$$23736,10 \text{ kg.m} < 88776 \text{ kg.m} \quad (\text{memenuhi})$$

- Kontrol Lentutan

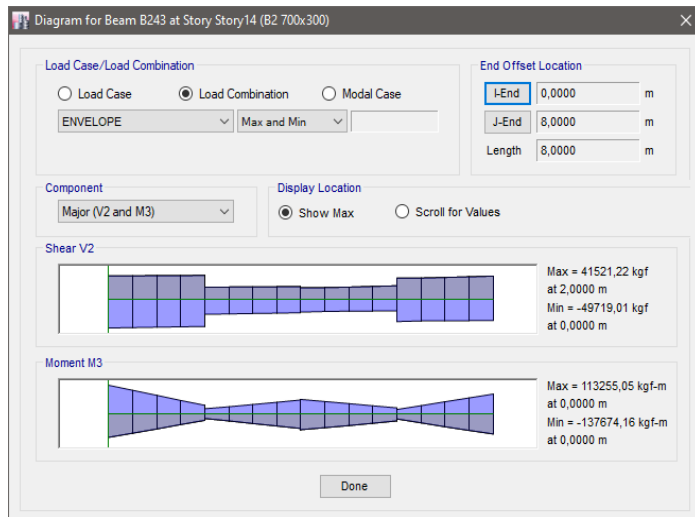
$$f \leq f_{ijin}$$

$$0,38 \leq L/240$$

$$0,38 < 3,33 \quad (\text{memenuhi})$$

Karena kontrol desain penampang memenuhi, maka profil WF 600x300xx12x20 dapat digunakan.

- Perencanaan balok induk B2 (memanjang)



**Gambar 5. 21** Diagram Momen Balok Induk B2

Didapatkan gaya dalam akibat kombinasi Envelope :

WF 600X300X12X20							
W	=	151	kg/m	rx	=	24.8	cm
d	=	588	mm	ry	=	6.85	cm
b	=	300	mm	Sx	=	4020	cm <sup>3</sup>
tw	=	12	mm	Sy	=	601	cm <sup>3</sup>
tf	=	20	mm	Zx	=	4308.912	cm <sup>3</sup>
r	=	28	mm	Zy	=	919.728	cm <sup>3</sup>
A	=	192.5	cm <sup>2</sup>	J	=	191.56	cm <sup>4</sup>
I <sub>x</sub>	=	118000	cm <sup>4</sup>	I <sub>y</sub>	=	9020	cm <sup>4</sup>

- Tekuk Lokal

Pelat Sayap

$$\begin{aligned}\lambda &= \frac{b_f}{2.t_f} & \lambda_p &= 0,38 \cdot \sqrt{E/f_y} \\ &= \frac{300}{2,24} & &= 0,38 \cdot \sqrt{2000/250} \\ &= 6,25 & &= 10,75\end{aligned}$$

Pelat Badan

$$\begin{aligned}\lambda &= \frac{d-2t_f}{tw} & \lambda_p &= 3,76 \cdot \sqrt{E/f_y} \\ &= \frac{700-2,24}{13} & &= 3,76 \cdot \sqrt{2000/250} \\ &= 50,15 & &= 106,35\end{aligned}$$

Karena  $\lambda < \lambda_p$  maka tergolong penampang kompak, sehingga  $M_n = M_p$ .

- Tekuk Lateral

$$\begin{aligned}L_b &= 8000 \text{ mm} \\ L_p &= 1,76.r_y \cdot \sqrt{E/f_y} \\ &= 3375,11 \text{ mm}\end{aligned}$$

$$L_r = 1,95 r_{ts}^2 \frac{E}{0,7 f_y} \sqrt{\frac{J_c}{S_x h_o} + \sqrt{\left(\frac{J_c}{S_x h_o}\right)^2 + 6,76 \left(\frac{0,7 f_y}{E}\right)^2}}$$

$$= 10071,27 \text{ mm}$$

Karena  $L_p < L_b < L_r$  maka tergolong bentang menengah, maka yang terjadi kapasitas penampang berada pada daerah inelastis LTB (*Lateral Torsion Buckling*). Sehingga kuat lenturnya menjadi :

$$\begin{aligned}M_A &= 0,25 \cdot M_u \\ &= 344185,5 \text{ kg.m} \\ M_B &= 0,5 \cdot M_u \\ &= 688731,1 \text{ kg.m} \\ M_C &= 0,75 \cdot M_u \\ &= 103225,6 \text{ kg.m}\end{aligned}$$

$$\begin{aligned}C_b &= \frac{12,5 |M_{max}|}{2,5 |M_{max}| + 3|M_A| + 4|M_B| + 3|M_C|} \\ &= 1,67\end{aligned}$$

$$\begin{aligned} M_n &= C_b \left( M_p - (M_p - 0.7 f_y S_x) \cdot \binom{L_b - L_p}{L_r - L_p} \right) \\ &= 1965,71 \text{ kN.m} \end{aligned}$$

$$\begin{aligned} M_{\text{ult}} &\leq \emptyset M_n \\ 1376,74 \text{ kN.m} &< 2128,18 \text{ kN.m} \quad (\text{memenuhi}) \end{aligned}$$

- Kontrol Elemen untuk Geser

$$\frac{h}{t_w} = 50,15$$

$$1,10 \cdot \sqrt{k_v E / f_y} = 69,57$$

$$\text{Karena } \frac{h}{t_w} \leq 1,10 \cdot \sqrt{k_v E / f_y} \text{ maka } C_v = 1$$

$$V_{\text{ult}} \leq \emptyset_v \cdot V_n$$

$$49719,01 \text{ kg.m} \leq 0,9 \cdot 0,6 \cdot F_y \cdot A_w \cdot C_v$$

$$49719,01 \text{ kg.m} < 114426 \text{ kg.m} \quad (\text{memenuhi})$$

- Kontrol Lendutan

$$f \leq f_{ijin}$$

$$0,38 \leq L/240$$

$$0,38 < 3,33 \quad (\text{memenuhi})$$

Karena kontrol desain penampang memenuhi, maka profil WF 700x300xx13x24 dapat digunakan.

### 6.3.2 Perhitungan Kolom

Pada Gedung 4 Universitas Ciputra ini terdapat 3 Kolom *Concrete Filled Tube* (CFT) atau Hollow terisi beton, untuk perhitungannya sebagai berikut :

- Perencanaan Kolom Hollow 550x550x36 (Lantai 21-24)

Profil awal			Hollow 550x550x36				
Profil Modifikasi							
		KC 550	x 550	x 36			
W	=	611	kg/m	r <sub>x</sub>	=	19,12	cm
d	=	550	mm	r <sub>y</sub>	=	19,12	cm
b	=	550	mm	S <sub>x</sub>	=	14006,1	cm <sup>3</sup>
t <sub>w</sub>	=	36	mm	S <sub>y</sub>	=	14006,1	cm <sup>3</sup>

r	=	20,86	mm	Z <sub>x</sub>	=	17981,8	cm <sup>3</sup>
A	=	726	cm <sup>2</sup>	Z <sub>y</sub>	=	17981,8	cm <sup>3</sup>
I <sub>x</sub>	=	385167,7	cm <sup>4</sup>	J	=	200505,36	cm <sup>4</sup>
I <sub>y</sub>	=	385167,7	cm <sup>4</sup>	Ac	=	2284,84	cm <sup>2</sup>

- Klasifikasi penampang

Pelat Sayap

$$\begin{aligned}\lambda &= \frac{b_f}{2.t_f} & \lambda_p &= 2,42 \cdot \sqrt{E/f_y} \\ &= \frac{300}{2.24} & &= 2,42 \cdot \sqrt{2000/250} \\ &= 6,25 & &= 10,75\end{aligned}$$

Pelat Badan

$$\begin{aligned}\lambda &= \frac{d}{tw} & \lambda_p &= 3 \cdot \sqrt{E/f_y} \\ &= \frac{700}{13} & &= 3 \cdot \sqrt{2000/250} \\ &= 50,15 & &= 106,35\end{aligned}$$

Karena  $\lambda < \lambda_p$  maka tergolong penampang kompak.

- Cek Daktail

Pelat Sayap

$$\begin{aligned}\lambda &= \frac{b_f}{t_f} & \lambda_p &= 1,48 \cdot \sqrt{E/f_y} \\ &= \frac{300}{2.24} & &= 1,48 \cdot \sqrt{2000/250} \\ &= 6,25 & &= 10,75\end{aligned}$$

Pelat Badan

$$\begin{aligned}\lambda &= \frac{d}{tw} & \lambda_p &= 3 \cdot \sqrt{E/f_y} \\ &= \frac{700}{13} & &= 3 \cdot \sqrt{2000/250} \\ &= 50,15 & &= 106,35\end{aligned}$$

Karena  $\lambda < \lambda_p$  maka kategori penampang tergolong daktail tinggi, maka perhitungan kapasitas sebagai berikut :

- Kapasitas Aksial Tekan  
Untuk penampang kompak

$$\begin{aligned}
 \varnothing &= 0,9 \text{ (LRFD)} \\
 P_n &= P_p \\
 P_n &= F_y \cdot A_s + C_2 \cdot f_c (A_c + A_{sr} \times E_s / E_c) \\
 &= 250 \text{ Mpa.} 72600 \text{ mm}^2 + 0,85 \cdot 35 \cdot (228484 \text{ mm}^2 + 0) \\
 &\quad (\text{tanpa tulangan}) \\
 &= 24947,4 \text{ kN} \\
 \varnothing P_n &= 22452,66 \text{ kN}
 \end{aligned}$$

- Kapasitas Aksial Tarik

$$\begin{aligned}
 \varnothing &= 0,9 \text{ (LRFD)} \\
 P_n &= F_y \cdot A_s + F_{ysr} \cdot A_{sr} \\
 &= 250 \text{ Mpa.} 72600 \text{ mm}^2 + 0 \text{ (tanpa tulangan)} \\
 &= 18150 \text{ kN} \\
 \varnothing P_n &= 16335 \text{ kN}
 \end{aligned}$$

- Desain komponen struktur untuk kombinasi gaya dan torsi  
Untuk komponen struktur simetris ganda

Aksial tekan

$$\frac{P_r}{P_c} = 0,09$$

$$\frac{P_r}{P_c} < 0,2, \text{ maka :}$$

$$\frac{P_r}{2P_c} + \left( \frac{M_{rx}}{M_{rc}} + \frac{M_{ry}}{M_{cy}} \right) \leq 1.0$$

$$0,20 \leq 1.0 \quad (\text{Memenuhi})$$

Aksial Tarik

$$\frac{P_r}{P_c} = 0,12$$

$$\frac{P_r}{P_c} < 0,2, \text{ maka :}$$

$$\frac{P_r}{2P_c} + \left( \frac{M_{rx}}{M_{rc}} + \frac{M_{ry}}{M_{cy}} \right) \leq 1.0$$

$$0,25 \leq 1.0 \quad (\text{Memenuhi})$$

- Perencanaan Kolom Hollow 700x700x36 (Lantai 11-20)

Profil awal				Hollow 700x700x36			
Profil Modifikasi							
		KC 700	x 700	x 36			
W	=	724	kg/m	r <sub>x</sub>	=	20,83	cm
d	=	700	mm	r <sub>y</sub>	=	20,83	cm
b	=	700	mm	S <sub>x</sub>	=	25063,5	cm <sup>3</sup>
t <sub>w</sub>	=	36	mm	S <sub>y</sub>	=	25063,5	cm <sup>3</sup>
r	=	26,99	mm	Z <sub>x</sub>	=	32218,4	cm <sup>3</sup>
A	=	942	cm <sup>2</sup>	Z <sub>y</sub>	=	32218,4	cm <sup>3</sup>
I <sub>x</sub>	=	877224,2	cm <sup>4</sup>	J	=	412688,64	cm <sup>4</sup>
I <sub>y</sub>	=	877224,2	cm <sup>4</sup>	Ac	=	3943,84	cm <sup>2</sup>

- Klasifikasi penampang

#### Pelat Sayap

$$\begin{aligned}\lambda &= \frac{b_f}{2 \cdot t_f} & \lambda_p &= 2,42 \cdot \sqrt{E/f_y} \\ &= \frac{300}{2,24} & &= 2,42 \cdot \sqrt{2000/250} \\ &= 6,25 & &= 10,75\end{aligned}$$

#### Pelat Badan

$$\begin{aligned}\lambda &= \frac{d}{t_w} & \lambda_p &= 3 \cdot \sqrt{E/f_y} \\ &= \frac{700}{13} & &= 3 \cdot \sqrt{2000/250} \\ &= 50,15 & &= 106,35\end{aligned}$$

Karena  $\lambda < \lambda_p$  maka tergolong penampang kompak.

- Cek Daktail

#### Pelat Sayap

$$\begin{aligned}\lambda &= \frac{b_f}{t_f} & \lambda_p &= 1,48 \cdot \sqrt{E/f_y} \\ &= \frac{300}{2,24} & &= 1,48 \cdot \sqrt{2000/250} \\ &= 6,25 & &= 10,75\end{aligned}$$

#### Pelat Badan

$$\lambda = \frac{d}{t_w} \quad \lambda_p = 3 \cdot \sqrt{E/f_y}$$

$$\begin{aligned}
 &= \frac{700}{13} && = 3 \cdot \sqrt{2000/250} \\
 &= 50,15 && = 106,35
 \end{aligned}$$

Karena  $\lambda < \lambda_p$  maka kategori penampang tergolong daktail tinggi, maka perhitungan kapasitas sebagai berikut :

- Kapasitas Aksial Tekan

Untuk penampang kompak

$$\varnothing = 0,9 \text{ (LRFD)}$$

$$P_n = P_p$$

$$P_n = F_y \cdot A_s + C_2 \cdot f_c (A_c + A_{sr} \times E_s/E_c)$$

$$\begin{aligned}
 &= 250 \text{ Mpa.} 94200 \text{ mm}^2 + 0,85 \cdot 35 \cdot (394384 \text{ mm}^2 + 0) \\
 &\quad (\text{tanpa tulangan})
 \end{aligned}$$

$$= 35282,92 \text{ kN}$$

$$\varnothing P_n = 31754,63 \text{ kN}$$

- Kapasitas Aksial tarik

$$\varnothing = 0,9 \text{ (LRFD)}$$

$$P_n = F_y \cdot A_s + F_{ysr} \cdot A_{sr}$$

$$= 250 \text{ Mpa.} 94200 \text{ mm}^2 + 0 \text{ (tanpa tulangan)}$$

$$= 23550 \text{ kN}$$

$$\varnothing P_n = 21195 \text{ kN}$$

- Desain komponen struktur untuk kombinasi gaya dan torsi

Untuk komponen struktur simetris ganda

Aksial Tekan

$$\frac{P_r}{P_c} = 0,57$$

$$\frac{P_r}{P_c} \geq 0,2, \text{ maka :}$$

$$\frac{P_r}{P_c} + \frac{8}{9} \left( \frac{M_{rx}}{M_{rc}} + \frac{M_{ry}}{M_{cy}} \right) \leq 1,0$$

$$0,13 \leq 1,0 \quad (\text{Memenuhi})$$

Aksial Tarik

$$\frac{P_r}{P_c} = 0,86$$

$$\frac{P_r}{P_c} \geq 0,2, \text{ maka :}$$

$$\frac{P_r}{P_c} + \frac{8}{9} \left( \frac{M_{rx}}{M_{rc}} + \frac{M_{ry}}{M_{cy}} \right) \leq 1.0$$

$0,12 \leq 1.0$       (**Memenuhi**)

c. Perencanaan Kolom Hollow 700x700x40 (Lantai 1-10)

<b>Profil awal</b>			<b>Hollow 700x700x40</b>				
<b>Profil Modifikasi</b>							
		<b>KC 700</b>	<b>x 700</b>	<b>x 40</b>			
W	=	797	kg/m	r <sub>x</sub>	=	24,27	cm
d	=	700	mm	r <sub>y</sub>	=	24,27	cm
b	=	700	mm	S <sub>x</sub>	=	26660,3	cm <sup>3</sup>
t <sub>w</sub>	=	40	mm	S <sub>y</sub>	=	26660,3	cm <sup>3</sup>
r	=	26,81	mm	Z <sub>x</sub>	=	34232,7	cm <sup>3</sup>
A	=	1039	cm <sup>2</sup>	Z <sub>y</sub>	=	34232,7	cm <sup>3</sup>
I <sub>x</sub>	=	933109	cm <sup>4</sup>	J	=	458826,67	cm <sup>4</sup>
I <sub>y</sub>	=	933109	cm <sup>4</sup>	Ac	=	3844	cm <sup>2</sup>

- Klasifikasi penampang

#### Pelat Sayap

$$\begin{aligned}\lambda &= \frac{b_f}{2.t_f} & \lambda_p &= 2,42 \cdot \sqrt{E/f_y} \\ &= \frac{300}{2.24} & &= 2,42 \cdot \sqrt{2000/250} \\ &= 6,25 & &= 10,75\end{aligned}$$

#### Pelat Badan

$$\begin{aligned}\lambda &= \frac{d}{t_w} & \lambda_p &= 3 \cdot \sqrt{E/f_y} \\ &= \frac{700}{13} & &= 3 \cdot \sqrt{2000/250} \\ &= 50,15 & &= 106,35\end{aligned}$$

Karena  $\lambda < \lambda_p$  maka tergolong penampang kompak.

- Cek Daktail

#### Pelat Sayap

$$\lambda = \frac{b_f}{t_f} = 1,48 \cdot \sqrt{E/f_y}$$

$$\begin{aligned}
 &= \frac{300}{2,24} \\
 &= 6,25 \\
 &= 1,48 \cdot \sqrt{2000/250} \\
 &= 10,75
 \end{aligned}$$

Pelat Badan

$$\begin{aligned}
 \lambda &= \frac{d}{tw} & \lambda_p &= 3 \cdot \sqrt{E/f_y} \\
 &= \frac{700}{13} & &= 3 \cdot \sqrt{2000/250} \\
 &= 50,15 & &= 106,35
 \end{aligned}$$

Karena  $\lambda < \lambda_p$  maka kategori penampang tergolong daktail tinggi, maka perhitungan kapasitas sebagai berikut :

- Kapasitas Aksial Tekan

Untuk penampang kompak

$$\emptyset = 0,9 \text{ (LRFD)}$$

$$P_n = P_p$$

$$\begin{aligned}
 P_n &= F_y \cdot A_s + C_2 \cdot f'_c (A_c + A_{sr} \times E_s/E_c) \\
 &= 250 \text{ Mpa} \cdot 103900 \text{ mm}^2 + 0,85 \cdot 35 \cdot (384400 \text{ mm}^2 + 0) \\
 &\quad (\text{tanpa tulangan}) \\
 &= 37410,9 \text{ kN}
 \end{aligned}$$

$$\emptyset P_n = 33669,8 \text{ kN}$$

- Kapasitas Aksial tarik

$$\emptyset = 0,9 \text{ (LRFD)}$$

$$P_n = F_y \cdot A_s + F_{ysr} \cdot A_{sr}$$

$$\begin{aligned}
 &= 250 \text{ Mpa} \cdot 103900 \text{ mm}^2 + 0 \text{ (tanpa tulangan)} \\
 &= 25975 \text{ kN}
 \end{aligned}$$

$$\emptyset P_n = 23377,5 \text{ kN}$$

- Desain komponen struktur untuk kombinasi gaya dan torsi

Untuk komponen struktur simetris ganda

Aksial Tekan

$$\frac{P_r}{P_c} = 0,57$$

$$\frac{P_r}{P_c} \geq 0,2, \text{ maka :}$$

$$\frac{P_r}{P_c} + \frac{8}{9} \left( \frac{M_{rx}}{M_{rc}} + \frac{M_{ry}}{M_{cy}} \right) \leq 1,0$$

$$0,8 \leq 1,0 \quad (\text{Memenuhi})$$

Aksial Tarik

$$\frac{P_r}{P_c} = 0,83$$

$$\frac{P_r}{P_c} \geq 0.2, \text{ maka :}$$

$$\frac{P_r}{P_c} + \frac{8}{9} \left( \frac{M_{rx}}{M_{rc}} + \frac{M_{ry}}{M_{cy}} \right) \leq 1.0$$

$$0,19 \leq 1.0 \quad (\text{Memenuhi})$$

### 5.3.3 Perhitungan Sambungan Balok Anak – Balok Induk

Data – data untuk perhitungan sambungan geser antara balok anak – balok induk sebagai berikut :

<b>Vn (kN)</b>	97,09
<b>D baut (mm)</b>	M16
<b>As baut (cm<sup>2</sup>)</b>	201,0619
<b>Fnv (Mpa)</b>	469
<b>Fnv (Mpa)</b>	410
<b>Jumlah Baut</b>	2
<b>Ølubang</b>	18 mm
<b>Tebal siku</b>	10 mm

- Kuat geser baut berdasarkan Pasal J3 SNI 1729-2020

Dipakai 2 buah baut

$$\emptyset = 0,75 \text{ (LRFD)}$$

$$\emptyset R_n = \emptyset \cdot F_{nv} \cdot A_b \cdot n$$

$$= 0,75 \cdot 414 \text{ Mpa} \cdot 201,06 \text{ cm}^2 \cdot 2$$

$$= 169,74 \text{ kN}$$

- Kuat jarak baut berdasarkan Tabel J3.4 SNI 1729-2020

Untuk jarak tepi minimum (S1)

Diameter 16 mm → 22 mm

$$S1 = 40 \text{ mm}$$

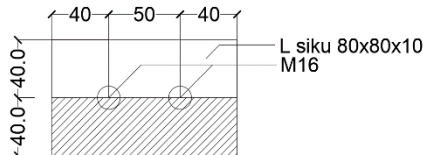
Untuk spasi antar baut (S2) → s > 3d atau s < 12t

$$S2 = 50 \text{ mm}$$

$$n = \frac{Vn}{\emptyset R_n}$$

$$= 1,291 \approx 2 \text{ buah baut}$$

- Kontrol kekakuan siku penyambung



**Gambar 5. 22 Konfigurasi sambungan geser 2 baut**

Luas Bidang geser

$$\begin{aligned} A_g &= L_{\text{siku}} \times t_{\text{siku}} \\ &= 130 \text{ mm} \times 10 \text{ mm} \\ &= 1300 \text{ mm}^2 \end{aligned}$$

$$\begin{aligned} A_{nv} &= L_{nv} \times t_{\text{siku}} \\ &= (50 \text{ mm} + 2.40 \text{ mm} - 2.18 \text{ mm}) \times 10 \text{ mm} \\ &= 94 \text{ mm} \times 10 \text{ mm} \\ &= 940 \text{ mm}^2 \end{aligned}$$

Berdasarkan Persamaan D2 (SNI 1729-2020) tentang kekuatan tarik :

Untuk kuat leleh tarik pada penampang bruto

$$\varnothing = 0,9 \text{ (LRFD)}$$

$$\begin{aligned} \varnothing P_n &= \varnothing \cdot A_g \cdot F_y \\ &= 292,5 \text{ kN} \quad (\text{Menentukan}) \end{aligned}$$

Untuk kuat putus tarik pada penampang bruto

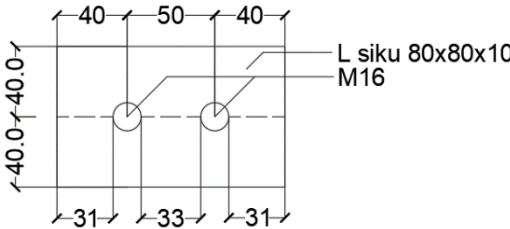
$$\varnothing = 0,9 \text{ (LRFD)}$$

$$\begin{aligned} \varnothing P_u &= \varnothing \cdot A_n \cdot F_u \\ &= 442,8 \text{ kN} \end{aligned}$$

$$V_n < \varnothing P_n$$

$$97,09 \text{ kN} < 292,5 \text{ kN} \quad (\text{OK})$$

- Kontrol Kuat Tumpu



**Gambar 5. 23** Jarak antar baut

Berdasarkan SNI 1729-2020 Pasal J3.10

$$\begin{aligned} l_c &= 40 - 0,5(16+2) \\ &= 31 \text{ mm} \end{aligned}$$

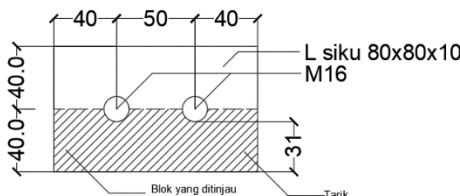
$$\begin{aligned} \varnothing R_{na} &= 1 \cdot 2l_c t f_u \leq 2 \cdot 4d t f_u \\ &= 152,52 \text{ kN} \leq 157,44 \text{ kN} \end{aligned}$$

$$\begin{aligned} \varnothing R_{nb} &= 1 \cdot 2l_c t f_u \leq 2 \cdot 4d t f_u \\ &= 162,36 \text{ kN} \leq 157,44 \text{ kN} \end{aligned}$$

$$\begin{aligned} \varnothing R_n &= 0,75 \times (\varnothing R_{na} + \varnothing R_{nb}) \\ &= 236,16 \text{ kN} \end{aligned}$$

- Kontrol Kuat Geser Balok

Berdasarkan SNI 1729-2020 Pasal J4.3



**Gambar 5. 24** Letak kuat geser balok yang ditinjau

$$\begin{aligned} Ant &= (S1 - D\text{luang}/2) \times tp \\ &= 310 \text{ mm}^2 \end{aligned}$$

$$\begin{aligned} \varnothing R_{na} &= 0,6f_u A_{nv} + U_{bs} \cdot f_u \cdot Ant \\ &= 358,34 \text{ kN} \quad (\text{Menentukan}) \end{aligned}$$

$$\begin{aligned} \varnothing R_{nb} &= 0,6f_y \cdot Agv + U_{bs} \cdot f_u \cdot Ant \\ &= 322,1 \text{ kN} \end{aligned}$$

$$\varnothing R_n = 0,75 \times (358,34 \text{ kN})$$

$$= 268,76 \text{ kN}$$

Kontrol :

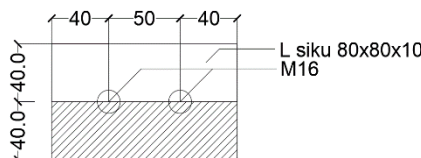
$$\begin{aligned} V_n &< \emptyset R_n \\ 97,09 \text{ kN} &< 268,76 \text{ kN} \quad (\text{OK}) \end{aligned}$$

### 5.3.4 Perhitungan Sambungan Balok Tangga – Balok Penumpu Tangga

Data – data untuk perhitungan sambungan geser antara balok tangga – balok penumpu tangga sebagai berikut :

<b>Vn (kN)</b>	29,37
<b>D baut (mm)</b>	M16
<b>As baut (cm<sup>2</sup>)</b>	201,0619
<b>F<sub>nv</sub> (Mpa)</b>	469
<b>F<sub>nv</sub> (Mpa)</b>	410
<b>Jumlah Baut</b>	2
<b>Ølubang</b>	18 mm
<b>Tebal siku</b>	10 mm

- Kuat geser baut berdasarkan Pasal J3 SNI 1729-2020  
Dipakai 2 buah baut  
 $\emptyset = 0,75$  (LRFD)  
 $\emptyset R_n = \emptyset \cdot F_{nv} \cdot A_b \cdot n$   
 $= 0,75 \cdot 414 \text{ Mpa} \cdot 201,06 \text{ cm}^2 \cdot 2$   
 $= 169,74 \text{ kN}$
- Kuat jarak baut berdasarkan Tabel J3.4 SNI 1729-2020  
Untuk jarak tepi minimum (S1)  
Diameter 16 mm → 22 mm  
 $S_1 = 40 \text{ mm}$   
Untuk spasi antar baut (S2) →  $s > 3d$  atau  $s < 12t$   
 $S_2 = 50 \text{ mm}$   
 $n = \frac{V_n}{\emptyset R_n}$   
 $= 1,291 \approx 2 \text{ buah baut}$
- Kontrol kekakuan siku penyambung



**Gambar 5. 25** Konfigurasi sambungan geser 2 baut

Luas Bidang geser

$$\begin{aligned} A_g &= L_{\text{siku}} \times t_{\text{siku}} \\ &= 130 \text{ mm} \times 10 \text{ mm} \\ &= 1300 \text{ mm}^2 \end{aligned}$$

$$\begin{aligned} A_{nv} &= L_{nv} \times t_{\text{siku}} \\ &= (50 \text{ mm} + 2.40 \text{ mm} - 2.18 \text{ mm}) \times 10 \text{ mm} \\ &= 94 \text{ mm} \times 10 \text{ mm} \\ &= 940 \text{ mm}^2 \end{aligned}$$

Berdasarkan Persamaan D2 (SNI 1729-2020) tentang kekuatan tarik :

Untuk kuat leleh tarik pada penampang bruto

$$\varnothing = 0,9 \text{ (LRFD)}$$

$$\begin{aligned} \varnothing P_n &= \varnothing \cdot A_g \cdot F_y \\ &= 292,5 \text{ kN} \quad (\text{Menentukan}) \end{aligned}$$

Untuk kuat putus tarik pada penampang bruto

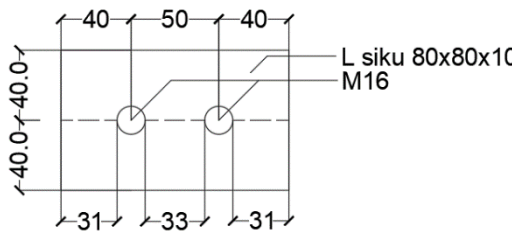
$$\varnothing = 0,9 \text{ (LRFD)}$$

$$\begin{aligned} \varnothing P_n &= \varnothing \cdot A_n \cdot F_u \\ &= 442,8 \text{ kN} \end{aligned}$$

$$V_n < \varnothing P_n$$

$$29,37 \text{ kN} < 292,5 \text{ kN} \quad (\text{OK})$$

- Kontrol Kuat Tumpu



**Gambar 5. 26** Jarak antar baut

Berdasarkan SNI 1729-2020 Pasal J3.10

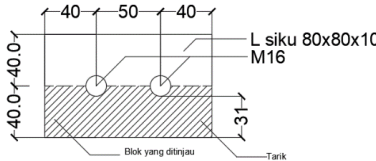
$$\begin{aligned} l_c &= 40 - 0,5(16+2) \\ &= 31 \text{ mm} \end{aligned}$$

$$\begin{aligned} \varnothing R_{na} &= 1.2 l_c t f_u \leq 2.4 d t f_u \\ &= 152,52 \text{ kN} \leq 157,44 \text{ kN} \end{aligned}$$

$$\begin{aligned}\varnothing R_{nb} &= 1.2l_c t f_u \leq 2.4dt f_u \\ &= 162,36 \text{ kN} \leq 157,44 \text{ kN}\end{aligned}$$

$$\begin{aligned}\varnothing R_n &= 0,75 \times (\varnothing R_{na} + \varnothing R_{nb}) \\ &= 236,16 \text{ kN}\end{aligned}$$

- Kontrol Kuat Geser Balok  
Berdasarkan SNI 1729-2020 Pasal J4.3  
Ant =  $(S_1 - D\text{luang}/2) \times t_p$



**Gambar 5. 27** Letak kuat geser balok yang ditinjau

$$= 310 \text{ mm}^2$$

$$\begin{aligned}\varnothing R_{na} &= 0,6f_u A_{nv} + U_{bs} \cdot f_u \cdot Ant \\ &= 358,34 \text{ kN} \quad (\text{Menentukan}) \\ \varnothing R_{nb} &= 0,6f_y A_{gv} + U_{bs} \cdot f_u \cdot Ant \\ &= 322,1 \text{ kN} \\ \varnothing R_n &= 0,75 \times (358,34 \text{ kN}) \\ &= 268,76 \text{ kN}\end{aligned}$$

Kontrol :

$$\begin{aligned}V_n &< \varnothing R_n \\ 29,37 \text{ kN} &< 268,76 \text{ kN} \quad (\text{OK})\end{aligned}$$

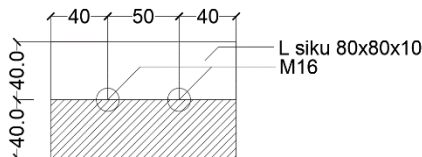
### 5.3.5 Perhitungan Sambungan Balok Penumpu Tangga – Kolom

Data – data untuk perhitungan sambungan geser antara balok penumpu tangga – kolom sebagai berikut :

<b>Vn (kN)</b>	55,17
<b>D baut (mm)</b>	M16
<b>As baut (cm<sup>2</sup>)</b>	201,0619
<b>F<sub>nv</sub> (Mpa)</b>	469
<b>F<sub>nv</sub> (Mpa)</b>	410

<b>Jumlah Baut</b>	2
<b>Ølubang</b>	18 mm
<b>Tebal siku</b>	10 mm

- Kuat geser baut berdasarkan Pasal J3 SNI 1729-2020  
Dipakai 2 buah baut  
 $\text{Ø} = 0,75 \text{ (LRFD)}$   
 $\text{ØRn} = \text{Ø} \cdot F_{nv} \cdot A_b \cdot n$   
 $= 0,75 \cdot 414 \text{ Mpa} \cdot 201,06 \text{ cm}^2 \cdot 2$   
 $= 169,74 \text{ kN}$
- Kuat jarak baut berdasarkan Tabel J3.4 SNI 1729-2020  
Untuk jarak tepi minimum (S1)  
Diameter 16 mm → 22 mm  
 $S1 = 40 \text{ mm}$   
Untuk spasi antar baut (S2) →  $s > 3d$  atau  $s < 12t$   
 $S2 = 50 \text{ mm}$   
 $n = \frac{Vn}{\text{ØRn}}$   
 $= 1,291 \approx 2 \text{ buah baut}$
- Kontrol kekakuan siku penyambung



**Gambar 5. 28** Konfigurasi sambungan geser 2 baut

Luas Bidang geser

$$\begin{aligned}
 Ag &= L_{siku} \times t_{siku} \\
 &= 130 \text{ mm} \times 10 \text{ mm} \\
 &= 1300 \text{ mm}^2 \\
 Anv &= L_{nv} \times t_{siku} \\
 &= (50 \text{ mm} + 2.40 \text{ mm} - 2.18 \text{ mm}) \times 10 \text{ mm} \\
 &= 94 \text{ mm} \times 10 \text{ mm} \\
 &= 940 \text{ mm}^2
 \end{aligned}$$

Berdasarkan Persamaan D2 (SNI 1729-2020) tentang kekuatan tarik :

Untuk kuat leleh tarik pada penampang bruto

$$\varnothing = 0,9 \text{ (LRFD)}$$

$$\begin{aligned}\varnothing P_n &= \varnothing \cdot A_g \cdot F_y \\ &= 292,5 \text{ kN} \quad (\text{Menentukan})\end{aligned}$$

Untuk kuat putus tarik pada penampang bruto

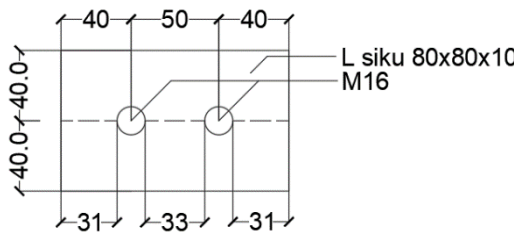
$$\varnothing = 0,9 \text{ (LRFD)}$$

$$\begin{aligned}\varnothing P_n &= \varnothing \cdot A_u \cdot F_u \\ &= 442,8 \text{ kN}\end{aligned}$$

$$V_n < \varnothing P_n$$

$$55,17 \text{ kN} < 292,5 \text{ kN} \quad (\text{OK})$$

- Kontrol Kuat Tumpu



**Gambar 5. 29** Jarak antar baut

Berdasarkan SNI 1729-2020 Pasal J3.10

$$\begin{aligned}l_c &= 40 - 0,5(16+2) \\ &= 31 \text{ mm}\end{aligned}$$

$$\begin{aligned}\varnothing R_{na} &= 1 \cdot 2l_c t f_u \leq 2 \cdot 4d t f_u \\ &= 152,52 \text{ kN} \leq 157,44 \text{ kN}\end{aligned}$$

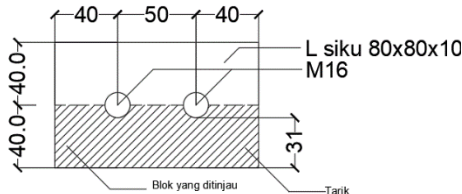
$$\begin{aligned}\varnothing R_{nb} &= 1 \cdot 2l_c t f_u \leq 2 \cdot 4d t f_u \\ &= 162,36 \text{ kN} \leq 157,44 \text{ kN}\end{aligned}$$

$$\begin{aligned}\varnothing R_n &= 0,75 \times (\varnothing R_{na} + \varnothing R_{nb}) \\ &= 236,16 \text{ kN}\end{aligned}$$

- Kontrol Kuat Geser Balok

Berdasarkan SNI 1729-2020 Pasal J4.3

**Gambar 5. 30** Letak kuat geser balok yang ditinjau



$$\text{Ant} = (S_1 - D\text{lubang}/2) \times t_p \\ = 310 \text{ mm}^2$$

$$\varnothing R_{na} = 0,6 f_u A_{nv} + U_{bs} \cdot f_u \cdot Ant \\ = 358,34 \text{ kN} \quad (\text{Menentukan})$$

$$\varnothing R_{nb} = 0,6 f_y A_{gv} + U_{bs} \cdot f_u \cdot Ant \\ = 322,1 \text{ kN}$$

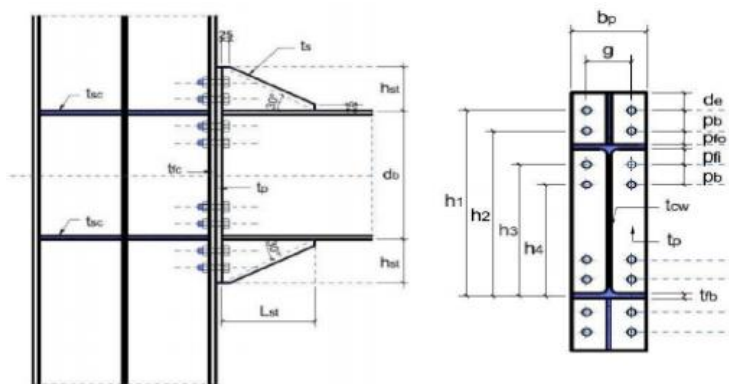
$$\varnothing R_n = 0,75 \times (358,34 \text{ kN}) \\ = 268,76 \text{ kN}$$

Kontrol :

$$V_n < \varnothing R_n \\ 55,17 \text{ kN} < 268,76 \text{ kN} \quad (\text{OK})$$

### 5.3.6 Perhitungan Sambungan Balok Induk – Kolom

Data – data untuk perhitungan sambungan momen antara



**Gambar 5. 31** Konfigurasi Extended End-Plate delapan baut + pengaku

balok induk – kolom sebagai berikut :

**Tabel 5. 22** Data untuk *extended end plate*

<b>h<sub>1</sub></b>	718	mm
<b>h<sub>2</sub></b>	648	mm
<b>h<sub>3</sub></b>	528	mm
<b>h<sub>4</sub></b>	458	mm
<b>L<sub>st</sub></b>	329,09	mm
<b>h<sub>st</sub></b>	190	mm
<b>g</b>	130	mm
<b>p<sub>f1</sub></b>	60	mm
<b>p<sub>f0</sub></b>	60	mm
<b>p<sub>b</sub></b>	70	mm
<b>d<sub>e</sub></b>	60	mm
<b>b<sub>p</sub></b>	300	mm
<b>s</b>	98,74	Mm

- Perhitungan momen di muka kolom

$$\begin{aligned} M_{pr} &= 1,1 \cdot R_y \cdot \emptyset \cdot Z_x \cdot F_y \\ &= 1701,235 \text{ kN.m} \end{aligned}$$

$$V_u = 237,37 \text{ kN} \text{ (Output Hasil dari ETABS)}$$

$$\begin{aligned} L_p &= L_{st} + t_p \\ &= 364,1 \text{ mm} \end{aligned}$$

$$\begin{aligned} \emptyset M_{uc} &= M_{pr} + (L_p \cdot V_u) \\ &= 1938,96 \text{ kN.m} \end{aligned}$$

- Perhitungan dimensi baut

$$\begin{aligned} d_b &= \sqrt{\frac{2M_{uc}}{\pi \emptyset F_t (h_1 + h_2 + h_3 + h_4)}} \\ &= 35,0456 \approx M36 \end{aligned}$$

$$\begin{aligned} P_{ibaum} &= f_{n_t} \cdot A_b \\ &= 793943,295 \text{ N} \end{aligned}$$

$$\begin{aligned} M_n &= 2P_t (h_1 + h_2 + h_3 + h_4) \\ &= 2727,989 \text{ kN.m} > \emptyset M_{uc} \quad (\text{memenuhi}) \end{aligned}$$

- Kapasitas *end-plate*

Perhitungan parameter kuat batas pelat berdasarkan pola garis leleh, Yp (SNI 7972-2020 Tabel 6.4)

$$\begin{aligned}
 X_o &= \frac{2}{g} \left[ h_1 \left( d_e + \frac{3p_b}{4} \right) + h_2 \left( d_e + \frac{p_b}{4} \right) + h_3 \left( p_{fi} + \frac{3p_b}{4} \right) + \right. \\
 &\quad \left. h_4 \left( s + \frac{p_b}{4} \right) \right] + g \\
 &= 90117,9 \\
 Y_p &= \frac{b_p}{2} \left[ h_1 \left( \frac{1}{2d_e} \right) + h_2 \left( \frac{1}{p_{fo}} \right) + h_3 \left( \frac{1}{p_{fi}} \right) + h_4 \left( \frac{1}{s} \right) \right] + X_o \\
 &= 91039,68
 \end{aligned}$$

- Perhitungan tebal pelat

$$t_p = \sqrt{\frac{1,11 \cdot \emptyset \cdot Mnp}{\emptyset \cdot Fy \cdot Yp}} = 35 \text{ mm}$$

Perhitungan momen dimuka kolom

$$M_{pr} = 1,1 \cdot Ry \cdot \emptyset \cdot Zx \cdot Fy$$

$$= 1599,68 \text{ kN.m}$$

$$\emptyset M_{uc} = L_p + (M_p e \cdot V_u)$$

$$= 2463,91 \text{ kN.m}$$

- Gaya sayap balok terfaktor

$$\begin{aligned}
 F_{fu} &= \frac{M_f}{d - t_{bf}} \\
 &= 2855,62 \text{ Kn}
 \end{aligned}$$

- Periksa peleahan geser bagian yang diperpanjang bagian pelat ujung

$$F_{fu}/2 < \emptyset \cdot R_n$$

$$F_{fu}/2 < \emptyset \cdot 0,6 \cdot F_{yp} \cdot b_p \cdot t_p$$

$$1427,86 < 2126,25 \quad (\text{memenuhi})$$

- Periksa keruntuhan geser bagian yang diperpanjang bagian pelat ujung

$$F_{fu}/2 < \emptyset \cdot R_n$$

$$F_{fu}/2 < \emptyset \cdot 0,6 \cdot F_{up} \cdot A_n$$

$$F_{fu}/2 < \emptyset \cdot 0,6 \cdot F_{up} \cdot (b_p - 2(db + 1/8))$$

$$1427,86 < 1446,48 \quad (\text{memenuhi})$$

- Perhitungan tebal *stiffener*

$$\begin{aligned}
 t_p &= 1,79 \cdot h_{st} \sqrt{\frac{F_{ys}}{E}} \\
 &= 12,02 \text{ mm} \approx 13 \text{ mm}
 \end{aligned}$$

- Kontrol kuat geser baut
 
$$\begin{aligned} Vu &< \emptyset \cdot R_n \\ Vu &< \emptyset \cdot (n_b) \cdot F_v \cdot A_b \\ 237,37 \text{ kN} &< 0,75 \cdot 8 \text{ bolts. } 579.1017,88 \\ 237,37 \text{ kN} &< 3536,1 \text{ kN} \quad (\text{memenuhi}) \end{aligned}$$

- Kontrol kuat tumpu baut
 
$$\begin{aligned} Vu &< \emptyset \cdot R_n \\ Vu &< (n_i) \cdot \emptyset R_n + (n_o) \cdot \emptyset R_n \\ 237,37 \text{ kN} &< 2204160 \text{ N} + 4959360 \text{ N} \\ 237,37 \text{ kN} &< 5372,64 \text{ kN} \quad (\text{memenuhi}) \end{aligned}$$

- Kontrol pada sisi kolom  
leleh,  $Y_p$  (SNI 7972-2020 Tabel 6.4)

$$\begin{aligned} X_o &= \frac{2}{g} \left[ h_1 \left( p_b + \frac{3p_b}{4} \right) + h_2 \left( d_e + \frac{p_b}{4} \right) + h_3 \left( p_{fi} + \frac{3p_b}{4} \right) + \right. \\ &\quad \left. h_4 \left( s + \frac{p_b}{4} \right) \right] + g \\ &= 90117,9 \end{aligned}$$

$$\begin{aligned} Y &= \frac{b_p}{2} \left[ h_1 \left( \frac{1}{2d_e} \right) + h_2 \left( \frac{1}{p_{fo}} \right) + h_3 \left( \frac{1}{p_{fi}} \right) + h_4 \left( \frac{1}{s} \right) \right] + X_o \\ &= 91039,68 \end{aligned}$$

- Perhitungan tebal pelat

$$\begin{aligned} tp &= \sqrt{\frac{1,11 \cdot \emptyset \cdot Mnp}{\emptyset \cdot Fyc \cdot Yc}} \\ &= 11,506 \text{ mm} \end{aligned}$$

$$\begin{aligned} \emptyset Mcf &= \emptyset f_{yc} t_c^2 Y_c \\ &= 51462,19 \text{ kN.m} > Muc \quad (\text{memenuhi}) \end{aligned}$$

- Sambungan las balok dengan pelat sambung

Desain sambungan pelat ke kolom

$$\begin{aligned} a &= 10 \text{ mm} \\ te &= 0,707 \cdot a \\ &= 7,07 \text{ mm} \approx 8 \text{ mm} \end{aligned}$$

Mutu kawat las E60xx

$$\begin{aligned} F_{exx} &= 430 \text{ Mpa} \\ F_{nw} &= 0,6 \cdot F_{exx} \\ &= 258 \text{ Mpa} \end{aligned}$$

Kekuatan las berdasarkan leleh Tarik

$$\begin{aligned}\text{ØRn} &= 0,75 \text{ Fnw.te.2} \\ &= 0,75 \cdot 258 \cdot 8 \cdot 2 \\ &= 3,096 \text{ kN.mm} \\ \text{Llas} &= \text{Pu}/\text{ØRn} \\ &= 76,67 \text{ mm}\end{aligned}$$

### 5.3.7 Perhitungan Sambungan Kolom – Kolom

Menurut SNI 7860-2020 Pasal F3.6d, splasi kolom harus didesain mengembangkan paling sedikit 50% dari momen lentur plastis,  $M_p$ , dari komponen struktur yang disambung. Data – data untuk perhitungan sambungan splais antara kolom – kolom sebagai berikut:

K. geser baut $F_nv$ (Mpa)	469
$F_u$ (Mpa)	410
$F_y$ (Mpa)	290
$h_c$	3.31
B	650 mm
H	900 mm

- Kuat geser perlu  
 $H_c = 4000 \text{ mm}$  (tinggi kolom)  
 Kolom CFT 700x700x40  
 $M_p = F_y \cdot Z_x$   
 $= 8558,18 \text{ kN}$   
 Kolom CFT 700x700x36  
 $M_p = F_y \cdot Z_x$   
 $= 8054,6 \text{ kN}$   
 $V_n = \sum M_p / h_c$   
 $= 5018,97 \text{ kN}$
- Merencanakan tebal pelat sambung  
 Kondisi leleh tarik  
 $t_p = V_n / (\text{Ø} \cdot A_g \cdot F_y)$   
 $= 29,58 \text{ mm}$   
 Kondisi putus  
 $t_p = V_n / (\text{Ø} \cdot F_u \cdot u \cdot 0,85 \cdot A_g)$   
 $= 24,62$   
 Maka  $t_p$  pakai  $\approx 30 \text{ mm}$

- Merencanakan Baut Angkur

Tebal Pelat (t)	35	mm
ϕ baut A449(mm)	M22	
Fu	724	Mpa
Fy	558	Mpa
nt	0.35	ulir/mm
heff	700	mm
cal	300	mm
Abrg	1.12	mm <sup>2</sup>
S2	80	mm
S1	150	mm

Kuat tarik baut

$$\begin{aligned} A_{se,N} &= \frac{\pi}{4}(d - 0.9743/n)^2 \\ &= 291,05 \text{ mm}^2 \end{aligned}$$

$$\begin{aligned} \emptyset N_{sa} &= A_{se,N} \cdot F_y \\ &= 433,31 \text{ kN} \end{aligned}$$

Jika terdapat 12 buah angkur

$$\begin{aligned} \emptyset N_{sa} &= 433,31 \text{ kN} \cdot 12 \\ &= 5018,97 \text{ kN} \end{aligned}$$

- Kuat jebol beton terhadap Tarik

$$\begin{aligned} A_{nc} &= (2 \times 1.5h_{ef} + s_2) \times (c_{a1} + s_1 + 1.5h_{ef}) \\ &= 3911700 \text{ mm}^2 \end{aligned}$$

$$\begin{aligned} A_{nco} &= 9h_{ef}^2 \\ &= 4410000 \text{ mm}^2 \end{aligned}$$

ψecn	1	(Beton retak)
ψc,N	1	(Gaya tarik dipusat angkur)
ψcp,N	1	(Beton cor ditempat)

$$\begin{aligned} \Psi_{ed,N} &= 0.7 + 0.3 \frac{c_{a,min}}{1.5h_{ef}} \\ &= 0,74 \end{aligned}$$

$\lambda_a = 1.0$  (beton normal angkur cor ditempat)

$$\begin{aligned} N_b &= 10\lambda_a \sqrt{f'_c} h_{ef}^{5/3} \\ &= 14300,82 \text{ kN} \end{aligned}$$

$$\begin{aligned}\text{ØNcbg} &= \frac{A_{Nc}}{A_{Nco}} \cdot \Psi_{ed,N} \cdot \Psi_{c,N} \cdot \Psi_{cp,N} \cdot N_b \\ &= 7067,32 \text{ kN}\end{aligned}$$

- Kuat cabut beton terhadap tarik  
 $\text{ØNpn} = 0.9 \times f'_c \times e_h \times d_a$   
 $= 6299,85 \text{ kN}$
- Kuat ambrol muka tepi beton terhadap tarik  
 Posisi baut angkur dipinggir  $h_{ef} = 700 \text{ mm} < 2.5C_{a1} = 375 \text{ mm}$  maka pengaruh ambrol muka tepi beton perlu dievaluasi.
- Kuat baut angkur terhadap geser  
 $A_{se,V} = A_{se,N}$   
 $\text{Ø} = 0,65$  (untuk baja daktail terhadap geser)  
 $\text{ØVsa} = 0,65 \times 0.6 \times A_{se,V} \times f_{uta}$   
 $= 4380,25 \text{ kN}$
- Kuat rompal beton terhadap geser  
 $K_{cp} = 2$  (untuk  $Heff > 500\text{mm}$ )  
 $V_{cp} = k_{cp} \times N_{cp}$   
 $= 20021,15 \text{ kN}$
- Kuat jebol (*breakout*) beton terhadap geser

$\Psi_{ed,V}$	<b>1</b>	
$\psi_{cec,V}$	1	(Beton belum retak)
$\psi_{eh,V}$	1	(tidak dibatasi ketebalan beton)
$A_{vc}$	$= (2 \times 1.5c_{a1,1} + s_2)1.5c_{a1,1}$ $= 195750 \text{ mm}^2$	
$A_{vco}$	$= 4.5c_{a1}^2$ $= 101250 \text{ mm}^2$	
$V_b$	$= 0.6 \left( \frac{l_e}{d_a} \right)^{0.2} \sqrt{d_a} \lambda_a \sqrt{f'_c} C_{a1}^{1.5}$ $= 4601,71 \text{ kN}$	
$\text{ØVcp}$	$= \frac{A_{vc}}{A_{vco}} \times \Psi_{ec,V} \times \Psi_{ed,V} \times \Psi_{c,V} \times \Psi_{h,V} \times V_b$ $= 6672,48 \text{ kN}$	

- Rangkuman kuat batas angkur

Kondisi Batas	Kapasitas (Kn)	Gaya Terfaktor(Kn)	Rasio
<b>Kuat Tarik Baut</b>	5018.97	5018.97	1
<b>Kuat jebol beton terhadap tarik</b>	7067.32	5018.97	0.71
<b>Kuat Cabut Beton Terhadap Tarik</b>	6299.85	5018.97	0.80
<b>Kontrol Baut Angkur Terhadap Geser</b>	4380.25	5018.97	1.15
<b>Kontrol Jebol Beton Terhadap Geser</b>	20021.15	5018.97	0.25
<b>Kuat Jebol Breakout Terhadap Geser</b>	6672.48	5018.97	0.75

### 5.3.8 Perhitungan Kapasitas Bracing

*Fluid Viscous Damper* (FVD) mempunyai panjang  $\pm 1$  m dan dipasang secara diagonal antar kolom dengan balok, oleh karena itu dibutuhkan *bracing* untuk pemasangannya. *Bracing* yang digunakan menggunakan Profil *Hollow Structural Section* (HSS), desain profil juga harus direncanakan supaya mampu menahan gaya aksial tekan maupun Tarik, maka harus diperhitungkan sesuai ketentuan di dalam SNI 1729-2020. Berikut data untuk merencanakan breising :

- Diameter( $\emptyset$ ) = 300 mm
- Tebal ( $t$ ) = 13 mm
- Luas penampang ( $A_g$ ) = 117,2  $\text{cm}^2$
- Mutu baja = BJ50
- Tegangan leleh ( $f_y$ ) = 500 Mpa
- Tegangan putus ( $f_u$ ) = 290 Mpa
- Modulus elastisitas ( $E$ ) = 200000 Mpa
- Modulus penampang ( $S$ ) = 806,2  $\text{cm}^3$
- Panjang ( $L$ ) = 6000 mm
- Kuat Tarik baut ( $F_{nt}$ ) = 620 Mpa

- Kuat geser baut ( $F_{nv}$ ) = 469 Mpa
- Radius of gyration ( $r$ ) = 585,4 mm
- Section Modulus ( $Z$ ) = 10,157 cm<sup>3</sup>

Dari hasil output Etabs diperoleh gaya dalam terbesar yang bekerja pada *fluid viscous damper* akibat kombinasi *Envelope* yaitu :

$$\text{Gaya aksial tekan maksimum} = 2978,87 \text{ kN}$$

$$\text{Gaya aksial tarik maksimum} = 3019,69 \text{ kN}$$

- Cek kelangsungan batang  
Faktor panjang tekuk,  $k = 1,0$  (sendi-sendi)

$$\frac{KL}{r} \leq 300$$

$$70,26 \leq 300 \quad (\text{Memenuhi})$$

- Kekuatan nominal tarik terfaktor batang  
 $\varphi N_n = \varphi \times f_y \times A_g$   
 $\varphi N_n = 3058,92 \text{ kN}$   
 $\varPhi N_n \geq N_u \rightarrow 3058,92 \text{ kN} > 3019,69 \text{ kN} \quad (\text{Memenuhi})$

- Perhitungan kapasitas tekan penampang

$$\lambda = \frac{D}{t} = \frac{350}{16} = 21.875$$

$$\lambda_r = 0.11 \frac{E}{f_y} = 0.11 \times \frac{200000}{250} = 75,86$$

$$\lambda_r > \lambda$$

Berdasarkan SNI 1729-2020 pasal B4.1, jika nilai  $\lambda_r > \lambda$  maka penampang yang dipakai termasuk elemen non-langsing. Sehingga untuk perhitungan tekan nominal mengikuti SNI 1729-2020 pasal E3 (tekuk lentur dari komponen struktur tanpa elemen langsing).

- a. Cek kelangsungan batang

Faktor panjang tekuk,  $k = 1.0$  (sendi-sendi)

$$Lk = k \cdot L = 1.0 \cdot 6000 \text{ mm} = 6000 \text{ mm}$$

$$\lambda = \frac{KL}{r} = 41.45 < 200 \quad (\text{Memenuhi})$$

- b. Kekuatan nominal tekan terfaktor batang

$$4.71 \cdot \sqrt{\frac{E}{f_y}} = 4.71 \cdot \sqrt{\frac{200000}{300}} = 121.612$$

Karena nilai  $\frac{KL}{r} < 4.71 \cdot \sqrt{\frac{E}{f_y}}$ , maka untuk nilai  $f_{cr}$  dipakai:

$$f_{cr} = \left[ 0.658 \frac{f_y}{f_e} \right] f_y$$

$$\text{Dimana nilai } f_e = \frac{\pi^2 E}{\left( \frac{KL}{r} \right)^2} = \frac{\pi^2 \cdot 200000}{(41.45)^2} = 1148.61 \text{ MPa}$$

Sehingga:

$$f_{cr} = \left[ 0.658 \frac{300}{1148.61} \right] \cdot 300 = 268.93 \text{ MPa}$$

$$P_n = f_{cr} \times A_g = 268.93 \times 16790 = 4515390 \text{ N}$$

$$\emptyset P_n = 0.9 \times 4515390 = 4063850 \text{ N}$$

Maka untuk kuat tekan nominal batang, diambil nilai yang paling kecil, sehingga didapatkan:

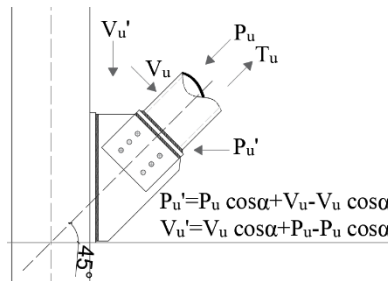
$$\emptyset P_n = 4063.85 \text{ kN}$$

$$P_u = 3464.86 \text{ kN}$$

$$\emptyset P_n \geq P_u \rightarrow 4063.85 \text{ kN} > 3464.86 \text{ kN} \text{ (Memenuhi)}$$

### 5.3.9 Perhitungan Sambungan HSS Circle ke Kolom

- Tebal pelat sambungan (tp) = 25 mm
- Tegangan leleh (fy) = 290 Mpa
- Tegangan putus (fu) = 500 Mpa
- Material baut = A325
- Kuat tarik baut (fnt) = 620 Mpa
- Kuat geser baut (fnv) = 469 Mpa
- Tegangan tarik las ( $F_{EXX}$ ) = 490 Mpa
- Luas penampang (Ag) = 129 cm<sup>2</sup>



**Gambar 5. 32 Skema Gaya Dalam pada Sambungan**

- Analisa gaya dalam pada sambungan  
Gaya tekan maksimum pelat landasan  $P'_u$

$$P'_u = P_u \cos \alpha + V_u - V_u \sin \alpha$$

$$P'_u = 1732.43 \times \cos 45^\circ + 1.43 - 1.43 \times \sin 45^\circ$$

$$P'_u = 1225.43 \text{ kN}$$

Gaya tarik maksimum pelat landasan  $T'_u$

$$N'_u = N_u \cos \alpha$$

$$N'_u = 936.65 \times \cos 45^\circ$$

$$N'_u = 662.2 \text{ kN}$$

Gaya geser maksimum pelat landasan  $V'_u$

$$V'_u = V'_u \cos \alpha + P_u - P_u \sin \alpha$$

$$V'_u = 1.43 \times \cos 45^\circ + 2115.71 - 2115.71 \times \sin 45^\circ$$

$$V'_u = 592.45 \text{ kN}$$

- Kuat las kepala pelat ke HSS

Berdasarkan SNI1729-2020 Pers J2.3 Kekuatan las nominal ditentukan sebagai berikut:

$$R_n = f_w \times A_w$$

Karena gaya tidak berada dalam bidang pengelompokan, Persamaan J2-5 dari Spesifikasi AISC 360-16 tidak berlaku.

$$f_w = 0.70 f_{EXX} = 0.70 \times 490 \text{ MPa} = 343 \text{ MPa}$$

Oleh karena itu, gunakan panjang las yang efektif sepanjang keliling PSB, jika tebal las  $w = 10 \text{ mm}$

$$l = \pi D = \pi \times 350 = 1099.55 \text{ mm}$$

$$A_w = l \frac{w}{\sqrt{2}} = 1099.5 \times \frac{10}{\sqrt{2}} = 7774.99 \text{ mm}^2$$

$$R_n = 343 \times 7774.99 = 2666822.47 \text{ N} = 2666.82 \text{ kN}$$

$$\emptyset R_n = 0.8 \times 2666.82 = 2133.46 \text{ kN}$$

- Kuat las pelat sambung ke kepala pelat

Berdasarkan SNI1729-2020 Pers. J2.3, Kekuatan las nominal ditentukan sebagai berikut:

$$R_n = f_w \times A_w$$

$$f_w = 0.60 f_{EXX} = 0.60 \times 490 \text{ MPa} = 343 \text{ MPa}$$

Di sini panjang las yang efektif,  $l$ , sama dengan panjang kepala pelat, di kedua sisi batang. Karenanya:

$$l = 2 \times 400 = 800 \text{ mm}$$

$$A_w = l \frac{w}{\sqrt{2}} = 800 \times \frac{15}{\sqrt{2}} = 8485.28 \text{ mm}^2$$

$$R_n = 343 \times 8485.28 = 2910451.51 \text{ N} = 2910.45 \text{ kN}$$

$$\phi R_n = 0.8 \times 2910.45 = 2328.36 \text{ kN}$$

- Kuat geser leleh kepala pelat  
Berdasarkan SNI 1729-2020 Pers. J4.3 kekuatan geser leleh nominal ditentukan sebagai berikut:

$$R_n = 0.6 \times f_y \times A_g$$

Dimana:

$$f_y = f_{yp} = 240 \text{ MPa}$$

Perhatikan bahwa luas geser total adalah dua kali panjang kepala pelat dikali ketebalan kepala pelat. Setengah dari beban dilawan pada setiap bidang geser yang berdekatan dengan las. Total area geser adalah:

$$A_g = 2 \times L \times t_p = 2 \times 400 \times 25 = 20000 \text{ mm}^2$$

Maka

$$R_n = 0.6 \times 240 \times 20000 = 2880000 \text{ N} = 2880 \text{ kN}$$

$$\phi R_n = 2880 \text{ kN}$$

- Kuat geser fraktur kepala pelat  
Berdasarkan SNI 1729-2020 Pers. J4.4

$$R_n = 0.6 \times f_u \times A_{nv}$$

Dimana:

$$f_u = f_{up} = 400 \text{ MPa}$$

$$A_{nv} = A_g = 20000 \text{ mm}^2$$

Maka

$$R_n = 0.6 \times 400 \times 20000 = 4800000 \text{ N} = 4800 \text{ kN}$$

- Kuat geser baut  
Berdasarkan SNI 1729-2020 Pers J4.3 dan juga dari AISC *Manual table 7-1*, kuat geser baut sebagai berikut :

$$r_n = 372 \text{ kN/baut}$$

$$R_n = 6 \times 372 = 2232 \text{ kN}$$

- Kuat tumpu baut  
Berdasarkan SNI 1729-2020 Pers, J3.1

$$R_n = 1.2L_c t f_u \leq 2.4dt f_u$$

Dimana

$$t = t_s = 20 \text{ mm}$$

$$f_u = f_{up} = 400 \text{ MPa}$$

Untuk baut terakhir

$$L_c = 60 - \frac{30}{2} = 45 \text{ mm}$$

Maka untuk sisi kiri dari persamaan J3-6a adalah:

$$1.2L_c t f_u = 1.2 \times 45 \times 20 \times 400 = 432000 \text{ N}$$

Sedangkan untuk sisi kanan dari persamaan J3-6a adalah:

$$2.4d t f_u = 2.4 \times 24 \times 20 \times 400 = 460800 \text{ N}$$

$$432000 \text{ N} < 460800 \text{ N}$$

Maka pakai  $R_n = 460.8 \text{ kN}$

Dengan AISC 360-16 pasal J3.10 untuk baut luar dan AISC *Manual* tabel 7-5 untuk baut dalam, kuat tumpu yang tersedia ditentukan sebagai berikut:

Untuk baut luar:

$$\emptyset R_n = 0.75 \times 460.8 = 345.6 \text{ kN}$$

Untuk baut dalam:

$$\emptyset r_n = 17.7 \text{ kN/mm}$$

$$\emptyset R_n = 20 \times 17.7 = 353.88 \text{ kN}$$

Maka untuk 6 baut, kuat tumpu sebagai berikut:

$$\emptyset R_n = 2 \times (345.6 \text{ kN}) + 4 \times (353.8 \text{ kN}) = 2106.4 \text{ kN}$$

- Kuat Tarik leleh pelat sambung  
Berdasarkan SNI 1729-2020 Pers. J4.1a

$$\emptyset R_n = f_y \times A_g$$

Dimana:

$$f_y = f_{yp} = 240 \text{ MPa}$$

$$A_g = W \times t_s = 400 \times 20 = 8000 \text{ mm}^2$$

Dimana:

$$\emptyset R_n = 240 \times 8000 = 1920000 \text{ N} = 1920 \text{ kN}$$

$$\emptyset R_n = 0.9 \times 1920 = 1728 \text{ kN}$$

- Kuat Tarik fraktur pelat sambung  
Berdasarkan SNI 1729-2020 Pers. J4.1b

$$\emptyset R_n = f_u \times A_e$$

Dimana:

$$f_u = f_{up} = 400 \text{ MPa}$$

$$A_e = A_n \times U$$

Dimana:

$U = 1.0$  Dari AISC *Specification* tabel D3.1,

$$A_n = A_g - 2(d_h)t_s \leq 0.85A_g$$

$$A_n = 8000 - 2(27) \times 20 \leq 0.85 \times 8000$$

$$A_n = 8000 - 1080 \leq 6800$$

Maka area efektif adalah

$$A_n = 6800 \text{ mm}^2$$

$$\emptyset R_n = 400 \times 6800 = 2720000 \text{ N} = 2720 \text{ kN}$$

$$\emptyset R_n = 0.9 \times 2720 = 2448 \text{ kN}$$

- Keruntuhan geser balok pelat penyambung

Berdasarkan SNI 1729-2020 Pers. J4.3

$$R_n = 0.6 \cdot f_u \cdot A_{nv} + U_{bs} \cdot f_u < 0.6 \cdot f_y \cdot A_{gv} + U_{bs} \cdot f_u \cdot A_{nt}$$

Dimana:

$$A_{gv} = 3L_{gv}t_s$$

$$L_{gv} = 80 \text{ mm}$$

$$A_{gv} = 3 \times 80 \times 20 = 4800 \text{ mm}^2$$

$$A_{nv} = A_{gv} - 2.5d_h t_s$$

$$A_{nv} = 4800 - 2 \times 2.5 \times (27 + 2) \times 20 = 2000 \text{ mm}^2$$

$$A_{nt} = (L_{gt} \times t_s) - (d_h \times t_s)$$

$$A_{nt} = (200 \times 20) - (27 \times 20) = 3460 \text{ mm}^2$$

$$U_{bs} = 1.0 \text{ (jika gaya tarik merata)}$$

Maka:

$$0.6 \cdot f_u \cdot A_{nv} + U_{bs} \cdot f_u \cdot A_{nt}$$

$$0.6 \cdot 400 \cdot 2000 + 1 \cdot 400 \cdot 3460 = 1864000 \text{ N} = 1864 \text{ kN}$$

$$0.6 \cdot f_y \cdot A_{gv} + U_{bs} \cdot f_u \cdot A_{nt}$$

$$0.6 \cdot 240 \cdot 4800 + 1 \cdot 400 \cdot 3460 = 2536000 \text{ N} = 2536 \text{ kN}$$

Karena  $1864 \text{ kN} < 2536 \text{ kN}$ , maka dipakai  $R_n = 1864 \text{ kN}$

$$\emptyset R_n = 0.75 \times 1864 = 1398 \text{ kN}$$

Oleh karena itu kekuatan tegangan tarik yang tersedia dikontrol oleh kekuatan las yang tersedia yang menghubungkan pelat penyambung ke kepala pelat.

$$\emptyset R_n = 1398 \text{ kN}$$

- Kuat Tarik leleh pelat buhl

Berdasarkan SNI 1729-2020 Pers.J4.1a

$$\emptyset R_n = f_y \times A_g$$

Dimana:

$$f_y = f_{yp} = 240 \text{ MPa}$$

$$A_g = W \times t_s = 810 \times 20 = 16200 \text{ mm}^2$$

Dimana:

$$\phi R_n = 240 \times 16200 = 3888000 N = 3888 kN$$

$$\phi R_n = 0.9 \times 3888 = 3499.2 kN$$

- Kuat Tarik fraktur pelat buhul  
Berdasarkan SNI 1729-2020 Pers. J4.1b

$$\phi R_n = f_u \times A_e$$

Dimana:

$$f_u = f_{up} = 400 MPa$$

$$A_e = A_n \times U$$

Dimana:

$$U = 1.0 \text{ Dari AISC Specification tabel D3.1,}$$

$$A_n = A_g - 2(d_h)t_s \leq 0.85A_g$$

$$A_n = 16200 - 2(27) \times 20 \leq 0.85 \times 16200$$

$$A_n = 16200 - 1080 \leq 13770$$

Maka area efektif adalah

$$A_n = 15120 mm^2$$

$$\phi R_n = 400 \times 15120 = 6048000 N = 6048 kN$$

$$\phi R_n = 0.9 \times 6048 = 5443.2 kN$$

- Kuat las pelat buhul ke pelat landas

$$R_n = f_w \times A_w$$

$$f_w = 0.70 f_{EXX} = 0.70 \times 490 MPa = 343 MPa$$

Di sini panjang las yang efektif,  $l$ , sama dengan panjang pelat buhul, di kedua sisi batang. Karenanya:

$$w = 15 mm$$

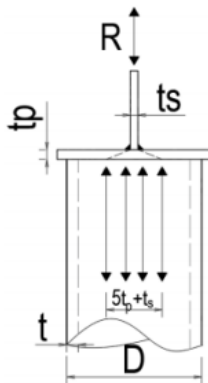
$$l = 800 mm$$

$$A_w = l \frac{w}{\sqrt{2}} = 1600 \times \frac{15}{\sqrt{2}} = 16970.56 mm^2$$

$$R_n = 343 \times 16970.56 = 5820903.02 N = 5820.9 kN$$

$$\phi R_n = 0.8 \times 5820.9 = 4656.72 kN$$

- Keadaan batas leleh local dari beban aksial HSS  
Berdasarkan SNI 1729-2020 Tabel K1.1



**Gambar 5. 33** Penyebaran Beban dari Gaya Terpusat melalui Kepala Pelat

$$R_n = 2 \times f_y \times t(5t_p + t_s) \leq f_y \times A_g$$

$$R_n = 2 \times 300 \times 16(5 \times 25 + 20) \leq 300 \times 16790$$

$$R_n = 2 \times 300 \times 16(5 \times 25 + 20) \leq 300 \times 16790$$

$$R_n = 1392000 \text{ N} \leq 5037000 \text{ N (OK)}$$

Maka:

$$\emptyset R_n = 1.0 \times 1392 = 1392 \text{ kN}$$

- Sambungan Breising dengan pelat landasan (*Base plate*) Direncanakan ukuran pelat landasan adalah  $830 \times 300$ . Perhitungan kuat tumpu beton sebagai berikut:  
 $f_{p(max)} = \emptyset \times 0.85 \times f'_c = 0.65 \times 0.85 \times 45 = 24.8625 \text{ MPa}$   
 $f_p = \frac{P_u}{BN} = \frac{1496740}{860 \times 300} = 5.8 \text{ MPa} < 24.8625 \text{ MPa } (\text{Memenuhi})$

- Kuat perlu landasan  
Kuat perlu pelat landasan ditentukan sebagai berikut.

$$M_{pl} = 0.5 \times f_p \times m^2$$

Dimana  $m$  ditentukan sebagai berikut:

$$m = \frac{N - 0.9d}{2} = \frac{860 - 0.9 \times 810}{2} = 65.5 \text{ mm}$$

Maka:

$$M_{pl} = 0.5 \times 5.8 \times 65.5^2 = 12444.55 \text{ N.mm/mm}$$

Untuk kondisi batas leleh maka tebal minimum yang diperlukan untuk pelat landasan adalah:

$$t_{bp} \geq \sqrt{\frac{4M_{pl}}{\phi f_y}}$$

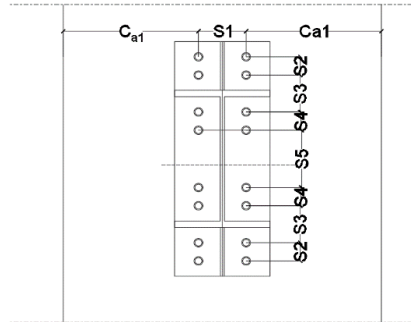
$$t_{bp} = \sqrt{\frac{4 \times 12444.55}{0.9 \times 240}} = 15.18 \text{ mm} \cong 20 \text{ mm}$$

### 5.3.10 Perhitungan Baut Angkur

Perhitungan baut angkur terhadap tarik dan geser mengacu pada ACI 318M-14 pasal 17. Data untuk perencanaan baut angkur sebagai berikut :

**Tabel 5. 23** Data Perencanaan Baut Angkur

Tebal Pelat (t)	20	mm
ϕ baut A449(mm)	M36	
Fu	724	Mpa
Fy	558	Mpa
nt	0,24	ulir/mm
heff	250	mm
ca1	200	mm
Abrg	89,92	mm <sup>2</sup>
S1	140	mm



**Gambar 5. 34** Jarak antara baut untuk sambungan *End-Plate*

- Merencanakan Baut Angkur

<b>Tebal Pelat (t)</b>	35 mm	
<b>ϕ baut A449(mm)</b>	M22	
<b>Fu</b>	724	Mpa
<b>Fy</b>	558	Mpa
<b>nt</b>	0.35	ulir/mm
<b>heff</b>	700	mm
<b>ca1</b>	300	mm
<b>Abrg</b>	1.12	mm <sup>2</sup>
<b>S2</b>	80	mm
<b>S1</b>	150	mm

Kuat tarik baut

$$\begin{aligned} A_{se,N} &= \frac{\pi}{4}(d - 0.9743/n)^2 \\ &= 291,05 \text{ mm}^2 \end{aligned}$$

$$\begin{aligned} \varnothing N_{sa} &= A_{se,N} \cdot F_y \\ &= 433,31 \text{ kN} \end{aligned}$$

Jika terdapat 12 buah angkur

$$\begin{aligned}\text{ØNsa} &= 433,31 \text{ kN.12} \\ &= 5018,97 \text{ k N}\end{aligned}$$

- Kuat jebol beton terhadap Tarik

$$\begin{aligned}\text{Anc} &= (2 \times 1.5h_{ef} + s_2) \times (c_{a1} + s_1 + 1.5h_{ef}) \\ &= 3911700 \text{ mm}^2 \\ \text{Anco} &= 9h_{ef}^2 \\ &= 4410000 \text{ mm}^2\end{aligned}$$

$\psi_{ecn}$	<b>1</b>	<b>(Beton retak)</b>
$\psi_{c,N}$	1	(Gaya tarik dipusat angkur)
$\psi_{cp,N}$	1	(Beton cor ditempat)

$$\begin{aligned}\Psi_{ed,N} &= 0.7 + 0.3 \frac{c_{a,min}}{1.5h_{ef}} \\ &= 0,74\end{aligned}$$

$\lambda_a = 1.0$  (beton normal angkur cor ditempat)

$$\begin{aligned}\text{Nb} &= 10\lambda_a \sqrt{f'_c} h_{ef}^{5/3} \\ &= 14300,82 \text{ kN}\end{aligned}$$

$$\begin{aligned}\text{ØNcgb} &= \frac{A_{Nc}}{A_{Nco}} \cdot \Psi_{ed,N} \cdot \Psi_{c,N} \cdot \Psi_{cp,N} \cdot N_b \\ &= 7067,32 \text{ kN}\end{aligned}$$

- Kuat cabut beton terhadap tarik

$$\begin{aligned}\text{ØNpn} &= 0.9 \times f'_c \times e_h \times d_a \\ &= 6299,85 \text{ kN}\end{aligned}$$

- Kuat ambrol muka tepi beton terhadap tarik

Posisi baut angkur dipinggir  $h_{ef} = 700 \text{ mm} < 2.5C_{a1} = 375 \text{ mm}$  maka pengaruh ambrol muka tepi beton perlu dievaluasi.

- Kuat baut angkur terhadap geser

$$A_{se,V} = A_{se,N}$$

$\text{Ø} = 0,65$  (untuk baja daktail terhadap geser)

$$\begin{aligned}\text{ØVsa} &= 0,65 \times 0,6 \times A_{se,V} \times f_{uta} \\ &= 4380,25 \text{ k N}\end{aligned}$$

- Kuat rompal beton terhadap geser

$$K_{cp} = 2 \text{ (untuk Heff}>500\text{mm)}$$

$$\begin{aligned}V_{cp} &= k_{cp} \times N_{cp} \\ &= 20021,15 \text{ kN}\end{aligned}$$

- Kuat jebol (*breakout*) beton terhadap geser

$\Psi_{ed,V}$	<b>1</b>	
$\psi_{cec,V}$	1	(Beton belum retak)
$\psi_{eh,V}$	1	(tidak dibatasi ketebalan beton)

$$\begin{aligned} Avc &= (2 \times 1.5c_{a1.1} + s_2)1.5c_{a1.1} \\ &= 195750 \text{ mm}^2 \end{aligned}$$

$$\begin{aligned} Avco &= 4.5c_{a1}^2 \\ &= 101250 \text{ mm}^2 \end{aligned}$$

$$\begin{aligned} Vb &= 0.6 \left( \frac{l_e}{d_a} \right)^{0.2} \sqrt{d_a} \lambda_a \sqrt{f'_c} C_{a1}^{1.5} \\ &= 4601,71 \text{ kN} \end{aligned}$$

$$\begin{aligned} \emptyset V_{cp} &= \frac{A_{vc}}{A_{vco}} \times \Psi_{ec,V} \times \Psi_{ed,V} \times \Psi_{c,V} \times \Psi_{h,V} \times V_b \\ &= 6672,48 \text{ kN} \end{aligned}$$

- Rangkuman kuat batas angkur

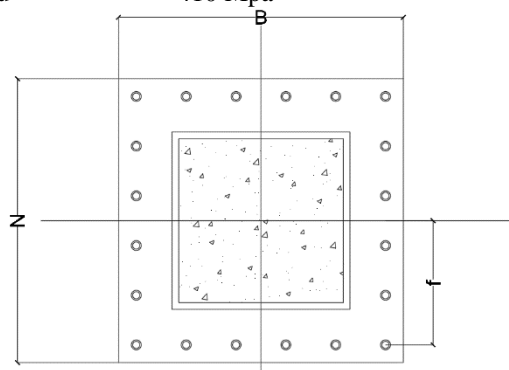
**Tabel 5. 24** Rangkuman Kuat Batas Angkur

Kondisi Batas	Kapasitas (Kn)	Gaya Terfaktor(Kn)	Rasio
<b>Kuat Tarik Baut</b>	5199,768031	5149,04	0,990
<b>Kuat jebol beton terhadap tarik</b>	6442,70	5149,04	0,799
<b>Kuat Cabut Beton Terhadap Tarik</b>	317223,65	5149,04	0,016
<b>Kontrol Baut Angkur Terhadap Geser</b>	4538,05	743,8155	0,164
<b>Kontrol Jebol Beton Terhadap Geser</b>	3917,13	743,8155	0,190
<b>Kuat Jebol Breakout Terhadap Geser</b>	13543,48	743,8155	0,055

### 5.3.11 Perhitungan Base plate

Pada Gedung 4 Universitas Ciputra direncanakan menggunakan dimensi sebagai berikut :

Bkolom	= 1000 mm
Hkolom	= 1000 mm
N	= 800 mm
B	= 800 mm
F'c	= 35 Mpa
Fy	= 250 Mpa
Fu	= 410 Mpa



Gambar 5. 35 Geometri Penampang Base Plate

Berdasarkan hasil analisa struktur didapatkan gaya dalam sebagai berikut :

$$P_u = 9417,9 \text{ kN}$$

$$M_{uy} = 3857,57 \text{ kN}$$

$$M_{ux} = 3857,57 \text{ kN}$$

$$V_n = 646,72 \text{ kN}$$

- Perencanaan akibat beban sumbu x

Jarak angkur terjauh ke sumbu x As kolom :

$$F = 350 \text{ mm}$$

$$Ex = \frac{M_{ux}}{P_u}$$

$$= 409,6 \text{ mm}$$

Kontrol kuat tumpu beton

$$F_{pa} = \frac{P_u}{B \times N}$$

$$= 14,72 \text{ Mpa}$$

$$\begin{aligned} F_{pmax} &= \emptyset \times 0.85 \times f'_c \\ &= 26,775 \text{ Mpa} \end{aligned}$$

$F_{pa} < F_{pmax}$  **(Memenuhi)**

Gaya pada angkur

$$\begin{aligned} q_{max} &= F_{pmax} \times B \\ &= 21420 \text{ N/mm} \end{aligned}$$

$$Y = \left( \frac{N}{2} + f \right) \pm \sqrt{\left( \frac{N}{2} + f \right)^2 - \left( \frac{2 \times P_u \times (e+f)}{q_{max}} \right)}$$

$$Y_1 = 1237,52 \text{ mm}$$

$$Y_2 = 262,48 \text{ mm} \quad \textbf{(Digunakan)}$$

Gaya pada angkur

$$\begin{aligned} T_u &= q_{max} \cdot Y - P_u \\ &= 3795634 \text{ N} \end{aligned}$$

Kuat Perlu Base Plate

$$\begin{aligned} m &= \frac{N - (0,95 \times h_{kolom})}{2} \\ &= 162,5 \text{ mm} \end{aligned}$$

$$\begin{aligned} n &= \frac{N - (0,8 \times h_{kolom})}{2} \\ &= 200 \text{ mm} \quad \textbf{(Menentukan)} \end{aligned}$$

$$\begin{aligned} \lambda_n &= \frac{1}{4} \times \lambda \times \sqrt{h_{kol} \times b_{kol}} \\ &= 125 \text{ mm} \end{aligned}$$

$$\begin{aligned} M_{pl} &= \frac{1}{2} \times f_p \times l_2 \\ &= \frac{1}{2} \times 14,7 \times 4000 \\ &= 294309,375 \text{ N.mm} \end{aligned}$$

Desain Tebal base plate

Kondisi batas leleh :

$$\begin{aligned} t_p &\geq \sqrt{\frac{4M_{pl}}{\emptyset f_y}} \\ t_p &> \sqrt{\frac{4 \times 12444.55}{0.9 \times 240}} = 72,33 \end{aligned}$$

Kondisi desak

$$t_p \geq 1,5 \times m \times \sqrt{\frac{f_{pl}}{y_p}}$$

$$t_p > 59,14 \text{ mm}$$

Kondisi Tarik

$$t_p \geq 1,5 \times \sqrt{\frac{T_u}{Nb \times F_y}}$$

$$t_p > 58,44 \text{ mm}$$

Maka digunakan tebal pelat landas = 75 mm

- Perencanaan Akibat Beban sumbu Y  
Jarak angkur terjauh ke sumbu y As kolom :

$$F = 350 \text{ mm}$$

$$\begin{aligned} Ex &= \frac{M_{ux}}{P_u} \\ &= 409,6 \text{ mm} \end{aligned}$$

Kontrol kuat tumpu beton

$$\begin{aligned} F_{pa} &= \frac{P_u}{BxN} \\ &= 14,72 \text{ Mpa} \end{aligned}$$

$$\begin{aligned} F_{pmax} &= \emptyset \times 0.85 \times f'_c \\ &= 26,775 \text{ Mpa} \end{aligned}$$

$F_{pa} < F_{pmax}$  **(Memenuhi)**

Gaya pada angkur

$$\begin{aligned} q_{max} &= F_{pmax} \times B \\ &= 21420 \text{ N/mm} \end{aligned}$$

$$Y = \left( \frac{N}{2} + f \right) \pm \sqrt{\left( \frac{N}{2} + f \right)^2 - \left( \frac{2 \times P_u \times (e+f)}{q_{max}} \right)}$$

$$Y_1 = 1237,52 \text{ mm}$$

$$Y_2 = 262,48 \text{ mm} \quad \text{(Digunakan)}$$

Gaya pada angkur

$$\begin{aligned} Tu &= q_{max} \cdot Y - P_u \\ &= 3795634 \text{ N} \end{aligned}$$

Kuat Perlu Base Plate

$$\begin{aligned} m &= \frac{N - (0,95 \times h_{kolom})}{2} \\ &= 162,5 \text{ mm} \end{aligned}$$

$$\begin{aligned}
 n &= \frac{N - (0,8 \times h_{kolom})}{2} \\
 &= 200 \text{ mm} \quad (\text{Menentukan}) \\
 \lambda n' &= \frac{1}{4} \times \lambda \times \sqrt{h_{kolom} \times b_{kol}} \\
 &= 125 \text{ mm} \\
 M_{pl} &= \frac{1}{2} \times f_p \times l_2 \\
 &= \frac{1}{2} \times 14,7 \times 4000 \\
 &= 294309,375 \text{ N.mm}
 \end{aligned}$$

Desain Tebal base plate

Kondisi batas leleh :

$$\begin{aligned}
 t_p &\geq \sqrt{\frac{4M_{pl}}{\phi f_y}} \\
 t_p &> \sqrt{\frac{4 \times 12444,55}{0,9 \times 240}} = 72,33
 \end{aligned}$$

Kondisi desak

$$t_p \geq 1,5 \times m \times \sqrt{\frac{f_{pl}}{y_p}}$$

$$t_p > 59,14 \text{ mm}$$

Kondisi Tarik

$$t_p \geq 1,5 \times \sqrt{\frac{T_u}{Nb \times F_y}}$$

$$t_p > 58,44 \text{ mm}$$

Maka digunakan tebal pelat landas = 75 mm

- Perencanaan Las Penyambung Kolom ke Base Plate  
Mutu kawat las E60xx
 

F <sub>exx</sub>	= 430 Mpa
F <sub>nw</sub>	= 0,6 x F <sub>exx</sub>
	= 0,6 x 430
	= 258 Mpa
a	= 0,75 x t <sub>kolom</sub>
	= 0,75 x 19 mm
	= 14,3 mm

$$\begin{aligned}te &= 0,707 \times 14,3 \text{ mm} \\&= 10,11 \approx 11 \text{ mm}\end{aligned}$$

Kekuatan las berdasarkan leleh Tarik

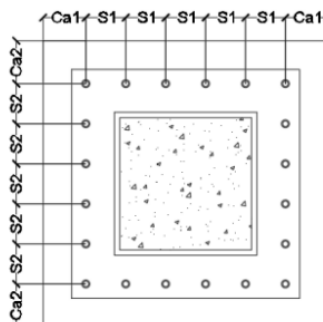
$$\begin{aligned}\emptyset R_n &= 0,8 \times F_{nw} \times te \\&= 0,8 \times 258 \times 11 \\&= 2129 \text{ N/mm} \\&= 2,129 \text{ kN/mm}\end{aligned}$$

Karena sambungan las direncanakan menggunakan konfigurasi las balans, maka nilai kuat leleh Tarik :

$$\emptyset R_n \times 2 = 2,129 \times 2 = 4,257 \text{ kN/mm}$$

$$\begin{aligned}L_{\text{las}} &= \frac{P_u}{\emptyset R_n} \\&= 2212,33 \text{ mm}\end{aligned}$$

- Perencanaan Baut Angkur



**Gambar 5. 36 Geometri Pemasangan Baut Angkur**

Teβαλ Pelat (t)	35		mm
f baut A449(mm)	M22		
Fu	724	Mpa	
Fy	558	Mpa	
nt	0.35	ulir/mm	
heff	700	mm	
cal	300	mm	
Abrg	1.12	mm <sup>2</sup>	
S2	80	mm	

S1	150	mm
----	-----	----

- Kuat tarik baut

$$\begin{aligned} A_{se,N} &= \frac{\pi}{4}(d - 0.9743/n)^2 \\ &= 291,05 \text{ mm}^2 \end{aligned}$$

$$\begin{aligned} \emptyset N_{sa} &= A_{se,N} \cdot F_y \\ &= 158,04 \text{ kN} \end{aligned}$$

Jika terdapat 16 buah angkur

$$\begin{aligned} \emptyset N_{sa} &= 158,04 \text{ kN} \cdot 16 \\ &= 2528,63 \text{ kN} \end{aligned}$$

- Kuat jebol beton terhadap Tarik

$$\begin{aligned} A_{nc} &= (2 \times 1.5h_{ef} + s_2) \times (c_{a1} + s_1 + 1.5h_{ef}) \\ &= 5985000 \text{ mm}^2 \end{aligned}$$

$$\begin{aligned} A_{nco} &= 9h_{ef}^2 \\ &= 4410000 \text{ mm}^2 \end{aligned}$$

$\psi_{ecn}$	<b>1</b>	<b>(Beton retak)</b>
$\psi_{c,N}$	1	(Gaya tarik dipusat angkur)
$\psi_{cp,N}$	1	(Beton cor ditempat)

$$\begin{aligned} \Psi_{ed,N} &= 0.7 + 0.3 \frac{c_{a,min}}{1.5h_{ef}} \\ &= 0,79 \end{aligned}$$

$\lambda_a = 1.0$  (beton normal angkur cor ditempat)

$$\begin{aligned} N_b &= 10\lambda_a \sqrt{f'_c h_{ef}}^{5/3} \\ &= 20822,47 \text{ kN} \end{aligned}$$

$$\begin{aligned} \emptyset N_{cbg} &= \frac{A_{Nc}}{A_{Nco}} \cdot \Psi_{ed,N} \cdot \Psi_{c,N} \cdot \Psi_{cp,N} \cdot N_b \\ &= 16652,67 \text{ kN} \end{aligned}$$

- Kuat cabut beton terhadap tarik

$$\begin{aligned} \emptyset N_{pn} &= 0.9 \times f'_c \times e_h \times d_a \\ &= 5273,18 \text{ kN} \end{aligned}$$

- Kuat ambrol muka tepi beton terhadap tarik

Posisi baut angkur dipinggir  $h_{ef} = 750 \text{ mm} < 2.5c_{a1} = 750 \text{ mm}$  maka pengaruh ambrol muka tepi beton tidak perlu dievaluasi.

- Kuat baut angkur terhadap geser

$$A_{se,V} = A_{se,N}$$

$\emptyset = 0,65$  (untuk baja daktail terhadap geser)

$$\emptyset V_{sa} = 0,65 \times 0,6 \times A_{se,V} \times f_{uta}$$

$$= 2207,1 \text{ k N}$$

- Kuat rompal beton terhadap geser

$$K_{cp} = 2 \text{ (untuk } H_{eff} > 500\text{mm)}$$

$$V_{cp} = k_{cp} \times N_{cp}$$

$$= 29151,46 \text{ k N}$$

- Kuat jebol (*breakout*) beton terhadap geser

$\Psi_{ed,V}$	<b>1</b>	
$\psi_{cec,V}$	1	(Beton belum retak)
$\psi_{ch,V}$	1	(tidak dibatasi ketebalan beton)

$$A_{vc} = (2 \times 1.5c_{a1.1} + s_2)1.5c_{a1.1}$$

$$= 592875 \text{ mm}^2$$

$$A_{vco} = 4.5c_{a1}^2$$

$$= 405000 \text{ mm}^2$$

$$V_b = 0.6 \left( \frac{l_e}{d_a} \right)^{0.2} \sqrt{d_a} \lambda_a \sqrt{f'_c} C_{a1}^{1.5}$$

$$= 12730,75 \text{ kN}$$

$$\emptyset V_{cp} = \frac{A_{vc}}{A_{vco}} \times \Psi_{ec,V} \times \Psi_{ed,V} \times \Psi_{c,V} \times \Psi_{h,V} \times V_b$$

$$= 13977,3 \text{ kN}$$

- Rangkuman kuat batas angkur

Kondisi Batas	Kapasitas (Kn)	Gaya Terfaktor(Kn)	Rasio
Kuat Tarik Baut	2528.63	2463.91	0.974
Kuat jebol beton terhadap tarik	16652.67	2463.91	0.148
Kuat Cabut Beton Terhadap Tarik	5273.18	2463.91	0.467
Kontrol Baut Angkur Terhadap Geser	2207.10	2463.91	1.116
Kontrol Jebol Beton Terhadap	29151.46	2463.91	0.085

Geser			
Kuat Jebol Breakout Terhadap Geser	13977.30	2463.91	0.176

#### 5.4 Perhitungan Struktur Bawah

Perhitungan struktur bawah adalah tahapan untuk menganalisa kelayakan dari segi kekuatan struktur yang ada dibawah permukaan tanah. Analisa struktur bawah terbagi menjadi 3 bagian, yaitu tiang pancang, pile cap, dan sloof. Perhitungan struktur pondasi, dimensi poer dan jumlah tiang pancang dihitung berdasarkan data yang ada dan besarnya gaya yang terjadi pada titik gaya aksial terbesar sehingga menciptakan pondasi yang efisien.

##### 5.4.1 Data Perencanaan Tiang Pancang

Untuk perhitungan tiang pancang menggunakan tiang pancang produk dari PT. Wika Beton yang memiliki spesifikasi sebagai berikut :

**Tabel 5. 25** Data Perencanaan Tiang Pancang

Mutu Beton, f'c	=	50	MPa
Diameter Tiang Pancang	=	500	mm
Ketebalan dinding	=	75	mm
Luas penampang	=	1963,50	cm <sup>2</sup>

**Classification**

Outside Diameter (mm)	Wall Thickness (mm)	Class	Concrete Cross Section (cm <sup>2</sup> )	Unit Weight (Kg/m)	Length L (m)	Bending Moment Crack (Ton.m)	Moment Ultimate (Ton.m)	Allowable Axial Load (Ton)
300	60	A2	452	113	6 - 13	2.50	3.75	72.60
		A3				3.00	4.50	70.75
		B				3.50	6.30	67.50
		C				4.00	8.00	65.40
350	65	A1	582	145	6 - 15	3.50	5.25	93.10
		A3				4.20	6.30	89.50
		B				5.00	9.00	86.40
		C				6.00	12.00	85.00
400	75	A2	766	191	6 - 16	5.50	8.25	121.10
		A3				6.50	9.75	117.60
		B				7.50	13.50	114.40
		C				9.00	18.00	111.50
450	80	A1	930	232	6 - 16	7.50	11.25	149.50
		A2				8.50	12.75	145.80
		A3				10.00	15.00	143.80
		B				11.00	19.80	139.10
		C				12.50	25.00	134.90
500	90	A1	1159	290	6 - 16	10.50	15.75	185.30
		A2				12.50	18.75	181.70
		A3				14.00	21.00	178.20
		B				15.00	27.00	174.90
		C				17.00	34.00	169.00
600	100	A1	1571	393	6 - 16	17.00	25.50	252.70
		A2				19.00	28.50	249.00
		A3				22.00	33.00	243.20
		B				25.00	45.00	238.30
		C				29.00	58.00	229.50
800	120	A1	2564	641	6 - 24	40.70	63.60	415.00
		A2				46.20	84.40	406.20
		A3				51.00	97.00	398.20
		B				55.70	108.20	390.80
		C				70.60	129.80	367.60

**Gambar 5. 37** Brosur Spesifikasi Tiang Pancang PT.

Wika Beton

Berat penampang	=	290	kg/m
P ijin bahan	=	185,3	T
Luas tiang pancang, $A_p$	=	0,196	$m^2$
Keliling tiang pancang, P	=	1,57	m
Kedalaman rencana	=	25	m
N-SPT Ujung Tiang	=	50	
<i>Bennding Mom.Crack</i>	=	10,5	ton.m
<i>Bennding Mom.Ult</i>	=	15,75	ton.m
Allowable Axial Load	=	185,3	ton
Ultimate Axial Load	=	370,6	ton

#### 5.4.2 Perhitungan Daya Dukung Tanah

Tujuan menghitung daya dukung tanah adalah untuk menentukan p ijin yang terjadi pada tiang pancang, berikut perhitungan daya dukung tanah :

1. Mencari Daya Dukung Pada Ujung Tiang

Harga N rata-rata pada jarak 4D dari ujung tiang :

$$4D = 4 \times 0,5 = 2 \text{ m} \text{ (jadi diambil } 3 \text{ m rata-rata SPT diatas)}$$

$$\bar{N}_2 = \frac{50 + 42 + 37}{3} = 46,5$$

$$\bar{N} = \frac{N_1 + \bar{N}_2}{2} = \frac{44 + 33,75}{2} = 38,38$$

Panjang ekivalen dari penetrasi didapatkan melalui grafik N-SPT sebesar 4 m

Oleh karena itu nilai dari  $l/d = 4000 / 500 = 8$

Dari grafik  $l/d$  didapatkan bahwa nilai  $qd / N = 22$

Maka nilai daya dukung tanah pada ujung tiang,

$$qd = 22 \times N = 22 \times 50 = 1100 \text{ ton}$$

$$Qd = qd \times A_p = 1100 \times 0,19653 = 215,98 \text{ ton}$$

2. Menghitung Daya Dukung Tanah Geser (Friksi)

Pada kedalaman 25 meter dibawah permukaan tanah memiliki jenis tanah kerikil berbatu berpasir dimana hal tersebut menurut intensitas gaya geser pada dinding tiang (gambar 11) didapatkan faktor skala sebesar 22

Pada kedalaman 25 m dibawah permukaan tanah

elah dihitung besar gaya geser dinding pondasi tiang adalah sebesar 110,46 ton.

Maka nilai dari gaya geser dinding pondasi tiang sebagai berikut:

$$Qs_{24} = 24 \times A_{selimut} \times fs$$

$$Qs_{25} = 110,46 + (\pi \cdot 0,5 \cdot 1 \times 22) = 145 \text{ ton}$$

3. Menghitung Total Daya Dukung Tanah

$$Pu = Qd + Qs_{12} = 215,1 + 145 = 360,72 \text{ ton}$$

4. Kontrol Kekuatan Tekan Ultimate Bahan

Allowable Axial Ultimate Tiang > Pu

$$505,4 \text{ ton} > 360,72 \text{ ton}$$

5. Kapasitas Ijin Pondasi Tiang Pancang

$$\text{Pijin} = 360,72 \text{ ton} / 2 = 180,49 \text{ ton} \text{ (beban gempa)}$$

$$\text{Pijin} = 360,72 \text{ ton} / 3 = 120,33 \text{ ton} \text{ (beban tanpa gempa)}$$

#### 5.4.3 Perhitungan Pondasi Tipe 1

Pondasi tipe 1 untuk 1 pilecap berisi sebanyak 9 tiang pancang untuk menahan efisiensi gaya yang diterima.

##### 1. Perencanaan Dimensi Poer

Pada perencanaan pondasi tiang pancang dalam menghitung jarak antar tiang pancang (S) menurut "Mekanika Tanah dalam Praktek Rekayasa – Jilid 2 (Karl Terzaghi dan Ralph B. Peck)" menyebutkan bahwa :

Perhitungan jarak antar tiang pancang (S)

$$S \geq 2,5 D$$

$$S \geq 2,5 \cdot 60 = 125 \text{ cm}$$

$$\text{Maka pakai}, S = 3 \times D = 3 \times 60 \text{ cm} = 150 \text{ cm}$$

Perhitungan jarak tiang ke tepi poer (S')

$$S' \geq 1 D$$

$$S' \geq 1 \cdot 50 = 60 \text{ cm}$$

$$\text{Maka pakai}, S' = 1 \times D = 60 \text{ cm}$$

Sehingga total lebar pilecap :

$$h = 3,9 \text{ m}$$

$$b = 3,9 \text{ m}$$

$$t = 1 \text{ m}$$

##### 2. Gaya yang Terjadi pada Pondasi

Gaya dalam akibat beban struktur atas akan diambil dari analisa struktur dengan program bantu SAP2000 pada joint kolom as 1-B' (K2 600X600) sebagai berikut :

- Akibat beban tetap (1DL + 1LL)

$$P = 1363,65 \text{ ton}$$

$$\begin{aligned}
 M_x &= -0,01 \text{ ton.m} \\
 M_y &= 3,36 \text{ ton.m} \\
 V_x &= -0,31 \text{ ton} \\
 V_y &= 0,30 \text{ ton} \\
 \Sigma M_x &= M_x + V_y \cdot d \\
 &= 0,29 \text{ ton.m} \\
 \Sigma M_y &= M_y + V_x \cdot d \\
 &= 3,05 \text{ ton.m}
 \end{aligned}$$

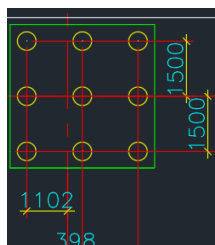
- Akibat beban sementara arah x (1DL + 1LL + 1Ex)
 
$$\begin{aligned}
 P &= 859,14 \text{ ton} \\
 M_x &= 11,24 \text{ ton.m} \\
 M_y &= 266,81 \text{ ton.m} \\
 V_x &= -5,06 \text{ ton} \\
 V_y &= 2,35 \text{ ton} \\
 \Sigma M_x &= M_x + V_y \cdot d \\
 &= 13,59 \text{ ton.m} \\
 \Sigma M_y &= M_y + V_x \cdot d \\
 &= 261,75 \text{ ton.m}
 \end{aligned}$$
- Akibat beban sementara arah y (1DL + 1LL + 1Ey)
 
$$\begin{aligned}
 P &= 875,45 \text{ ton} \\
 M_x &= 8,13 \text{ ton.m} \\
 M_y &= 440,26 \text{ ton.m} \\
 V_x &= -1,97 \text{ ton} \\
 V_y &= 4,95 \text{ ton} \\
 \Sigma M_x &= M_x + V_y \cdot d \\
 &= 8,13 \text{ ton.m} \\
 \Sigma M_y &= M_y + V_x \cdot d \\
 &= 440,26 \text{ ton.m}
 \end{aligned}$$

### 3. Perhitungan Daya Dukung Tiang Pancang Berdasarkan Efisiensi

Berdasarkan “Analisa dan Desain Pondasi – Jilid 2 (Joseph E Bowles)”, Perhitungan daya dukung poer berdasarkan efisiensi adalah sebagai berikut :

Metode Converce-Labarre

$$\eta = 1 - \left\{ \operatorname{arctg} \left( \frac{D}{S} \right) \left( \frac{(m-1).n + (n-1).m}{90.m.n} \right) \right\}$$



Gambar 5. 38 Jarak Tiang Pancang Pondasi Tipe 1

Dimana :

$$D = \text{Diameter tiang pancang} = 0,5 \text{ m}$$

$$S = \text{Jarak antar tiang pancang} = 1,5 \text{ m}$$

$$m = \text{Jumlah baris tiang dalam grup} = 3$$

$$n = \text{Jumlah kolom tiang dalam grup} = 9$$

Sehingga,

$$\eta = 1 - \left\{ arctg \left( \frac{0,5}{1,5} \right) \left( \frac{(9-1).3 + (3-1).9}{90.2.9} \right) \right\} = 0,681$$

$$P_{ijin \text{ kelompok}} = \eta \times P_{ijin}$$

$$= 0,681 \times 360,98 = 245,96 \text{ ton (bebani gempa)}$$

#### 4. Perhitungan Daya Dukung Tiang dalam Kelompok

**Tabel 5. 26** Jarak Tiap Pancang Terhadap Titik Berat *Pilecap*

No	x	$x^2$	y	$y^2$
1	-1,5	2,25	1,5	2,25
2	0	0	1,5	2,25
3	1,5	2,25	1,5	2,25
4	-1,5	2,25	0	0
5	0	0	0	0
6	1,5	2,25	0	0
7	-1,5	2,25	-1,5	2,25
8	0	0	-1,5	2,25
9	1,5	2,25	-1,5	2,25
	$\Sigma x^2 =$	13,5	$\Sigma y^2 =$	13,5

- Perhitungan akibat beban tetap :

$$P_{max} = \frac{P}{n} \pm \frac{M_{x,y_{max}}}{y_i^2} \pm \frac{M_{y,x_{max}}}{x_i^2}$$

$$P1 = \frac{1363,65}{9} + \frac{0,29 \cdot 1,5}{13,5} + \frac{3,05 \cdot -1,5}{13,5}$$

$$= 151,49 \text{ ton} < 245,96 \text{ ton} \quad (\text{OK})$$

$$P2 = \frac{1363,65}{9} + \frac{0,29 \cdot 1,5}{13,5} + \frac{3,05 \cdot 0}{13,5}$$

$$= 151,52 \text{ ton} < 245,96 \text{ ton} \quad (\text{OK})$$

$$P3 = \frac{1363,65}{9} + \frac{0,29 \cdot 1,5}{13,5} + \frac{3,05 \cdot 1,5}{13,5}$$

$$= 151,54 \text{ ton} < 245,96 \text{ ton} \quad (\text{OK})$$

$$P4 = \frac{1363,65}{9} + \frac{0,29 \cdot 0}{13,5} + \frac{3,05 \cdot -1,5}{13,5}$$

$$= 151,49 \text{ ton} < 245,96 \text{ ton} \quad (\text{OK})$$

$$\begin{aligned}
 P5 &= \frac{1363.65}{9} + \frac{0.29 \cdot 0}{13.5} + \frac{3.05 \cdot 0}{13.5} \\
 &= 151.52 \text{ ton} < 245.96 \text{ ton} && (\text{OK}) \\
 P6 &= \frac{1363.65}{9} + \frac{0.29 \cdot 0}{13.5} + \frac{3.05 \cdot 1.5}{13.5} \\
 &= 151.54 \text{ ton} < 245.96 \text{ ton} && (\text{OK}) \\
 P7 &= \frac{1363.65}{9} + \frac{0.29 \cdot -1.5}{13.5} + \frac{3.05 \cdot -1.5}{13.5} \\
 &= 151.49 \text{ ton} < 245.96 \text{ ton} && (\text{OK}) \\
 P8 &= \frac{1363.65}{9} + \frac{0.29 \cdot -1.5}{13.5} + \frac{3.05 \cdot 0}{13.5} \\
 &= 151.51 \text{ ton} < 245.96 \text{ ton} && (\text{OK}) \\
 \\
 P9 &= \frac{1363.65}{9} + \frac{0.29 \cdot -1.5}{13.5} + \frac{3.05 \cdot 1.5}{13.5} \\
 &= 151.54 \text{ ton} < 245.96 \text{ ton} && (\text{OK})
 \end{aligned}$$

• Perhitungan akibat beban sementara arah X :

$$\begin{aligned}
 P_{max} &= \frac{P}{n} \pm \frac{M_x \cdot y_{max}}{y_i^2} \pm \frac{M_y \cdot x_{max}}{x_i^2} \\
 P1 &= \frac{859.14}{9} + \frac{13.59 \cdot 1.5}{13.5} + \frac{261.75 \cdot -1.5}{13.5} \\
 &= 93.42 \text{ ton} < 245.96 \text{ ton} && (\text{OK}) \\
 P2 &= \frac{859.14}{9} + \frac{13.59 \cdot 1.5}{13.5} + \frac{261.75 \cdot 0}{13.5} \\
 &= 95.57 \text{ ton} < 245.96 \text{ ton} && (\text{OK}) \\
 P3 &= \frac{859.14}{9} + \frac{13.59 \cdot 1.5}{13.5} + \frac{261.75 \cdot 1.5}{13.5} \\
 &= 97.73 \text{ ton} < 245.96 \text{ ton} && (\text{OK}) \\
 P4 &= \frac{859.14}{9} + \frac{13.59 \cdot 0}{13.5} + \frac{261.75 \cdot -1.5}{13.5} \\
 &= 93.31 \text{ ton} < 245.96 \text{ ton} && (\text{OK}) \\
 P5 &= \frac{859.14}{9} + \frac{13.59 \cdot 0}{13.5} + \frac{261.75 \cdot 0}{13.5} \\
 &= 95.46 \text{ ton} < 245.96 \text{ ton} && (\text{OK}) \\
 P6 &= \frac{859.14}{9} + \frac{13.59 \cdot 0}{13.5} + \frac{261.75 \cdot 1.5}{13.5} \\
 &= 97.61 \text{ ton} < 245.96 \text{ ton} && (\text{OK}) \\
 P7 &= \frac{859.14}{9} + \frac{13.59 \cdot -1.5}{13.5} + \frac{261.75 \cdot -1.5}{13.5} \\
 &= 93.19 \text{ ton} < 245.96 \text{ ton} && (\text{OK}) \\
 P8 &= \frac{859.14}{9} + \frac{13.59 \cdot -1.5}{13.5} + \frac{261.75 \cdot 0}{13.5} \\
 &= 95.35 \text{ ton} < 245.96 \text{ ton} && (\text{OK}) \\
 P9 &= \frac{859.14}{9} + \frac{13.59 \cdot -1.5}{13.5} + \frac{261.75 \cdot 1.5}{13.5} \\
 &= 97.50 \text{ ton} < 245.96 \text{ ton} && (\text{OK})
 \end{aligned}$$

• Perhitungan akibat beban sementara arah Y :

$$\begin{aligned}
 P_{max} &= \frac{P}{n} + \frac{M_{x,y} \cdot y_i^2}{x_i^2} + \frac{M_{y,x} \cdot x_i^2}{y_i^2} \\
 P1 &= \frac{875.45}{9} - \frac{8.13 \cdot 1.5}{13.5} + \frac{440.26 \cdot -1.5}{13.5} \\
 &= 100.96 \text{ ton} < 245.96 \text{ ton} \quad (\text{OK}) \\
 P2 &= \frac{875.45}{9} - \frac{8.13 \cdot 1.5}{13.5} + \frac{440.26 \cdot 0}{13.5} \\
 &= 97.34 \text{ ton} < 245.96 \text{ ton} \quad (\text{OK}) \\
 P3 &= \frac{875.45}{9} - \frac{8.13 \cdot 1.5}{13.5} + \frac{440.26 \cdot 1.5}{13.5} \\
 &= 93.72 \text{ ton} < 245.96 \text{ ton} \quad (\text{OK}) \\
 P4 &= \frac{875.45}{9} - \frac{8.13 \cdot 0}{13.5} + \frac{440.26 \cdot -1.5}{13.5} \\
 &= 100.90 \text{ ton} < 245.96 \text{ ton} \quad (\text{OK}) \\
 P5 &= \frac{875.45}{9} - \frac{8.13 \cdot 0}{13.5} + \frac{440.26 \cdot 0}{13.5} \\
 &= 97.27 \text{ ton} < 245.96 \text{ ton} \quad (\text{OK}) \\
 P6 &= \frac{875.45}{9} - \frac{8.13 \cdot 0}{13.5} + \frac{440.26 \cdot 1.5}{13.5} \\
 &= 93.65 \text{ ton} < 245.96 \text{ ton} \quad (\text{OK}) \\
 P7 &= \frac{875.45}{9} - \frac{8.13 \cdot -1.5}{13.5} + \frac{440.26 \cdot -1.5}{13.5} \\
 &= 100.83 \text{ ton} < 245.96 \text{ ton} \quad (\text{OK}) \\
 P8 &= \frac{875.45}{9} - \frac{8.13 \cdot -1.5}{13.5} + \frac{440.26 \cdot 0}{13.5} \\
 &= 97.21 \text{ ton} < 245.96 \text{ ton} \quad (\text{OK}) \\
 P9 &= \frac{875.45}{9} - \frac{8.13 \cdot -1.5}{13.5} + \frac{440.26 \cdot 1.5}{13.5} \\
 &= 93.58 \text{ ton} < 245.96 \text{ ton} \quad (\text{OK})
 \end{aligned}$$

Geser Pons satu arah akibat kolom

Apabila digunakan tulangan D25 untuk tulangan lentur:

$$d = t_{pile} - t_{decking} - D - D / 2$$

$$d = 1500 \text{ mm} - 75 \text{ mm} - 25 \text{ mm} - 25 \text{ mm} / 2$$

$$d = 1387.5 \text{ mm (Arah X)}$$

$$d = h - t - \text{diameter tul. poer} - \text{diameter tul. poer} / 2$$

$$d = 1150 \text{ mm} - 75 \text{ mm} - 29 \text{ mm} - 29 \text{ mm} / 2$$

$$d = 1031.5 \text{ mm (Arah Y)}$$

Didapatkan dari program bantu ETABS, beban terpusat terbesar kolom akibat beban terfaktor (1DL + 1LL + 1EY):

Beban aksial kolom = 1863.32 ton

Luas *pile cap* = 15.21 m<sup>2</sup>.

$$\text{Qu} = \frac{P_u}{b \cdot h} = \frac{1863.32 \text{ ton}}{15.21 \text{ m}^2} = 122.506 \frac{\text{ton}}{\text{m}^2} = 1.225 \text{ N/mm}^2$$

Gaya geser yang terjadi pada poer, Vu (arah x)

$$\begin{aligned}
 Vu &= Qu \times b \times Lx \\
 L'x &= (0,5 \cdot b_{poer}) - (0,5 \cdot b_{kolom}) - d \\
 &= (0,5 \cdot 3900 \text{ mm}) - (0,5 \cdot 700 \text{ mm}) - 1387,5 \text{ mm} \\
 &= 213 \text{ mm} \\
 Vu_x &= 1,225 \times 3900 \times 213 \\
 &= 1015269.2 \text{ N}
 \end{aligned}$$

Gaya geser yang mampu dipikul beton, Vc (arah x)

$$\begin{aligned}
 Vc &= 0,17 \cdot \sqrt{fc'} \cdot b \cdot d \\
 &= 0,17 \cdot \sqrt{35} \cdot 3900 \text{ mm} \cdot 1387,5 \text{ mm} \\
 &= 5442275.743 \text{ N}
 \end{aligned}$$

$$\Phi Vc = 4081706.808 \text{ N} > Vu = 1406780.185 \text{ N} \\
 (\text{memenuhi})$$

Gaya geser yang terjadi pada poer, Vu (arah y)

$$\begin{aligned}
 Vu &= Qu \times b \times Ly \\
 L'y &= (0,5 \cdot b_{poer}) - (0,5 \cdot b_{kolom}) - d \\
 &= (0,594 \cdot 3000 \text{ mm}) - (0,5 \cdot 1300 \text{ mm}) - 1031,5 \text{ mm} \\
 &= -181,5 \text{ mm}
 \end{aligned}$$

Dalam kontrol geser pons satu arah didapatkan bahwa nilai lengan *pilecap* pada arah Y adalah negatif, dengan demikian geser pons pada *pilecap* tidak terdapat geser pons satu arah.

Geser Pons Dua Arah Akibat Kolom dan Tiang Pancang

Menghitung gaya geser dua arah yang terjadi pada poer, Vu :

$$\begin{aligned}
 At &= (b_{poer} \cdot h_{poer}) - [(b_{kolom} + d) \times (h_{kolom} + d)] \\
 &= (3900 \text{ mm} \cdot 3900 \text{ mm}) - [(700 \text{ mm} + 1387,5 \text{ mm}] \\
 &\quad \times (700 \text{ mm} + 1387,5 \text{ mm})] \\
 &= 10852343.75 \text{ mm}^2
 \end{aligned}$$

$$\begin{aligned}
 Vu &= Qu \cdot At \\
 &= 1,225 \text{ N/mm}^2 \cdot 10852343.75 \text{ mm}^2 \\
 &= 13294781.08 \text{ N} \\
 &= 13294.78108 \text{ kN}
 \end{aligned}$$

Geser Dua Arah Akibat Tiang Pancang

Diketahui beban terpusat terbesar tiang pancang yakni :

$$\begin{aligned}
 Pu &= 1863,32 \text{ ton} \\
 Qu &= \frac{Pu}{b \cdot h} = \frac{1863,32 \text{ ton}}{(3,9 \times 3,9) \text{ m}^2} = 122,506 \text{ ton/m}^2 = 1,225 \text{ N/mm}^2
 \end{aligned}$$

Menghitung gaya geser dua arah yang terjadi di pile cap

$$At = (b_{poer} \cdot h_{poer}) - (n \times A_{tiang})$$

$$At = (3,9 \times 3,9) - (9 \times 196000)$$

$$\begin{aligned}
 At &= 13442854.13 \text{ mm}^2 \\
 Vu &= Qu \times At \\
 Vu &= 1.225 \times 13442854.13 \\
 Vu &= 16468313.84 \text{ N} \\
 Vu &= 16468.31384 \text{ kN}
 \end{aligned}$$

Maka untuk nilai Vu yang dipakai adalah yang terbesar diantara Vu akibat kolom dan Vu akibat tiang pancang, diambil Vu sebesar = 16468.31384 kN.

Berdasarkan SNI 03-2847-2013 Pasal 11.11.2.1 (a), (b), dan (c), untuk perencanaan plat atau pondasi telapak aksi dua arah, nilai Vc harus memenuhi persamaan berikut dengan mengambil nilai Vc terkecil:

$$\triangleright Vc = 0,17 \times \left(1 + \frac{2}{\beta}\right) \times \lambda \times b_o \times d \times \sqrt{fc'}$$

Dimana:

$$B = \text{rasio dari sisi panjang kolom terhadap sisi pendek kolom}$$

$$\beta = 700 \text{ mm} / 700 \text{ mm} = 1$$

$$\begin{aligned}
 bo &= \text{keliling dari penampang kritis} \\
 &= 2 \cdot (b \text{ kolom} + h \text{ kolom}) + 4 d \\
 &= 2 \cdot (700 \text{ mm} + 700 \text{ mm}) + 4 \cdot 1387,5 \text{ mm} \\
 &= 8350 \text{ mm (arah x)}
 \end{aligned}$$

$$\begin{aligned}
 bo &= \text{keliling dari penampang kritis} \\
 &= 2 \cdot (b \text{ kolom} + h \text{ kolom}) + 4 d \\
 &= 2 \cdot (1300 \text{ mm} + 1300 \text{ mm}) + 4 \cdot 1031,5 \text{ mm} \\
 &= 4131,2 \text{ mm (arah y)}
 \end{aligned}$$

$$\lambda = 1 (\text{Untuk beton normal})$$

$$fc' = 35 \text{ MPa}$$

$$\begin{aligned}
 Vc &= 0,17 \left(1 + \frac{2}{1}\right) 1\sqrt{35} \text{ MPa} \cdot 8350 \text{ mm} \cdot 1387,5 \text{ mm} \\
 &= 34956.1557 \text{ kN (arah x)}
 \end{aligned}$$

$$\begin{aligned}
 Vc &= 0,17 \left(1 + \frac{2}{1}\right) 1\sqrt{24,9} \text{ MPa} \cdot 4247,2 \text{ mm} \cdot 1031,5 \text{ mm} \\
 &= 10844.64407 \text{ kN (arah y)}
 \end{aligned}$$

$$\triangleright Vc = 0,083 \times \left(2 + \frac{a_s x d}{b_o}\right) \times \lambda \times b_o \times d \times \sqrt{fc'}$$

Dimana:

$$as = 40 (\text{untuk kolom tengah})$$

$$as = 30 (\text{untuk kolom tepi})$$

$$as = 20 (\text{untuk kolom sudut})$$

Maka :

$$V_c = 0,083 \left( \frac{40 \times 1387,5}{8350} + 2 \right) 1\sqrt{35} \cdot 8350 \text{ mm.} 1387,5 \text{ mm}$$

$$V_c = 49190,62085 \text{ kN (arah x)}$$

$$V_c = 0,083 \left( \frac{30 \times 981,5}{3931,2} + 2 \right) 1\sqrt{24,9} \cdot 4247,2 \text{ mm.} 1031,5 \text{ mm}$$

$$V_c = 16849,123 \text{ kN (arah y)}$$

➤  $V_c = 0,33 x \lambda x b_o x d x \sqrt{f c'}$

$$V_c = 0,33 \cdot 1 \cdot 8350 \cdot 1387,5 \cdot \sqrt{35}$$

$$V_c = 22618,68901 \text{ kN (arah x)}$$

➤  $V_c = 0,33 x \lambda x b_o x d x \sqrt{f c'}$

$$V_c = 0,33 \cdot 1 \cdot 4247,2 \cdot 1031,5 \cdot \sqrt{24,9}$$

$$V_c = 7214,156 \text{ kN (arah y)}$$

Maka dipakai yang terkecil dari 3 persamaan tersebut, sehingga dipakai nilai  $V_c = 22618,68901 \text{ kN}$

$$V_u = 16468,31384 \text{ kN} < \phi V_c = 16964,01675 \text{ kN (OK)}$$

## 5. Perencanaan Tulangan Lentur *Pile Cap*

Pada perencanaan tulangan lentur pada *pilecap*, nantinya *pilecap* diasumsikan sebagai balok kantilever dengan perlakuan jepit pada kolom yang dibebani oleh reaksi tiang pancang dan berat sendiri *pilecap*.

Diketahui:

$$b_{pilecap} = 3900 \text{ mm}$$

$$h_{pilecap} = 3900 \text{ mm}$$

$$t_{pilecap} = 1500 \text{ mm}$$

$$\text{Selimut beton} = 75 \text{ mm}$$

$$\text{Diameter tulangan lentur} = 25 \text{ mm}$$

$$dx = 1000 \text{ mm} - 75 \text{ mm} - 25 \text{ mm} / 2 = 912,5 \text{ mm}$$

$$dy = 1000 \text{ mm} - 75 \text{ mm} - 25 \text{ mm} - 25 \text{ mm} / 2 = 887,5 \text{ mm}$$

### Penulangan *pile cap* arah X

Diketahui nilai untuk jarak-jarak sebagai berikut:

$$\begin{aligned} b_1 &= \text{jarak dari ujung } pilecap \text{ ke tepi kolom} \\ &= (3,9 \text{ m} - (0,5 \cdot 3,9 \text{ m} + 0,5 \cdot 0,7 \text{ mm})) = 1,6 \text{ m} \end{aligned}$$

$$\begin{aligned} b_2 &= \text{jarak dari as tiang pancang ke tepi kolom} \\ &= 1,6 \text{ m} - 0,6 \text{ m} = 1 \text{ m} \end{aligned}$$

$$\begin{aligned} Q_u &= \text{berat } pilecap \text{ pada daerah yang ditinjau} \\ &= 2,4 \text{ t/m}^3 \times 1,6 \text{ m} \times 3,9 \text{ m} \times 1,5 \text{ m} = 22,426 \text{ ton} \end{aligned}$$

$$P_u = 245,96 \text{ ton (gaya terbesar pada tiang pancang)}$$

$$M_u = -M_p + M_q$$

$$M_u = -(P \times b_2) + (0,5 \times Q_u \times b_1^2)$$

$$\begin{aligned}
 Mu &= -(245,96 \times 1) + (0,5 \times 22,426 \times 1,6^2) \\
 Mu &= 217,257 \text{ ton.m} \\
 Mu &= 2172573698 \text{ N.mm}
 \end{aligned}$$

$$Rn = \frac{Mn}{\Phi B d^2} = \frac{2172573698}{0,8 \times 3900 \times 912,5^2} = 0,836 \text{ mPa}$$

$$m = \frac{f_y}{0,85 \times f_c'} = \frac{410}{0,85 \times 35} = 13,781$$

$$\rho = \frac{1}{m} \left( 1 - \sqrt{1 - \frac{2m \cdot Rn}{f_y}} \right)$$

$$= \frac{1}{13,781} \left( 1 - \sqrt{1 - \frac{2 \cdot 13,781 \cdot 0,836}{410}} \right) = 0,00207$$

$$\rho_{minimum} = \frac{1,4}{f_y} = \frac{1,4}{410} = 0,003589744$$

Dikarenakan  $\rho < \rho_{minimum}$  maka digunakan  $\rho_{minimum} = 0,00359$

$$A_s = \rho \cdot b \cdot d = 0,00359 \cdot 1000 \text{ mm} \cdot 912,5 \text{ mm} = 3115,853659 \text{ mm}^2$$

Maka pada *pilecap* tulangan lentur direncakan sebagai berikut :  
Diameter tulangan = D 25 - 100

$$A_s \text{ tulangan} = \frac{A_s \text{ perlu} \cdot b}{s} = \frac{3115,8536 \cdot 3900}{100} = 4908,7385 \text{ mm}^2$$

Sehingga  $A_s \text{ tulangan} > A_s \text{ perlu}$  (**OK**)

Maka digunakan **D 25-100**.

### **Penulangan pile cap arah Y**

Diketahui nilai untuk jarak-jarak sebagai berikut:

$$\begin{aligned}
 b1 &= \text{jarak dari ujung pilecap ke tepi kolom} \\
 &= (3,9 \text{ m} - (0,5 \cdot 3,9 \text{ m} + 0,5 \cdot 0,7 \text{ m})) = 1,6 \text{ m}
 \end{aligned}$$

$$\begin{aligned}
 b2 &= \text{jarak dari as tiang pancang ke tepi kolom} \\
 &= 1,6 - 0,6 = 1 \text{ m}
 \end{aligned}$$

$$\begin{aligned}
 Qu &= \text{berat pilecap pada daerah yang ditinjau} \\
 &= 2,4 \text{ t/m}^3 \times 3,9 \text{ m} \times 1,5 \text{ m} \times 1,6 \text{ m} = 22,426 \text{ ton}
 \end{aligned}$$

$$Pu = 245,96 \text{ ton (gaya terbesar pada tiang pancang)}$$

$$Mu = -Mp + Mq$$

$$Mu = -(P \times b2) + (0,5 \times qu \times b1^2)$$

$$Mu = -(245,96 \times 1) + (0,5 \times 22,426 \times 1,6^2)$$

$$\begin{aligned} Mu &= 217.257 \text{ ton.m} \\ Mu &= 2172573698 \text{ Nmm} \end{aligned}$$

$$\begin{aligned} Rn &= \frac{Mn}{\Phi B d^2} = \frac{2172573698}{0,8 \times 3,9 \times 887,5^2} = 0,832 \frac{N}{mm^2} \\ m &= \frac{f_y}{0,85 \times f_{c'}} = \frac{410}{0,85 \times 35} = 13.781 \\ \rho &= \frac{1}{m} \left( 1 - \sqrt{1 - \frac{2m \cdot Rn}{f_y}} \right) \\ &= \frac{1}{13.781} \left( 1 - \sqrt{1 - \frac{2 \cdot 13.781 \cdot 0.832}{410}} \right) = 0.00205 \\ \rho_{minimum} &= \frac{1,4}{f_y} = \frac{1,4}{410} = 0,003589744 \end{aligned}$$

Dikarenakan  $\rho < \rho_{minimum}$  maka digunakan  $\rho_{minimum} = 0,00359$   
 $A_s = \rho \cdot b \cdot d = 0,00359 \cdot 1000 \text{ mm} \cdot 887,5 \text{ mm} = 3030,4878 \text{ mm}^2$

Maka pada *pilecap tulangan* lentur direncakan sebagai berikut :  
Diameter tulangan = D 25 - 100

$$A_s \text{ tulangan} = \frac{As \text{ perlu} \cdot b}{s} = \frac{3030,4878 \cdot 1000}{100} = 4908,7385 \text{ mm}^2$$

Sehingga  $A_s \text{ tulangan} > A_s \text{ perlu}$  (**OK**)

Maka digunakan **D 25-100**.

#### 5.4.4 Perhitungan Pondasi Tipe 2

Pondasi tipe 2 untuk 1 pilecap berisi sebanyak 5 tiang pancang untuk menahan efisiensi gaya yang diterima.

##### 1. Perencanaan Dimensi Poer

Pada perencanaan pondasi tiang pancang dalam menghitung jarak antar tiang pancang (S) menurut "Mekanika Tanah dalam Praktek Rekayasa – Jilid 2 (Karl Terzaghi dan Ralph B. Peck)" menyebutkan bahwa :

Perhitungan jarak antar tiang pancang (S)

$$S \geq 2,5 D$$

$$S \geq 2,5 \cdot 60 = 125 \text{ cm}$$

$$Maka pakai, S = 3 \times D = 3 \times 60 \text{ cm} = 150 \text{ cm}$$

Perhitungan jarak tiang ke tepi poer (S')

$$S' \geq 1 D$$

$$S' \geq 1 \cdot 50 = 60 \text{ cm}$$

Maka pakai,  $S' = 1 \times D = 60 \text{ cm}$

Sehingga total lebar pilecap :

$$h = 2,4 \text{ m}$$

$$b = 3,5 \text{ m}$$

$$t = 1 \text{ m}$$

## 2. Gaya yang Terjadi pada Pondasi

Gaya dalam akibat beban struktur atas akan diambil dari analisa struktur dengan program bantu ETABS sebagai berikut :

- Akibat beban tetap (1DL + 1LL)

$$P = 440,97 \text{ ton}$$

$$M_x = -1,18 \text{ ton.m}$$

$$M_y = -7,57 \text{ ton.m}$$

$$V_x = -0,31 \text{ ton}$$

$$V_y = 0,30 \text{ ton}$$

$$\Sigma M_x = M_x + V_y \cdot d$$

$$= -0,88 \text{ ton.m}$$

$$\Sigma M_y = M_y + V_x \cdot d$$

$$= -7,88 \text{ ton.m}$$

- Akibat beban sementara arah x (1DL + 1LL + 1Ex)

$$P = 652,87 \text{ ton}$$

$$M_x = 16,57 \text{ ton.m}$$

$$M_y = 178,62 \text{ ton.m}$$

$$V_x = -5,06 \text{ ton}$$

$$V_y = 2,35 \text{ ton}$$

$$\Sigma M_x = M_x + V_y \cdot d$$

$$= 18,92 \text{ ton.m}$$

$$\Sigma M_y = M_y + V_x \cdot d$$

$$= 173,55 \text{ ton.m}$$

- Akibat beban sementara arah y (1DL + 1LL + 1Ey)

$$P = 885,10 \text{ ton}$$

$$M_x = 13,16 \text{ ton.m}$$

$$M_y = 280,77 \text{ ton.m}$$

$$V_x = -1,97 \text{ ton}$$

$$V_y = 4,95 \text{ ton}$$

$$\Sigma M_x = M_x + V_y \cdot d$$

$$= 13,16 \text{ ton.m}$$

$$\Sigma M_y = M_y + V_x \cdot d$$

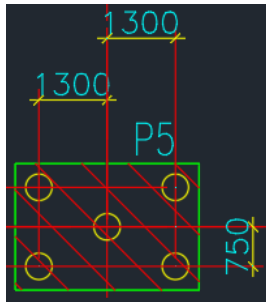
$$= 280,77 \text{ ton.m}$$

### 3. Perhitungan Daya Dukung Tiang Pancang Berdasarkan Efisiensi

Berdasarkan "Analisa dan Desain Pondasi – Jilid 2 (Joseph E Bowles)", Perhitungan daya dukung poer berdasarkan efisiensi adalah sebagai berikut :

Metode Converce-Labarre

$$\eta = 1 - \left\{ arctg \left( \frac{D}{S} \right) \left( \frac{(m-1).n + (n-1).m}{90.m.n} \right) \right\}$$



**Gambar 5.39** Jarak Tiang Pancang Pondasi Tipe II  
Dimana :

D = Diameter tiang pancang = 0,5 m

S = Jarak antar tiang pancang = 1,5 m

m = Jumlah baris tiang dalam grup = 3

n = Jumlah kolom tiang dalam grup = 5

Sehingga,

$$\eta = 1 - \left\{ arctg \left( \frac{0,5}{1,5} \right) \left( \frac{(3-1).5 + (5-1).3}{90.359} \right) \right\} = 0,700$$

$$\begin{aligned} P_{ijin \text{ kelompok}} &= \eta \times P_{ijin} \\ &= 0,700 \times 360,98 = 252,54 \text{ ton (bebani gempa)} \end{aligned}$$

### 4. Perhitungan Daya Dukung Tiang dalam Kelompok

**Tabel 5.27** Jarak Tiap Pancang Terhadap Titik Berat *Pilecap*

No	x	$x^2$	y	$y^2$
1	-1,3	1,69	0,75	0,5625
2	1,3	1,69	0,75	0,5625
3	0	0	0	0
4	-1,3	1,69	-0,75	0,5625
5	1,3	1,69	-0,75	0,5625

	$\Sigma x^2 =$	6,76	$\Sigma y^2 =$	2,25

• Perhitungan akibat beban tetap :

$$\begin{aligned}
 P_{max} &= \frac{P}{n} \pm \frac{M_x y_{max}}{y_i^2} \pm \frac{M_y x_{max}}{x_i^2} \\
 P1 &= \frac{440.97}{5} + \frac{-0,88 \cdot 0,75}{2,25} + \frac{-7,88 \cdot -1,3}{6,76} \\
 &= 88,29 \text{ ton} \quad < \quad 252,54 \text{ ton} \quad (\text{OK}) \\
 P2 &= \frac{440.97}{5} + \frac{-0,88 \cdot 0,75}{2,25} + \frac{-7,88 \cdot 1,3}{6,76} \\
 &= 87,84 \text{ ton} \quad < \quad 252,54 \text{ ton} \quad (\text{OK}) \\
 P3 &= \frac{440.97}{5} + \frac{-0,88 \cdot 0}{2,25} + \frac{-7,88 \cdot 0}{6,76} \\
 &= 88,19 \text{ ton} \quad < \quad 252,54 \text{ ton} \quad (\text{OK}) \\
 P4 &= \frac{440.97}{5} + \frac{-0,88 \cdot -0,75}{2,25} + \frac{-7,88 \cdot -1,3}{6,76} \\
 &= 88,55 \text{ ton} \quad < \quad 252,54 \text{ ton} \quad (\text{OK}) \\
 P5 &= \frac{440.97}{5} + \frac{-0,88 \cdot -0,75}{2,25} + \frac{-7,88 \cdot 1,3}{6,76} \\
 &= 88,10 \text{ ton} \quad < \quad 252,54 \text{ ton} \quad (\text{OK})
 \end{aligned}$$

• Perhitungan akibat beban sementara arah X :

$$\begin{aligned}
 P_{max} &= \frac{P}{n} \pm \frac{M_x y_{max}}{y_i^2} \pm \frac{M_y x_{max}}{x_i^2} \\
 P1 &= \frac{652,87}{5} + \frac{18,92 \cdot 0,75}{2,25} + \frac{173,55 \cdot -1,3}{6,76} \\
 &= 128,44 \text{ ton} \quad < \quad 252,54 \text{ ton} \quad (\text{OK}) \\
 P2 &= \frac{652,87}{5} + \frac{18,92 \cdot 0,75}{2,25} + \frac{173,55 \cdot 1,3}{6,76} \\
 &= 138,32 \text{ ton} \quad < \quad 252,54 \text{ ton} \quad (\text{OK}) \\
 P3 &= \frac{652,87}{5} + \frac{18,92 \cdot 0}{2,25} + \frac{173,55 \cdot 0}{6,76} \\
 &= 130,57 \text{ ton} \quad < \quad 252,54 \text{ ton} \quad (\text{OK}) \\
 P4 &= \frac{652,87}{5} + \frac{18,92 \cdot -0,75}{2,25} + \frac{173,55 \cdot -1,3}{6,76} \\
 &= 122,83 \text{ ton} \quad < \quad 252,54 \text{ ton} \quad (\text{OK}) \\
 P5 &= \frac{652,87}{5} + \frac{18,92 \cdot -0,75}{2,25} + \frac{173,55 \cdot 1,3}{6,76} \\
 &= 132,71 \text{ ton} \quad < \quad 252,54 \text{ ton} \quad (\text{OK})
 \end{aligned}$$

• Perhitungan akibat beban sementara arah Y :

$$\begin{aligned}
 P_{max} &= \frac{P}{n} + \frac{M_x \cdot y_{max}}{y_i^2} + \frac{M_y \cdot x_{max}}{x_i^2} \\
 P1 &= \frac{885.10}{5} - \frac{13,16 \cdot 0,75}{2,25} + \frac{280,77 \cdot -1,3}{6,76} \\
 &= 186,96 \text{ ton} < 252,54 \text{ ton} \quad (\text{OK}) \\
 P2 &= \frac{885.10}{5} - \frac{13,16 \cdot 0,75}{2,25} + \frac{280,77 \cdot 1,3}{6,76} \\
 &= 170,98 \text{ ton} < 252,54 \text{ ton} \quad (\text{OK}) \\
 P3 &= \frac{885.10}{5} - \frac{13,16 \cdot 0}{2,25} + \frac{280,77 \cdot 0}{6,76} \\
 &= 177,02 \text{ ton} < 252,54 \text{ ton} \quad (\text{OK}) \\
 P4 &= \frac{885.10}{5} - \frac{13,16 \cdot -0,75}{2,25} + \frac{280,77 \cdot -1,3}{6,76} \\
 &= 183,06 \text{ ton} < 252,54 \text{ ton} \quad (\text{OK}) \\
 P5 &= \frac{885.10}{5} - \frac{13,16 \cdot -0,75}{2,25} + \frac{280,77 \cdot 1,3}{6,76} \\
 &= 167,08 \text{ ton} < 252,54 \text{ ton} \quad (\text{OK})
 \end{aligned}$$

#### Geser Pons satu arah akibat kolom

Apabila digunakan tulangan D25 untuk tulangan lentur:

$$d = t_{\text{pile}} - t_{\text{decking}} - D - D / 2$$

$$d = 1500 \text{ mm} - 75 \text{ mm} - 25 \text{ mm} - 25 \text{ mm} / 2$$

$$d = 1387,5 \text{ mm (Arah X)}$$

$$d = h - t - \text{diameter tul. poer} - \text{diameter tul. poer} / 2$$

$$d = 1150 \text{ mm} - 75 \text{ mm} - 29 \text{ mm} - 29 \text{ mm} / 2$$

$$d = 1031,5 \text{ mm (Arah Y)}$$

Didapatkan dari program bantu ETABS, beban terpusat terbesar kolom akibat beban terfaktor (1DL + 1LL + 1EY):

Beban aksial kolom = 885.10 ton

Luas *pile cap* = 8,4 m<sup>2</sup>.

$$Qu = \frac{Pu}{b \cdot h} = \frac{885.10 \text{ ton}}{8,4 \text{ m}^2} = 105.368 \frac{\text{ton}}{\text{m}^2} = 1.054 \text{ N/mm}^2$$

#### Gaya geser yang terjadi pada poer, Vu (arah x)

$$Vu = Qu \times b \times Lx'$$

$$L'x = (0,5 \cdot b_{\text{poer}}) - (0,5 \cdot b_{\text{kolom}}) - d$$

$$= (0,5 \cdot 2400 \text{ mm}) - (0,5 \cdot 700 \text{ mm}) - 1387,5 \text{ mm}$$

$$= 538 \text{ mm}$$

$$Vu_x = 1,054 \times 2400 \times 538$$

$$= 1359257,3 \text{ N}$$

#### Gaya geser yang mampu dipikul beton, Vc (arah x)

$$Vc = 0,17 \cdot \sqrt{fc'} \cdot b \cdot d$$

$$= 0,17 \cdot \sqrt{35} \cdot 2400 \text{ mm} \cdot 1387,5 \text{ mm}$$

$$= 3349092,765 \text{ N}$$

$$\Phi V_c = 2511819.574 \text{ N} > V_u = 1359257.3 \text{ N}$$

**(memenuhi)**

Gaya geser yang terjadi pada poer,  $V_u$  (arah y)

$$V_u = Qu \times b \times Ly'$$

$$\begin{aligned} L'y' &= (0,5 \cdot b_{poer}) - (0,5 \cdot b_{kolom}) - d \\ &= (0,594 \cdot 3000 \text{ mm}) - (0,5 \cdot 1300 \text{ mm}) - 1031,5 \text{ mm} \\ &= -181,5 \text{ mm} \end{aligned}$$

Dalam kontrol geser pons satu arah didapatkan bahwa nilai lengan *pilecap* pada arah Y adalah negative, dengan demikian geser pons pada *pilecap* tidak terdapat geser pons satu arah.

Geser Pons Dua Arah Akibat Kolom dan Tiang Pancang

Menghitung gaya geser dua arah yang terjadi pada poer,  $V_u$  :

$$\begin{aligned} At &= (b_{poer} \cdot h_{poer}) - [(b_{kolom} + d) \times (h_{kolom} + d)] \\ &= (2400 \text{ mm} \cdot 2400 \text{ mm}) - [(700 \text{ mm} + 1387,5 \text{ mm}) \\ &\quad \times (700 \text{ mm} + 1387,5 \text{ mm})] \\ &= 1402343.75 \text{ mm}^2 \end{aligned}$$

$$\begin{aligned} V_u &= Qu \cdot At \\ &= 1.054 \text{ N/mm}^2 \cdot 1402343.75 \text{ mm}^2 \\ &= 1477632.581 \text{ N} \\ &= 1477.632 \text{ kN} \end{aligned}$$

**Geser Dua Arah Akibat Tiang Pancang**

Diketahui beban terpusat terbesar tiang pancang yakni :

$$Pu = 885.10 \text{ ton}$$

$$Qu = \frac{Pu}{b \cdot h} = \frac{885.10 \text{ ton}}{(2,4 \times 3,5) \text{ m}^2} = 105.368 \text{ ton/m}^2 = 1.054 \text{ N/mm}^2$$

Menghitung gaya geser dua arah yg terjadi di pile cap

$$At = (b_{poer}, h_{poer}) - (n \times A_{tiang})$$

$$At = (2,4 \times 2,4) - (5 \times 196000)$$

$$At = 4778252.296 \text{ mm}^2$$

$$V_u = Qu \times At$$

$$V_u = 1.054 \times 4778252.296$$

$$V_u = 5034786.422 \text{ N}$$

$$V_u = 5034.786 \text{ kN}$$

Maka untuk nilai  $V_u$  yang dipakai adalah yang terbesar diantara  $V_u$  akibat kolom dan  $V_u$  akibat tiang pancang, diambil  $V_u$  sebesar = 5034.786 kN.

Berdasarkan SNI 03-2847-2013 Pasal 11.11.2.1 (a), (b), dan (c), untuk perencanaan plat atau pondasi telapak aksi dua arah,

nilai  $V_c$  harus memenuhi persamaan berikut dengan mengambil nilai  $V_c$  terkecil:

$$\triangleright V_c = 0,17 x \left(1 + \frac{2}{\beta}\right) x \lambda x b_o x d x \sqrt{f c'}$$

Dimana:

$B$  = rasio dari sisi panjang kolom terhadap sisi pendek kolom

$$\beta = 700 \text{ mm} / 700 \text{ mm} = 1$$

$b_o$  = keliling dari penampang kritis

$$= 2 . (b \text{ kolom} + h \text{ kolom}) + 4 d$$

$$= 2 . (700 \text{ mm} + 700 \text{ mm}) + 4 . 1387,5 \text{ mm}$$

$$= 8350 \text{ mm (arah x)}$$

$b_o$  = keliling dari penampang kritis

$$= 2 . (b \text{ kolom} + h \text{ kolom}) + 4 d$$

$$= 2 . (1300 \text{ mm} + 1300 \text{ mm}) + 4 . 1031,5 \text{ mm}$$

$$= 4131,2 \text{ mm (arah y)}$$

$\lambda$  = 1 (Untuk beton normal)

$f c'$  = 35 MPa

$$V_c = 0,17 \left(1 + \frac{2}{1}\right) 1\sqrt{35} \text{ MPa} . 8350 \text{ mm} . 1387,5 \text{ mm}$$

$$= 34956.1557 \text{ kN (arah x)}$$

$$V_c = 0,17 \left(1 + \frac{2}{1}\right) 1\sqrt{24,9} \text{ MPa} . 4247,2 \text{ mm} . 1031,5 \text{ mm}$$

$$= 10844.64407 \text{ kN (arah y)}$$

$$\triangleright V_c = 0,083 x \left(2 + \frac{a_s x d}{b_o}\right) x \lambda x b_o x d x \sqrt{f c'}$$

Dimana:

$a_s$  = 40 (untuk kolom tengah)

$a_s$  = 30 (untuk kolom tepi)

$a_s$  = 20 (untuk kolom sudut)

Maka :

$$V_c = 0,083 \left(\frac{40 \times 1387,5}{8350} + 2\right) 1\sqrt{35} . 8350 \text{ mm} . 1387,5 \text{ mm}$$

$$V_c = 49190.62085 \text{ kN (arah x)}$$

$$V_c = 0,083 \left(\frac{30 \times 981,5}{3931,2} + 2\right) 1\sqrt{24,9} . 4247,2 \text{ mm} . 1031,5 \text{ mm}$$

$$V_c = 16849.123 \text{ kN (arah y)}$$

$$\triangleright V_c = 0,33 x \lambda x b_o x d x \sqrt{f c'}$$

$$V_c = 0,33 . 1 . 8350 . 1387,5 . \sqrt{35}$$

$$V_c = 22618.68901 \text{ kN (arah x)}$$

$$\triangleright V_c = 0,33 x \lambda x b_o x d x \sqrt{f c'}$$

$$V_c = 0,33 \cdot 1 \cdot 4247,2 \cdot 1031,5 \cdot \sqrt{24,9}$$

$$V_c = 7214,156 \text{ kN (arah y)}$$

Maka dipakai yang terkecil dari 3 persamaan tersebut, sehingga dipakai nilai  $V_c = 22618,68901 \text{ kN}$

$$V_u = 5034,786 \text{ kN} < \phi V_c = 16964,01675 \text{ kN (OK)}$$

## 5. Perencanaan Tulangan Lentur *Pile Cap*

Pada perencanaan tulangan lentur pada *pilecap*, nantinya *pilecap* diasumsikan sebagai balok kantilever dengan perletakan jepit pada kolom yang dibebani oleh reaksi tiang pancang dan berat sendiri *pilecap*.

Diketahui:

$$b_{pilecap} = 2400 \text{ mm}$$

$$h_{pilecap} = 3500 \text{ mm}$$

$$t_{pilecap} = 1500 \text{ mm}$$

$$\text{Selimut beton} = 75 \text{ mm}$$

$$\text{Diameter tulangan lentur} = 25 \text{ mm}$$

$$dx = 1000 \text{ mm} - 75 \text{ mm} - 25 \text{ mm} / 2 = 912,5 \text{ mm}$$

$$dy = 1000 \text{ mm} - 75 \text{ mm} - 25 \text{ mm} - 25 \text{ mm} / 2 = 887,5 \text{ mm}$$

### Penulangan *pile cap* arah X

Diketahui nilai untuk jarak-jarak sebagai berikut:

$$b_1 = \text{jarak dari ujung } pilecap \text{ ke tepi kolom}$$

$$= (2,4 \text{ m} - (0,5 \cdot 2,4 \text{ m} + 0,5 \cdot 0,7 \text{ m})) = 0,85 \text{ m}$$

$$b_2 = \text{jarak dari as tiang pancang ke tepi kolom}$$

$$= 0,85 \text{ m} - 0,6 \text{ m} = 0,25 \text{ m}$$

$$Qu = \text{berat } pilecap \text{ pada daerah yang ditinjau}$$

$$= 2,4 \text{ t/m}^3 \times 2,4 \text{ m} \times 1,5 \text{ m} \times 0,85 \text{ m} = 7,331 \text{ ton}$$

$$Pu = 252,54 \text{ ton (gaya terbesar pada tiang pancang)}$$

$$Mu = -Mp + Mq$$

$$Mu = -(P \times b_2) + (0,5 \times qu \times b_1^2)$$

$$Mu = -(252,54 \times 0,25) + (0,5 \times 7,331 \times 0,85^2)$$

$$Mu = 60,485 \text{ ton.m}$$

$$Mu = 604853794,3 \text{ N.mm}$$

$$Rn = \frac{Mn}{\Phi B d^2} = \frac{604853794,3}{0,8 \times 2400 \times 912,5^2} = 0,378 \text{ MPa}$$

$$m = \frac{f_y}{0,85 \times f'_c} = \frac{410}{0,85 \times 35} = 13,781$$

$$\rho = \frac{1}{m} \left( 1 - \sqrt{1 - \frac{2m \cdot Rn}{f_y}} \right)$$

$$= \frac{1}{13,781} \left( 1 - \sqrt{1 - \frac{2.13,781 \cdot 0,378}{410}} \right) = 0,000928$$

$$\rho_{minimum} = \frac{1,4}{f_y} = \frac{1,4}{410} = 0,003589744$$

Dikarenakan  $\rho < \rho_{minimum}$  maka digunakan  $\rho_{minimum} = 0,00359$   
 $A_s = \rho \cdot b \cdot d = 0,00359 \cdot 1000 \text{ mm} \cdot 912,5 \text{ mm} = 3115.853659 \text{ mm}^2$

Maka pada *pilecap* tulangan lentur direncanakan sebagai berikut :  
Diameter tulangan = D 25 - 100

$$A_s \text{ tulangan} = \frac{As \text{ perlu} \cdot b}{s} = \frac{3115.8536 \cdot 3900}{100} = 4908.7385 \text{ mm}^2$$

Sehingga  $A_s \text{ tulangan} > A_s \text{ perlu}$  (OK)

Maka digunakan **D 25-100.**

#### Penulangan *pile cap* arah Y

Diketahui nilai untuk jarak-jarak sebagai berikut:

$$\begin{aligned} b1 &= \text{jarak dari ujung } pilecap \text{ ke tepi kolom} \\ &= (3,5 \text{ m} - (0,5 \cdot 3,5 \text{ m} + 0,5 \cdot 0,7 \text{ m})) = 1,4 \text{ m} \end{aligned}$$

$$\begin{aligned} b2 &= \text{jarak dari as tiang pancang ke tepi kolom} \\ &= 1,4 - 0,6 = 0,8 \text{ m} \end{aligned}$$

$$\begin{aligned} Qu &= \text{berat } pilecap \text{ pada daerah yang ditinjau} \\ &= 2,4 \text{ t/m}^3 \times 2,4 \text{ m} \times 1,5 \text{ m} \times 1,4 \text{ m} = 12.075 \text{ ton} \end{aligned}$$

$$Pu = 252,54 \text{ ton} \text{ (gaya terbesar pada tiang pancang)}$$

$$Mu = -Mp + Mq$$

$$Mu = -(P \times b2) + (0,5 \times qu \times b1^2)$$

$$Mu = -(252,54 \times 0,8) + (0,5 \times 12.075 \times 1,4^2)$$

$$Mu = 190,194 \text{ ton.m}$$

$$Mu = 1901944055 \text{ Nmm}$$

$$Rn = \frac{Mn}{\Phi B d^2} = \frac{1901944055}{0,8 \times 3,5 \times 887,5^2} = 0,812 \frac{N}{mm^2}$$

$$m = \frac{f_y}{0,85 \times f_{c'}} = \frac{410}{0,85 \times 35} = 13,781$$

$$\rho = \frac{1}{m} \left( 1 - \sqrt{1 - \frac{2m \cdot Rn}{f_y}} \right)$$

$$= \frac{1}{13.781} \left( 1 - \sqrt{1 - \frac{2.13.781 \cdot 0.812}{410}} \right) = 0.00200$$

$$\rho_{\text{minimum}} = \frac{1,4}{f_y} = \frac{1,4}{410} = 0,003589744$$

Dikarenakan  $\rho < \rho_{\text{minimum}}$  maka digunakan  $\rho_{\text{minimum}} = 0,00359$   
 $A_s = \rho \cdot b \cdot d = 0,00359 \cdot 1000 \text{ mm} \cdot 887,5 \text{ mm} = 3030,4878 \text{ mm}^2$

Maka pada *pilecap tulangan* lentur direncanakan sebagai berikut :

Diameter tulangan = D 25 - 100

$$A_s \text{ tulangan} = \frac{A_s \text{ perlu} \cdot b}{s} = \frac{3030,4878 \cdot 1000}{100} = 4908,7385 \text{ mm}^2$$

Sehingga  $A_s \text{ tulangan} > A_s \text{ perlu}$  (OK)

Maka digunakan **D 25-100**.

#### 5.4.5 Perhitungan Pondasi Tipe 3

Pondasi tipe 3 untuk 1 pilecap berisi sebanyak 8 tiang pancang untuk menahan efisiensi gaya yang diterima.

##### 1. Perencanaan Dimensi Poer

Pada perencanaan pondasi tiang pancang dalam menghitung jarak antar tiang pancang (S) menurut "Mekanika Tanah dalam Praktek Rekayasa – Jilid 2 (Karl Terzaghi dan Ralph B. Peck)" menyebutkan bahwa :

Perhitungan jarak antar tiang pancang (S)

$$S \geq 2,5 D$$

$$S \geq 2,5 \cdot 60 = 125 \text{ cm}$$

Maka pakai,  $S = 3 \times D = 3 \times 60 \text{ cm} = 150 \text{ cm}$

Perhitungan jarak tiang ke tepi poer (S')

$$S' \geq 1 D$$

$$S' \geq 1 \cdot 50 = 60 \text{ cm}$$

Maka pakai,  $S' = 1 \times D = 60 \text{ cm}$

Sehingga total lebar *pilecap* :

$$h = 2,4 \text{ m}$$

$$b = 5,4 \text{ m}$$

$$t = 1 \text{ m}$$

## 2. Gaya yang Terjadi pada Pondasi

Gaya dalam akibat beban struktur atas akan diambil dari analisa struktur dengan program bantu ETABS sebagai berikut :

- Akibat beban tetap (1DL + 1LL)
 

P	= 1035,99 ton
M <sub>x</sub>	= -1,43 ton.m
M <sub>y</sub>	= 0,37 ton.m
V <sub>x</sub>	= -0,31 ton
V <sub>y</sub>	= 0,30 ton
$\Sigma M_x$	= M <sub>x</sub> + V <sub>y</sub> . d
	= -1,13 ton.m
$\Sigma M_y$	= M <sub>y</sub> + V <sub>x</sub> . d
	= 0,06 ton.m
- Akibat beban sementara arah x (1DL + 1LL + 1Ex)
 

P	= 984,21 ton
M <sub>x</sub>	= 38,49 ton.m
M <sub>y</sub>	= 229,38 ton.m
V <sub>x</sub>	= -5,06 ton
V <sub>y</sub>	= 2,35 ton
$\Sigma M_x$	= M <sub>x</sub> + V <sub>y</sub> . d
	= 40,84 ton.m
$\Sigma M_y$	= M <sub>y</sub> + V <sub>x</sub> . d
	= 224,32 ton.m
- Akibat beban sementara arah y (1DL + 1LL + 1Ey)
 

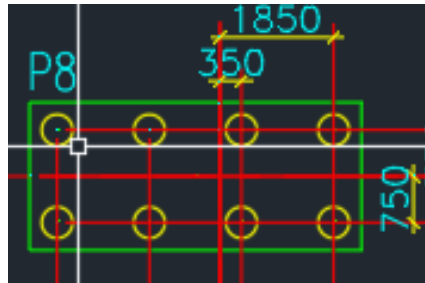
P	= 1218,01 ton
M <sub>x</sub>	= 63,92 ton.m
M <sub>y</sub>	= 379,42 ton.m
V <sub>x</sub>	= -1,97 ton
V <sub>y</sub>	= 4,95 ton
$\Sigma M_x$	= M <sub>x</sub> + V <sub>y</sub> . d
	= 63,92 ton.m
$\Sigma M_y$	= M <sub>y</sub> + V <sub>x</sub> . d
	= 379,42 ton.m

## 3. Perhitungan Daya Dukung Tiang Pancang Berdasarkan Efisiensi

Berdasarkan “Analisa dan Desain Pondasi – Jilid 2 (Joseph E Bowles)”, Perhitungan daya dukung poer berdasarkan efisiensi adalah sebagai berikut :

Metode Converce-Labarre

$$\eta = 1 - \left\{ \operatorname{arctg} \left( \frac{D}{S} \right) \left( \frac{(m-1).n + (n-1).m}{90.m.n} \right) \right\}$$



**Gambar 5. 40** Jarak Tiang Pancang Pondasi Tipe III

Dimana :

$$D = \text{Diameter tiang pancang} = 0,5 \text{ m}$$

$$S = \text{Jarak antar tiang pancang} = 1,5 \text{ m}$$

$$m = \text{Jumlah baris tiang dalam grup} = 2$$

$$n = \text{Jumlah kolom tiang dalam grup} = 8$$

Sehingga,

$$\eta = 1 - \left\{ \operatorname{arctg} \left( \frac{0,5}{1,5} \right) \left( \frac{(2-1).8 + (8-1).2}{90.2.8} \right) \right\} = 0,718$$

$$P_{ijin \text{ kelompok}} = \eta \times P_{ijin}$$

$$= 0,718 \times 360,98 = 259,31 \text{ ton (bebani gempa)}$$

#### 4. Perhitungan Daya Dukung Tiang dalam Kelompok

**Tabel 5. 28** Jarak Tiap Pancang Terhadap Titik Berat *Pilecap*

No	x	$x^2$	y	$y^2$
1	-2,25	5,0625	0,75	0,5625
2	-0,75	0,5625	0,75	0,5625
3	0,75	0,5625	0,75	0,5625
4	2,25	5,0625	0,75	0,5625
5	-2,25	5,0625	-0,75	0,5625
6	-0,75	0,5625	-0,75	0,5625

7	0,75	0,5625	-0,75	0,5625
8	2,25	5,0625	-0,75	0,5625
	$\Sigma x^2 =$	22,5	$\Sigma y^2 =$	4,5

• Perhitungan akibat beban tetap :

$$\begin{aligned}
 P_{max} &= \frac{P}{n} \pm \frac{M_{x,y_{max}}}{y_i^2} \pm \frac{M_{y,x_{max}}}{x_i^2} \\
 P1 &= \frac{1035,99}{8} + \frac{-1,13 \cdot 0,75}{4,5} + \frac{0,06 \cdot -2,25}{22,5} \\
 &= 129,46 \text{ ton} < 259,31 \text{ ton} \quad (\text{OK}) \\
 P2 &= \frac{1035,99}{8} + \frac{-1,13 \cdot 0,75}{4,5} + \frac{0,06 \cdot -0,75}{22,5} \\
 &= 129,46 \text{ ton} < 259,31 \text{ ton} \quad (\text{OK}) \\
 P3 &= \frac{1035,99}{8} + \frac{-1,13 \cdot 0,75}{4,5} + \frac{0,06 \cdot 0,75}{22,5} \\
 &= 129,46 \text{ ton} < 259,31 \text{ ton} \quad (\text{OK}) \\
 P4 &= \frac{1035,99}{8} + \frac{-1,13 \cdot 0,75}{4,5} + \frac{0,06 \cdot 2,25}{22,5} \\
 &= 129,46 \text{ ton} < 259,31 \text{ ton} \quad (\text{OK}) \\
 P5 &= \frac{1035,99}{8} + \frac{-1,13 \cdot -0,75}{4,5} + \frac{0,06 \cdot -2,25}{22,5} \\
 &= 129,54 \text{ ton} < 259,31 \text{ ton} \quad (\text{OK}) \\
 P6 &= \frac{1035,99}{8} + \frac{-1,13 \cdot -0,75}{4,5} + \frac{0,06 \cdot -0,75}{22,5} \\
 &= 129,54 \text{ ton} < 259,31 \text{ ton} \quad (\text{OK}) \\
 P7 &= \frac{1035,99}{8} + \frac{-1,13 \cdot -0,75}{4,5} + \frac{0,06 \cdot 0,75}{22,5} \\
 &= 129,54 \text{ ton} < 259,31 \text{ ton} \quad (\text{OK}) \\
 P7 &= \frac{1035,99}{8} + \frac{-1,13 \cdot -0,75}{4,5} + \frac{0,06 \cdot 2,25}{22,5} \\
 &= 129,54 \text{ ton} < 259,31 \text{ ton} \quad (\text{OK})
 \end{aligned}$$

Perhitungan akibat beban sementara arah X :

$$\begin{aligned}
 P_{max} &= \frac{P}{n} \pm \frac{M_{x,y_{max}}}{y_i^2} \pm \frac{M_{y,x_{max}}}{x_i^2} \\
 P1 &= \frac{984,21}{8} + \frac{40,84 \cdot 0,75}{4,5} + \frac{224,32 \cdot -2,25}{22,5} \\
 &= 123,54 \text{ ton} < 259,31 \text{ ton} \quad (\text{OK}) \\
 P2 &= \frac{984,21}{8} + \frac{40,84 \cdot 0,75}{4,5} + \frac{224,32 \cdot -0,75}{22,5} \\
 &= 124,21 \text{ ton} < 259,31 \text{ ton} \quad (\text{OK}) \\
 P3 &= \frac{984,21}{8} + \frac{40,84 \cdot 0,75}{4,5} + \frac{224,32 \cdot 0,75}{22,5} \\
 &= 124,87 \text{ ton} < 259,31 \text{ ton} \quad (\text{OK})
 \end{aligned}$$

$$\begin{aligned}
 P4 &= \frac{984,21}{8} + \frac{40,84 \cdot 0,75}{4,5} + \frac{224,32 \cdot 2,25}{22,5} \\
 &= 125,54 \text{ ton} < 259,31 \text{ ton} && (\text{OK}) \\
 P5 &= \frac{984,21}{8} + \frac{40,84 \cdot -0,75}{4,5} + \frac{224,32 \cdot -2,25}{22,5} \\
 &= 120,52 \text{ ton} < 259,31 \text{ ton} && (\text{OK}) \\
 P6 &= \frac{984,21}{8} + \frac{40,84 \cdot -0,75}{4,5} + \frac{224,32 \cdot -0,75}{22,5} \\
 &= 121,18 \text{ ton} < 259,31 \text{ ton} && (\text{OK}) \\
 P7 &= \frac{984,21}{8} + \frac{40,84 \cdot -0,75}{4,5} + \frac{224,32 \cdot 0,75}{22,5} \\
 &= 121,85 \text{ ton} < 259,31 \text{ ton} && (\text{OK}) \\
 P8 &= \frac{984,21}{8} + \frac{40,84 \cdot -0,75}{4,5} + \frac{224,32 \cdot 2,25}{22,5} \\
 &= 122,51 \text{ ton} < 259,31 \text{ ton} && (\text{OK})
 \end{aligned}$$

**Perhitungan akibat beban sementara arah Y :**

$$\begin{aligned}
 P_{max} &= \frac{P}{n} \pm \frac{M_{x,y} \cdot max}{y_i^2} \pm \frac{M_y \cdot x_{max}}{x_i^2} \\
 P1 &= \frac{1218,01}{8} - \frac{63,92 \cdot 0,75}{4,5} + \frac{379,42 \cdot -2,25}{22,5} \\
 &= 156,31 \text{ ton} < 259,31 \text{ ton} && (\text{OK}) \\
 P2 &= \frac{1218,01}{8} - \frac{63,92 \cdot 0,75}{4,5} + \frac{379,42 \cdot -0,75}{22,5} \\
 &= 155,18 \text{ ton} < 259,31 \text{ ton} && (\text{OK}) \\
 P3 &= \frac{1218,01}{8} - \frac{63,92 \cdot 0,75}{4,5} + \frac{379,42 \cdot 0,75}{22,5} \\
 &= 154,06 \text{ ton} < 259,31 \text{ ton} && (\text{OK}) \\
 P4 &= \frac{1218,01}{8} - \frac{63,92 \cdot 0,75}{4,5} + \frac{379,42 \cdot 2,25}{22,5} \\
 &= 152,93 \text{ ton} < 259,31 \text{ ton} && (\text{OK}) \\
 P5 &= \frac{1218,01}{8} - \frac{63,92 \cdot -0,75}{4,5} + \frac{379,42 \cdot -2,25}{22,5} \\
 &= 151,57 \text{ ton} < 259,31 \text{ ton} && (\text{OK}) \\
 P6 &= \frac{1218,01}{8} - \frac{63,92 \cdot -0,75}{4,5} + \frac{379,42 \cdot -0,75}{22,5} \\
 &= 150,45 \text{ ton} < 259,31 \text{ ton} && (\text{OK}) \\
 P7 &= \frac{1218,01}{8} - \frac{63,92 \cdot -0,75}{4,5} + \frac{379,42 \cdot 0,75}{22,5} \\
 &= 149,32 \text{ ton} < 259,31 \text{ ton} && (\text{OK}) \\
 P8 &= \frac{1218,01}{8} - \frac{63,92 \cdot -0,75}{4,5} + \frac{379,42 \cdot 2,25}{22,5} \\
 &= 148,20 \text{ ton} < 259,31 \text{ ton} && (\text{OK})
 \end{aligned}$$

**Geser Pons satu arah akibat kolom**

Apabila digunakan tulangan D25 untuk tulangan lentur:

$$d = t_{pile} - t_{decking} - D - D / 2$$

$$d = 1500 \text{ mm} - 75 \text{ mm} - 25 \text{ mm} - 25 \text{ mm} / 2$$

$$d = 1387.5 \text{ mm (Arah X)}$$

$$d = h - t - \text{diameter tul. poer} - \text{diameter tul. poer} / 2$$

$$d = 1150 \text{ mm} - 75 \text{ mm} - 29 \text{ mm} - 29 \text{ mm} / 2$$

$$d = 1031.5 \text{ mm (Arah Y)}$$

Didapatkan dari program bantu ETABS, beban terpusat terbesar kolom akibat beban terfaktor (1DL + 1LL + 1EY):

Beban aksial kolom = 1394.62 ton

Luas *pile cap* = 12.96 m<sup>2</sup>.

$$Qu = \frac{Pu}{b \cdot h} = \frac{1394.62 \text{ ton}}{12.96 \text{ m}^2} = 107.609 \frac{\text{ton}}{\text{m}^2} = 1.076 \text{ N/mm}^2$$

Gaya geser yang terjadi pada poer, Vu (arah x)

$$Vu = Qu \times b \times Lx'$$

$$L'x = (0,5 \cdot b_{poer}) - (0,5 \cdot b_{kolom}) - d$$

$$= (0,5 \cdot 2400 \text{ mm}) - (0,5 \cdot 700 \text{ mm}) - 1387,5 \text{ mm}$$

$$= 538 \text{ mm}$$

$$Vu_x = 1.076 \times 2400 \times 538$$

$$= 1388160.4 \text{ N}$$

Gaya geser yang mampu dipikul beton, Vc (arah x)

$$Vc = 0,17 \cdot \sqrt{fc'} \cdot b \cdot d$$

$$= 0,17 \cdot \sqrt{35} \cdot 2400 \text{ mm} \cdot 1387,5 \text{ mm}$$

$$= 3349092.765 \text{ N}$$

$$\Phi Vc = 2511819.574 \text{ N} > Vu = 1388160.4 \text{ N}$$

**(memenuhi)**

Gaya geser yang terjadi pada poer, Vu (arah y)

$$Vu = Qu \times b \times Ly'$$

$$L'y = (0,5 \cdot b_{poer}) - (0,5 \cdot b_{kolom}) - d$$

$$= (0,594 \cdot 3000 \text{ mm}) - (0,5 \cdot 1300 \text{ mm}) - 1031,5 \text{ mm}$$

$$= -181,5 \text{ mm}$$

Dalam kontrol geser pons satu arah didapati bahwa nilai lengan *pilecap* pada arah Y adalah negatif, dengan demikian geser pons pada *pilecap* tidak terdapat geser pons satu arah.

Geser Pons Dua Arah Akibat Kolom dan Tiang Pancang

Menghitung gaya geser dua arah yang terjadi pada poer, Vu :

$$At = (b_{poer} \cdot h_{poer}) - [(b_{kolom} + d) \times (h_{kolom} + d)]$$

$$= (2400 \text{ mm} \cdot 2400 \text{ mm}) - [(700 \text{ mm} + 1387,5 \text{ mm})$$

$$\times (700 \text{ mm} + 1387,5 \text{ mm})]$$

$$= 1402343.75 \text{ mm}^2$$

$$Vu = Qu \cdot At$$

$$\begin{aligned}
 &= 1.076 \text{ N/mm}^2 \cdot 1402343.75 \text{ mm}^2 \\
 &= 1509052.804 \text{ N} \\
 &= 1509.052804 \text{ kN}
 \end{aligned}$$

### Geser Dua Arah Akibat Tiang Pancang

Diketahui beban terpusat terbesar tiang pancang yakni :

$$\begin{aligned}
 P_u &= 1394.62 \text{ ton} \\
 Q_u &= \frac{P_u}{b \cdot h} = \frac{1394.62 \text{ ton}}{(2,4 \times 5,4) \text{ m}^2} = 107.609 \text{ ton/m}^2 = 1.076 \text{ N/mm}^2
 \end{aligned}$$

Menghitung gaya geser dua arah yang terjadi di pile cap

$$\begin{aligned}
 A_t &= (b_{poer}, h_{poer}) - (n \times A_{tiang}) \\
 A_t &= (2,4 \times 2,4) - (8 \times 196000) \\
 A_t &= 4189203.673 \text{ mm}^2 \\
 V_u &= Q_u \times A_t \\
 V_u &= 1.076 \times 4189203.673 \\
 V_u &= 4507974.274 \text{ N} \\
 V_u &= 4507.974274 \text{ kN}
 \end{aligned}$$

Maka untuk nilai  $V_u$  yang dipakai adalah yang terbesar diantara  $V_u$  akibat kolom dan  $V_u$  akibat tiang pancang, diambil  $V_u$  sebesar = 4507.974274 kN.

Berdasarkan SNI 03-2847-2013 Pasal 11.11.2.1 (a), (b), dan (c), untuk perencanaan plat atau pondasi telapak aksi dua arah, nilai  $V_c$  harus memenuhi persamaan berikut dengan mengambil nilai  $V_c$  terkecil:

$$\triangleright V_c = 0,17 \times \left(1 + \frac{2}{\beta}\right) \times \lambda \times b_o \times d \times \sqrt{f'c'}$$

Dimana:

$B$  = rasio dari sisi panjang kolom terhadap sisi pendek kolom

$$\begin{aligned}
 \beta &= 700 \text{ mm} / 700 \text{ mm} = 1 \\
 b_o &= \text{keliling dari penampang kritis} \\
 &= 2 \cdot (b \text{ kolom} + h \text{ kolom}) + 4 \text{ d} \\
 &= 2 \cdot (700 \text{ mm} + 700 \text{ mm}) + 4 \cdot 1387,5 \text{ mm} \\
 &= 8350 \text{ mm (arah x)}
 \end{aligned}$$

$$\begin{aligned}
 b_o &= \text{keliling dari penampang kritis} \\
 &= 2 \cdot (b \text{ kolom} + h \text{ kolom}) + 4 \text{ d} \\
 &= 2 \cdot (1300 \text{ mm} + 1300 \text{ mm}) + 4 \cdot 1031,5 \text{ mm} \\
 &= 4131,2 \text{ mm (arah y)}
 \end{aligned}$$

$$\begin{aligned}
 \lambda &= 1 (\text{Untuk beton normal}) \\
 f'c' &= 35 \text{ MPa}
 \end{aligned}$$

$$\begin{aligned} V_c &= 0,17 \left(1 + \frac{2}{1}\right) 1\sqrt{35} MPa. 8350 \text{ mm.} 1387,5 \text{ mm} \\ &= 34956.1557 \text{ kN (arah x)} \\ V_c &= 0,17 \left(1 + \frac{2}{1}\right) 1\sqrt{24,9} MPa. 4247,2 \text{ mm.} 1031,5 \text{ mm} \\ &= 10844.64407 \text{ kN (arah y)} \end{aligned}$$

➤  $V_c = 0,083 x \left(2 + \frac{a_s x d}{b_o}\right) x \lambda x b_o x d x \sqrt{f c'}$

Dimana:

$a_s = 40$  (untuk kolom tengah)

$a_s = 30$  (untuk kolom tepi)

$a_s = 20$  (untuk kolom sudut)

Maka :

$$V_c = 0,083 \left( \frac{40 \times 1387,5}{8350} + 2 \right) 1\sqrt{35} . 8350 \text{ mm.} 1387,5 \text{ mm}$$

$$V_c = 49190.62085 \text{ kN (arah x)}$$

$$V_c = 0,083 \left( \frac{30 \times 981,5}{3931,2} + 2 \right) 1\sqrt{24,9} . 4247,2 \text{ mm.} 1031,5 \text{ mm}$$

$$V_c = 16849.123 \text{ kN (arah y)}$$

➤  $V_c = 0,33 x \lambda x b_o x d x \sqrt{f c'}$

$$V_c = 0,33 . 1 . 8350 . 1387,5 . \sqrt{35}$$

$$V_c = 22618.68901 \text{ kN (arah x)}$$

➤  $V_c = 0,33 x \lambda x b_o x d x \sqrt{f c'}$

$$V_c = 0,33 . 1 . 4247,2 . 1031,5 . \sqrt{24,9}$$

$$V_c = 7214.156 \text{ kN (arah y)}$$

Maka dipakai yang terkecil dari 3 persamaan tersebut, sehingga dipakai nilai  $V_c = 22618.68901 \text{ kN}$

$V_u = 4507.974274 \text{ kN} < \phi V_c = 16964.01675 \text{ kN (OK)}$

## 5. Perencanaan Tulangan Lentur *Pile Cap*

Pada perencanaan tulangan lentur pada *pilecap*, nantinya *pilecap* diasumsikan sebagai balok kantilever dengan perlentakan jepit pada kolom yang dibebani oleh reaksi tiang pancang dan berat sendiri *pilecap*.

Diketahui:

$$b_{pilecap} = 2400 \text{ mm}$$

$$h_{pilecap} = 5400 \text{ mm}$$

$$t_{pilecap} = 1500 \text{ mm}$$

$$\text{Selimut beton} = 75 \text{ mm}$$

$$\text{Diameter tulangan lentur} = 25 \text{ mm}$$

$$dx = 1000 \text{ mm} - 75 \text{ mm} - 25 \text{ mm} / 2 = 912,5 \text{ mm}$$

$$dy = 1000 \text{ mm} - 75 \text{ mm} - 25 \text{ mm} - 25 \text{ mm} / 2 = 887,5 \text{ mm}$$

### Penulangan pile cap arah X

Diketahui nilai untuk jarak-jarak sebagai berikut:

b1	= jarak dari ujung pilecap ke tepi kolom
	= $(2,4 \text{ m} - (0,5 \cdot 2,4 \text{ m} + 0,5 \cdot 0,7 \text{ m})) = 0,85 \text{ m}$
b2	= jarak dari as tiang pancang ke tepi kolom
	= $0,85 \text{ m} - 0,6 \text{ m} = 0,25 \text{ m}$
Qu	= berat pilecap pada daerah yang ditinjau
	= $2,4 \text{ t/m}^3 \times 2,4 \text{ m} \times 1,5 \text{ m} \times 0,85 \text{ m} = 7,331 \text{ ton}$
Pu	= 259,31 ton (gaya terbesar pada tiang pancang)
Mu	= $-M_p + M_q$
Mu	= $-(P \times b_2) + (0,5 \times q_u \times b_1^2)$
Mu	= $-(259,31 \times 0,25) + (0,5 \times 7,331 \times 0,85^2)$
Mu	= 62,179 ton.m
Mu	= 621798635,2 N.mm

$$Rn = \frac{Mn}{\Phi B d^2} = \frac{621798635,2}{0,8 \times 2400 \times 912,5^2} = 0,389 \text{ mPa}$$

$$m = \frac{f_y}{0,85 \times f_c'} = \frac{410}{0,85 \times 35} = 13,781$$

$$\rho = \frac{1}{m} \left( 1 - \sqrt{1 - \frac{2m \cdot Rn}{f_y}} \right)$$

$$= \frac{1}{13,781} \left( 1 - \sqrt{1 - \frac{2 \cdot 13,781 \cdot 0,389}{410}} \right) = 0,000955$$

$$\rho_{minimum} = \frac{1,4}{f_y} = \frac{1,4}{410} = 0,003589744$$

Dikarenakan  $\rho < \rho_{minimum}$  maka digunakan  $\rho_{minimum} = 0,00359$

$$A_s = \rho \cdot b \cdot d = 0,00359 \cdot 1000 \text{ mm} \cdot 912,5 \text{ mm} = 3115,853659 \text{ mm}^2$$

Maka pada pilecap tulangan lentur direncakan sebagai berikut :

Diameter tulangan = D 25 - 100

$$A_s \text{ tulangan} = \frac{As \text{ perlu} \cdot b}{s} = \frac{3115,8536 \cdot 3900}{100} = 4908,7385 \text{ mm}^2$$

Sehingga  $A_s \text{ tulangan} > A_s \text{ perlu}$  (OK)

Maka digunakan **D 25-100.**

### Penulangan pile cap arah Y

Diketahui nilai untuk jarak-jarak sebagai berikut:

- b1 = jarak dari ujung pilecap ke tepi kolom  
 $= (5.4 \text{ m} - (0,5 \cdot 5.4 \text{ m} + 0,5 \cdot 0.7 \text{ m})) = 2.35 \text{ m}$
- b2 = jarak dari as tiang pancang ke tepi kolom  
 $= 2,35 - 0,6 = 1,75 \text{ m}$
- Qu = berat pilecap pada daerah yang ditinjau  
 $= 2,4 \text{ t/m}^3 \times 1.5 \text{ m} \times 2.4 \text{ m} \times 2,35 \text{ m} = 20,27 \text{ ton}$
- Pu = 259,31 ton (gaya terbesar pada tiang pancang)
- Mu =  $-M_p + M_q$
- Mu =  $-(P \times b_2) + (0.5 \times q_u \times b_1^2)$
- Mu =  $-(259,31 \times 1,75) + (0.5 \times 20,27 \times 2,35^2)$
- Mu = 397,82 ton.m
- Mu = 3978282534 Nmm

$$R_n = \frac{Mn}{\Phi B d^2} = \frac{3978282534}{0,8 \times 5.4 \times 887,5^2} = 1.100 \frac{N}{mm^2}$$

$$m = \frac{f_y}{0,85 \times f_{c'}} = \frac{410}{0,85 \times 35} = 13.781$$

$$\rho = \frac{1}{m} \left( 1 - \sqrt{1 - \frac{2m \cdot R_n}{f_y}} \right)$$

$$= \frac{1}{13.781} \left( 1 - \sqrt{1 - \frac{2 \cdot 13.781 \cdot 1.100}{410}} \right) = 0.00273$$

$$\rho_{minimum} = \frac{1,4}{f_y} = \frac{1,4}{410} = 0,003589744$$

Dikarenakan  $\rho < \rho_{minimum}$  maka digunakan  $\rho_{minimum} = 0,00359$

$$A_s = \rho \cdot b \cdot d = 0,00359 \cdot 1000 \text{ mm} \cdot 887,5 \text{ mm} = 3030,4878 \text{ mm}^2$$

Maka pada pilecap tulangan lentur direncakan sebagai berikut :

Diameter tulangan = D 25 - 100

$$A_{s tulangan} = \frac{A_{s perlu} \cdot b}{s} = \frac{3030,4878 \cdot 5400}{100} = 4908,7385 \text{ mm}^2$$

Sehingga  $A_{s tulangan} > A_{s perlu}$  (OK)

Maka digunakan **D 25-100.**

#### 5.4.6 Perhitungan Pondasi Tipe 4

Pondasi tipe 4 untuk 1 pilecap berisi sebanyak 10 tiang pancang untuk menahan efisiensi gaya yang diterima.

##### 1. Perencanaan Dimensi Poer

Pada perencanaan pondasi tiang pancang dalam menghitung jarak antar tiang pancang ( $S$ ) menurut “Mekanika Tanah dalam Praktek Rekayasa – Jilid 2 (Karl Terzaghi dan Ralph B. Peck)” menyebutkan bahwa :

Perhitungan jarak antar tiang pancang ( $S$ )

$$S \geq 2,5 D$$

$$S \geq 2,5 \cdot 60 = 125 \text{ cm}$$

$$\text{Maka pakai, } S = 3 \times D = 3 \times 60 \text{ cm} = 150 \text{ cm}$$

Perhitungan jarak tiang ke tepi poer ( $S'$ )

$$S' \geq 1 D$$

$$S' \geq 1 \cdot 50 = 60 \text{ cm}$$

$$\text{Maka pakai, } S' = 1 \times D = 60 \text{ cm}$$

Sehingga total lebar pilecap :

$$h = 3,5 \text{ m}$$

$$b = 5,4 \text{ m}$$

$$t = 1 \text{ m}$$

##### 2. Gaya yang Terjadi pada Pondasi

Gaya dalam akibat beban struktur atas akan diambil dari analisa struktur dengan program bantu ETABS sebagai berikut :

- Akibat beban tetap (1DL + 1LL)

$$P = 1381.52 \text{ ton}$$

$$M_x = 1.02 \text{ ton.m}$$

$$M_y = -2.87 \text{ ton.m}$$

$$V_x = -0,31 \text{ ton}$$

$$V_y = 0,30 \text{ ton}$$

$$\Sigma M_x = M_x + V_y \cdot d$$

$$= 1.32 \text{ ton.m}$$

$$\Sigma M_y = M_y + V_x \cdot d$$

$$= -3.18 \text{ ton.m}$$

- Akibat beban sementara arah x (1DL + 1LL + 1Ex)

$$P = 854.04 \text{ ton}$$

$$M_x = 14.25 \text{ ton.m}$$

$$M_y = 318.07 \text{ ton.m}$$

$$V_x = -5,06 \text{ ton}$$

$$\begin{aligned}
 V_y &= 2,35 \text{ ton} \\
 \Sigma M_x &= M_x + V_y \cdot d \\
 &= 16.60 \text{ ton.m} \\
 \Sigma M_y &= M_y + V_x \cdot d \\
 &= 313.01 \text{ ton.m}
 \end{aligned}$$

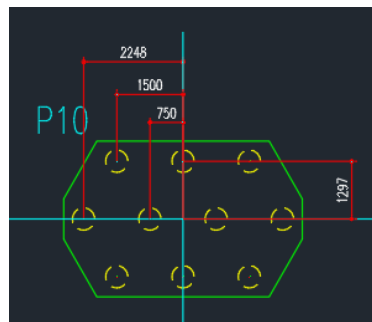
- Akibat beban sementara arah y (1DL + 1LL + 1Ey)
- |                |                       |
|----------------|-----------------------|
| P              | = 841.48 ton          |
| M <sub>x</sub> | = 9.94 ton.m          |
| M <sub>y</sub> | = 512.18 ton.m        |
| V <sub>x</sub> | = -1,97 ton           |
| V <sub>y</sub> | = 4,95 ton            |
| $\Sigma M_x$   | = $M_x + V_y \cdot d$ |
|                | = 9.94 ton.m          |
| $\Sigma M_y$   | = $M_y + V_x \cdot d$ |
|                | = 512.18 ton.m        |

### 3. Perhitungan Daya Dukung Tiang Pancang Berdasarkan Efisiensi

Berdasarkan “Analisa dan Desain Pondasi – Jilid 2 (Joseph E Bowles)”, Perhitungan daya dukung poer berdasarkan efisiensi adalah sebagai berikut :

Metode Converce-Labarre

$$\eta = 1 - \left\{ \arctg \left( \frac{D}{S} \right) \left( \frac{(m-1).n + (n-1).m}{90.m.n} \right) \right\}$$



**Gambar 5.41** Jarak Tiang Pancang Pondasi Tipe IV

Dimana :

$$D \quad \text{= Diameter tiang pancang} \quad = 0,5 \text{ m}$$

- S = Jarak antar tiang pancang = 1,5 m  
 m = Jumlah baris tiang dalam grup = 3  
 n = Jumlah kolom tiang dalam grup = 10

Sehingga,

$$\eta = 1 - \left\{ arctg \left( \frac{0,5}{1,5} \right) \left( \frac{(3-1) \cdot 10 + (10-1) \cdot 3}{90 \cdot 3 \cdot 10} \right) \right\} = 0,679$$

$$P_{ijin\ kelompok} = \eta \times P_{ijin}$$

$$= 0,679 \times 360,98 = 245,14 \text{ ton (bebani gempa)}$$

#### 4. Perhitungan Daya Dukung Tiang dalam Kelompok

**Tabel 5. 29** Jarak Tiap Pancang Terhadap Titik Berat *Pilecap*

No	x	x <sup>2</sup>	y	y <sup>2</sup>
1	-1.5	2.25	1,297	1.682209
2	0	0	0,75	0,5625
3	1.5	2.25	1,297	1.682209
4	-2.248	5,053504	0	0
5	-0.75	0,5625	0	0
6	0.75	0,5625	0	0
7	2.248	5,053504	0	0
8	-1.5	2,25	-0,75	0,5625
9	0	0	-0,75	0,5625
10	1.5	2,25	-0,75	0,5625
	$\Sigma x^2 =$	20.232	$\Sigma y^2 =$	5.614

- **Perhitungan akibat beban tetap :**

$$P_{max} = \frac{P}{n} + \frac{M_x \cdot y_{max}}{y_i^2} + \frac{M_y \cdot x_{max}}{x_i^2}$$

$$P1 = \frac{11381,52}{10} + \frac{1,32 \cdot 1,297}{5,614} + \frac{-3,18 \cdot -1,5}{20,232}$$

$$= 138,22 \text{ ton} < 245,14 \text{ ton} \quad (\text{OK})$$

$$P2 = \frac{11381,52}{10} + \frac{1,32 \cdot 0,75}{5,614} + \frac{-3,18 \cdot 0}{20,232}$$

$$= 138,18 \text{ ton} < 245,14 \text{ ton} \quad (\text{OK})$$

$$P3 = \frac{11381,52}{10} + \frac{1,32 \cdot 1,297}{5,614} + \frac{-3,18 \cdot 1,5}{20,232}$$

$$= 138,19 \text{ ton} < 245,14 \text{ ton} \quad (\text{OK})$$

$$P4 = \frac{11381,52}{10} + \frac{1,32 \cdot 0}{5,614} + \frac{-3,18 \cdot -2,248}{20,232}$$

$$= 138,17 \text{ ton} < 245,14 \text{ ton} \quad (\text{OK})$$

$$\begin{aligned}
 P5 &= \frac{11381.52}{10} + \frac{1.32 .0}{5.614} + \frac{-3.18 ..-0.75}{20.232} \\
 &= 138.16 \text{ ton} < 245.14 \text{ ton} && (\text{OK}) \\
 P6 &= \frac{11381.52}{10} + \frac{1.32 .0}{5.614} + \frac{-3.18 ..0.75}{20.232} \\
 &= 138.15 \text{ ton} < 245.14 \text{ ton} && (\text{OK}) \\
 P7 &= \frac{11381.52}{10} + \frac{1.32 .0}{5.614} + \frac{-3.18 ..2.248}{20.232} \\
 &= 138.13 \text{ ton} < 245.14 \text{ ton} && (\text{OK}) \\
 P8 &= \frac{11381.52}{10} + \frac{1.32 ..-0.75}{5.614} + \frac{-3.18 ..-1.5}{20.232} \\
 &= 138.13 \text{ ton} < 245.14 \text{ ton} && (\text{OK}) \\
 P9 &= \frac{11381.52}{10} + \frac{1.32 ..-0.75}{5.614} + \frac{-3.18 ..0}{20.232} \\
 &= 138.12 \text{ ton} < 245.14 \text{ ton} && (\text{OK}) \\
 P10 &= \frac{11381.52}{10} + \frac{1.32 ..-0.75}{5.614} + \frac{-3.18 ..1.5}{20.232} \\
 &= 138.11 \text{ ton} < 245.14 \text{ ton} && (\text{OK})
 \end{aligned}$$

**Perhitungan akibat beban sementara arah X :**

$$\begin{aligned}
 P_{max} &= \frac{P}{n} + \frac{M_x \cdot y_{max}}{y_i^2} + \frac{M_y \cdot x_{max}}{x_i^2} \\
 P1 &= \frac{854.04}{10} + \frac{416.60 \cdot 1.297}{5.614} + \frac{313.01 \cdot -2.25}{20.232} \\
 &= 84.94 \text{ ton} < 245.14 \text{ ton} && (\text{OK}) \\
 P2 &= \frac{854.04}{10} + \frac{416.60 \cdot 0.75}{5.614} + \frac{313.01 \cdot 0}{20.232} \\
 &= 85.80 \text{ ton} < 245.14 \text{ ton} && (\text{OK}) \\
 P3 &= \frac{854.04}{10} + \frac{416.60 \cdot 1.297}{5.614} + \frac{313.01 \cdot 1.5}{20.232} \\
 &= 87.23 \text{ ton} < 245.14 \text{ ton} && (\text{OK}) \\
 P4 &= \frac{854.04}{10} + \frac{416.60 \cdot 0}{5.614} + \frac{313.01 \cdot -2.248}{20.232} \\
 &= 83.68 \text{ ton} < 245.14 \text{ ton} && (\text{OK}) \\
 P5 &= \frac{854.04}{10} + \frac{416.60 \cdot 0}{5.614} + \frac{313.01 \cdot -0.75}{20.232} \\
 &= 84.83 \text{ ton} < 245.14 \text{ ton} && (\text{OK}) \\
 P6 &= \frac{854.04}{10} + \frac{416.60 \cdot 0}{5.614} + \frac{313.01 \cdot 0.75}{20.232} \\
 &= 85.98 \text{ ton} < 245.14 \text{ ton} && (\text{OK}) \\
 P7 &= \frac{854.04}{10} + \frac{416.60 \cdot 0}{5.614} + \frac{313.01 \cdot 2.248}{20.232} \\
 &= 87.12 \text{ ton} < 245.14 \text{ ton} && (\text{OK}) \\
 P8 &= \frac{854.04}{10} + \frac{416.60 \cdot -0.75}{5.614} + \frac{313.01 \cdot -1.5}{20.232} \\
 &= 83.86 \text{ ton} < 245.14 \text{ ton} && (\text{OK}) \\
 P9 &= \frac{854.04}{10} + \frac{416.60 \cdot -0.75}{5.614} + \frac{313.01 \cdot 0}{20.232}
 \end{aligned}$$

$$\begin{aligned}
 &= 85.01 \text{ ton} < 245.14 \text{ ton} && (\text{OK}) \\
 \text{P10} &= \frac{854.04}{10} + \frac{416.60 - 0.75}{5.614} + \frac{313.01 \cdot 1.5}{20.232} \\
 &= 86.16 \text{ ton} < 245.14 \text{ ton} && (\text{OK})
 \end{aligned}$$

**Perhitungan akibat beban sementara arah Y :**

$$\begin{aligned}
 P_{max} &= \frac{P}{n} \pm \frac{M_x \cdot y_{max}}{y_i^2} \pm \frac{M_y \cdot x_{max}}{x_i^2} \\
 \text{P1} &= \frac{841.48}{10} - \frac{9.94 \cdot 1.297}{5.614} + \frac{512.8 \cdot -1.5}{20.232} \\
 &= 86.43 \text{ ton} < 245.14 \text{ ton} && (\text{OK}) \\
 \text{P2} &= \frac{841.48}{10} - \frac{9.94 \cdot 0.75}{5.614} + \frac{512.8 \cdot 0}{20.232} \\
 &= 84.38 \text{ ton} < 245.14 \text{ ton} && (\text{OK}) \\
 \text{P3} &= \frac{841.48}{10} - \frac{9.94 \cdot 1.297}{5.614} + \frac{512.8 \cdot 1.5}{20.232} \\
 &= 82.68 \text{ ton} < 245.14 \text{ ton} && (\text{OK}) \\
 \text{P4} &= \frac{841.48}{10} - \frac{9.94 \cdot 0}{5.614} + \frac{512.8 \cdot -2.248}{20.232} \\
 &= 86.96 \text{ ton} < 245.14 \text{ ton} && (\text{OK}) \\
 \text{P5} &= \frac{841.48}{10} - \frac{9.94 \cdot 0}{5.614} + \frac{512.8 \cdot -0.75}{20.232} \\
 &= 85.09 \text{ ton} < 245.14 \text{ ton} && (\text{OK}) \\
 \text{P6} &= \frac{841.48}{10} - \frac{9.94 \cdot 0}{5.614} + \frac{512.8 \cdot 0.75}{20.232} \\
 &= 83.21 \text{ ton} < 245.14 \text{ ton} && (\text{OK}) \\
 \text{P7} &= \frac{841.48}{10} - \frac{9.94 \cdot 0}{5.614} + \frac{512.8 \cdot 2.248}{20.232} \\
 &= 81.34 \text{ ton} < 245.14 \text{ ton} && (\text{OK}) \\
 \text{P8} &= \frac{841.48}{10} - \frac{9.94 \cdot -0.75}{5.614} + \frac{512.8 \cdot -1.5}{20.232} \\
 &= 85.79 \text{ ton} < 245.14 \text{ ton} && (\text{OK}) \\
 \text{P9} &= \frac{841.48}{10} - \frac{9.94 \cdot -0.75}{5.614} + \frac{512.8 \cdot 0}{20.232} \\
 &= 83.91 \text{ ton} < 245.14 \text{ ton} && (\text{OK}) \\
 \text{P10} &= \frac{841.48}{10} - \frac{9.94 \cdot -0.75}{5.614} + \frac{512.8 \cdot 1.5}{20.232} \\
 &= 82.03 \text{ ton} < 245.14 \text{ ton} && (\text{OK})
 \end{aligned}$$

**Geser Pons satu arah akibat kolom**

Apabila digunakan tulangan D25 untuk tulangan lenter:

$$d = t_{pile} - t_{decking} - D - D / 2$$

$$d = 1500 \text{ mm} - 75 \text{ mm} - 25 \text{ mm} - 25 \text{ mm} / 2$$

$$d = 1387.5 \text{ mm (Arah X)}$$

$$d = h - t - \text{diameter tul. poer} - \text{diameter tul. poer} / 2$$

$$d = 1150 \text{ mm} - 75 \text{ mm} - 29 \text{ mm} - 29 \text{ mm} / 2$$

$$d = 1031.5 \text{ mm (Arah Y)}$$

Didapatkan dari program bantu ETABS, beban terpusat terbesar kolom akibat beban terfaktor (1DL + 1LL + 1EY):

Beban aksial kolom = 1884.46 ton

Luas *pile cap* = 18.9 m<sup>2</sup>.

$$Qu = \frac{Pu}{b \cdot h} = \frac{1884.46 \text{ ton}}{18.9 \text{ m}^2} = 99.706 \frac{\text{ton}}{\text{m}^2} = 0.997 \text{ N/mm}^2$$

Gaya geser yang terjadi pada poer, Vu (arah x)

$$Vu = Qu \times b \times L_x'$$

$$L_x' = (0,5 \cdot b_{poer}) - (0,5 \cdot b_{kolom}) - d$$

$$= (0,5 \cdot 3500 \text{ mm}) - (0,5 \cdot 700 \text{ mm}) - 1387,5 \text{ mm}$$

$$= 13 \text{ mm}$$

$$Vu_x = 0.997 \times 35400 \times 13$$

$$= 436217.7 \text{ N}$$

Gaya geser yang mampu dipikul beton, Vc (arah x)

$$Vc = 0,17 \cdot \sqrt{fc'} \cdot b \cdot d$$

$$= 0,17 \cdot \sqrt{35} \cdot 2400 \text{ mm} \cdot 1387,5 \text{ mm}$$

$$= 4884093.616 \text{ N}$$

$$\Phi Vc = 3663070.212 \text{ N} > Vu = 436217.7 \text{ N}$$

**(memenuhi)**

Gaya geser yang terjadi pada poer, Vu (arah y)

$$Vu = Qu \times b \times Ly'$$

$$L_y' = (0,5 \cdot b_{poer}) - (0,5 \cdot b_{kolom}) - d$$

$$= (0,594 \cdot 3000 \text{ mm}) - (0,5 \cdot 1300 \text{ mm}) - 1031,5 \text{ mm}$$

$$= -181,5 \text{ mm}$$

Dalam kontrol geser pons satu arah didapati bahwa nilai lengan *pilecap* pada arah Y adalah negatif, dengan demikian geser pons pada *pilecap* tidak terdapat geser pons satu arah.

Geser Pons Dua Arah Akibat Kolom dan Tiang Pancang

Menghitung gaya geser dua arah yang terjadi pada poer, Vu :

$$At = (b_{poer} \cdot h_{poer}) - [(b_{kolom} + d) \times (h_{kolom} + d)]$$

$$= (3500 \text{ mm} \cdot 3500 \text{ mm}) - [(700 \text{ mm} + 1387,5 \text{ mm})$$

$$\times (700 \text{ mm} + 1387,5 \text{ mm})]$$

$$= 7892343.75 \text{ mm}^2$$

$$Vu = Qu \cdot At$$

$$= 0.997 \text{ N/mm}^2 \cdot 7892343.75 \text{ mm}^2$$

$$= 7869198.721 \text{ N}$$

$$= 7869.198 \text{ kN}$$

**Geser Dua Arah Akibat Tiang Pancang**

Diketahui beban terpusat terbesar tiang pancang yakni :

$$\begin{aligned} P_u &= 1884.46 \text{ ton} \\ Q_u &= \frac{P_u}{b \cdot h} = \frac{1884.46 \text{ ton}}{(3,5 \times 5,4) \text{ m}^2} = 99.706 \text{ ton/m}^2 = 0.997 \text{ N/mm}^2 \end{aligned}$$

Menghitung gaya geser dua arah yang terjadi di pile cap

$$A_t = (b_{\text{poer}} \cdot h_{\text{poer}}) - (n \times A_{\text{tiang}})$$

$$A_t = 0$$

$$V_u = Q_u \times A_t$$

$$V_u = 1.076 \times 4189203.673$$

$$V_u = 0$$

Maka untuk nilai  $V_u$  yang dipakai adalah yang terbesar diantara  $V_u$  akibat kolom dan  $V_u$  akibat tiang pancang, diambil  $V_u$  sebesar = 7869.198 kN.

Berdasarkan SNI 03-2847-2013 Pasal 11.11.2.1 (a), (b), dan (c), untuk perencanaan plat atau pondasi telapak aksi dua arah, nilai  $V_c$  harus memenuhi persamaan berikut dengan mengambil nilai  $V_c$  terkecil:

$$\triangleright V_c = 0,17 \times \left(1 + \frac{2}{\beta}\right) \times \lambda \times b_o \times d \times \sqrt{f c'}$$

Dimana:

$$B = \text{ratio dari sisi panjang kolom terhadap sisi pendek kolom}$$

$$\beta = 700 \text{ mm} / 700 \text{ mm} = 1$$

$$b_o = \text{keliling dari penampang kritis}$$

$$= 2 \cdot (b \text{ kolom} + h \text{ kolom}) + 4 d$$

$$= 2 \cdot (700 \text{ mm} + 700 \text{ mm}) + 4 \cdot 1387,5 \text{ mm}$$

$$= 8350 \text{ mm (arah x)}$$

$$b_o = \text{keliling dari penampang kritis}$$

$$= 2 \cdot (b \text{ kolom} + h \text{ kolom}) + 4 d$$

$$= 2 \cdot (1300 \text{ mm} + 1300 \text{ mm}) + 4 \cdot 1031,5 \text{ mm}$$

$$= 4131,2 \text{ mm (arah y)}$$

$$\lambda = 1 (\text{Untuk beton normal})$$

$$f c' = 35 \text{ MPa}$$

$$\begin{aligned} V_c &= 0,17 \left(1 + \frac{2}{1}\right) 1\sqrt{35} \text{ MPa} \cdot 8350 \text{ mm} \cdot 1387,5 \text{ mm} \\ &= 34956.1557 \text{ kN (arah x)} \end{aligned}$$

$$\begin{aligned} V_c &= 0,17 \left(1 + \frac{2}{1}\right) 1\sqrt{24,9} \text{ MPa} \cdot 4247,2 \text{ mm} \cdot 1031,5 \text{ mm} \\ &= 10844.64407 \text{ kN (arah y)} \end{aligned}$$

$$\triangleright V_c = 0,083 \times \left(2 + \frac{a_s \times d}{b_o}\right) \times \lambda \times b_o \times d \times \sqrt{f c'}$$

Dimana:

$\alpha s = 40$  (untuk kolom tengah)

$\alpha s = 30$  (untuk kolom tepi)

$\alpha s = 20$  (untuk kolom sudut)

Maka :

$$V_c = 0,083 \left( \frac{40 \times 1387,5}{8350} + 2 \right) 1 \sqrt{35} \cdot 8350 \text{ mm.} 1387,5 \text{ mm}$$

$$V_c = 49190,62085 \text{ kN (arah x)}$$

$$V_c = 0,083 \left( \frac{30 \times 981,5}{3931,2} + 2 \right) 1 \sqrt{24,9} \cdot 4247,2 \text{ mm.} 1031,5 \text{ mm}$$

$$V_c = 16849,123 \text{ kN (arah y)}$$

➢  $V_c = 0,33 \times \lambda \times b_o \times d \times \sqrt{f'c'}$

$$V_c = 0,33 \cdot 1 \cdot 8350 \cdot 1387,5 \cdot \sqrt{35}$$

$$V_c = 22618,68901 \text{ kN (arah x)}$$

➢  $V_c = 0,33 \times \lambda \times b_o \times d \times \sqrt{f'c'}$

$$V_c = 0,33 \cdot 1 \cdot 4247,2 \cdot 1031,5 \cdot \sqrt{24,9}$$

$$V_c = 7214,156 \text{ kN (arah y)}$$

Maka dipakai yang terkecil dari 3 persamaan tersebut, sehingga dipakai nilai  $V_c = 22618,68901 \text{ kN}$

$$V_u = 7869,198 \text{ kN} < \phi V_c = 16964,01675 \text{ kN (OK)}$$

## 5. Perencanaan Tulangan Lentur *Pile Cap*

Pada perencanaan tulangan lentur pada *pilecap*, nantinya *pilecap* diasumsikan sebagai balok kantilever dengan perlletakan jepit pada kolom yang dibebani oleh reaksi tiang pancang dan berat sendiri *pilecap*.

Diketahui:

$$b_{pilecap} = 3500 \text{ mm}$$

$$h_{pilecap} = 5400 \text{ mm}$$

$$t_{pilecap} = 1500 \text{ mm}$$

$$\text{Selimut beton} = 75 \text{ mm}$$

$$\text{Diameter tulangan lentur} = 25 \text{ mm}$$

$$dx = 1000 \text{ mm} - 75 \text{ mm} - 25 \text{ mm} / 2 = 912,5 \text{ mm}$$

$$dy = 1000 \text{ mm} - 75 \text{ mm} - 25 \text{ mm} - 25 \text{ mm} / 2 = 887,5 \text{ mm}$$

### Penulangan *pile cap* arah X

Diketahui nilai untuk jarak-jarak sebagai berikut:

$$\begin{aligned} b_1 &= \text{jarak dari ujung } pilecap \text{ ke tepi kolom} \\ &= (3,5 \text{ m} - (0,5 \cdot 3,5 \text{ m} + 0,5 \cdot 0,7 \text{ m})) = 1,4 \text{ m} \end{aligned}$$

$$\begin{aligned} b_2 &= \text{jarak dari as tiang pancang ke tepi kolom} \\ &= 1,4 \text{ m} - 0,6 \text{ m} = 0,8 \text{ m} \end{aligned}$$

$$Qu = \text{berat } pilecap \text{ pada daerah yang ditinjau}$$

$$\begin{aligned}
 &= 2,4 \text{ t/m}^3 \times 3,5 \text{ m} \times 1,5 \text{ m} \times 1,4 \text{ m} = 17.61 \text{ ton} \\
 \text{Pu} &= 245.14 \text{ ton (gaya terbesar pada tiang pancang)} \\
 \text{Mu} &= -M_p + M_q \\
 \text{Mu} &= -(P \times b_2) + (0.5 \times q_u \times b_1^2) \\
 \text{Mu} &= -(259.31 \times 0,25) + (0.5 \times 7,331 \times 0.85^2) \\
 \text{Mu} &= 178.855 \text{ ton.m} \\
 \text{Mu} &= 1788550508 \text{ N.mm}
 \end{aligned}$$

$$\begin{aligned}
 R_n &= \frac{Mn}{\Phi B d^2} = \frac{1788550508}{0,8 \times 3500 \times 912,5^2} = 0.767 \text{ MPa} \\
 m &= \frac{f_y}{0,85 \times f_c} = \frac{410}{0,85 \times 35} = 13.781
 \end{aligned}$$

$$\begin{aligned}
 \rho &= \frac{1}{m} \left( 1 - \sqrt{1 - \frac{2m \cdot R_n}{f_y}} \right) \\
 &= \frac{1}{13,781} \left( 1 - \sqrt{1 - \frac{2.13,781 \cdot 0,767}{410}} \right) = 0.00189 \\
 \rho_{minimum} &= \frac{1,4}{f_y} = \frac{1,4}{410} = 0,003589744
 \end{aligned}$$

Dikarenakan  $\rho < \rho_{minimum}$  maka digunakan  $\rho_{minimum} = 0,00359$   
 $A_s = \rho \cdot b \cdot d = 0,00359 \cdot 1000 \text{ mm} \cdot 912,5 \text{ mm} = 3115.853659 \text{ mm}^2$

Maka pada *pilecap* tulangan lentur direncakan sebagai berikut :  
Diameter tulangan = D 25 - 100

$$A_s \text{ tulangan} = \frac{A_s \text{ perlu} \cdot b}{s} = \frac{3115.8536 \cdot 3900}{100} = 4908.7385 \text{ mm}^2$$

Sehingga  $A_s \text{ tulangan} > A_s \text{ perlu}$  (OK)

Maka digunakan **D 25-100.**

### Penulangan *pile cap* arah Y

Diketahui nilai untuk jarak-jarak sebagai berikut:

$$\begin{aligned}
 b1 &= \text{jarak dari ujung } pilecap \text{ ke tepi kolom} \\
 &= (5,4 \text{ m} - (0,5 \cdot 5,4 \text{ m} + 0,5 \cdot 0,7 \text{ m})) = 2,35 \text{ m}
 \end{aligned}$$

$$\begin{aligned}
 b2 &= \text{jarak dari as tiang pancang ke tepi kolom} \\
 &= 2,35 - 0,6 = 1,75 \text{ m}
 \end{aligned}$$

$$\begin{aligned}
 Qu &= \text{berat } pilecap \text{ pada daerah yang ditinjau} \\
 &= 2,4 \text{ t/m}^3 \times 3,5 \text{ m} \times 1,5 \text{ m} \times 2,35 \text{ m} = 29,560 \text{ ton}
 \end{aligned}$$

$$\begin{aligned}
 P_u &= 245.14 \text{ ton (gaya terbesar pada tiang pancang)} \\
 M_u &= -M_p + M_q \\
 M_u &= -(P \times b_2) + (0.5 \times q_u \times b_1^2) \\
 M_u &= -(245.14 \times 1.75) + (0.5 \times 29,560 \times 2.35^2) \\
 M_u &= 347.373 \text{ ton.m} \\
 M_u &= 3473738026 \text{ Nmm}
 \end{aligned}$$

$$\begin{aligned}
 R_n &= \frac{Mn}{\Phi B d^2} = \frac{3473738026}{0.8 \times 5.4 \times 887.5^2} = 0.961 \frac{N}{mm^2} \\
 m &= \frac{f_y}{0.85 \times f_c'} = \frac{410}{0.85 \times 35} = 13.781 \\
 \rho &= \frac{1}{m} \left( 1 - \sqrt{1 - \frac{2m \cdot R_n}{f_y}} \right) \\
 &= \frac{1}{13.781} \left( 1 - \sqrt{1 - \frac{2 \cdot 13.781 \cdot 0.961}{390}} \right) = 0.00238 \\
 \rho_{minimum} &= \frac{1,4}{f_y} = \frac{1,4}{390} = 0,003589744
 \end{aligned}$$

Dikarenakan  $\rho < \rho_{minimum}$  maka digunakan  $\rho_{minimum} = 0,00359$   
 $A_s = \rho \cdot b \cdot d = 0,00359 \cdot 1000 \text{ mm} \cdot 887,5 \text{ mm} = 3030.4878 \text{ mm}^2$

Maka pada *pilecap tulangan lentur* direncakan sebagai berikut :  
Diameter tulangan = D 25 - 100  
 $A_s \text{ tulangan} = \frac{A_s \text{ perlu} \cdot b}{s} = \frac{3115.8536 \cdot 3900}{100} = 4908.7385 \text{ mm}^2$   
Sehingga  $A_s \text{ tulangan} > A_s \text{ perlu}$  (**OK**)  
Maka digunakan **D 25-100.**

## **BAB VI**

### **METODE PELAKSANAAN**

#### **6.1 Umum**

Pada bab ini akan menjelaskan langkah perhitungan metode pelaksanaan Gedung 4 Universitas Ciputra Surabaya yang telah dimodifikasi menggunakan konstruksi baja dengan sistem strukturnya memakai FVD agar memenuhi kriteria sesuai fungsi dan kelayakan yang dibutuhkan serta mempermudah dalam pelaksanaan bangunan gedung tersebut.

#### **6.2 Perencanaan Alur Pekerjaan**

Perencanaan alur pekerjaan perlu diperhitungkan agar dalam pelaksanaan pembangunan dapat runut dan sesuai dengan perencanaan yang telah dibuat. alur pekerjaan dalam pelaksanaan Gedung 4 Universitas Ciputra Surabaya yang telah dimodifikasi menggunakan konstruksi baja dengan sistem struktur memakai FVD sebagai berikut :

##### **6.3.1 Pekerjaan Pemasangan Kolom**

Pekerjaan pemasangan kolom pada gedung yang ditinjau terdiri dari pekerjaan loading, dan pekerjaan penyambungan kolom. Langkah-langkah pekerjaan pemasangan kolom pada gedung yang ditinjau sebagai berikut :

- a. Mempersiapkan kolom yang akan dipasang serta baut dan pelat sambung serta mempersiapkan alat K3 untuk tukang yang melakukan penyambungan.
- b. Kolom diangkat menggunakan tower crane pada titik pemasangan yang telah ditentukan. kolom dikaitkan dengan hook pada tower crane. Untuk gambaran pengangkatan tower crane dapat dilihat pada gambar berikut
- c. Setelah tepat diatas titik yang diinginkan, dilakukan proses penyambungan menggunakan wrench yang telah dikaitkan dengan torque wrench hingga dapat dikatakan kencang. Untuk gambaran penyambungan dapat dilihat pada gambar berikut:
- d. Setelah itu dilakukan pengecekan kelurusian dari kolom yang dipasang dengan alat bantu waterpas. Apabila belum lurus

maka dilakukan pengencangan baut atau pengendoran baut hingga lurus. Untuk gambaran pengecekan kelurusannya dapat dilihat pada gambar berikut:

- e. Setelah dilakukan pemasangan kolom, tukang yang telah diberi kelengkapan K3 melakukan pelepasan hook pada tower crane.

### **6.3.2 Pekerjaan Pemasangan Balok**

Pekerjaan pemasangan balok pada gedung yang ditinjau terdiri dari pekerjaan loading, pekerjaan penyambungan balok induk-kolom, dan pekerjaan penyambungan balok anak-balok induk. Langkah-langkah pekerjaan pemasangan balok pada gedung yang ditinjau sebagai berikut

- a. Mempersiapkan balok yang akan dipasang dan baut serta mempersiapkan alat K3 untuk tukang yang melakukan penyambungan.
- b. Balok diangkat menggunakan tower crane pada titik pemasangan yang telah ditentukan. Balok dikaitkan dengan hook pada tower crane. Untuk gambaran pengangkatan balok baja dapat dilihat pada gambar berikut:
- c. Setelah tepat diatas titik yang diinginkan, dilakukan proses penyambungan menggunakan wrench yang telah dikaitkan dengan torque wrench hingga dapat dikatakan kencang. Untuk gambaran penyambungan balok dapat dilihat pada gambar berikut:
- d. Setelah itu dilakukan pengecekan kelurusannya dari balok yang dipasang dengan alat bantu waterpas. Apabila belum lurus maka dilakukan pengencangan baut atau pengendoran baut hingga lurus.
- b. Setelah dilakukan pemasangan balok, tukang yang telah diberi kelengkapan K3 melakukan pelepasan hook pada tower crane

### **6.3.3 Pekerjaan Pelat Lantai**

Pekerjaan pelat lantai pada gedung yang ditinjau terdiri dari pekerjaan pemasangan bondek, pekerjaan penulangan dan pekerjaan pengecoran. Langkah-langkah pekerjaan pemasangan balok pada gedung yang ditinjau sebagai berikut :

- a. Memasang bondek pada balok induk melintang menggunakan shear connector. Setelah itu dilakukan pengecekan kelurusannya menggunakan waterpas. Untuk gambaran pemasangan bondek dapat dilihat pada gambar berikut:
- b. Setelah itu dilakukan pemberian beton tahu sesuai dengan jarak antar dasar bondek dengan tulangan negatif. Setelah diberi beton tahu, tulangan negatif ditaruh diatasnya. Untuk gambaran peletakan tulangan negatif dapat dilihat pada gambar berikut:
- c. Setelah itu dibuat bekisting tepi sesuai dengan ketebalan pelat yang telah direncanakan dan dilakukan pengecekan kelurusannya. Untuk gambaran pemasangan bekisting tepi sebagai berikut:
- d. Setelah itu dilakukan pekerjaan pengecoran. sebelum dilakukan pengecoran, dilakukan pembersihan area pengecoran dari material yang tidak digunakan. Setelah pembersihan dilakukan pengecekan slump. Setelah nilai slump masuk, diambil 4 sample silender untuk dilakukan pengujian tekan di laboratorium. Setelah itu dilakukan pengecoran pelat lantai dengan bantuan mixer truk dan buket yang diangkat 222 menggunakan tower crane diikuti pengrojokan menggunakan vibrator.
- e. Setelah itu dilakukan perataan pelat lantai menggunakan trowel.
- f. Setelah nilai kekuatan tekan dari pelat lantai lebih dari hasil pengujian tekan di laboratorium maka bekisting dapat dilepas.

#### **6.3.4 Pekerjaan Pemasangan FVD**

Pemasangan *fluid viscous damper* terdiri dari beberapa item pekerjaan yakni pengeboran, pemasangan baut angkur, pelat landas, *bracing*, dan FVD. Metode perkutan ini dapat dilaksanakan pada bangunan yang sudah berdiri, karena pelaksanaannya tidak merusak struktur utama dan hanya membuat lubang kecil untuk dipasang angkur. Berikut langkah-langkah pemasangannya.

1. Fabrikasi Profil Baja HSS bulat.

Profil baja dipotong sesuai gambar perencanaan dan disambung dengan las menggunakan pelat baja.



**Gambar 6. 1** Pemotongan Profil Baja PSB Bulat

2. Fabrikasi Pelat Baja dan *Baseplate*.  
Pelat baja setebal 10 mm dipotong sesuai dengan gambar perencanaan, kemudian dilas dan disatukan dengan *baseplate*.



**Gambar 6. 2** Pengelasan Sambungan Baseplate

3. Pengeboran pada Kolom CFT dan Balok.  
Pengeboran menggunakan alat bor dengan ukuran mata bor diameter 20 mm sesuai dengan ukuran baut. Jumlah dan jarak lubang sesuai dengan gambar perencanaan pada *baseplate*.
4. Membersihkan Debu pada Lubang Beton.

Untuk hasil perekat yang maksimal, lubang beton harus bersih dari debu dan kotoran, oleh karena itu dilakukan pembersihan menggunakan *vacuum cleaner*.



**Gambar 6. 3** Pembersihan Lubang Untuk Angkur

5. Isikan Bahan Perekat (*Chemical Anchor*) pada Lubang Beton. Lubang beton diisi setinggi 2/3 dari kedalaman lubang, dan diisi secara perlahan dan merata agar mendapat hasil maksimal.
6. Pasang Baut Angkur.  
Setelah lubang terisi perekat, segera pasang baut angkur dengan cara diputar perlahan searah jarum jam hingga mencapai dasar lubang agar perekat dapat merekat sempurna pada beton dan baut angkur.



**Gambar 6. 4** Pemasangan Baut Angkur

7. Pasang *Baseplate*.

*Baseplate* dipasang presisi dan sejajar sesuai baut angkur,



- Gambar 6. 5** Pemasangan Baseplate  
kemudian pasang mur dan kencangkan.
8. Pasang Profil Baja PSB Bulat ke *Baseplate*.  
Pemasangan profil baja HSS bulat ke *baseplate* dipasang presisi dan sejajar sesuai gambar perencanaan, kemudian pasang baut mur dan kencangkan.



**Gambar 6. 6** Pemasangan Profil Baja HSS Bulat



**Gambar 6. 7** Pemasangan FVD ke Profil HSS Bulat

9. Pasang FVD ke Profil Baja HSS Bulat.  
Pemasangan FVD ke profil baja PSB bulat dipasang presisi dan sejajar sesuai gambar perencanaan, kemudian pasang baut mur dan kencangkan.

## **BAB VII**

### **KESIMPULAN**

#### **7.1 Hasil Kesimpulan**

Berdasarkan hasil analisis yang telah dilakukan dalam penyusunan Tugas Akhir Terapan ini dapat ditarik kesimpulan sebagai berikut :

1. Hasil perhitungan struktur sekunder.
  - a. Pelat lantai menggunakan bondek dari "Lysaght Bondek" setebal 0,75 dengan shear connector D-19 mm dan tebal pelat beton 90 mm dengan mutu  $f_c$  35 MPa. Tulangan yang digunakan berdiameter Ø10mm-200 dan tulangsan susut Ø8-300 dengan mutu tulangan U24.
  - b. Dimensi balok anak yang digunakan adalah WF .300.175.6.9
  - c. Dimensi balok kantilever yang digunakan adalah WF .300.150.6.9
  - d. Dimensi balok penggantung lift menggunakan WF 300.175.6.9
  - e. Dimensi balok tangga yang digunakan adalah WF 250.125.6.9 dan tebal pelat tangga 90 mm. Dimensi balok bordes yang digunakan adalah WF 250.120.6.9 dengan tebal pelat bordes 90 mm.
2. Hasil analisa struktur tanpa sistem struktur FVD dan dengan FVD sebagai berikut :
  - a. Berat struktur bangunan tanpa FVD relatif lebih ringan yaitu sebesar 75412,27 kN daripada struktur beton bertulang yang memiliki berat 120851,63 kN.
  - b. Periode getar fundamental dari struktur baja dengan tambahan sistem strukturs FVD lebih pendek yaitu sebesar 3,06 detik sedangkan gedung baja tanpa FVD 4,94 detik.
  - c. Struktur dengan tambahan FVD relatif lebih kecil sebesar 3636,55 kN dan struktur bangunan baja tanpa adanya sistem struktur (*open frame*) sebesar 5827,37 kN.

- d. Simpangan maksimum yang terjadi pada struktur dengan tambahan FVD yang terjadi searah sumbu x sebesar 11,72 mm dan searah sumbu y sebesar 11,94 mm. Sedangkan , Simpangan maksimum yang terjadi pada struktur beton yang terjadi searah sumbu x sebesar 28,07 mm dan searah sumbu y sebesar 24,61 mm
3. Hasil perhitungan struktur primer sebagai berikut :
  - a. Bressing yang digunakan untuk menyambungkan FVD ke kolom adalah PSB 300.300.11.17
  - b. Kolom yang digunakan adalah CFT 700.700.40 untuk lantai 1-10, CFT 700.700.36 untuk lantai 11-20, dan CFT 550.550.36 untuk lantai 21-24
  - c. Balok utama dilu menggunakan profil WF 700.300.13.24 dan WF 600.300.12.20
4. Hasil perhitungan sambungan sebagai berikut :
  - a. Sambungan pada balok anak menggunakan sambungan tipe geser dengan menggunakan 2 baut A325 M16 dengan siku penyambung L80.80.10.
  - b. Sambungan pada balok tangga menggunakan sambungan tipe geser dengan 2 baut A325 M16 dengan siku L 80x80x10 dan sambungan balok tangga dengan kolom menggunakan angkur diameter 8 mm dengan pelat sambung tebal 10 mm
  - c. Sambungan balok WF 600.300.12.20 dengan kolom CFT 700x700x40 menggunakan sambungan extended end-plate dengan 8 baut ASTM A490 M36 dan tebal pelat sambung 18 mm. Sambungan balok WF 700.300.13.24 dengan kolom CFT 700x700x40 menggunakan sambungan extended end-plate dengan 8 baut ASTM A490 M36 dan tebal pelat sambung 15 mm.
  - d. Sambungan antar kolom menggunakan 16 Baut ASTM A490 M28 dengan tebal pelat penyambung sebesar 15 mm f. Base plate menggunakan pelat dengan ukuran 800x800x60 dengan 20 baut ASTM A490 M28 dan las E60xx untuk menghubungkan base plate dengan kolom baja

## 7.2 Saran

Penulisan Tugas Akhir ini masih belum dikatakan sempurna karena masih banyak kekurangan di dalamnya. Saran dari penulis untuk kemajuan penulisan Tugas Akhir berikutnya adalah :

2. Diperlukan studi literatur lebih lanjut untuk sistem struktur gedung dengan *Fluid Viscous Damper*
3. Ditambahkan analisis dinamik nonlinear agar hasil kinerja bangunan lebih akurat.
4. Proses running statik nonlinear membutuhkan waktu yang lama, maka diperlukan perangkat yang lebih canggih.

*“Halaman ini sengaja dikosongkan”*

## **DAFTAR PUSTAKA**

- Anil K. Chopra, (1995). *Dynamics of Structures*. Prentice Hall, New Jersey
- BSN, Badan Standarisasi Nasional (2019). *Tata Cara Perencanaan Ketahanan Gempa untuk Struktur Bangunan Gedung dan Non Gedung (SNI 1726-2019)*. Jakarta.
- BSN, Badan Standarisasi Nasional (2019). *Persyaratan Beton Struktural untuk Bangunan Gedung (SNI 2847-2019)*. Jakarta.
- BSN, Badan Standarisasi Nasional (2020). *Persyaratan Beban Minimum Untuk Perencanaan Bangunan Gedung dan Struktur Lain (SNI 1727-2020)*. Jakarta.
- Dewobroto, W. (2016). *Struktur Baja : Perilaku, Analisis & Desain - AISC 2010*. Jakarta: Jurusan Teknik Sipil UPH.
- Williams, A. (2011). *Steel Structures Design ASD/LRFD*. New York: McGraw Hill.
- ACI 318M-14, 2014. *Building Code Requirements for Structural Concrete*. Michigan: American Concrete Institute.
- AISC 360-16, 2016. *Specification for Structural Steel Buildings*. Chicago: American Institute of Steel Construction.
- SNI 1729, 2020. *Spesifikasi untuk Bangunan Gedung Baja Struktural*. Jakarta: Badan Standarisasi Nasional Indonesia.
- SNI 7972, 2020. *Sambungan Terprakualifikasi untuk Rangka Momen Khusus dan Menengah Baja Pada Aplikasi Seismik*. Jakarta: Badan Standarisasi Nasional Indonesia.

SNI 7860, 2020. *Ketentuan Seismik Untuk Bangunan Gedung Baja Struktural*. Jakarta: Badan Standarisasi Nasional Indonesia.

### **BIODATA PENULIS**



Penulis bernama lengkap Nydowaza Adityatama. Lahir di Jakarta pada tanggal 2 September 1999. Penulis telah menempuh pendidikan formal di SMA Negeri 3 Jakarta. Setelah lulus SMA pada tahun 2017, penulis mengikuti ujian masuk Diploma IV ITS dan diterima di Departemen Teknik Infrastruktur Sipil, terdaftar dengan NRP 10111710010106. Penulis merupakan anak kedua dari pasangan Wahyu Widiatmoko dan Eva Zaleha.

Penulis juga pernah aktif dalam kegiatan kemahasiswaan sebagai stadd dalam Departemen Eksternal MUSIK ITS 2017-2018 dan Wakil Ketua Departemen Eksternal MUSIK ITS 2018-2019. Selain itu pada tahun 2020 penulis mencari pengalaman dalam dunia kerja dengan melaksanakan Kerja Praktek di PT. WIKA Gedung Tbk. pada proyek pembangunan Gedung Telkomgroup Surabaya. Untuk menyelesaikan studi Sarjana Terapan, penulis mengambil topik struktur dengan Judul : “Desain Alternatif Gedung 4 Universitas Ciputra Menggunakan Konstruksi Baja Dengan Sistem *Fluid Viscous Damper (FVD)*”. Penulis dapat dihubungi via email : [wazaadityatama@gmail.com](mailto:wazaadityatama@gmail.com)

## **LAMPIRAN**